



การกำจัดสีและการย่อยสลายทางชีวภาพของสารประกอบฟีนอลิกในน้ำทิ้งโรงงานสกัด  
น้ำมันปาล์มโดยราไვท์รอตที่ตรึงบนวัสดุเศษเหลือปาล์มน้ำมัน  
**Decolorization and Biodegradation of Phenolics in Palm Oil Mill Effluent**  
**by White Rot Fungi Immobilized on Oil Palm Residues**

อนุกุล เกียรติขวัญบุตร  
**Anukool Kietkwanboot**

วิทยานิพนธ์นี้เป็นส่วนหนึ่งของการศึกษาตามหลักสูตรปริญญา  
วิทยาศาสตรมหาบัณฑิต สาขาวิชาการจัดการสิ่งแวดล้อม  
มหาวิทยาลัยสงขลานครินทร์

**A Thesis Submitted in Partial Fulfillment of the Requirements for the Degree of**  
**Master of Science in Environmental Management**  
**Prince of Songkla University**

2556

ลิขสิทธิ์ของมหาวิทยาลัยสงขลานครินทร์

ชื่อวิทยานิพนธ์	การกำจัดสีและการย่อยสลายทางชีวภาพของสารประกอบฟีนอลิกในน้ำทิ้ง โรงงานสกัดน้ำมันปาล์ม โดยราไวท์รอตที่ตรึงบนวัสดุเศษเหลือปาล์ม น้ำมัน
ผู้เขียน	นายอนุกุล เกียรติขวัญบุตร
สาขาวิชา	การจัดการสิ่งแวดล้อม

---

**อาจารย์ที่ปรึกษาวิทยานิพนธ์หลัก**
**คณะกรรมการสอบ**

.....  
(ดร.อรมาศ สุทธินน)

.....ประธานกรรมการ  
(ผู้ช่วยศาสตราจารย์ ดร.วิไลรัตน์ ชีวะเศรษฐกรรม)

**อาจารย์ที่ปรึกษาวิทยานิพนธ์ร่วม**

.....กรรมการ  
(ผู้ช่วยศาสตราจารย์ ดร.ธันวดี สุขสาโรจน์)

.....  
(Dr. Tran Thi My Hanh)

.....กรรมการ  
(รองศาสตราจารย์ ดร.มณฑล เลิศคณาวณิชกุล)

.....กรรมการ  
(ดร.อรมาศ สุทธินน)

.....กรรมการ  
(Dr. Tran Thi My Hanh)

บัณฑิตวิทยาลัย มหาวิทยาลัยสงขลานครินทร์ อนุมัติให้นับวิทยานิพนธ์ฉบับนี้เป็นส่วน  
หนึ่งของการศึกษา ตามหลักสูตรปริญญาวิทยาศาสตรมหาบัณฑิต สาขาวิชาการจัดการสิ่งแวดล้อม

.....  
(รองศาสตราจารย์ ดร.ธีระพล ศรีชนะ)

คณบดีบัณฑิตวิทยาลัย

ขอรับรองว่า ผลงานวิจัยนี้เป็นผลมาจากการศึกษาวิจัยของนักศึกษาเอง และได้แสดงความขอบคุณ  
บุคคลที่มีส่วนช่วยเหลือแล้ว

ลงชื่อ.....

(ดร.อรมาศ สุทธิสุนัน)

อาจารย์ที่ปรึกษาวิทยานิพนธ์

ลงชื่อ.....

(นายอนุกุล เกียรติขวัณบุตร)

นักศึกษา

(4)

ข้าพเจ้าขอรับรองว่า ผลงานวิจัยนี้ไม่เคยเป็นส่วนหนึ่งในการอนุมัติปริญญาในระดับใดมาก่อน และ  
ไม่ได้ถูกใช้ในการยื่นขออนุมัติปริญญาในขณะนี้

ลงชื่อ.....

(นายอนุกุล เกียรติกวีบุตร)

นักศึกษา

ชื่อวิทยานิพนธ์	การกำจัดสีและการย่อยสลายทางชีวภาพของสารประกอบฟีนอลิกในน้ำทิ้งโรงงานสกัดน้ำมันปาล์มโดยราไวท์รอตที่ตรึงบนวัสดุเศษเหลือปาล์มน้ำมัน
ผู้เขียน	นายอนุกุล เกียรติกวีบุญตร
สาขาวิชา	การจัดการสิ่งแวดล้อม
ปีการศึกษา	2556

### บทคัดย่อ

งานวิจัยนี้มุ่งเน้นการคัดเลือกราไวท์รอตที่มีศักยภาพในการกำจัดสีและสารประกอบฟีนอลิกในน้ำทิ้งของโรงงานสกัดน้ำมันปาล์มที่ผ่านการบำบัดแล้ว และพัฒนาหัวเชื้อราไวท์รอตที่ถูกตรึงด้วยวัสดุเศษเหลือจากกระบวนการสกัดน้ำมันปาล์ม เพื่อให้ราตรึงมีความทนทานต่อสารประกอบฟีนอลิกและเพิ่มประสิทธิภาพในการกำจัดสีออกจากน้ำทิ้ง จากผลการคัดเลือกราไวท์รอต 10 สายพันธุ์พบว่าราไวท์รอตสายพันธุ์ unknown04 (*Trametes hirsuta* AK4) มีอัตราการเจริญสูงสุด และราก่อนกลมสามารถกำจัดสีและสารประกอบฟีนอลิกความเข้มข้น 261 มก./ล. ในน้ำทิ้งที่เจือจาง 2 เท่า ได้สูงสุดถึง 64.7% และ 66.5% ตามลำดับหลังจากวันที่ 7 ของการทดลอง จึงคัดเลือกสายพันธุ์นี้มาตรึงบนวัสดุเศษเหลือปาล์มน้ำมัน ได้แก่ ทะลายปาล์มเปล่า (empty fruit bunch: EFB) และเส้นใยปาล์มน้ำมัน (pericarp fiber: PF) เพื่อคัดเลือกวัสดุและระยะเวลาการตรึงที่เหมาะสม พบว่าราไวท์รอตที่ถูกตรึงบน PF เป็นเวลา 6 วันสามารถกำจัดสีและสารประกอบฟีนอลิกในน้ำทิ้งที่เจือจาง 2 เท่า ได้สูงสุดเท่ากับ 94% และ 80.6% ตามลำดับหลังจากวันที่ 8 ของการศึกษา ในระหว่างการบำบัดน้ำทิ้งด้วยราตรึงบน PF ยังสามารถตรวจพบกิจกรรมของเอนไซม์ในกลุ่มลิกนินโอไลติก 2 ชนิด ได้แก่ Laccase และ Manganese peroxidase โดยพบว่าการเพิ่มขึ้นของเอนไซม์ทั้งสองชนิดมีความสอดคล้องกับการลดลงของสีและสารประกอบฟีนอลิกในน้ำทิ้ง ดังนั้นราตรึงด้วย PF เป็นระยะเวลา 6 วันจึงถูกนำไปใช้ในการทดลองต่อไป จากการศึกษาการเพิ่มประสิทธิภาพในการกำจัดสีและสารประกอบฟีนอลิกในน้ำทิ้งด้วยวิธีการ 1) การเจือจางน้ำทิ้ง 2) การเติมแหล่งอาหารร่วม 3) การบำบัดแบบสองขั้นตอน และ 4) การปรับตัวของเซลล์ตรึง พบว่าการบำบัดแบบสองขั้นตอนโดยใช้ น้ำทิ้งที่ถูกบำบัดขั้นต้นเป็นเวลา 8 ชั่วโมงด้วยแบคทีเรีย *Methylobacterium* sp. NP3 และ *Acinetobacter* sp. PK1 ที่ถูกตรึงบน EFB และบำบัดต่อขั้นที่สองด้วยราไวท์รอตที่ถูกตรึงบน PF สามารถกำจัดสีและสารประกอบฟีนอลิกความเข้มข้น 461 มก./ล. ในน้ำทิ้งที่ไม่เจือจางได้สูงสุดถึง 87.1% และ 82.2% ตามลำดับ หลังจากการบ่มเป็นระยะเวลา 8 วัน

<b>Thesis Title</b>	Decolorization and Biodegradation of Phenolics in Palm Oil Mill Effluent by White Rot Fungi Immobilized on Oil Palm Residues
<b>Author</b>	Mr. Anukool Kietkwanboot
<b>Major Program</b>	Environmental Management
<b>Academic Year</b>	2013

### ABSTRACT

This research aimed to screen for a potential white rot fungus capable of decolorizing and removing phenolic compounds in the treated palm oil mill effluent (POME) and to develop an inoculum of a selected white rot fungus immobilized on oil palm residues for enhancing their tolerance to phenolic compounds and their color removal efficiency. Among ten fungal isolates, unknown 04 (identified as *Trametes hirsuta* AK4) showed the highest growth rate with the removal efficiency of 64.7% color and 66.5% phenolic compounds (an initial concentration of phenolic compounds was 261 mg/L) after incubating with 50% diluted POME for 7 days. This isolate was then chosen for the immobilization study. The two oil palm residues, namely empty fruit bunch (EFB) and pericarp fiber (PF) were utilized as immobilizing matrices. To obtain the best immobilizing material and its suitable immobilization period, the different immobilized mycelia ages of isolate AK4 were tested for their abilities to remove color and phenolic compounds in the 50% diluted POME. The results showed that a 6-day-old culture immobilized on PF could provide the highest removal efficiencies of 94% color and 80.6% phenolic compounds after 8 days of incubation. During the biodegradation experiment, the activities of two ligninolytic enzymes i.e. laccase and manganese peroxidase were detected and were found to be correlated with the reduction of color and phenolic compounds in the 50% diluted POME. Based on these results, a 6-day-old culture immobilized on PF was used for further experiment. In addition, to enhance the efficiency of immobilized fungus, four approaches were evaluated: 1) dilution of treated POME; 2) addition of nutrients (as co-substrate); 3) two-stage treatment system; and 4) adaptation of immobilized fungus. The highest removal efficiencies of 87.1% color and 82.2% phenolic compounds (an initial concentration of phenolic compounds was 461 mg/L) were obtained when the two-stage treatment was applied. This was performed by pretreatment of the undiluted POME for 8 hours with phenol-degrading bacteria; *Methylobacterium* sp. NP3 and *Acinetobacter* sp. PK1 immobilized on EFB and subsequently removed the remaining phenolic compounds and color from pretreated POME using fungus immobilized on PF for another 8 days.

## กิตติกรรมประกาศ

วิทยานิพนธ์ฉบับนี้สำเร็จลุล่วงได้ด้วยความช่วยเหลือเป็นอย่างดีจากหลายฝ่าย โดยเฉพาะ ดร.อรมาศ สุทธิรัตน์ อาจารย์ที่ปรึกษาหลัก และ Dr. Tran Thi My Hanh อาจารย์ที่ปรึกษาร่วม ที่ถ่ายทอดความรู้ คำแนะนำ และปรึกษาวิทยากรต่างๆ เพิ่มเติม ตลอดจนช่วยตรวจทานแก้ไขข้อบกพร่องปัญหา และอุปสรรคต่างๆ ด้วยความเอาใจใส่ ห่วงใย เป็นกำลังใจตลอดมา นอกจากนี้ยังต้องขอขอบพระคุณคณะกรรมการสอบวิทยานิพนธ์ ผู้ช่วยศาสตราจารย์ ดร.วิไลรัตน์ ชีวะเศรษฐกรรม ผู้ช่วยศาสตราจารย์ ดร.ธันวดี สุขสาโรจน์ และรองศาสตราจารย์ ดร. มณฑล เลิศกณาวณิชกุล ที่กรุณาเสียสละเวลา มาเป็นคณะกรรมการสอบวิทยานิพนธ์ในครั้งนี้

ขอขอบพระคุณบัณฑิตวิทยาลัย มหาวิทยาลัยสงขลานครินทร์ สำหรับทุนวิจัยเพื่อวิทยานิพนธ์และขอขอบคุณบริษัท ลากทวิปาล์ม จำกัด ที่อำนวยความสะดวกในการเก็บตัวอย่างน้ำเสียเป็นอย่างดี

ขอขอบพระคุณนักวิทยาศาสตร์ คณะการจัดการสิ่งแวดล้อม ที่ให้คำแนะนำในการใช้เครื่องมือ และอุปกรณ์วิทยาศาสตร์ในห้องปฏิบัติการด้วยดีมาตลอด และขอขอบคุณเจ้าหน้าที่ในทุกระดับของหน่วยงาน คณะการจัดการสิ่งแวดล้อม ที่อำนวยความสะดวกในการดำเนินงาน ตั้งแต่เริ่มจนสำเร็จลุล่วงด้วยดีเสมอมา

ขอขอบพระคุณสมาชิกทุกคนในครอบครัว เกียรติขวัญบุตร ที่เป็นกำลังใจสนับสนุนการศึกษาในระดับปริญญาโท และการจัดทำวิทยานิพนธ์ในครั้งนี้สำเร็จลุล่วงได้ด้วยดี

อนุกุล เกียรติขวัญบุตร

## สารบัญ

	หน้า
บทคัดย่อ	(5)
Abstract	(6)
กิตติกรรมประกาศ	(7)
สารบัญ	(8)
รายการตาราง	(11)
รายการรูป	(12)
บทที่ 1 บทนำ	1
1.1 ที่มาและความสำคัญ	1
1.2 การตรวจเอกสาร และงานวิจัยที่เกี่ยวข้อง	3
1.2.1 ของเสียจากอุตสาหกรรมสกัดน้ำมันปาล์ม	3
1.2.2 สีและสารประกอบฟีนอลิกในน้ำทิ้งโรงงานสกัดน้ำมันปาล์ม	7
1.2.3 ราไวท์รอตและเอนไซม์ในกลุ่มลิกนินไลติก (Ligninolytic enzyme)	10
1.2.4 การตรึงราไวท์รอตเพื่อย่อยสลายสารมลพิษ	17
1.3 วัตถุประสงค์ของงานวิจัย	20
1.4 ขอบเขตของการวิจัย	21
1.5 ประโยชน์ที่คาดว่าจะได้รับ	21
บทที่ 2 วัสดุ อุปกรณ์ และวิธีดำเนินการ	22
2.1 สารเคมี วัสดุ และอุปกรณ์	22
2.1.1 สารเคมี	22
2.1.2 เครื่องมือ และอุปกรณ์	22
2.2 น้ำทิ้งโรงงานสกัดน้ำมันปาล์ม	23
2.3 วิธีดำเนินการวิจัย	24
2.4 ราไวท์รอตและการเตรียมหัวเชื้อรา	25
2.5 การคัดเลือกราไวท์รอตที่มีศักยภาพในการลดสีและสารประกอบฟีนอลิก ในน้ำทิ้งของโรงงานสกัดน้ำมันปาล์ม	25
2.5.1 ศึกษาผลของสารประกอบฟีนอลิกที่มีต่อการเจริญของราไวท์รอตบน อาหารแข็ง	25
2.5.2 ศึกษาความสามารถในการลดสีและสารประกอบฟีนอลิกในน้ำทิ้ง	26



## สารบัญ (ต่อ)

	หน้า
2.6 การตรึงราไวท์รอตบนวัสดุเศษเหลือปาล์มน้ำมัน	27
2.6.1 การเตรียมวัสดุตรึงราไวท์รอต	27
2.6.2 การตรึงราไวท์รอตบนวัสดุเศษเหลือปาล์มน้ำมัน	28
2.6.3 การคัดเลือกวัสดุตรึงราไวท์รอต	28
2.7 การเพิ่มประสิทธิภาพการกำจัดสีและสารประกอบฟีนอลิกในน้ำทิ้งโรงงานสกัดน้ำมันปาล์มของราไวท์รอตที่ตรึงบนเส้นใยปาล์มน้ำมัน	29
2.7.1 การแปรผันความเข้มข้นของน้ำทิ้ง	29
2.7.2 การเติมแหล่งอาหารร่วม	29
2.7.3 การบำบัดแบบสองขั้นตอน	30
2.7.4 การปรับตัวของเซลล์ตรึง	30
2.8 วิธีการวิเคราะห์	30
2.8.1 วิเคราะห์ลักษณะของน้ำทิ้งโรงงานสกัดน้ำมันปาล์ม	30
2.8.2 การศึกษาลักษณะพื้นผิววัสดุตรึง และราตรึง โดย SEM	31
2.8.3 การวิเคราะห์กิจกรรมเอนไซม์ในกลุ่มลิกนินโพลติก	31
2.8.4 การวิเคราะห์น้ำหนักแห้งของราร่วมกับวัสดุตรึง	33
2.8.5 การวิเคราะห์ปริมาณสารประกอบฟีนอลิกรวม	33
2.8.6 การวิเคราะห์สี	34
บทที่ 3 ผลการทดลอง และวิจารณ์ผลการทดลอง	35
3.1 ลักษณะทางกายภาพของราไวท์รอต	35
3.2 การคัดเลือกราไวท์รอตที่มีศักยภาพในการลดสีและสารประกอบฟีนอลิกในน้ำทิ้งโรงงานสกัดน้ำมันปาล์ม	37
3.2.1 ผลความเข้มข้นของน้ำทิ้งต่อการเจริญของราไวท์รอตบนอาหารแข็ง	37
3.2.2 ศักยภาพในการลดสีและสารประกอบฟีนอลิกในน้ำทิ้งของราไวท์รอต	40
3.3 การตรึงราไวท์รอตบนวัสดุเศษเหลือปาล์มน้ำมัน	45
3.3.1 คุณสมบัติของวัสดุตรึง	45
3.3.2 การตรึงราไวท์รอตบนทะเลาะปาล์มเปล่า	46
3.3.3 การตรึงราไวท์รอตบนเส้นใยปาล์มน้ำมัน	54

## สารบัญ (ต่อ)

	หน้า
3.4 การเพิ่มประสิทธิภาพการกำจัดสีและสารประกอบฟีนอลิกในน้ำทิ้ง	61
3.4.1 การแปรผันความเข้มข้นน้ำทิ้ง	61
3.4.2 การเติมแหล่งอาหารร่วม	66
3.4.3 การบำบัดน้ำทิ้งแบบสองขั้นตอน	70
3.4.4 การปรับตัวของเซลล์ตรึง	75
บทที่ 4 สรุปผลการทดลอง และข้อเสนอแนะ	83
4.1 สรุปผลการทดลอง	83
4.1.1 การคัดเลือกราไวท์รอตที่มีศักยภาพในการลดสีและสารประกอบฟีนอลิกในน้ำทิ้งโรงงานสกัดน้ำมันปาล์ม	83
4.1.2 การตรึงราไวท์รอตบนวัสดุเศษเหลือปาล์มน้ำมัน	83
4.1.3 การเพิ่มประสิทธิภาพการกำจัดสีและสารประกอบฟีนอลิกในน้ำทิ้ง	84
4.2 ข้อเสนอแนะ	84
บรรณานุกรม	85
ภาคผนวก	95
ภาคผนวก ก สสูตร และวิธีการเตรียมอาหารเลี้ยงเชื้อ	96
ภาคผนวก ข กราฟมาตรฐานเพื่อการวิเคราะห์สารประกอบฟีนอลิกทั้งหมดและสี	99
ภาคผนวก ค การวิเคราะห์ทางด้านชีววิทยาโมเลกุลเพื่อจำแนกสายพันธุ์ราไวท์รอต Unknown04	103
ประวัติผู้เขียน	107

## รายการตาราง

ตารางที่		หน้า
1.1	ลักษณะของน้ำทิ้งโรงงานสกัดน้ำมันปาล์มและค่ามาตรฐานคุณภาพน้ำทิ้ง	6
1.2	งานวิจัยที่เกี่ยวข้องกับการใช้ราไทรอทในการย่อยสลายสารมลพิษ	12
1.3	งานวิจัยที่ศึกษาการตรึงราไทรอทบนวัสดุต่างๆ เพื่อกำจัดสีข้อม	19
2.1	วิธีวิเคราะห์คุณลักษณะของวัสดุ	27
2.2	วิธีวิเคราะห์คุณลักษณะน้ำทิ้งโรงงานสกัดน้ำมันปาล์ม	31
3.1	ลักษณะโคโลนีและเส้นใยของราไทรอทจำนวน 10 สายพันธุ์ที่ใช้ในงานวิจัยนี้	35
3.1	ลักษณะโคโลนีและเส้นใยของราไทรอทจำนวน 10 สายพันธุ์ที่ใช้ในงานวิจัยนี้ (ต่อ)	36
3.2	ประสิทธิภาพการกำจัดสีและสารประกอบฟีนอลิกในน้ำทิ้งโรงงานสกัดน้ำมันปาล์ม ความเข้มข้น 50% โดยราไทรอทในรูปแบบก้อนกลม 10 สายพันธุ์ ที่ระยะเวลา 8 วัน	44
3.3	องค์ประกอบของวัสดุเศษเหลือปาล์มน้ำมัน	46
3.4	ประสิทธิภาพการกำจัดสีและสารประกอบฟีนอลิกในน้ำทิ้งโรงงานสกัดน้ำมันปาล์ม โดยราไทรอท <i>Trametes hirsuta</i> AK4 ที่ตรึงบนทะเลลายปาล์มน้ำมันและเส้นใย ปาล์มน้ำมันในระยะเวลาการตรึงต่างๆ	60
3.5	ประสิทธิภาพการกำจัดสีและสารประกอบฟีนอลิกในน้ำทิ้งโรงงานสกัดน้ำมันปาล์ม ด้วยราไทรอท <i>Trametes hirsuta</i> AK4 ที่ตรึงบนเส้นใยปาล์มน้ำมันด้วยวิธีต่างๆ	79
3.5	ประสิทธิภาพการกำจัดสีและสารประกอบฟีนอลิกในน้ำทิ้งโรงงานสกัดน้ำมันปาล์ม ด้วยราไทรอท <i>Trametes hirsuta</i> AK4 ที่ตรึงบนเส้นใยปาล์มน้ำมันด้วยวิธีต่างๆ (ต่อ)	80
3.6	คุณลักษณะของน้ำทิ้งโรงงานสกัดน้ำมันปาล์มก่อนและหลังบำบัดแบบสองขั้นตอน ด้วยแบคทีเรียตรึงและราไทรอท <i>Trametes hirsuta</i> AK4 ที่ตรึงบนเส้นใยปาล์มน้ำมัน	81
ข.1	การเตรียมสารละลายมาตรฐานกรดGallic ความเข้มข้น 20-200 mg/L	100
ข.2	การเตรียมสารละลายมาตรฐานความเข้มข้น 50-500 หน่วยสี	102

## รายการรูป

รูปที่		หน้า
1.1	กระบวนการสกัดน้ำมันปาล์ม	4
1.2	วัสดุเศษเหลือจากกระบวนการสกัดน้ำมันปาล์ม ทะลายปาล์มเปล่า (A), เส้นใยปาล์ม (B) และกะลาผลปาล์ม (C)	5
1.3	ระบบบำบัดน้ำเสียโรงงานสกัดน้ำมันปาล์ม บ่อฝัง (A) และระบบบ่อหมักไร้อากาศ (B)	6
1.4	โครงสร้าง monocyclic phenols เช่น <i>p</i> – hydroxybenzoic acid, Tyrosol และ Gallic acid	8
1.5	ตัวอย่างโครงสร้าง polycyclic phenols หรือ polyphenols เช่น Tannin	8
1.6	ปฏิกิริยาการเกิดสีน้ำตาลที่เกี่ยวข้องกับเอนไซม์ (enzymatic browning reaction)	9
1.7	ตัวอย่างราไทรอท <i>Pleurotus ostreatus</i> (A), <i>Ganoderma lucidum</i> (B), <i>Trametes</i> sp. (C), <i>Lentinus edodes</i> (D), <i>Bjerkandera adusta</i> (E) และ <i>Trametes versicolor</i> (F)	11
1.8	กลไกการทำงานของเอนไซม์ lignin peroxidase	13
1.9	กลไกของเอนไซม์ Laccase ในการออกซิไดซ์ phenolic aromatic compound และ Non-phenolic aromatic compound	14
1.10	กลไกการทำงานของเอนไซม์ Manganese peroxidase	15
1.11	การตรึงเซลล์	18
2.1	ลักษณะบ่อบำบัดน้ำเสีย (A) และลักษณะน้ำทิ้งโรงงานสกัดน้ำมันปาล์ม (B)	23
2.2	ภาพรวมของการดำเนินวิจัย	24
2.3	อาหารแข็ง SDA (A), SDA + 25% POME (B), SDA + 50% POME (C), SDA + 100% POME (D) และ 100% POME Agar (E)	26
2.4	วัสดุเศษเหลือปาล์มน้ำมันที่ถูกตัดจนได้ขนาดตามต้องการ (A) ทะลายปาล์มน้ำมัน (EFB) (B) เส้นใยปาล์มน้ำมัน (PF)	28
3.1	เส้นผ่านศูนย์กลางโคโลนีของราไทรอท 10 สายพันธุ์ บนอาหารแข็ง SDA, SDA+25%POME, SDA+50%POME, SDA+100%POME และ 100%POME Agar บ่มที่ อุณหภูมิห้อง เป็นเวลา 7 วัน	38

## รายการรูป(ต่อ)

รูปที่		หน้า
3.2	อาหารแข็ง SDA ที่เติมน้ำทิ้ง โรงงานสกัดน้ำมันปาล์ม 25% (A), 50% (B) และ 100% (C) และการเจริญของราไวท์รอตสายพันธุ์ Unknown 04 บนอาหารแข็ง SDA ที่เติมน้ำทิ้ง โรงงานสกัดน้ำมันปาล์ม 25% (D), 50% (E) และ 100% (F) เมื่อบ่มที่อุณหภูมิห้อง เป็นระยะเวลา 7 วัน	39
3.3	การย่อยสลายสารประกอบฟีนอลิกในน้ำทิ้ง โรงงานสกัดน้ำมันปาล์ม ความเข้มข้น 50% ของราไวท์รอต 10 สายพันธุ์ ที่บ่มในอุณหภูมิห้อง เขย่า 120 รอบ ต่อนาที (A) Unknown 01, Unknown 02, Unknown 03 และ Unknown 04 (B) <i>Lentinus edodes</i> , <i>Ganoderma lucidum</i> , <i>Pleurotus ostretus</i> , <i>Pycnoporus sanguineus</i> , <i>Trametes sp.</i> และ <i>Coriolus versicolor</i>	41
3.4	การกำจัดสีน้ำทิ้ง โรงงานสกัดน้ำมันปาล์ม ความเข้มข้น 50% ของราไวท์รอต 10 สายพันธุ์ ที่บ่มในอุณหภูมิห้อง เขย่า 120 รอบ ต่อ นาที (A) Unknown 01, Unknown 02, Unknown 03 และ Unknown 04 (B) <i>Lentinus edodes</i> , <i>Ganoderma lucidum</i> , <i>Pleurotus ostretus</i> , <i>Pycnoporus sanguineus</i> , <i>Trametes sp.</i> และ <i>Coriolus versicolor</i>	42
3.5	ลักษณะการเปลี่ยนแปลงสีของน้ำทิ้งเมื่อเติมราก่อนกลม สายพันธุ์ Unknown 04 ในน้ำทิ้ง ความเข้มข้น 50% ในวันที่ 0 (A) และ วันที่ 7 (B) ของการบ่มที่อุณหภูมิห้อง เขย่า 120 รอบ ต่อ นาที	43
3.6	ลักษณะพื้นผิวของวัสดุเศษเหลือปาล์ม น้ำมัน ส่องโดย SEM กำลังขยาย 200x; ทะลายเปล่าปาล์ม น้ำมัน (A) และ เส้นใยปาล์ม น้ำมัน (B)	45
3.7	ราไวท์รอต <i>Trametes hirsuta</i> AK4 ที่ตรึงบนทะลายปาล์มเปล่า ระยะเวลา 0 วัน (A), 2 วัน (B), 4 วัน (C), 6 วัน (D), 8 วัน (E) และ 10 วัน (F) เมื่อบ่มใน อุณหภูมิห้อง สภาวะคงที่	48
3.8	ลักษณะการยึดเกาะของราไวท์รอต <i>Trametes hirsuta</i> AK4 ที่ตรึงบนทะลาย เปล่าปาล์ม น้ำมัน หลังจากการตรึงเซลล์ 2 วัน (A), 4 วัน (B) และการเกาะติด ของเส้นใยระหว่างช่องว่างรูพรุนของทะลายปาล์ม น้ำมัน (C) เมื่อส่องโดย SEM กำลังขยาย 600X	49

## รายการรูป(ต่อ)

รูปที่		หน้า
3.9	ประสิทธิภาพการย่อยสลายสารประกอบฟีนอลิกและสีในน้ำทิ้งโรงงานสกัดน้ำมันปาล์มความเข้มข้น 50% ของราไวที่รอตสายพันธุ์ <i>Trametes hirsuta</i> AK4 ที่ตรึงบนทะเลลายเปล่าปาล์มน้ำมันระยะเวลา 2-10 วัน บ่มในอุณหภูมิห้อง เขย่า 120 รอบต่อนาที	51
3.10	กิจกรรมเอนไซม์ Laccase (A), Manganese Peroxidase (B) ในน้ำทิ้งโรงงานสกัดน้ำมันปาล์มความเข้มข้น 50% ของราไวที่รอตสายพันธุ์ <i>Trametes hirsuta</i> AK4 ที่ตรึงบนทะเลลายเปล่าปาล์มน้ำมันระยะเวลา 2-10 วัน บ่มในอุณหภูมิห้อง เขย่า 120 รอบต่อนาที	52
3.11	น้ำหนักแห้งของราไวที่รอตสายพันธุ์ <i>Trametes hirsuta</i> AK4 ที่ถูกตรึงรวมกับน้ำหนักแห้งของทะเลลายเปล่าที่ระยะเวลาการตรึง 2-10 วัน ก่อนและหลังนำไปบำบัดน้ำทิ้งโรงงานสกัดน้ำมันปาล์มความเข้มข้น 50%	53
3.12	รูปร่างราไวที่รอต <i>Trametes hirsuta</i> AK4 ที่ตรึงบนเส้นใยปาล์มน้ำมันระยะเวลา 0 วัน (A), 2 วัน (B), 4 วัน (C), 6 วัน (D), 8 วัน (E) และ 10 วัน (F) เมื่อบ่มในอุณหภูมิห้อง สภาวะคงที่	55
3.13	ลักษณะการยึดเกาะของราไวที่รอต <i>Trametes hirsuta</i> AK4 ที่ตรึงบนเส้นใยปาล์มน้ำมัน หลังจากการตรึงเซลล์ 6 วัน (A) และการยึดเกาะในช่องว่างของวัสดุตรึง (B) เมื่อส่องโดยSEM กำลังขยาย 600X-1,200X	55
3.14	ประสิทธิภาพการกำจัดสารประกอบฟีนอลิก (A) และสี (B) ในน้ำทิ้งโรงงานสกัดน้ำมันปาล์มความเข้มข้น 50% ของราไวที่รอตสายพันธุ์ <i>Trametes hirsuta</i> AK4 ที่ตรึงบนเส้นใยปาล์มน้ำมันระยะเวลา 2-10 วัน บ่มในอุณหภูมิห้อง เขย่า 120 รอบต่อนาที	57
3.15	กิจกรรมเอนไซม์ Laccase (A), Manganese Peroxidase (B) ในน้ำทิ้งโรงงานสกัดน้ำมันปาล์มความเข้มข้น 50% ของราไวที่รอตสายพันธุ์ <i>Trametes hirsuta</i> AK4 ที่ตรึงบนเส้นใยปาล์มน้ำมันระยะเวลา 2-10 วัน บ่มในอุณหภูมิห้อง เขย่า 120 รอบต่อนาที	58

## รายการรูป(ต่อ)

รูปที่		หน้า
3.16	น้ำหนักแห้งของราไวก์รอตสายพันธุ์ <i>Trametes hirsuta</i> AK4 ที่ตรึงบนเส้นใย ปาล์มน้ำมันระยะเวลา 2-10 วัน ก่อนและหลังนำไปบำบัดน้ำทิ้งโรงงานงาน สกัดน้ำมันปาล์มความเข้มข้น 50%	59
3.17	การย่อยสลายสารประกอบฟีนอลิก (A) การกำจัดสี (B) และการเปลี่ยนแปลงpH (C)ในน้ำทิ้งโรงงานสกัดน้ำมันปาล์มความเข้มข้น25%- 100% ของราไวก์รอต สายพันธุ์ <i>Trametes hirsuta</i> AK4 ที่ตรึงบนเส้นใยปาล์มน้ำมัน บ่มในอุณหภูมิห้อง เขย่า 120 รอบต่อนาที	64
3.18	การเปลี่ยนแปลงสีของน้ำทิ้งโรงงานสกัดน้ำมันปาล์มความเข้มข้น25% (A), 50% (B), 75% (C) และ100% (D) ที่ผ่านการบำบัดด้วยราไวก์รอตสายพันธุ์ <i>Trametes hirsuta</i> AK4 ที่ตรึงบนเส้นใยปาล์มน้ำมัน บ่มเป็นระยะเวลา 0-8 วัน	65
3.19	การย่อยสลายสารประกอบฟีนอลิก (A) การกำจัดสี (B) และการเปลี่ยนแปลงpH (C) ในน้ำทิ้งโรงงานสกัดน้ำมันปาล์มที่มีการเติมแหล่งอาหารร่วม C และ N ต่างๆ ของราไวก์รอต <i>Trametes hirsuta</i> AK4 ที่ตรึงบนเส้นใยปาล์มน้ำมัน บ่มในอุณหภูมิ ห้อง เขย่า 120 รอบต่อนาที	68
3.20	การเปลี่ยนแปลงสีของน้ำทิ้งโรงงานสกัดน้ำมันปาล์ม (A), น้ำทิ้งที่เติมน้ำตาล กลูโคส 1% w/v (B) ,น้ำทิ้งที่เติมแอม โมเนียมคลอไรด์ 1% w/v (C) และน้ำทิ้งที่ เติมน้ำตาลกลูโคส 1% w/v ร่วมกับแอมโมเนียมคลอไรด์ 1% w/v (D) ที่ผ่านการ บำบัดด้วยราไวก์รอตสายพันธุ์ <i>Trametes hirsuta</i> AK4 ที่ตรึงบนเส้นใยปาล์มน้ำมัน	69
3.21	การย่อยสลายสารประกอบฟีนอลิก (A) การกำจัดสี (B) และการเปลี่ยนแปลง pH (C) ของโรงงานสกัดน้ำมันปาล์ม ที่ผ่านการบำบัดขั้นต้นด้วยแบคทีเรียย่อยสลาย ฟีนอลที่ระยะเวลา 4- 72 ชม. และบำบัดต่อโดยใช้ราไวก์รอตสายพันธุ์ <i>Trametes</i> <i>hirsuta</i> AK4 ที่ตรึงบนเส้นใยปาล์มน้ำมัน บ่มในอุณหภูมิห้อง เขย่า 120 รอบต่อนาที	73
3.22	การเปลี่ยนแปลงสีของน้ำทิ้งโรงงานสกัดน้ำมันปาล์มที่ผ่านการบำบัดขั้นต้นด้วย แบคทีเรียย่อยสลายฟีนอลที่ระยะเวลา 4 ชม. (A), 8 ชม. (B) , 24 ชม. (C), 48 ชม. (D), 72 ชม. (E) และบำบัดต่อด้วยราไวก์รอตสายพันธุ์ <i>Trametes hirsuta</i> AK4 ที่ตรึงบนเส้นใยปาล์มน้ำมัน เปรียบเทียบกับน้ำทิ้งที่ไม่ผ่านการบำบัด (F) เมื่อ บ่มเป็นระยะเวลา 0-8 วัน	75

### รายการรูป(ต่อ)

รูปที่		หน้า
3.23	การย่อยสลายสารประกอบฟีนอลิก (A) การกำจัดสี (B) และการเปลี่ยนแปลง pH (C) ในน้ำทิ้งโรงงานสกัดน้ำมันปาล์มที่บำบัดด้วยราไวท์รอตสายพันธุ์ <i>Trametes hirsuta</i> AK4 ตรึงบนเส้นใยปาล์มน้ำมันที่ผ่านและไม่ผ่านการปรับตัว บ่มในอุณหภูมิห้อง เขย่า 120 รอบต่อนาที	77
3.24	การเปลี่ยนแปลงสีของน้ำทิ้งโรงงานสกัดน้ำมันปาล์มที่ผ่านการบำบัดด้วยราไวท์รอตสายพันธุ์ <i>Trametes hirsuta</i> AK4 ที่ตรึงบนเส้นใยปาล์มน้ำมัน แบบไม่ปรับตัว (A) และแบบปรับตัว (B)	78
ข.1	กราฟมาตรฐานของกรดGallic	101
ข.2	กราฟมาตรฐานของสารละลายมาตรฐานแพลทตินัม โคบอลต์	102
ง.1	ลำดับนิวคลีโอไทด์ ITS1-4 บน 18S rDNA ของราไวท์รอต Unknown04	106



### คำอธิบายสัญลักษณ์ และคำย่อ

EFB	= empty fruit bunch
PF	= pericarp fiber
POME	= palm oil mill effluent
N	= nitrogen
P	= phosphorus
K	= potassium
SEM	= scanning electron microscope
LiP	= Lignin Peroxidase
MnP	= Manganese Peroxidase

## บทที่ 1

### บทนำ

#### 1.1 ที่มาและความสำคัญ

อุตสาหกรรมสกัดน้ำมันปาล์มเป็นหนึ่งในอุตสาหกรรมหลักที่สำคัญของภาคใต้ ปัจจุบันมีความต้องการใช้น้ำมันปาล์มในอุตสาหกรรมต่าง ๆ มีแนวโน้มเพิ่มมากขึ้น ผลจากการขยายตัวของการผลิตที่เพิ่มขึ้น ก่อให้เกิดมลพิษและของเสียออกสู่สิ่งแวดล้อมทั้งวัสดุเศษเหลือในรูปของแข็ง ได้แก่ ทะลายปาล์มเปล่า (empty fruit bunch) เส้นใยปาล์ม (pericarp fiber) และกะลาผลปาล์ม (palm shell) ออกมาเป็นจำนวนมาก หากมีการจัดการที่เหมาะสมและสามารถนำวัสดุเหล่านี้ไปใช้ประโยชน์ จะช่วยเพิ่มมูลค่าให้แก่วัสดุเศษเหลือและช่วยในการจัดการของเสียได้อีกทางหนึ่งด้วย นอกจากนี้กระบวนการสกัดน้ำมันปาล์มแบบใช้น้ำ (แบบมาตรฐาน) ยังผลิตน้ำเสียออกมาปริมาณมาก มีรายงานว่าในการผลิตน้ำมันปาล์มดิบ 1 ตัน ต้องใช้น้ำประมาณ 5-5.7 ตัน และน้ำที่ใช้ในการผลิตมากกว่า 50% กลายเป็นน้ำทิ้ง (Ahmad *et al.*, 2003) น้ำเสียส่วนใหญ่เกิดจากกระบวนการผลิตในขั้นตอนการอบทะลายปาล์มในรูปน้ำเสียจากหม้อนึ่งฆ่าเชื้อ และน้ำเสียจากเครื่องเหวี่ยงแยกน้ำมันจากน้ำสลัดจ์ (sludge) ซึ่งมีปริมาณสารอินทรีย์สูง มีสีคล้ำ ยากแก่การกำจัด (พูนสุข ประเสริฐ สรรพ์และคณะ, 2544)

โรงงานสกัดน้ำมันปาล์มส่วนใหญ่ใช้วิธีบำบัดน้ำเสียแบบระบบชุดบ่อ ใ้ร้อากาศร่วมกับบ่อเติมอากาศและบ่อผึ่งต่อเนื่องกัน (สำนักงานเทคโนโลยีสิ่งแวดล้อม, 2540) อย่างไรก็ตามน้ำเสียที่ผ่านการบำบัดแล้วก็ยังไม่สามารถปล่อยทิ้งลงสู่แหล่งน้ำธรรมชาติได้ เนื่องจากน้ำทิ้งดังกล่าวยังคงมีสีน้ำตาลคล้ำ อันเป็นที่พึงรังเกียจ ซึ่งเกิดจากสารประกอบจำพวกแอนโทไซยานิน แคโรทีน เมลานอยดิน ลิกนิน แทนนิน และโพลีฟีนอล (Hartley, 1977; Hwang *et al.*, 1978; Barker and Worgan, 1981) สีคล้ำของน้ำเสียมีผลในการลดการทะลุผ่านของแสงแดดลงสู่ได้น้ำ ทำให้พืชที่อยู่ในน้ำเกิดการสังเคราะห์แสงลดน้อยลงขัดขวางการเจริญเติบโตของสิ่งมีชีวิตในน้ำที่มีการใช้ออกซิเจน รวมทั้งก่อให้เกิดทัศนียภาพที่ไม่ดีอีกด้วย (Park *et al.*, 2007; Wang, 2008) นอกจากนี้ยังพบว่าในน้ำทิ้งโรงงานสกัดน้ำมันปาล์มมีการปนเปื้อนของสารประกอบฟีนอลิกซึ่งเป็นสารอินทรีย์ที่พบในผลปาล์ม และจะถูกปลดปล่อยออกมาระหว่างกระบวนการนึ่งฆ่าเชื้อในการสกัดน้ำมันปาล์มแบบมาตรฐาน ในขั้นตอนนี้จะมีผลยับยั้งการทำงานของเอนไซม์โพลีฟีนอลออกซิเดส (polyphenol oxidases) เป็นสาเหตุให้สารประกอบฟีนอลิกไม่ถูกย่อยสลาย (Sundram *et al.*, 2003)

และตกค้างมายังน้ำทิ้ง นอกจากนี้สารประกอบฟีนอลิกยังเป็นสารตัวกลางที่เกิดจากการย่อยสลาย ลิกนินผ่านกระบวนการ wet oxidation อีกด้วย (Kongjan *et al.*, 2010) จากรายงานที่ผ่านมาตรวจ พบปริมาณของสารประกอบฟีนอลิกในน้ำทิ้งของโรงงานสกัดน้ำมันปาล์มตั้งแต่ 30 มิลลิกรัมต่อ ลิตร ถึงสูงกว่า 1,000 มิลลิกรัมต่อลิตร (Alam *et al.*, 2009; Limkhunsuwan and Chaiprasert, 2010; พนิดา โต๊ะสูง, 2555) สารประกอบฟีนอลิกมีคุณสมบัติยับยั้งการเจริญและการทำงานของจุลินทรีย์ ส่งผลให้การย่อยสลายทางชีวภาพเกิดขึ้นได้น้อยอีกทั้งสารประกอบฟีนอลิกบางชนิดมีความเป็นพิษ ต่อมนุษย์ และสิ่งมีชีวิตในระบบนิเวศ (Torrecilla, 2010) ซึ่งค่ามาตรฐานคุณภาพน้ำทิ้งจากโรงงาน อุตสาหกรรมกำหนดให้มีสารประกอบฟีนอลได้ไม่เกิน 1 มิลลิกรัมต่อลิตร (กรมควบคุมมลพิษ, 2539) และสิ่งต้องไม่เป็นที่พึงรังเกียจ ที่ผ่านมาโรงงานสกัดน้ำมันปาล์มแก้ไขปัญหาด้วยการนำน้ำทิ้ง ไปรดสวนปาล์มน้ำมัน และปล่อยให้เกิดการระเหยเองตามธรรมชาติแต่วิธีดังกล่าวไม่สามารถใช้ แก้ไขปัญหาได้อย่างยั่งยืน ดังนั้นจึงมีความจำเป็นจะต้องบำบัดน้ำทิ้งให้ได้ตามที่มาตรฐานกำหนด ไว้ เพื่อให้โรงงานสามารถปล่อยน้ำทิ้งออกสู่สิ่งแวดล้อมได้

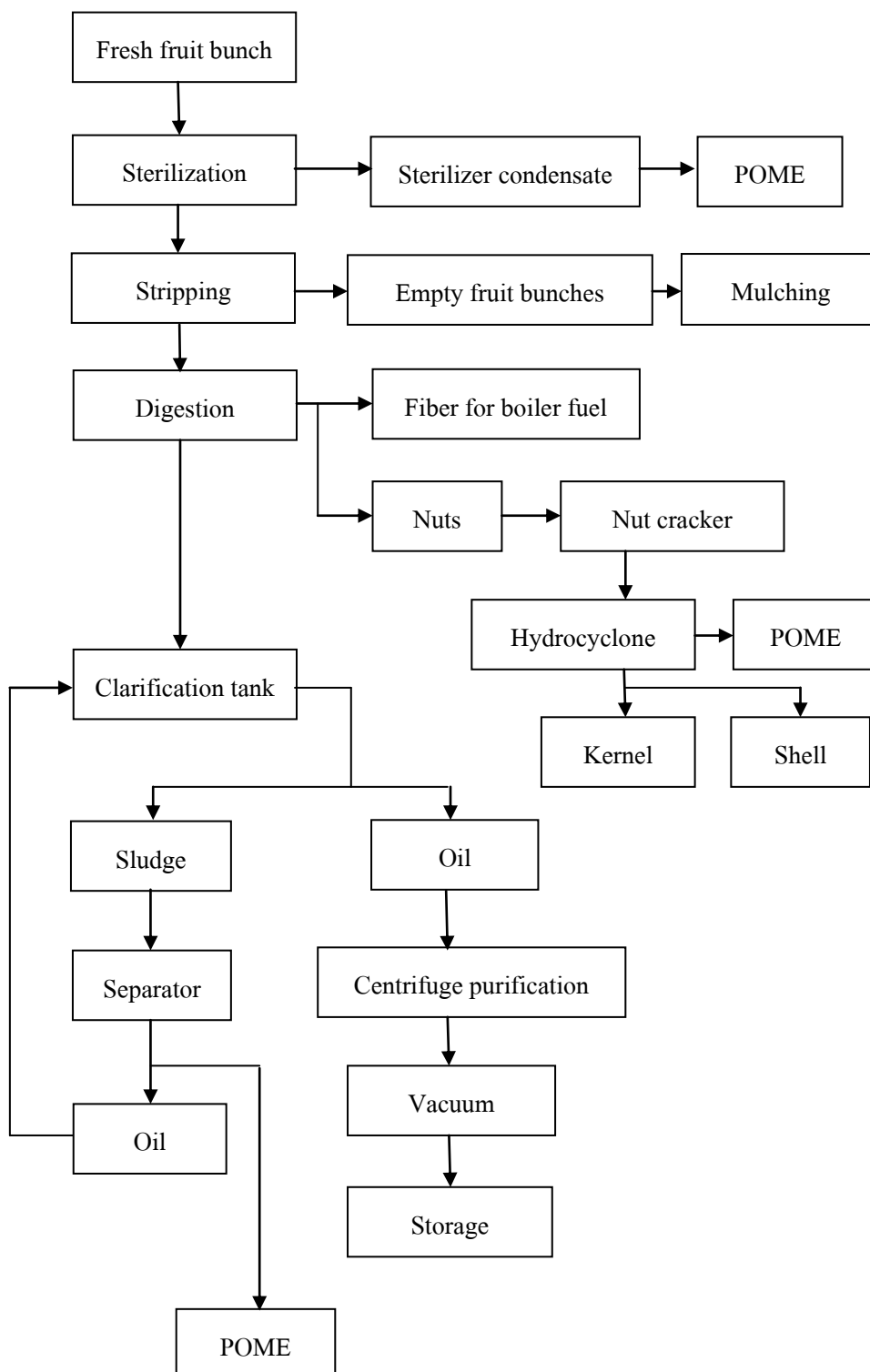
การกำจัดสีและสารประกอบฟีนอลิกในน้ำทิ้งด้วยกระบวนการทางชีวภาพ ถือเป็นวิธีที่มี ประสิทธิภาพสามารถย่อยสลายสารมลพิษได้อย่างสมบูรณ์ ต้นทุนไม่สูง และไม่ก่อให้เกิด ผลกระทบต่อสิ่งแวดล้อม จากรายงานที่ผ่านมาพบว่าราไวท์รอต (white rot fungi) ซึ่งเป็นราที่มี คุณสมบัติในการสร้างเอนไซม์ในกลุ่มลิกนินโพลิติก (ligninolytic enzyme) เพื่อย่อยสลายลิกนินใน เนื้อไม้ มีศักยภาพในการบำบัดสีและสารประกอบฟีนอลิกในน้ำเสียได้ดี (Gao *et al.*, 2010) นอกจากนี้ยังพบว่าการใช้จุลินทรีย์ตรึง (immobilized cells) ช่วยเพิ่มความทนทานต่อความเข้มข้น ของสารพิษต่าง ๆ ที่ปนเปื้อนในน้ำเสีย และทำให้จุลินทรีย์สามารถอยู่รอดได้ในสภาวะแวดล้อมที่ ไม่เหมาะสม (Obuekwe *et al.*, 2001) งานวิจัยนี้จึงสนใจศึกษาการตรึงราไวท์รอตบนวัสดุเศษเหลือ จากกระบวนการสกัดน้ำมันปาล์ม 2 ชนิด ได้แก่ ทะลายปาล์มเปล่า และเส้นใยปาล์มน้ำมัน ในระดับ ห้องปฏิบัติการ เพื่อศึกษาข้อมูลเบื้องต้นในการบำบัดสีและสารประกอบฟีนอลิกในน้ำทิ้งของ โรงงานสกัดน้ำมันปาล์ม อีกทั้งยังเป็นทางเลือกหนึ่งในการนำของเสียจากกระบวนการผลิตมาใช้ ประโยชน์ และเป็นการกำจัดของเสียอีกทางหนึ่งด้วย

## 1.2 การตรวจเอกสาร และงานวิจัยที่เกี่ยวข้อง

### 1.2.1 ของเสียจากอุตสาหกรรมสกัดน้ำมันปาล์ม

อุตสาหกรรมการสกัดน้ำมันปาล์มมีการแบ่งกระบวนการสกัดน้ำมันปาล์มตามการผลิตได้ 2 แบบ คือ 1) การผลิตแบบไม่ใช้น้ำหรือแบบแห้ง และ 2) การผลิตแบบมาตรฐานหรือแบบใช้น้ำ ซึ่งกระบวนการสกัดแบบมาตรฐานสามารถรองรับวัตถุดิบได้ในปริมาณมากและได้น้ำมันปาล์มดิบที่มีคุณภาพ กระบวนการสกัดแบบใช้น้ำแบ่งย่อยเป็น 2 ลักษณะ คือ เครื่องสกัดแยกน้ำมันแบบสกรู (decanter) และเครื่องสกัดแยกน้ำมันแบบหมุนเหวี่ยง (separator) โดยทั่วไปขั้นตอนในการสกัดน้ำมันปาล์มแบบใช้น้ำจะเริ่มจากการอบทะลายปาล์มสดด้วยไอน้ำที่อุณหภูมิ 120-130 องศาเซลเซียส ความดัน 40-50 ปอนด์ต่อตารางนิ้ว เป็นเวลา 40-60 นาที ดังแสดงในรูปที่ 1.1 ซึ่งการอบผลปาล์มจะช่วยยับยั้งปฏิกิริยาไลโปไลซิส (lipolysis) ที่ส่งผลให้เกิดกรดไขมันอิสระและเกิดกลิ่นหืน และนอกจากนี้จะทำให้ทะลายปาล์มเกิดความอ่อนนุ่ม ขั้วของผลปาล์มหลุดออกจากทะลายได้อย่างสะดวกต่อการย่อยและการหีบอัด ทะลายปาล์มที่ผ่านการนี้จะถูกป้อนเข้าเครื่องแยกผลปาล์ม ส่วนของทะลายปาล์มจะถูกลำเลียงออก ส่วนผลปาล์มที่แยกได้จะเข้าสู่เครื่องย่อยผลปาล์ม โดยทำการกวนผลปาล์มให้เส้นใยแยกจากเมล็ดและให้เซลล์น้ำมันเกิดการแตกตัว จากนั้นจะถูกป้อนเข้าเครื่องหีบอัดแบบเกลียว (screw press) น้ำมันจะถูกแยกออกจากน้ำ เศษเส้นใย และสิ่งสกปรกอื่นๆ โดยการใช้เครื่อง decanter หรือเครื่อง separator แต่น้ำมันดิบที่ได้โดยส่วนใหญ่ยังคงมีสิ่งเจือปนอยู่โดยเฉพาะอนุภาคของแข็ง จึงต้องผ่านเข้าเครื่องแยกเหวี่ยงความเร็วสูง แล้วจึงผ่านไปยังเครื่องคูดสุญญากาศเพื่อกำจัดความชื้น และจะถูกลำเลียงไปเก็บในถังเก็บน้ำมันขนาดใหญ่เพื่อรอเข้าสู่กระบวนการทำบริสุทธิ์หรือเตรียมจำหน่าย (พูนสุข ประเสริฐสรรพ และคณะ, 2533)

จากกระบวนการเหล่านี้ก่อให้เกิดวัสดุเศษเหลือจำนวนมาก ได้แก่ ทะลายปาล์มเปล่า กะลาผลปาล์ม เส้นใยปาล์ม และกากเนื้อปาล์ม (palm kernel cake) ดังแสดงในรูปที่ 1.2 โดยเฉพาะทะลายปาล์มเปล่า และเส้นใยปาล์มซึ่งมีปริมาณมากถึง  $9.0 \times 10^5$  และ  $6.0 \times 10^5$  ตันต่อปี (Chavalparit *et al.*, 2006) นอกจากนี้การสกัดน้ำมันปาล์มแบบมาตรฐานยังมีการใช้น้ำในการผลิตมาก มีรายงานว่ากระบวนการสกัดน้ำมันปาล์มดิบ 1 ตันต้องการใช้น้ำ 5 – 5.7 ตัน และน้ำที่ใช้ในการผลิตมากกว่าร้อยละ 50 กลายเป็นน้ำเสียและถูกบำบัดเป็นน้ำทิ้ง (palm oil mill effluent, POME) (Wu *et al.*, 2009) ปริมาณน้ำทิ้งส่วนใหญ่มาจากขั้นตอนการอบทะลายปาล์มในรูปน้ำทิ้งจากหม้อนึ่งมาเชื้อ (sterilizer condensate) และน้ำทิ้งจากเครื่องดีแคนเตอร์ (decanter effluent) โดยน้ำทิ้งจากหม้อนึ่งมาเชื้อมีประมาณ 200 ลิตรต่อ 10 ตันทะลายปาล์ม (พูนสุข ประเสริฐสรรพ และคณะ, 2533)



รูปที่ 1.1 กระบวนการสกัดน้ำมันปาล์ม

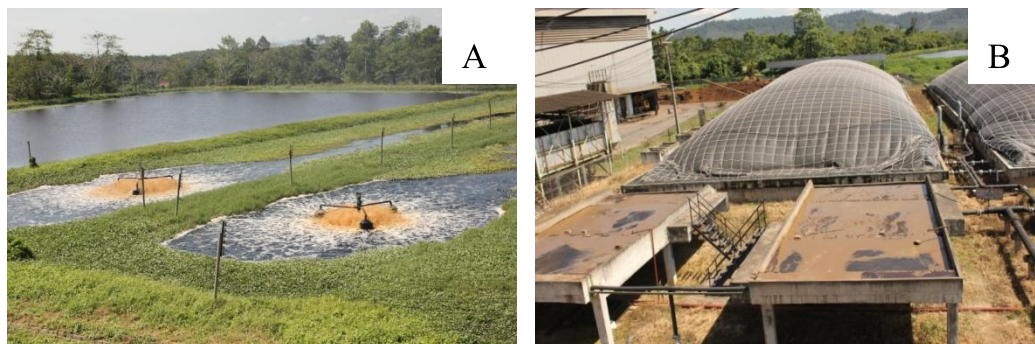
ที่มา : Lam and Lee (2011)

วัสดุเศษเหลือจากกระบวนการสกัดน้ำมันปาล์มมีการนำไปเป็นเชื้อเพลิงในหม้อไอน้ำ (Alam *et al.*, 2007) นอกจากนั้นยังมีการนำไปใช้ประโยชน์ประเภทอื่นด้วย เช่น ใช้เป็นส่วนผสมของวัสดุในการเพาะเห็ด หรือการทำปุ๋ยหมัก เป็นต้น



**รูปที่ 1.2** วัสดุเศษเหลือจากกระบวนการสกัดน้ำมันปาล์ม ทะลายปาล์มเปล่า (A), เส้นใยปาล์ม (B) และกะลาผลปาล์ม (C)

น้ำเสียที่เกิดจากกระบวนการสกัดน้ำมันปาล์มจะถูกรวบรวมและบำบัดด้วยกระบวนการทางชีวภาพ โดยโรงงานสกัดน้ำมันปาล์มนิยมใช้ชุดบ่อไร้อากาศร่วมกับบ่อเติมอากาศ และบ่อฝัง (oxidation pond) ดังแสดงในรูปที่ 1.3 A ซึ่งใช้พื้นที่มาก มักก่อให้เกิดปัญหากลิ่นรุนแรง มีประสิทธิภาพในการกำจัดสารอินทรีย์ต่ำ และยังก่อให้เกิดก๊าซเรือนกระจกส่งผลกระทบต่อสภาวะโลกร้อน ทำให้โรงงานสกัดน้ำมันปาล์มมีการพัฒนาระบบในการบำบัดน้ำเสียมาใช้ระบบถังปฏิกรณ์ไร้ออกซิเจนแบบปิด (closed anaerobic tank system) และระบบบ่อหมักไร้อากาศ (รูปที่ 1.3 B) ซึ่งทำให้เกิดการใช้ประโยชน์ของน้ำเสียในรูปแบบของก๊าซชีวภาพ (biogas) ซึ่งสามารถใช้ในการผลิตกระแสไฟฟ้าใช้ในโรงงานและบางส่วนยังขายให้กับภาครัฐ น้ำเสียที่ผ่านกระบวนการบำบัดด้วยวิธีการดังกล่าวจะกลายเป็นทิ้ง



รูปที่ 1.3 ระบบบำบัดน้ำเสียโรงงานสกัดน้ำมันปาล์ม บ่อผึ่ง (A) และ ระบบบ่อหมักไร้อากาศ (B)

น้ำทิ้งของโรงงานสกัดน้ำมันปาล์มมีความเข้มข้นของสารอินทรีย์สูงซึ่งมีค่า BOD, COD, ของแข็งแขวนลอย, น้ำมัน และไขมัน (oil and grease) ในปริมาณสูง น้ำทิ้งมีสีคล้ำ มีองค์ประกอบของสารย่อยสลายยาก (พูนสุข ประเสริฐสรรพและคณะ, 2544) โดยทั่วไปลักษณะน้ำทิ้งของโรงงานสกัดน้ำมันปาล์มแสดงดังตารางที่ 1 ซึ่งเมื่อเปรียบเทียบกับคุณลักษณะของน้ำทิ้งที่ระบายออกจากโรงงาน ตามประกาศกระทรวงอุตสาหกรรม ฉบับที่ 2 ปีพุทธศักราช 2539 จะพบว่าน้ำทิ้งโรงงานสกัดน้ำมันปาล์มมีค่าสูงกว่ามาตรฐานกำหนดไว้ ซึ่งมีความจำเป็นที่จะต้องบำบัดให้ได้ตามมาตรฐานก่อนที่จะปล่อยสู่แหล่งน้ำธรรมชาติ

ตารางที่ 1.1 ลักษณะของน้ำทิ้งโรงงานสกัดน้ำมันปาล์มและค่ามาตรฐานคุณภาพน้ำทิ้ง

พารามิเตอร์	*น้ำทิ้งโรงงานสกัดน้ำมันปาล์ม	**ค่ามาตรฐานคุณภาพน้ำทิ้ง
pH	3.5-4.8	5.5-9.0
BOD <sub>5</sub> (mg/L)	22,000-25,000	≤60
COD (mg/L)	30,000-55,000	≤400
TKN (mg/L)	660-890	≤200
TSS (mg/L)	36,500-42,600	-
Oil & Grease (mg/L)	1,300-4,700	≤15

ที่มา : \* Ma *et al.* (2000), Bhatia *et al.* (2007)

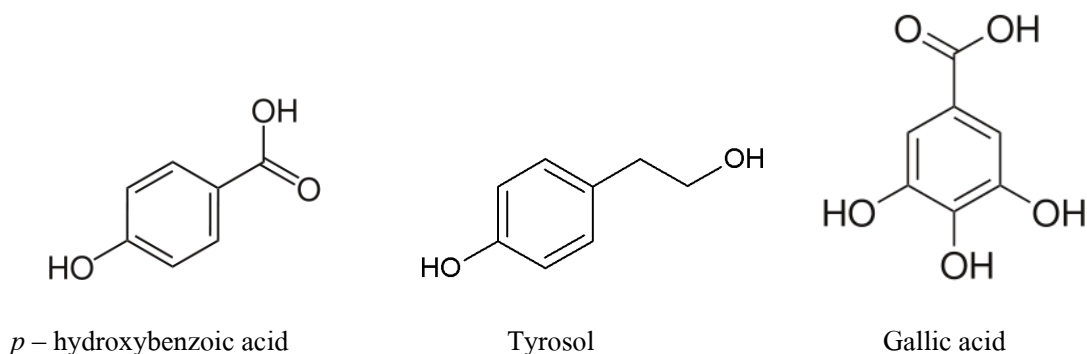
\*\* ประกาศกระทรวงอุตสาหกรรม ฉบับที่ 2 (พ.ศ. 2539) ลงวันที่ 14 มิถุนายน 2539 เรื่อง กำหนดคุณลักษณะของน้ำทิ้งที่ระบายออกจากโรงงาน ตีพิมพ์ในราชกิจจานุเบกษา เล่มที่ 113 ตอนที่ 52 ง ลงวันที่ 27 มิถุนายน 2539

### 1.2.2 สีและสารประกอบฟีนอลิกในน้ำทิ้งโรงงานสกัดน้ำมันปาล์ม

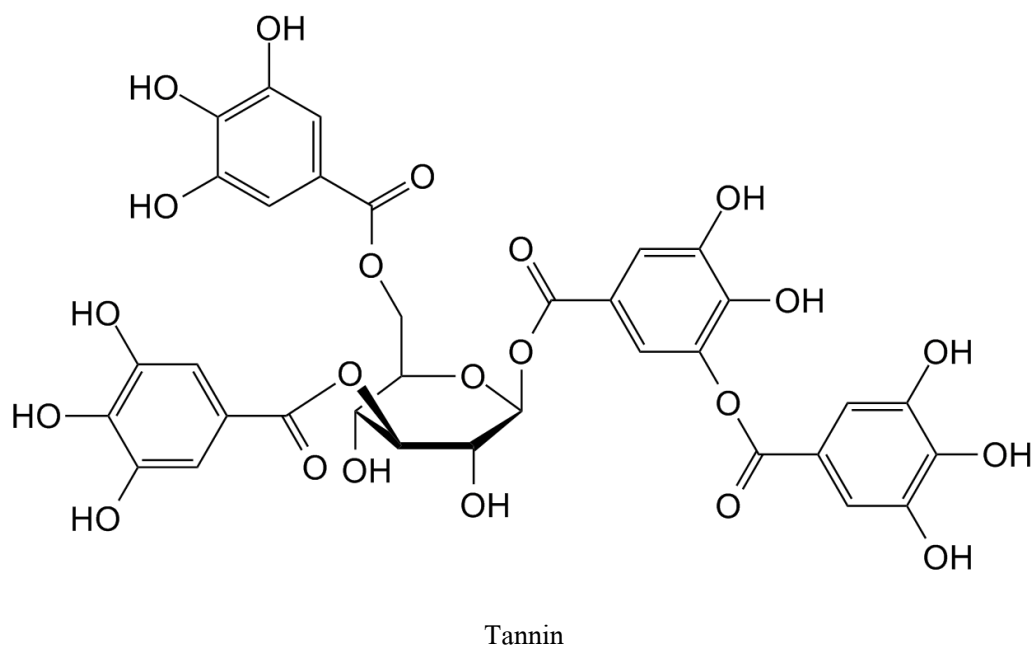
น้ำทิ้งโรงงานสกัดน้ำมันปาล์มมีสีน้ำตาลคล้ำเป็นสีจริงซึ่งละลายเป็นเนื้อเดียวกับน้ำ เกิดจากสารประกอบจำพวกแอนโทไซยานิน แคโรทีน เมลานอยดิน ลิกนิน แทนนิน และโพลีฟีนอล (Hartley, 1977; Hwang *et al.*, 1978; Barker and Worgan, 1981) ซึ่งเป็นองค์ประกอบที่พบในพืช รวมถึงปาล์มปาล์มน้ำมันซึ่งถูกสกัดออกมาพร้อมกับกระบวนการสกัดน้ำมันปาล์มดิบ ฟีนอลและอนุพันธ์ของฟีนอล หรือสารประกอบฟีนอลิก (phenols, phenolics, phenolic compounds) เป็นสารที่พบเป็นองค์ประกอบอยู่ในผลปาล์มปริมาณ 0.006 มิลลิกรัมต่อลิตร ต่อกรัมผลปาล์ม หรือมี total phenolic content เท่ากับ 83.97 กรัมต่อลิตร gallic acid equivalent (GAE) ต่อกรัมสารสกัดจากผลปาล์ม (Sundram *et al.*, 2003) โดยพบการปนเปื้อนของสารประกอบฟีนอลิกในน้ำเสียและน้ำทิ้งที่ผ่านการบำบัดแล้วของโรงงานสกัดน้ำมันปาล์มที่ความเข้มข้นต่าง ๆ ตั้งแต่ 1 ถึงมากกว่า 1,000 มิลลิกรัมต่อลิตร (จินตนา แก้วบริสุทธิ์, 2541; ธรรมศักดิ์ ศรีสุกใส, 2547; Alam *et al.*, 2009) และจากการศึกษาของ Chantho *et al.* (2013) พบว่าน้ำเสียโรงงานสกัดน้ำมันปาล์มมีการปนเปื้อนของสารประกอบฟีนอลิกรวมถึง 1,206 มิลลิกรัมต่อลิตร ซึ่งเมื่อนำน้ำเสียดังกล่าวมาศึกษาชนิดของสารประกอบฟีนอลิกด้วยเครื่อง โครมาโทกราฟีของเหลวสมรรถนะสูง (High Performance Liquid Chromatography, HPLC) สามารถตรวจพบสารประกอบฟีนอลิกถึง 8 ชนิด ได้แก่ gallic acid, p-hydroxybenzoic acid, protocatechuic acid, caffeic acid, syringic acid, vanillic acid, p-coumaric acid และ ferulic acid โดยแต่ละชนิดมีความเข้มข้นอยู่ในช่วง 8.4-134 มิลลิกรัมต่อลิตร และพบว่า p-hydroxybenzoic acid เป็นสารประกอบฟีนอลิกที่พบมากที่สุดคือน้ำเสียโรงงานสกัดน้ำมันปาล์ม

สารประกอบฟีนอลิกมีสูตรโครงสร้างทางเคมีเป็นวงแหวนที่เป็นอนุพันธ์ของเบนซีน มีหมู่ไฮดรอกซิล (-OH-group) ต่ออยู่เป็นหลัก และอาจมีหมู่แทนที่ต่างๆ แทนที่ในตำแหน่ง ออโท (ortho) เมตา (meta) หรือพารา (para) ได้อีก สารประกอบฟีนอลิกพื้นฐาน คือ ฟีนอล (phenol) ประกอบด้วยวงแหวนเบนซีน 1 วง และหมู่ไฮดรอกซิล 1 หมู่ สารประกอบฟีนอลิกสามารถพบได้ในพืชและผลไม้หลายชนิด และสามารถแบ่งประเภทตามจำนวนวงแหวนฟีนอลได้ 3 ชนิด คือ (i) monocyclic phenols มีวงแหวนฟีนอลอยู่ 1 วง สามารถพบทั่วไปในพืช เช่น tyrosol, gallic acid และ p - hydroxybenzoic acid เป็นต้น ดังแสดงในรูปที่ 1.4 (ii) dicyclic phenols มีวงแหวนฟีนอล 2 วง เช่น flavonoids และ lignans เป็นต้น (iii) polycyclic phenols หรือ polyphenols เป็นสารประกอบฟีนอลิกที่มีวงแหวน ฟีนอลมากกว่า 2 วง เช่น lignins และ tannin (รูปที่ 1.5) เป็นต้น





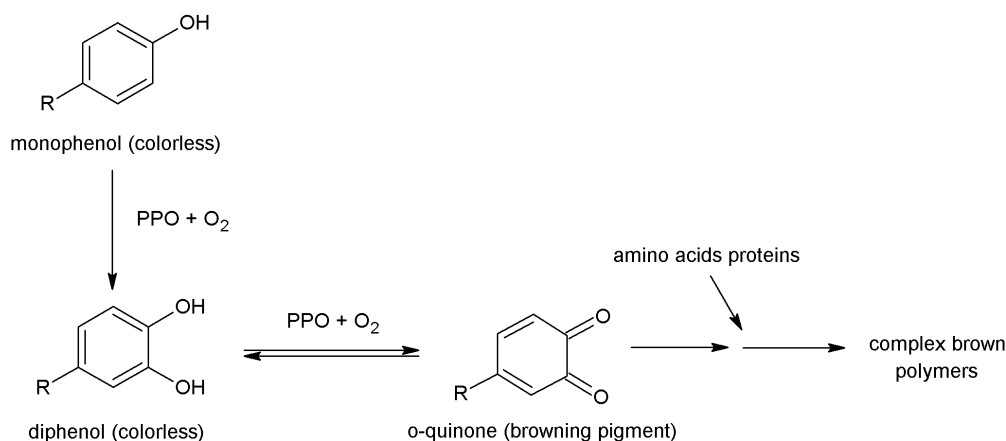
รูปที่ 1.4 โครงสร้าง monocyclic phenols เช่น *p* – hydroxybenzoic acid, Tyrosol และ Gallic acid



รูปที่ 1.5 ตัวอย่างโครงสร้าง polycyclic phenols หรือ polyphenols เช่น Tannin

สารประกอบฟีนอลิกที่มีการตกค้างในน้ำทิ้งของโรงงานสกัดน้ำมันปาล์มนี้ เกิดจากกระบวนการสกัดน้ำมันปาล์ม เมื่อเซลล์ผลปาล์มถูกทำลายจากการให้ความร้อนในขั้นตอนของการนึ่งด้วยไอน้ำ เกิดการแตกตัวขององค์ประกอบสารอินทรีย์จากขั้นตอนการหีบอัด ทำให้สารประกอบฟีนอลิกที่อยู่ในผลปาล์มถูกสกัดออกมาพร้อมกับน้ำมันและไอน้ำ ซึ่งสารประกอบฟีนอลิกจะละลายอยู่ในเฟสของน้ำได้ดีกว่าเฟสของน้ำมัน ทำให้สารประกอบฟีนอลิกปนเปื้อนมากับน้ำเสียจากกระบวนการผลิต และยังส่งผลต่อการเกิดสีของน้ำทิ้งโรงงานสกัดน้ำมันปาล์ม โดยสารประกอบฟีนอลิกที่ถูกสกัดออกมาสัมผัสกับออกซิเจนในอากาศทำให้เกิดปฏิกิริยาออกซิเดชัน โดยเอนไซม์โพลีฟีนอลออกซิเดส (polyphenol oxidase, PPO) เกิดเป็นสารออร์โท-ไดฟีโนล (*o*-diphenol) ซึ่งจะถูกออกซิไดซ์ต่อไปเป็น ออร์โท-ควิโนน (*o*-quinones) ซึ่งมีสีน้ำตาล และจะรวมตัว

กันเป็นสารโมเลกุลใหญ่ที่มีสีน้ำตาล ที่เรียกว่า เมลานิน (melanin) ซึ่งมีโครงสร้างซับซ้อน ยากต่อการกินตัว ปฏิกิริยานี้เรียกว่า ปฏิกิริยาการเกิดสีน้ำตาลที่เกี่ยวข้องกับเอนไซม์ (enzymatic browning reaction) ดังแสดงในรูปที่ 1.6 ซึ่งเป็นสาเหตุหนึ่งที่ทำให้เนื้อมันปลาดำมีสีน้ำตาลคล้ำ



รูปที่ 1.6 ปฏิกิริยาการเกิดสีน้ำตาลที่เกี่ยวข้องกับเอนไซม์ (enzymatic browning reaction)

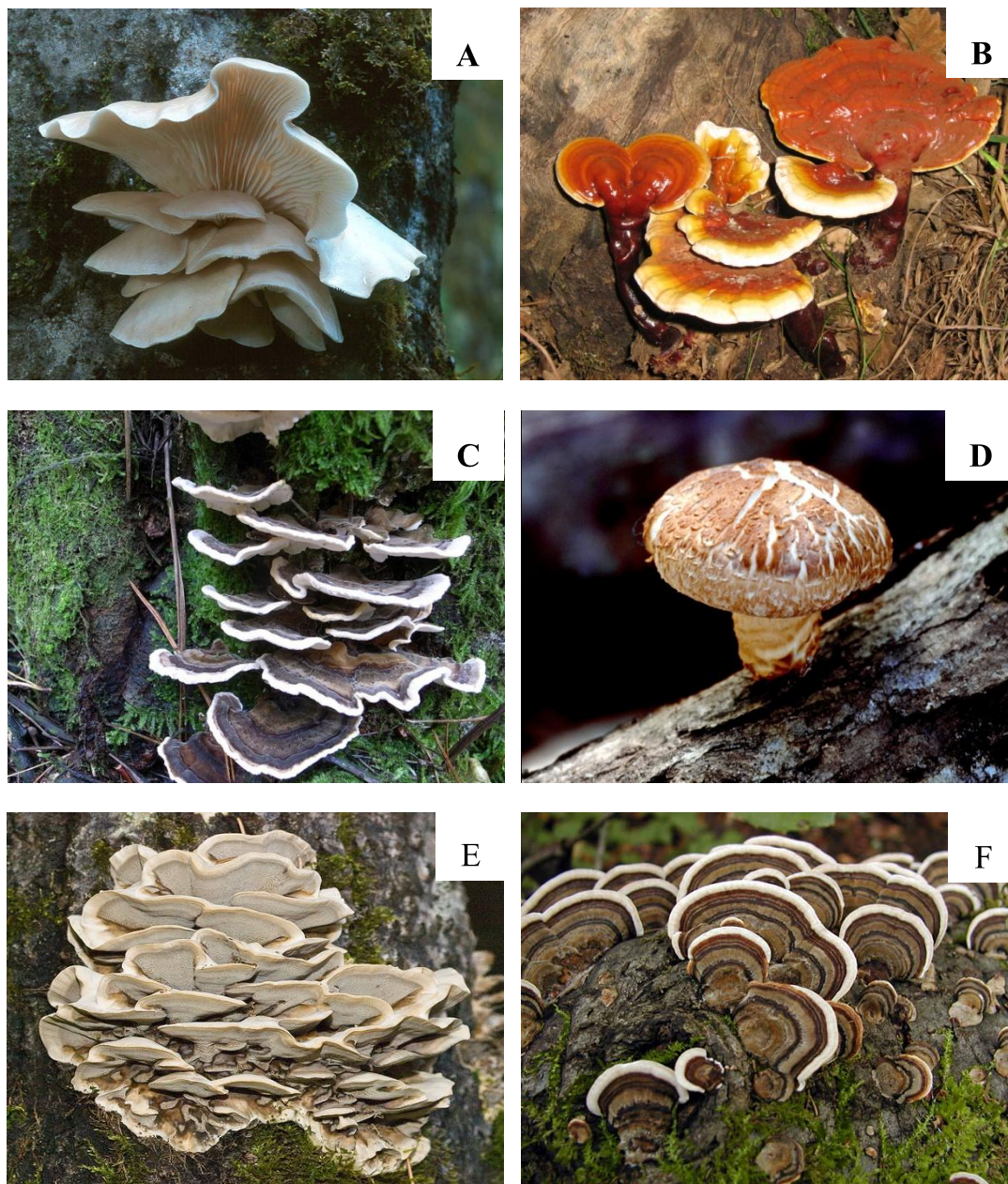
ที่มา : Sapers and Miller (1993)

มีรายงานว่าสารประกอบฟีนอลิกที่ปนเปื้อนในน้ำทิ้งโรงงานสกัดน้ำมันปลาดำบางชนิด มีคุณสมบัติต่อต้านการเจริญและการทำงานของจุลินทรีย์ (antimicrobial activity) มีความเป็นพิษต่อพืช (phytotoxicity) และต่อต้านกระบวนการออกซิเดชัน (antioxidation) ส่งผลให้การย่อยสลายทางชีวภาพเกิดขึ้นได้น้อย และจะยิ่งลดน้อยมากขึ้นหากมีความเข้มข้นของสารประกอบฟีนอลิกที่มากขึ้น (Torrecilla, 2010) ส่วนสีของน้ำทิ้งโรงงานสกัดน้ำมันปลาดำ มีผลทำให้ออกซิเจนที่สัมผัสผิวหน้าของน้ำลดลง ขัดขวางการเจริญของสิ่งมีชีวิตในน้ำที่มีการใช้ออกซิเจน ลดการทะลุผ่านของแสงแดดลงสู่ใต้น้ำ ทำให้พืชที่อยู่ในน้ำเกิดการสังเคราะห์แสงลดน้อยลง และนอกจากนี้สีของน้ำทิ้งโรงงานสกัดน้ำมันปลาดำยังก่อให้เกิดทัศนียภาพที่ไม่ดีอีกด้วย (Park *et al.*, 2007; Wang, 2008) และจากข้อกำหนดคุณลักษณะของน้ำทิ้งที่ระบายออกจากโรงงาน ตามประกาศกระทรวงอุตสาหกรรมฉบับที่ 2 ปีพุทธศักราช 2539 ระบุลักษณะของน้ำทิ้งที่จะต้องมียาฆ่าเชื้อโรค ไม่มากกว่า 1 มิลลิกรัมต่อลิตร และมีสีที่ต้องไม่เป็นที่พึงรังเกียจ อย่างไรก็ตามหลังผ่านการบำบัดน้ำเสียโรงงานสกัดน้ำมันปลาดำด้วยกระบวนการต่างๆ แล้วในบ่อน้ำทิ้งก็ยังคงพบการปนเปื้อนของฟีนอลสูงกว่าเกณฑ์มาตรฐาน รวมทั้งสีที่ยังไม่ได้ตามเกณฑ์มาตรฐานจึงมีความจำเป็นที่จะต้องพัฒนาระบบการบำบัดน้ำเสียของโรงงานสกัดน้ำมันปลาดำ เพื่อให้มีค่าตามมาตรฐานและสามารถปล่อยสู่แหล่งน้ำธรรมชาติได้

การกำจัดสีและสารประกอบฟีนอลิกในน้ำเสียและน้ำทิ้งของโรงงานอุตสาหกรรม สามารถทำได้หลายวิธี ได้แก่ วิธีการทางกายภาพ เช่น การกรองด้วยเมมเบรน (Ahmand *et al.*, 2006) การดูดซับด้วยถ่านกัมมันต์ (Santhy and Selvapathy, 2005) วิธีการทางเคมี เช่น การตกตะกอนด้วยสารเคมี (Kim *et al.*, 2003) การออกซิเดชันทางเคมี ซึ่งวิธีเหล่านี้มีความยุ่งยากในการใช้งานและดูแลรักษา ค่าใช้จ่ายในการดำเนินงานค่อนข้างสูง ทั้งยังเป็นการเพิ่มสารเคมีเข้าสู่ระบบสิ่งแวดล้อม ดังนั้นวิธีการทางชีวภาพโดยอาศัยกระบวนการย่อยสลายทางชีวภาพของจุลินทรีย์ เช่น แบคทีเรีย และเชื้อรา โดยเฉพาะกลุ่มราไวท์รอต ซึ่งสามารถกำจัดสารที่ย่อยสลายยากได้อย่างสมบูรณ์ จึงเป็นวิธีการที่ได้รับความนิยม เป็นวิธีการที่มีประสิทธิภาพ ต้นทุนไม่สูงมาก และเป็นมิตรกับสิ่งแวดล้อม

#### 1.2.4 ราไวท์รอตและเอนไซม์ในกลุ่มลิกนินโไลติก (Ligninolytic enzyme)

ราไวท์รอตเป็นกลุ่มของราที่มีความสามารถในการผลิตเอนไซม์ในกลุ่มลิกนินโไลติก (ligninolytic enzyme) ที่สามารถย่อยสลายได้ทั้งเซลลูโลส เฮมิเซลลูโลสและลิกนินที่เป็นองค์ประกอบในพืช โดยสามารถย่อยสลายลิกนินและเฮมิเซลลูโลสได้เร็วกว่าเซลลูโลส นอกจากนี้รากลุ่มนี้บางชนิดยังย่อยสลายลิกนินได้อย่างสมบูรณ์ได้ผลผลิตเป็นคาร์บอนไดออกไซด์และน้ำ ราไวท์รอตจัดเป็นราใน Class Basidiomycetes ลักษณะทั่วไปของรากลุ่มนี้ คือเป็นราที่ไม่มีคลอโรพลาสต์จึงไม่สามารถสร้างอาหารเองได้ ต้องอาศัยอาหารจากสิ่งมีชีวิตหรือพืช มีรูปร่างแบบเส้นใย (Filament) และลักษณะเซลล์เป็นแบบหลายเซลล์ (multicellular) โดยการเจริญจะไปเพิ่มความยาวออกที่ส่วนปลาย (apical growth) แต่ละส่วนของเส้นใยสามารถเจริญเป็นหน่วยใหม่ได้ภายในเส้นใยถูกแบ่งออกเป็นส่วนๆ ด้วยผนังกัน (septum) ราไวท์รอตเป็นราที่มีความสำคัญในการย่อยสลายไม้ให้เป็นสีขาวได้ ซึ่งเกิดจากการย่อยสลายลิกนินและเฮมิเซลลูโลสที่มีสีน้ำตาล ทำให้เหลือส่วนที่เป็นเซลลูโลสเห็นเป็นลักษณะของชั้นเส้นใยที่มีสีอ่อนจางลงกว่าเดิมคล้ายถูกฟอกสี นอกจากเซลลูโลสแล้วราไวท์รอตยังสามารถย่อยสลายสารที่มีโมเลกุลสูงได้ (Akhtar *et al.*, 1999) ด้วยเหตุนี้จึงมีการนำราไวท์รอตมาใช้ในการเปลี่ยนแปลงสภาพสารประกอบบางชนิดที่มีโครงสร้างคล้ายคลึงกับลิกนิน เพื่อลดความเป็นพิษไม่ให้เป็นอันตรายต่อสิ่งแวดล้อม เช่น ยาฆ่าแมลง (pesticides), สีสังเคราะห์ (synthetic dye), polycyclic aromatic hydrocarbon (PAHs), polychlorinated biphenyls (PCBs), carbontetrachloride และ pentachlorophenol (PCP) เป็นต้น (Gao *et al.*, 2010) ดังแสดงในตารางที่ 1.2 ราในกลุ่มนี้ได้แก่ *Coriolus versicolor*, *Trametes sp.*, *Phanerochaete chrysosporium*, *Phlebia radiata*, *Bjerkandera adusta*, *Pleurotus ostreatus* และ *Lentinus edodes* เป็นต้น ดังแสดงในรูปที่ 1.7



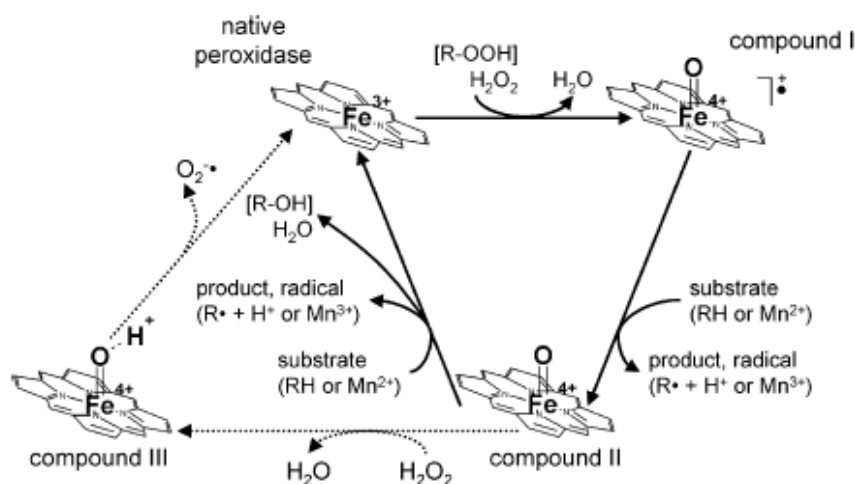
รูปที่ 1.7 ตัวอย่างราไม้ที่รื้อท *Pleurotus ostreatus* (A), *Ganoderma lucidum* (B), *Trametes* sp. (C), *Lentinus edodes* (D), *Bjerkandera adusta* (E) และ *Trametes versicolor* (F)

ตารางที่ 1.2 งานวิจัยที่เกี่ยวข้องกับการใช้ราไวท์รอตในการย่อยสลายสารมลพิษ

ราไวท์รอต	สารมลพิษ	อ้างอิง
<i>Bjerkandera adusta</i>	PAHs	Valentin <i>et al.</i> (2007)
	TNT	Eilers <i>et al.</i> (1999)
	Daunomycin producing waste	Kornilowicz <i>et al.</i> (2006)
<i>Irpex lacteus</i>	PAHs	Baborova <i>et al.</i> (2006)
	Synthetic dyes	Svobodova <i>et al.</i> (2008)
<i>Lentinus tigrinus</i>	PAHs	Valentin <i>et al.</i> (2006)
<i>Trametes versicolor</i>	Trichloroethylene (TCE)	Marcro-Urrea <i>et al.</i> (2008)
	Synthetic dyes	Gavril and Hodson (2007)
	Polysaccharide	Zhu <i>et al.</i> (2005)
<i>Phlebia radiata</i>	TNT	Aken <i>et al.</i> (1999)
<i>Pleurotus ostreatus</i>	Phenolics in wastewater	Aggelis <i>et al.</i> (2003)
<i>Phanerochaete chrysosporium</i>	PAHs (anthracene)	Mohammadi <i>et al.</i> (2009)
	Molasses wastewater	Vahabzadeh <i>et al.</i> (2004)
	Textile wastewater	Gomaa <i>et al.</i> (2008)

เอนไซม์กลุ่มลิกนินโพลีติก เป็นเอนไซม์เร่งปฏิกิริยาการย่อยสลายลิกนิน ประกอบด้วย เอนไซม์ประเภทเปอร์ออกซิเดส (peroxidases) และออกซิเดส (oxidases) หลายชนิด เอนไซม์ที่สำคัญได้แก่ เอนไซม์ลิกนินเปอร์ออกซิเดส (lignin peroxidases) แลคเคส (laccases, p-diphenol oxidase) แมงกานีสเปอร์ออกซิเดส (manganese peroxidases) และเอนไซม์ออกซิเดสที่ให้ไฮโดรเจนเปอร์ออกไซด์ (H<sub>2</sub>O<sub>2</sub>-producing oxidases) เอนไซม์ในกลุ่มนี้แต่ละตัวจะมีกลไกในการเกิดปฏิกิริยาที่แตกต่างกัน จัดเป็นเอนไซม์ที่ผลิตและหลั่งออกมาภายนอกเซลล์ (extracellular enzyme) แบ่งออกเป็น 3 กลุ่มใหญ่ๆ ได้แก่ lignin modifying enzymes, auxiliary enzymes และ feedback type enzyme ซึ่งราไวท์รอตแต่ละสายพันธุ์จะสร้างเอนไซม์แต่ละชนิดที่แตกต่างกัน (Leonowicz *et al.*, 1999) การย่อยสลายลิกนินโดยเอนไซม์จากรากลุ่มนี้อาจเกิดกลไกหลายๆ แบบรวมกัน เช่น การทำให้วงแหวนอะโรมาติกแตกออกโดยการเติมออกซิเจน (oxidative fission) หรือเกิดออกซิเดชันที่หมู่แอลฟาไฮดรอกซิล ( $\alpha$ -hydroxyl) การเติมน้ำที่ส่วนแอลฟาคาร์บอนิล ( $\alpha$ -carbonyl) และการตัดพันธะเอริลอีเทอร์ (aryl ether) เป็นต้น

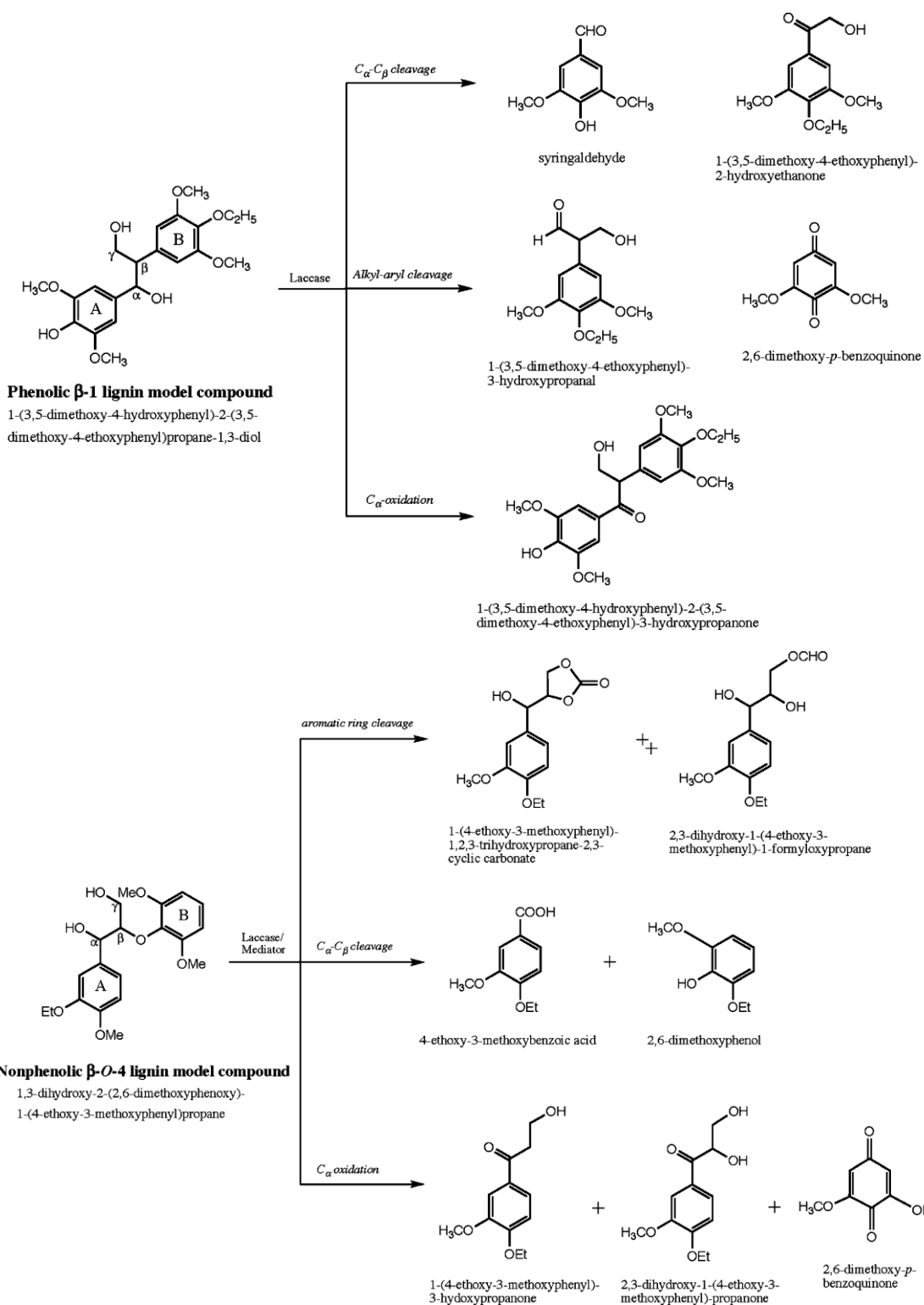
Lignin peroxidase (LiP) (EC 1.11.10.14) เป็น Ligninolytic enzyme ตัวแรกที่มีการค้นพบ และพบบ่อยใน *Phanerochaete chrysosporium*, *Trametes versicolor* และ *Bjerkandera* sp. จัดเป็นเอนไซม์ที่มี Ferric heme เป็นตัวให้อิเล็กตรอน สามารถ reduce โมเลกุลของออกซิเจนได้ สาร hydrogen peroxidase และ superoxide (Baciocchi *et al.*, 2002) กระบวนการทำงานของ LiP เริ่มจาก LiP ถูกออกซิไดส์โดยไฮโดรเจนเปอร์ออกไซด์ ( $H_2O_2$ ) ทำให้ LiP ขาดอิเล็กตรอนอยู่ในสถานะที่ไม่เสถียร จึงต้องดึงอิเล็กตรอนจากสับสเตรท เพื่อให้ตัวเองอยู่ในสถานะที่เสถียร (Aurora and Gill, 2001) ดังแสดงในรูปที่ 1.8 LiP เป็นเอนไซม์ที่เป็นตัว oxidant ที่แรงและไม่มีความจำเพาะต่อสับสเตรทตัวใดตัวหนึ่ง แต่เป็นเอนไซม์ที่มีความสามารถในการย่อยสลายโครงสร้างทั้ง phenolic aromatic compound และ non-phenolic aromatic compound (Tekre *et al.*, 2001)



รูปที่ 1.8 กลไกการทำงานของเอนไซม์ lignin peroxidase

ที่มา : Wesenberg, (2003)

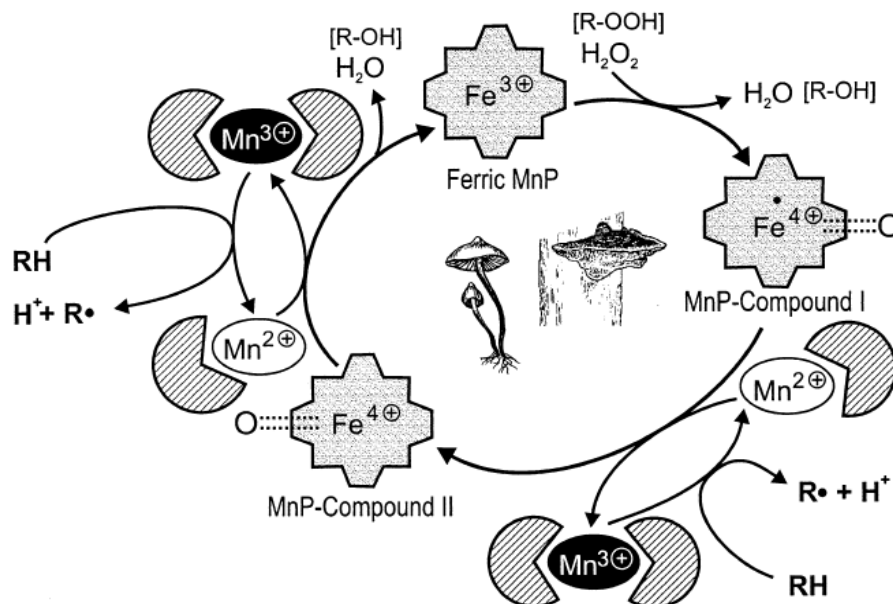
Laccases หรือ p-diphenol oxidase (EC 1.10.3.2) เป็นเอนไซม์ blue copper oxidase ที่สามารถเกิดปฏิกิริยา oxidation ของสาร phenolic และสับสเตรทอื่นๆ ที่มีปริมาณอิเล็กตรอนมาก และเป็นเอนไซม์ที่มี copper หลายอะตอมในโมเลกุลที่ทำหน้าที่เป็นตัวออกซิไดส์สับสเตรท มีกลไกการทำงานที่แตกต่างจาก peroxidase ตัวอื่นๆ คือไม่ต้องการ  $H_2O_2$  ในการออกซิไดส์สับสเตรท เอนไซม์ laccase สามารถออกซิไดส์ phenolic aromatic compound อย่าง lignin model dimer เช่น methylated phenol, aromatic amine นอกจากนี้แล้วยังสามารถออกซิไดส์พวก non-phenolic aromatic compound (รูปที่ 1.9) เช่น veratryl alcohol (Li *et al.*, 1998)



รูปที่ 1.9 กลไกของเอนไซม์ Laccase ในการออกซิไดซ์ phenolic aromatic compound และ non-phenolic aromatic compound

ที่มา : Wong (2008)

Manganese peroxidase (MnP) (EC 1.11.1.13) เป็นเอนไซม์ที่ไม่ได้ทำปฏิกิริยาโดยตรงกับโครงสร้างของลิกนิน แบ่งออกเป็น 2 กลุ่ม คือ (1) Manganese dependent peroxidase เป็น extracellular enzyme ที่นอกจากต้องการ  $H_2O_2$  ในการเกิดปฏิกิริยาออกซิไดส์ลิกนิน แล้วยังต้องการ  $Mn^{2+}$  เป็น co-factor ด้วย (2) Manganese independent peroxidase เป็น extracellular enzyme ที่ต้องการ  $H_2O_2$  ในการเกิดปฏิกิริยาออกซิไดส์ลิกนิน แต่ไม่ต้องการ  $Mn^{2+}$  สับสเตรทหลักของ Manganese peroxidase เป็นสารที่มีมวลโมเลกุลต่ำและส่วนใหญ่เป็นพวกกรดอินทรีย์ ในกลไกการย่อยสลายลิกนินจะมี Mn(II) ทำหน้าที่เป็นตัวให้อิเล็กตรอน โดยปฏิกิริยาจะเริ่มจาก MnP ถูกออกซิไดซ์โดย  $H_2O_2$  ต่อมา MnP ที่ขาดอิเล็กตรอนจะอยู่ในสถานะไม่เสถียรจึงรับอิเล็กตรอนจาก Mn(II) เกิดเป็น Mn(III) ที่เข้าไปรวมกับ organic acid chelator เช่น oxalate, malonate, lactate เกิดเป็น chelated-Mn(III) ไปออกซิไดส์ลิกนิน (Crecchio *et al.*, 1995) ดังแสดงในรูปที่ 1.10



รูปที่ 1.10 กลไกการทำงานของเอนไซม์ Manganese peroxidase

ที่มา : Hofrichter (2002)

จากการศึกษาที่ผ่านมาได้มีการนำราไวท์ร้อทมาใช้ในการลดสีและสารประกอบฟีนอลิกในน้ำเสียจากอุตสาหกรรมอย่างแพร่หลาย โดยเฉพาะการประยุกต์ใช้ในการบำบัดน้ำเสียของโรงงานสกัดน้ำมันมะกอก ซึ่งเป็นปัญหาลิ่งแวดล้อมหลักของประเทศแถบทะเลเมดิเตอร์เรเนียน ที่มีโรงงานสกัดน้ำมันมะกอกกระจายอยู่ทั่วไป (Fountoulakis *et al.*, 2002) ทั้งนี้มีรายงานว่าลักษณะน้ำเสียและน้ำทิ้งที่ผ่านการบำบัดแล้วของโรงงานดังกล่าวมีลักษณะคล้ายกับน้ำเสียและน้ำทิ้งที่ผ่านการบำบัดแล้วจากโรงงานสกัดน้ำมันปาล์ม ตัวอย่างงานวิจัยที่เกี่ยวข้องมีดังนี้



Annibale *et al.* (2004) ได้ศึกษาประสิทธิภาพการกำจัดสารประกอบฟีนอลิก, สี และซีโอดีของน้ำเสียโรงงานน้ำมันมะกอกของรา *Panus tigrinus* โดยศึกษาเปรียบเทียบระหว่างน้ำเสียโรงงานน้ำมันมะกอกที่มีความเข้มข้นสูงและความเข้มข้นต่ำ ซึ่งมีความเข้มข้นของสารประกอบฟีนอลิกเท่ากับ 5.5 กรัมต่อลิตรและ 2.9 กรัมต่อลิตร ตามลำดับและมีความเข้มข้นของสีเท่ากับ 27,000 หน่วยสีและ 25,00 ตามลำดับ หลังจากการบ่มที่อุณหภูมิ 28 องศาเซลเซียส เขย่าที่ 180 รอบต่อนาที เป็นระยะเวลา 13 วัน พบว่าในน้ำเสียโรงงานน้ำมันมะกอกที่มีความเข้มข้นของสารประกอบฟีนอลิกและซีโอดีสูงทำให้เชื้อรา *P. tigrinus* ไม่สามารถเจริญเติบโตได้ ทำให้ไม่เกิดการลดลงของสารประกอบฟีนอล, สี และซีโอดี แสดงให้เห็นว่าความเข้มข้นของสารประกอบฟีนอลิกที่สูงจะยับยั้งการเจริญเติบโตของเชื้อราไวท์รอต แต่ถ้ามีการกำจัดของแข็งแขวนลอยในน้ำเสียรวมทั้งเติมแหล่งอาหารร่วมคือ 0.5% sucrose และ 0.1% yeast extract จะทำให้เกิดการลดลงของสารประกอบฟีนอลและสีเท่ากับ 88% และ 33% ซึ่งต่างจากน้ำเสียโรงงานน้ำมันมะกอกที่ความเข้มข้นต่ำที่มีการเจริญเติบโตของ *P. tigrinus* และสามารถลดสารประกอบฟีนอลได้มากกว่า 89% รวมทั้งลดสีได้ถึง 72.4% ในน้ำเสียความเข้มข้นต่ำที่มีการเติมแหล่งอาหารร่วม

Ergul *et al.* (2009) ศึกษาความเป็นไปได้ในการลดสารประกอบฟีนอลิกในน้ำเสียโรงงานสกัดน้ำมันมะกอกที่ไม่ผ่านการเจือจาง ไม่เติมสารอาหาร และไม่มีการปรับปรุงมาก่อนโดยการใช้ราไวท์รอตสายพันธุ์ *Trametes versicolor* FPRL 28A INI ที่ผ่านกระบวนการปรับสภาพ พบว่าสามารถลดสารประกอบฟีนอลิกได้ถึง 78% จากการทดลองแบบเขย่าในขวดรูปชมพู่ และลดสารดังกล่าวได้ 39% ในการเลี้ยงแบบคงที่โดยใช้น้ำทิ้งที่ไม่เจือจาง ส่วนการเลี้ยงในสภาวะของถังหมักแบบให้อากาศอย่างต่อเนื่องพบว่าสารประกอบฟีนอลิกถูกลดลง 70% และสามารถลดสีได้ 18% ในวันที่ 8 ของการเลี้ยง โดยมีอัตราการให้อากาศที่ 0.25 vvm ทำการวิเคราะห์สารประกอบฟีนอลิกชนิดต่างๆ ด้วยเครื่อง GC-MS และตรวจพบกิจกรรมของเอนไซม์ที่ย่อยสลายสารประกอบฟีนอลิกคือ laccase และ manganese peroxidase (MnP) จากสภาวะดังกล่าว คือ  $762.14 \pm 42.11$  และ  $97.80 \pm 8.11$  U/L ตามลำดับ

Lakhatar *et al.* (2010) ได้ศึกษาการคัดเลือกราไวท์รอต *Lentimus edodes* ทั้งในอาหารแข็งและอาหารเหลวเพื่อย่อยสลายสารโพลีฟีนอล (Polyphenols) ในน้ำเสียโรงงานสกัดน้ำมันมะกอกพบว่าราไวท์รอต *Lentimus edodes* สายพันธุ์ Le119, Le212, Le122 และ Le118 เป็นสายพันธุ์ที่มีการเจริญสูงสุดในอาหารแข็ง potato dextrose agar (PDA) ที่มีการเติม 10% และ 20% ของน้ำเสียโรงงานสกัดน้ำมันมะกอก ตามลำดับ และเมื่อนำเชื้อราไวท์รอตทั้ง 4 สายพันธุ์ไปศึกษาการลดสีและสารประกอบฟีนอลิกของน้ำเสียโรงงานสกัดน้ำมันมะกอก พบว่า *L.edodes* Le119 เป็นสาย

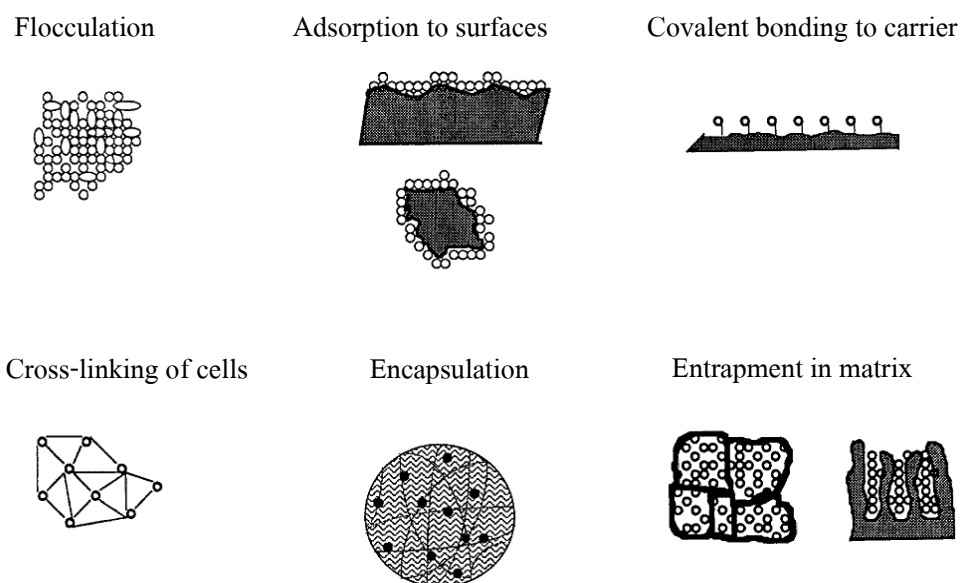
พันธุ์ที่มีประสิทธิภาพสูงสุด โดยสามารถลดสีและสารประกอบฟีนอลิกทั้งหมดภายในระยะเวลา 30 วัน ได้ 65% และ 75 % ตามลำดับ และให้กิจกรรมของเอนไซม์ laccase สูงสุดที่ 1.5 U/ml ในวันที่ 15 นอกจากนี้ยังพบว่าสามารถลด monomeric phenols ได้ถึง 75% โดยคิดจากค่าเฉลี่ยการลดลงของ monomeric phenols แต่ละตัวที่ศึกษา

นอกจากการศึกษาการใช้ราไวท์รอตในการลดสีและสารประกอบฟีนอลิกในน้ำเสียโรงงานสกัดน้ำมันมะกอกแล้ว ยังพบว่ามีการศึกษาในน้ำทิ้งโรงงานสกัดน้ำมันปาล์มอีกด้วย โดยที่ Rakamthong and Prasertsan (2011) ได้ศึกษาการลดลงของสีและฟีนอลจากตัวอย่างน้ำทิ้งบ่อสุดท้ายของระบบบำบัดน้ำเสียโรงงานสกัดน้ำมันปาล์มแบบบ่อหมักไร้อากาศโดยเชื้อ *Phanerochaete chrysosporium* ATCC24725 โดยแบ่งการทดลองเป็น 3 กลุ่ม คือ (1) เติมเชื้อลงในน้ำทิ้ง (2) เติมเชื้อลงไปในน้ำทิ้งที่ผสมกับน้ำทิ้งจากเครื่องดีแคนเตอร์ในอัตราส่วน 1:1 และ (3) ชุดควบคุม คือ น้ำทิ้งเพียงอย่างเดียว พบว่าเชื้อที่เติมลงไปในน้ำทิ้งที่ผสมกับน้ำทิ้งจากเครื่องดีแคนเตอร์ สามารถบำบัดสีและฟีนอลได้ดีกว่าน้ำทิ้งที่มีการเติมเชื้อเพียงอย่างเดียว โดยสามารถลดสีและฟีนอลในน้ำทิ้งได้ถึง 83.4 % และ 61.2 % ตามลำดับ

### 1.2.5 การตรึงราไวท์รอตเพื่อย่อยสลายสารมลพิษ

การตรึง (immobilization) หมายถึง เทคนิคที่ใช้ตรึงเซลล์ ออร์แกนเนล เอนไซม์ หรือโปรตีนอื่นๆ ซึ่งอาจเป็นการตรึงทางกายภาพหรือเคมีไว้บนวัสดุช่วยพยุงที่เป็นของแข็ง หรือตรึงภายในเนื้อสารที่เป็นของแข็ง หรือถูกกักไว้โดยแผ่นเยื่อ เพื่อเพิ่มความคงตัวและทำให้สามารถนำกลับมาใช้ใหม่หรือใช้อย่างต่อเนื่องได้ กระบวนการตรึงเซลล์จุลินทรีย์สามารถแบ่งเป็น 2 ประเภท คือ (1) การเกาะติด/ดูดซับของเซลล์บนวัสดุด้วยวิธีธรรมชาติ (self-attachment immobilization) (2) การตรึงแบบสังเคราะห์ (artificial immobilization) เช่น การกักขังเซลล์ในพอลิเมอร์ (entrapment within polymers) การสร้างพันธะโควาเลนต์ระหว่างเซลล์กับวัสดุตรึง (covalent bonding) เป็นต้น (Cohen *et al.*, 2001) ดังแสดงในรูปที่ 1.11 อย่างไรก็ตามเทคนิคการเกาะติดของเซลล์ด้วยวิธีธรรมชาติเป็นวิธีการตรึงเซลล์ที่ง่าย มีประสิทธิภาพ และสามารถขยายขนาดเพิ่มจำนวนเซลล์ตรึงได้ง่ายกว่าการตรึงแบบสังเคราะห์ นอกจากนั้นการตรึงเซลล์แบบกักขังยังมีข้อจำกัดเรื่องการแพร่ผ่านของสารอีกด้วย (Lee and Palsson, 1994) ปัจจัยที่สำคัญอีกประการหนึ่งที่ต้องคำนึงถึงในการตรึงเซลล์จุลินทรีย์ คือ การคัดเลือกวัสดุตรึงเซลล์ ซึ่งต้องเป็นวัสดุที่มีความเป็นรูพรุนสูง มีพื้นที่ผิวมากเพื่อใช้ในการยึดจับ ไม่ละลายน้ำ มีความแข็งแรง ทนทานต่อสภาพแวดล้อมทางกายภาพ-เคมี เช่น แรงกระแทกกระเทือน การเปลี่ยนแปลงของอุณหภูมิ พีเอช และการย่อยสลายโดยจุลินทรีย์ เนื่องจากการตรึงเซลล์ต้องทำในภาวะปลอดเชื้อ จึงต้องทนต่อความร้อน ความดันไอสสูง นอกจากนั้น

วัสดุที่ใช้ไม่ควรเป็นอันตรายต่อเซลล์และสิ่งแวดลอม และสามารถนำกลับมาใช้ซ้ำได้ (Kourkoutas *et al.*, 2004)



รูปที่ 1.11 การตรึงเซลล์

ที่มา : Cassidy *et al.* (1996)

แนวโน้มการนำเซลล์ตรึงมาใช้ประโยชน์ด้านสิ่งแวดล้อมได้เพิ่มจำนวนมากขึ้น สำหรับการตรึงราไวท์รอมที่มีข้อดีคือ ง่ายต่อการแยกระหว่างเซลล์ตรึงที่มีลักษณะเป็นของแข็ง และน้ำเสีย ซึ่งเป็นของเหลว สามารถนำเซลล์กลับมาใช้ใหม่ได้ง่าย ลดการอุดตันในระบบที่มีการไหลอย่างต่อเนื่อง (continuous-flow systems) (Tieng and Sun, 2000) นอกจากนี้การตรึงเซลล์ราไวท์รอมยังช่วยเพิ่มกิจกรรมของเอนไซม์ และมีความคงทนต่อสภาวะแวดล้อม เช่น พีเอช และความเข้มข้นของสารที่เป็นพิษ (Shin *et al.*, 2002) โดยทั่วไปการตรึงราไวท์รอมนิยมใช้การตรึงทั้ง 2 แบบ คือ การเกาะติด และการกักขัง ซึ่งจะมีการเลือกใช้วัสดุตรึงที่แตกต่างกันไปทั้งวัสดุธรรมชาติและวัสดุสังเคราะห์ การตรึงแบบกักขัง นิยมใช้ natural polymeric gels เช่น agar, carrageenan, alginate chitosan เป็นต้น และ synthetic polymers เช่น polyacrylamine, polyurethane, polyvinyl alcohol เป็นต้น (Katzbauer *et al.*, 1995) สำหรับการตรึงแบบการเกาะติดนิยมใช้วัสดุตรึงในรูปของ synthetic foams เช่น polyurethane foam และ nylon sponge นอกจากนี้วัสดุจากธรรมชาติจำพวก organic material เช่น เปลือกเมล็ดทานตะวัน (Rodriguez *et al.*, 2008) แกลบ (Li and Jia, 2008) และ ชั่งข้าวโพด (Tychanowicz *et al.*, 2004) สามารถนำมาใช้ในการตรึงราไวท์รอมแบบเกาะติด ซึ่งวัสดุดังกล่าวสามารถเป็นแหล่งอาหารให้แก็รา และช่วยกระตุ้นการสร้างเอนไซม์ในกลุ่มลิกนินโกล

ติกอีกด้วย เนื่องจากวัสดุเหล่านี้มีคุณสมบัติที่ใกล้เคียงกับสภาวะในธรรมชาติที่ราเจริญได้ดี (Rodriguez *et al.*, 2004) นอกจากนี้การนำวัสดุเศษเหลือจากการเกษตรหรืออุตสาหกรรมเกษตรมาเป็นวัสดุตั้งร่า นับเป็นวิธีหนึ่งในการกำจัดของเสียและเป็นมิตรต่อสิ่งแวดล้อม

การนำราไวท์รอกที่ถูกตรึงมาใช้เพื่อบำบัดสารมลพิษโดยเฉพาะในการกำจัดสีย้อม ซึ่งเป็นสารมลพิษที่เกิดจากอุตสาหกรรมสิ่งทอ หากไม่มีการจัดการที่เหมาะสม อาจส่งผลกระทบต่อสิ่งแวดล้อมใกล้เคียงได้ จึงมีการประยุกต์ใช้เซลล์ตรึงของราไวท์รอกในการกำจัดสีดังกล่าว ดังแสดงในตารางที่ 1.3

ตารางที่ 1.3 งานวิจัยที่ศึกษาการตรึงราไวท์รอกบนวัสดุต่างๆ เพื่อกำจัดสีย้อม

วัสดุตรึง	ราไวท์รอก	สีย้อม	อ้างอิง
Nylon sponge	<i>Pycnoporus cinnabarinus</i>	Remazol Brilliant Blue R	Schliephake and Lonergan (1996)
Corncob	<i>P. chrysosporium</i>	RBBR, Methyl Violet Congo Red	Tychanowicz <i>et al.</i> (2004)
Alginate beads	<i>P. chrysosporium</i>	Acid orange, Acid red 114, Vat Magenta	Radha <i>et al.</i> (2005)
Na- alginate beads	<i>F. trogii</i>	Acid Black 52	Park <i>et al.</i> (2006)
Stainless steel Sponges	<i>T. pubescens</i>	Reactive Black 5	Enayatzamir <i>et al.</i> (2008)
Sunflower seed shells	<i>T. pubescens</i>	Reactive Black 5	Rodriguez <i>et al.</i> (2009)

นอกจากการศึกษาใช้เซลล์ตรึงของราไวท์รอกในการกำจัดสีย้อมแล้ว ยังพบว่ามีการประยุกต์ใช้เซลล์ตรึงของราไวท์รอกในการบำบัดน้ำทิ้งจากอุตสาหกรรมประเภทอื่น ๆ อีกด้วย Kim and Shoda (1999) ได้ศึกษาการกำจัดสีจากน้ำตาลโดยใช้เส้นใยอิสระ และเส้นใยที่ถูกตรึงบน polyurethane foam ของ *Geotrichum candidum* Dec 1 ในการกำจัดสีแบบกึ่งกะ (semi-bath culture) มีการกำจัดสีร้อยละ 80 และเอนไซม์เปอร์ออกซิเดสมีความคงตัวตลอด 4 สัปดาห์ ส่วนการใช้เส้นใยที่ถูกตรึงยังมีความคงตัวในการกำจัดสีและกิจกรรมเอนไซม์เปอร์ออกซิเดสตลอด 8 สัปดาห์ และ Annibale *et al.* (1998) ทดลองใช้เส้นใยของ *Lentinus edodes* ที่ถูกตรึงบนฟองน้ำเพื่อบำบัดสีของน้ำทิ้งโรงงานสกัดน้ำมันมะกอก พบว่าสารอินทรีย์ทั้งหมด (TOC) ลดลงจากในรอบที่ 1, 2 และ 3

(รอบละ 8 วัน) ถึง 73%, 88% และ 75% ตามลำดับ ลดสารประกอบฟีนอลิกได้ 83.5%, 88.5% และ 78% ในขณะที่สีของน้ำทิ้งลดลง 75%, 72% และ 34% จากการศึกษาของ Bajpai *et al.* (1993) พบว่าการเติมกลูโคสเป็นแหล่งสับสเตรทร่วมลงในน้ำทิ้งโรงงานฟอกเยื่อไม้ ทำให้ราไวท์รอต *Tremetes viricolor* สามารถลดสีของน้ำทิ้งได้มากกว่า 80% ภายในเวลา 3 วัน นอกจากนี้ โสภาวรณ รัตนพันธุ์ (2547) ศึกษาการกำจัดสีของน้ำทิ้งโรงงานสกัดน้ำมันปาล์ม โดยใช้เส้นใยของ *Lentinus spp.* ที่ตรึงบนฟองน้ำ พบว่าสามารถลด COD ได้อยู่ในช่วง 30%-50% ลดสีได้ 17%-58% ลดฟีนอลได้ 4%-75% และลดของแข็งทั้งหมดได้ 6%-56% จากนั้นยังศึกษาผลของแหล่งไนโตรเจนและความเข้มข้นที่เหมาะสม พบว่าการเติมยูเรีย 0.05% มีความเหมาะสมทำให้ประสิทธิภาพของ *Lentinus strigosus* ST-S-3 สูงสุด โดยค่า COD ลดลง 64.17% และกำจัดสีได้ 43.03% และยังพบว่ามีกิจกรรมของเอนไซม์ laccase และ manganese peroxidase (MnP) สูงที่สุดอีกด้วย

จะเห็นได้ว่าการตรึงเซลล์มีข้อดี คือ ช่วยเพิ่มประสิทธิภาพของราไวท์รอตในการกำจัดสีและสารประกอบฟีนอลิกได้ดีขึ้น และสามารถนำไปใช้งานได้ง่าย งานวิจัยนี้จึงสนใจใช้เทคนิคการตรึงเชื้อราไวท์รอตบนวัสดุเศษเหลือปาล์มน้ำมัน เพื่อให้เซลล์ตรึงมีความทนทานต่อสารอินทรีย์ต่างๆ และความเข้มข้นของสารประกอบฟีนอลิกที่ปนเปื้อนอยู่ในน้ำทิ้ง รวมทั้งช่วยจำลองสภาพแวดล้อมที่เชื้อราเจริญได้ดีในธรรมชาติ และกระตุ้นการสร้างเอนไซม์เพื่อย่อยสลายสีและสารประกอบฟีนอลิก การใช้วัสดุดังกล่าวซึ่งเป็นวัสดุเศษเหลือจากกระบวนการสกัดน้ำมันปาล์ม จึงเป็นทางเลือกหนึ่งในการใช้ประโยชน์และกำจัดของเสีย นอกจากนั้นราตรึงที่ผ่านการใช้งานแล้วยังถือเป็นผลิตภัณฑ์พลอยได้จากการบำบัดน้ำทิ้ง โดยอาจนำราตรึงไปทำปุ๋ย หรือสกัดสารที่มีมูลค่า เช่น เอนไซม์หรือสารต้านอนุมูลอิสระ ซึ่งเป็นการกำจัดของเสียอีกทางหนึ่งด้วย

### 1.3 วัตถุประสงค์ของงานวิจัย

- 1.3.1 เพื่อคัดเลือกราไวท์รอตที่มีศักยภาพในการกำจัดสีออกจากน้ำทิ้งของโรงงานสกัดน้ำมันปาล์ม
- 1.3.2 เพื่อศึกษาวิธีการตรึงราไวท์รอตบนวัสดุเศษเหลือปาล์มน้ำมัน ได้แก่ ทะลายปาล์ม เปล่าและเส้นใยปาล์มน้ำมัน
- 1.3.3 เพื่อศึกษาประสิทธิภาพของราไวท์รอตที่ตรึงบนวัสดุเศษเหลือปาล์มน้ำมันในการกำจัดสีและสารประกอบฟีนอลิกในน้ำทิ้งของโรงงานสกัดน้ำมันปาล์ม

#### 1.4 ขอบเขตของการวิจัย

งานวิจัยนี้สนใจคัดเลือกกราไวท์รอตที่มีศักยภาพในการย่อยสลายสารประกอบฟีนอลิกและกำจัดสีออกจากน้ำทิ้งของโรงงานสกัดน้ำมันปาล์มได้ดีที่สุดจากกราไวท์รอตทั้งหมด 10 สายพันธุ์ โดยวิธีการทดสอบบนอาหารแข็งที่มีการเติมน้ำทิ้งโรงงานสกัดน้ำมันปาล์มในสัดส่วนต่าง ๆ และทดสอบในน้ำทิ้งที่มีการเจือจาง 2 เท่า นำกราไวท์รอตที่คัดเลือกได้มาศึกษาการตรึงบนวัสดุเศษเหลือปาล์มน้ำมัน ได้แก่ ทะลายเปล่าปาล์มน้ำมัน และเส้นใยปาล์มน้ำมัน ศึกษาลักษณะพื้นผิวของวัสดุและการเกาะติดของราไวท์รอตบนและภายในช่องว่างของวัสดุตรึงด้วยกล้องจุลทรรศน์อิเล็กตรอนแบบส่องกราด (Scanning electron microscope: SEM) รวมทั้งศึกษาระยะเวลาที่เหมาะสมในการเกาะติดของราไวท์รอตบนวัสดุตรึง ด้วยประสิทธิภาพในการกำจัดสีและสารประกอบฟีนอลิกในน้ำทิ้งโรงงานสกัดน้ำมันปาล์มที่เจือจาง 2 เท่า รวมทั้งวิเคราะห์กิจกรรมของเอนไซม์ในกลุ่มลิกนินโอไลติก ทำการคัดเลือกราบนวัสดุตรึงที่เหมาะสม นำราตรึงที่คัดเลือกมาศึกษาการเพิ่มประสิทธิภาพในการกำจัดสีและสารประกอบฟีนอลิกในน้ำทิ้งโรงงานสกัดน้ำมันปาล์ม โดยการแปรผันความเข้มข้นน้ำทิ้ง การปรับตัวของเซลล์ตรึง การบำบัดแบบ 2 ขั้นตอน และการเติมแหล่งอาหารร่วม เปรียบเทียบคุณลักษณะของน้ำทิ้งโรงงานสกัดน้ำมันปาล์มก่อนและหลังบำบัดตามค่ามาตรฐานน้ำทิ้ง

#### 1.5 ประโยชน์ที่คาดว่าจะได้รับ

1.5.1 สามารถคัดเลือกสายพันธุ์ของราไวท์รอตที่มีศักยภาพในการกำจัดสีและสารประกอบฟีนอลิกได้ดี รวมทั้งทราบวัสดุตรึงเชื้อราที่เหมาะสมจากวัสดุเศษเหลือปาล์มน้ำมัน

1.5.2 ทราบวิธีการตรึง และระยะเวลาที่เหมาะสมสำหรับการตรึงราไวท์รอตบนวัสดุเศษเหลือปาล์มน้ำมัน

1.5.3 ทราบประสิทธิภาพในการลดสีและสารประกอบฟีนอลิกของราไวท์รอตที่ตรึงบนวัสดุเศษเหลือปาล์มน้ำมัน เพื่อประโยชน์ในการนำเซลล์ตรึงไปประยุกต์ใช้ในระบบบำบัดน้ำเสียของโรงงานสกัดน้ำมันปาล์ม

## บทที่ 2

### วัสดุ อุปกรณ์ และวิธีดำเนินการ

#### 2.1 สารเคมี วัสดุ และอุปกรณ์

##### 2.1.1 สารเคมี

- 2, 2'-Azino-bis (3-ethylbenzthiazoline-6-sulphonic acid) ( $C_{18}H_{18}N_4O_6S_4$ ) ของบริษัท Sigma-Aldrich, Inc
- 2, 6-Dimethoxyphenol ( $(CH_3O)_2C_6H_3OH$ ) ของบริษัท Sigma-Aldrich, Inc
- 3, 4-Dimethoxybenzyl alcohol ( $C_9H_{12}O_3$ ) ของบริษัท Sigma-Aldrich, Inc
- Acetic acid ( $CH_3COOH$ ) ของบริษัท J.T. Baker
- Cobalt (II) chloride ของบริษัท AJAX Finechem, Australia
- D-glucose anhydrous ( $C_6H_{12}O_6$ ) ของบริษัท AJAX Finechem, Australia
- D-tartaric acid ของบริษัท AJAX Finechem, Australia
- Ethanol 95%
- Folin -Ciocalteu's phenol reagent ของบริษัท Merck, Germany
- Gallic acid monohydrate ( $(HO)_3C_6H_2CO_2H.H_2O$ ) ของบริษัท Sigma-Aldrich, Inc
- Hydrogen peroxide 30% ( $H_2O_2$ ) ของบริษัท Merck, Germany
- Manganese Sulfate monohydrate ( $MnSO_4.H_2O$ ) ของบริษัท AJAX Finechem, Australia
- Mercury (II) chloride ของบริษัท Sigma-Aldrich, Inc
- Potassium chloroplatinate ของบริษัท Sigma-Aldrich, Inc
- Sodium Acetate hydrated ( $CH_3OONa.H_2O$ ) ของบริษัท AJAX Finechem, Australia
- Sodium Carbonate anhydrous ( $Na_2CO_3$ ) ของบริษัท Rankem

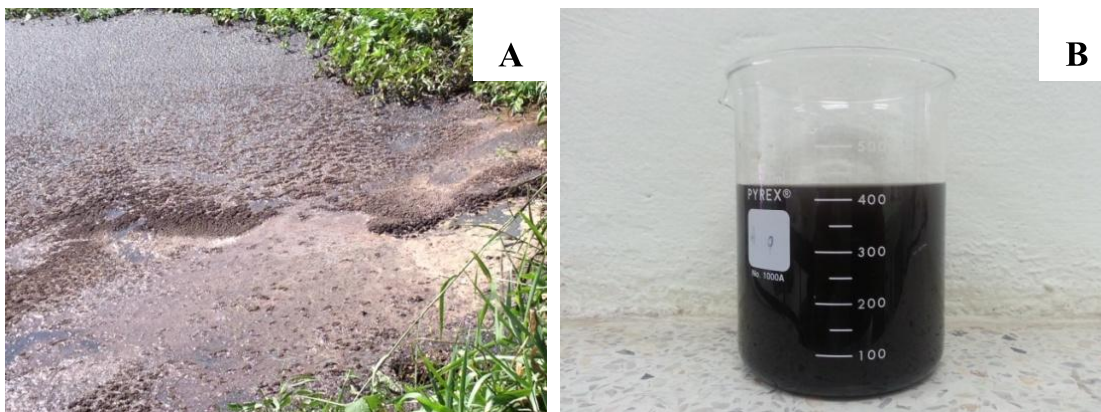
##### 2.1.2 เครื่องมือ และอุปกรณ์

- เครื่องวัดความเป็นกรด-ด่าง (pH meter) รุ่น RL 150 ของบริษัท Russell
- เครื่องชั่งความละเอียด 2 ตำแหน่ง รุ่น PB-1502 ของบริษัท Mettler Toledo, Switzerland
- เครื่องชั่งความละเอียด 4 ตำแหน่ง รุ่น AB 204 ของบริษัท Mettler Toledo, Switzerland
- เครื่องนึ่งอบฆ่าเชื้อ (autoclave) รุ่น SS-325 ของบริษัท Tomy, Japan
- ตู้เป่า laminar flow รุ่น 120 BSD ของบริษัท Super clean
- เครื่องเขย่าแบบหมุน (Shaker) รุ่น NB-101M/MS ของบริษัท N-Bio TEK

- เครื่องเขย่าแบบหมุน (Shaker) รุ่น OS-2 ของบริษัท Green SSerikerII
- เครื่องวัดค่าการดูดกลืนแสง (spectrophotometer) รุ่น UV 1601 ของบริษัท Shimadzu, Japan
- ตู้อบเครื่องแก้ว (Oven) ของบริษัท Cotherm, Newzealand
- ตู้อบสารเคมี (Oven) ของบริษัท Cotherm, Newzealand
- ตู้อบ (Incubator) รุ่นBM700 ของบริษัท Memmert
- เครื่องปั่นผสม (vortex mixer) รุ่น vibramax 110 ของบริษัท Heldoiph
- ไมโครปิเปต ของบริษัท Denville Scientific, Inc
- ตู้แช่แข็งจุดเยือกแข็งต่ำ (Deep freezer) อุณหภูมิ -20 องศาเซลเซียส

## 2.2 น้ำทิ้งโรงงานสกัดน้ำมันปาล์ม

เก็บตัวอย่างน้ำทิ้งจากบ่อบำบัดน้ำเสียบ่อสุดท้ายของโรงงานสกัดน้ำมันปาล์มแห่งหนึ่งในจังหวัดสตูล (รูปที่ 2.1) ซึ่งระบบบำบัดน้ำเสียของโรงงานเป็นแบบบ่อปรับเสถียร (บ่อดิน) มีจำนวน 4 บ่อ โดยนำตัวอย่างน้ำทิ้งเก็บไว้ที่อุณหภูมิ -20 องศาเซลเซียส และกรองด้วยผ้าขาวบางก่อนนำมาทดลอง



รูปที่ 2.1 ลักษณะบ่อบำบัดน้ำเสีย (A) และลักษณะน้ำทิ้งโรงงานสกัดน้ำมันปาล์ม (B)





## 2.4 ราไვ้ที่ร่อกและการเตรียมหัวเชื้อรา

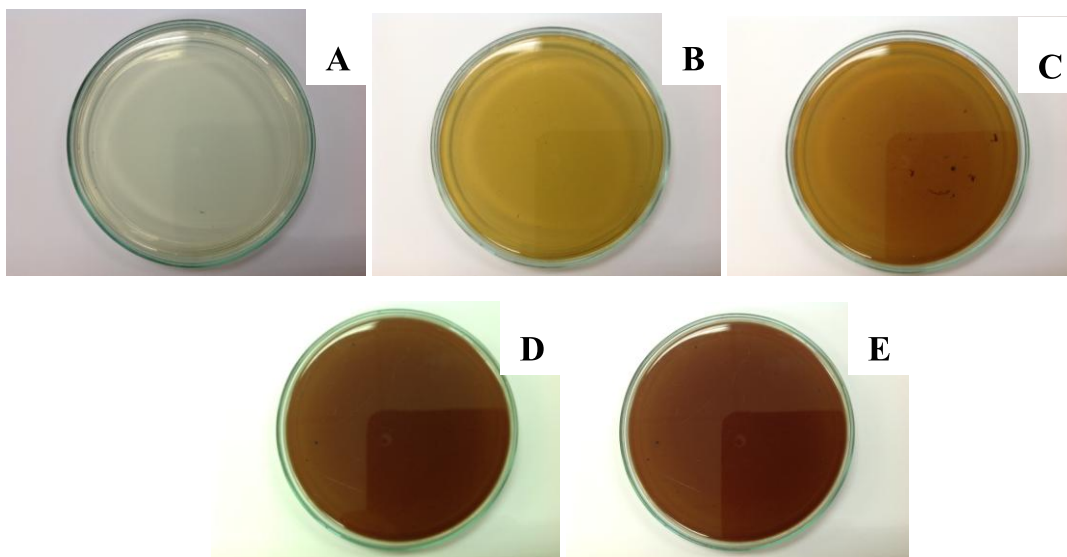
การศึกษานี้ใช้ราไว้ที่ร่อกรวมทั้งสิ้นจำนวน 10 สายพันธุ์ ซึ่งได้จากห้องปฏิบัติการของหน่วยงานต่าง ๆ จำนวน 6 สายพันธุ์ และได้จากการคัดแยกโดยผู้วิจัยจำนวน 4 สายพันธุ์ ได้แก่ 1) *Coriolus versicolor* 2) *Trametes* sp. 3) *Pleurotus ostreatus* 4) *Pycnoporus sanguineus* (ห้องปฏิบัติการเก็บรวบรวมสายพันธุ์จุลินทรีย์ ศูนย์พันธุวิศวกรรมและเทคโนโลยีชีวภาพแห่งชาติ (BIOTEC)) 5) *Lentinus edodes* 6) *Ganoderma lucidum* (ศูนย์เพาะเชื้อเห็ด กรมวิชาการเกษตร) และราไว้ที่ร่อกอีก 4 สายพันธุ์ทำการคัดแยกจากเห็ดตามธรรมชาติที่เจริญบนเนื้อไม้ในท้องถิ่น จ. สงขลา ได้แก่ Unknown 01, Unknown 02, Unknown 03 และ Unknown 04 คัดแยกเชื้อราโดยทำการตัดเนื้อเชื้อเห็ดให้เป็นชิ้นเล็กพอประมาณใช้มีดและคีมคีบ ที่ผ่านการฆ่าเชื้อแล้วคีบเนื้อเชื้อเห็ดแช่ใน  $HgCl_2$  0.05 % เป็นเวลาประมาณ 5 นาทีจากนั้นย้ายเนื้อเชื้อเห็ดมาแช่ในแอลกอฮอล์ 70 % เป็นเวลาประมาณ 5 นาที ล้างเนื้อเชื้อเห็ดด้วยน้ำกลั่นที่ผ่านการฆ่าเชื้อแล้ว ทำการตัดเอาเนื้อเชื้อเห็ดภายในเห็ดด้วยวิธี Aseptic technique ล้างด้วยน้ำกลั่นที่ผ่านการฆ่าเชื้อแล้วอีกครั้ง วางชิ้นเนื้อเชื้อเห็ดบนอาหาร Potato Dextrose Agar (PDA) (ภาคผนวก ก) และบ่มที่อุณหภูมิห้องเป็นเวลา 5-7 วันพร้อมทั้งสังเกตและทำการตัดชิ้นวุ้นที่มีการปนเปื้อนของจุลินทรีย์ชนิดอื่นๆที่ไม่ต้องการออกไป เพื่อให้ได้โคโลนีของราที่บริสุทธิ์ นำเส้นใยของราไว้ที่ร่อกทั้ง 10 สายพันธุ์มาเพาะเลี้ยงลงบนอาหารแข็ง PDA บ่มที่อุณหภูมิห้องจนเส้นใยของราไว้ที่ร่อกเจริญเต็มผิวหน้าของอาหารแข็งเพื่อใช้เป็นหัวเชื้อเริ่มต้นในการทดลองต่อไป

## 2.5 การคัดเลือกราไว้ที่ร่อกที่มีศักยภาพในการลดสีและสารประกอบฟีนอลิกในน้ำทิ้งของโรงงานสกัดน้ำมันปาล์มโดยใช้ราไว้ที่ร่อกเซลล์อิสระ

### 2.5.1 ศึกษาผลความเข้มข้นของน้ำทิ้งที่มีต่อการเจริญของราไว้ที่ร่อกบนอาหารแข็ง

การทดลองนี้มีวัตถุประสงค์เพื่อศึกษาผลของความเข้มข้นของน้ำทิ้งหรือผลของสารประกอบฟีนอลิกในน้ำทิ้งและการเติมสับสเตรทร่วมที่มีต่อการเจริญของราไว้ที่ร่อกเซลล์อิสระในรูปแบบของราก่อนกลม (fungal pellet) โดยการแปรผันความเข้มข้นของน้ำทิ้งที่ 25% 50% และ 100% ซึ่งใช้วิธีการเจือจางน้ำทิ้งด้วยน้ำกลั่นที่ผ่านการฆ่าเชื้อแล้ว และเติมลงในอาหาร Sabouraud Dextrose Agar (SDA) ซึ่งเป็นอาหารที่มีองค์ประกอบของ Dextrose, Yeast extract และ Peptone (ภาคผนวก ก) เนื่องจากอาหารแข็ง SDA เป็นอาหารเลี้ยงราที่ทราบแหล่งคาร์บอนและไนโตรเจนที่แน่นอน รวมทั้งเป็นอาหารแข็งที่มีความใส ไม่มีสี (รูปที่ 2.3A) จึงเลือกใช้ในการทดลองนี้ ซึ่งทดลองโดยการตัดเส้นใยของราที่เจริญบน PDA ด้วย cork borer เบอร์ 4 ( $\varnothing$  0.8 cm) ที่ผ่านการฆ่า

เชื้อด้วยเทคนิคปลอดเชื้อแล้วเลี้ยงบนอาหารแข็ง ตามวิธีการที่ดัดแปลงจาก Lakhatar *et al.* (2010) ดังนี้ 1) SDA 2) SDA + 25% POME 3) SDA + 50% POME 4) SDA + 100% POME และ 5) 100% POME (รูปที่ 2.3) ทำการทดลองตัวอย่างละ 3 ซ้ำ จากนั้นบ่มที่อุณหภูมิห้อง และตรวจวัดการเจริญของราไวท์รอต โดยวัดขนาดเส้นผ่านศูนย์กลางโคโลนีบนอาหารแข็งทุก ๆ 24 ชั่วโมง



รูปที่ 2.3 ลักษณะสีของอาหารแข็ง SDA (A), SDA + 25% POME (B), SDA + 50% POME (C), SDA + 100% POME (D) และ 100% POME Agar (E)

### 2.5.2 ศึกษาความสามารถของราไวท์รอตในการลดสีและสารประกอบฟีนอลิกในน้ำทิ้ง

เตรียมราไวท์รอตทั้ง 10 สายพันธุ์ ในรูปแบบราก่อนกลม โดยตัดเส้นใยของราไวท์รอตที่ถูกเลี้ยงในอาหารแข็ง PDA ด้วย cork borer เบอร์ 4 ( $\varnothing$  0.8 cm) นำชิ้นส่วนที่ตัดใส่ในอาหารเลี้ยงเชื้อ Glucose Yeast Extract Broth (GYEB) ซึ่งมีองค์ประกอบของ Glucose และ Yeast extract เป็นแหล่งคาร์บอนและไนโตรเจน โดยผ่านการฆ่าเชื้อแล้วที่ 121 องศาเซลเซียส เป็นเวลา 15 นาที บ่มอุณหภูมิห้อง เขย่าที่ 80 รอบต่อนาที เป็นเวลา 5-7 วัน กรองแยกราก่อนกลมออกจากอาหารเหลว ซึ่งราก่อนกลม 5 กรัม ใส่ในน้ำทิ้งโรงงานสกัดน้ำมันปาล์มที่เจือจาง 2 เท่า (50% POME) และผ่านการฆ่าเชื้อที่อุณหภูมิ 121 องศาเซลเซียส เป็นเวลา 15 นาที ปริมาตร 50 มิลลิลิตร บ่มที่อุณหภูมิห้อง เขย่า 80 รอบต่อนาที ทำการเก็บตัวอย่างของเหลวทุกๆ 24 ชั่วโมง เพื่อวิเคราะห์สีและสารประกอบฟีนอลิก คัดเลือกราไวท์รอตที่มีศักยภาพสูงสุดในการกำจัดสีและประกอบฟีนอลิกเพื่อใช้ในการศึกษาการตรึงเซลล์ต่อไป

## 2.6 การตรึงราไวท์รอตบนวัสดุเศษเหลือปาล์มน้ำมัน

### 2.6.1 การเตรียมวัสดุตรึงราไวท์รอต

นำวัสดุเศษเหลือปาล์มน้ำมัน 2 ชนิด ได้แก่ เส้นใยปาล์มน้ำมัน(pericarp fiber: PF)และ ทะลายปาล์มน้ำมัน (empty fruit bunch : EFB) (รูปที่ 2.4) มาใช้ในการตรึงราไวท์รอตที่คัดเลือกจาก ข้อ 2.5.2 ได้แก่ Unknown 04 (*Trametes hirsuta* AK4) โดยนำวัสดุมาตากให้แห้ง นำทะลายปาล์ม น้ำมันมาตัดให้ได้ขนาดประมาณ 2.5 x 2.5 x2 เซนติเมตร หลังจากนั้นนำเส้นใยปาล์มน้ำมันและ ทะลายปาล์มน้ำมันที่ตัดแล้วมาล้างทำความสะอาด และฆ่าเชื้อแบบเปียก (wet sterilization) โดยการ นำวัสดุตรึงใส่ในภาชนะที่มีฝาปิด เติมน้ำให้ท่วมวัสดุ แล้วให้ความร้อนด้วยเครื่องนึ่งอบฆ่าเชื้อ (autoclave) ที่อุณหภูมิ 121 องศาเซลเซียส เป็นเวลา 20 นาที ซึ่งช่วยกำจัดสิ่งที่ตกค้างอยู่ในวัสดุตรึง ให้ชะออกมาในน้ำก่อนนำไปใช้งาน จากนั้นทิ้งไว้ข้ามคืน แล้วนำมาผ่านการฆ่าเชื้อซ้ำอีกครั้ง ล้าง ทำความสะอาดแล้วนำไปอบที่อุณหภูมิ 60 องศาเซลเซียส จนแห้งวัสดุที่เตรียมได้ในขั้นตอนนี้จะ นำไปใช้ในขั้นตอนการตรึงเซลล์ต่อไป นอกจากนี้วัสดุตรึงทั้ง 2 ชนิดถูกนำมาศึกษาคุณลักษณะ ต่างๆของวัสดุดังตารางที่ 2.1

### ตารางที่ 2.1 วิธีวิเคราะห์คุณลักษณะของวัสดุ

พารามิเตอร์	วิธีการวิเคราะห์
Nitrogen	อ้างอิงจาก Attanun and Juncharoensuk (1999)
Phosphorus	อ้างอิงจาก Attanun and Juncharoensuk (1999)
Total Organic Compound (TOC)	TOC analyzer (Solid sample module-SSM-5000A, Shimadzu)/NCE-EHWM, จุฬาลงกรณ์มหาวิทยาลัย
Scanning electron microscopy (SEM)	WI-RES-SEM-Quanta-001 และ WI-RES-SEM-001 ศูนย์เครื่องมือวิทยาศาสตร์ มหาวิทยาลัยสงขลานครินทร์



**รูปที่ 2.4** วัสดุเศษเหลือปาล์มน้ำมันที่ถูกตัดจนได้ขนาดตามต้องการ (A) ทะลายปาล์มน้ำมัน (EFB) (B) เส้นใยปาล์มน้ำมัน (PF)

### 2.6.2 การตรึงราไวท์รอตบนวัสดุเศษเหลือปาล์มน้ำมัน

เตรียมอาหารเหลว GYEB ปริมาตร 100 มิลลิลิตร ใส่ในขวดรูปชมพู่ขนาด 500 มิลลิลิตร นึ่งฆ่าเชื้อด้วยหม้อนึ่งไอน้ำ อุณหภูมิ 121 องศาเซลเซียส เวลา 15 นาที ตั้งไว้ให้เย็น นำทะลายปาล์มเปล่าที่เตรียมไว้ไปซังน้ำหนัก ฆ่าเชื้อ แล้วใส่ลงไปขวดอาหารเหลว 15 กรัมต่อขวด ส่วนเส้นใยปาล์มที่ผ่านการฆ่าเชื้อแล้วจะใส่เส้นใยปาล์ม 10 กรัมต่อขวด จากนั้นตัดเส้นใยของราไวท์รอตที่เจริญบน PDA ด้วย cork borer เบอร์ 4 (Ø 0.8 ซม.) แล้วเขียนเส้นใยของราไวท์รอตไปวางบนชิ้นส่วนของทะลายปาล์มและเส้นใยปาล์มในขวดอาหารเหลว ทำการทดลองตัวอย่างละ 3 ซ้ำ บ่มในสภาวะคงที่ อุณหภูมิห้อง โดยแปรผันระยะเวลาการตรึงที่ 2, 4, 6, 8 และ 10 วัน เพื่อศึกษาระยะเวลาการตรึงที่เหมาะสมของแต่ละวัสดุ ก่อนนำไปบำบัดน้ำทิ้ง

### 2.6.3 การคัดเลือกวัสดุตรึงราไวท์รอต

นำเซลล์ตรึงของราไวท์รอตบนวัสดุตรึงทั้ง 2 ชนิดจากข้อ 2.6.2 มาเลี้ยงในน้ำทิ้งโรงงานสกัดน้ำมันปาล์มที่ผ่านการกรองด้วยผ้าขาวบาง และเจือจาง 2 เท่า (50% POME) ปริมาตร 100 มิลลิลิตร ในขวดรูปชมพู่ขนาด 500 มิลลิลิตร ซึ่งผ่านการนึ่งฆ่าเชื้อด้วยหม้อนึ่งไอน้ำ อุณหภูมิ 121 องศาเซลเซียส เวลา 15 นาที และตั้งไว้ให้เย็น บ่มบนเครื่องเขย่าความเร็ว 120 รอบต่อนาที ในอุณหภูมิห้อง ทำการทดลองตัวอย่างละ 3 ซ้ำ เก็บตัวอย่างน้ำทิ้งทุก ๆ 24 ชั่วโมง วิเคราะห์ ปริมาณสารประกอบฟีนอลิกทั้งหมด (Total phenolics) กิจกรรมเอนไซม์ในกลุ่มลิกนินโกลิดิกที่เกี่ยวข้องกับการลดสีและสารประกอบฟีนอลิกในน้ำทิ้ง ได้แก่ แลคเคส หรือ p-diphenol oxidase แมงกานีสเปอร์ออกซิเดส และลิกนินเปอร์ออกซิเดส นอกจากนั้นวิเคราะห์น้ำหนักรีดแห้งก่อนและหลังจากบำบัดน้ำทิ้งของราที่ถูกตรึงร่วมกับวัสดุตรึง นำข้อมูลที่ได้มาคัดเลือกวัสดุที่เหมาะสมกับการตรึงรา

ซึ่งสามารถลดสีและสารประกอบฟีนอลิกในน้ำทิ้งโรงงานสกัดน้ำมันปาล์มได้สูงสุด กำหนดให้มีชุดควบคุมการทดลอง 2 ชุดการทดลอง โดยชุดแรกใช้วัสดุตั้งแต่ละชนิดที่ผ่านการฆ่าเชื้อใส่ในน้ำทิ้งโรงงานสกัดน้ำมันปาล์มที่เจือจาง 2 เท่า ปริมาตร 100 มิลลิลิตร ในขวดรูปชมพู่ขนาด 500 มิลลิลิตร ส่วนชุดที่ 2 ใช้ราไวท์รอกที่ตรึงบนวัสดุตั้งแต่ละชนิดเป็นระยะเวลา 10 วัน ซึ่งผ่านการฆ่าเชื้อด้วยหม้อนึ่งไอน้ำ อุณหภูมิ 121 องศาเซลเซียส เวลา 15 นาที แล้วใส่น้ำทิ้งโรงงานสกัดน้ำมันปาล์มที่เจือจาง 2 เท่า ปริมาตร 100 มิลลิลิตร ทำการบ่มในสภาวะและเก็บตัวอย่างเช่นเดียวกับชุดทดลองตัวอย่าง วิเคราะห์สีและปริมาณสารประกอบฟีนอลิก เพื่อศึกษาผลของปัจจัยทางกายภาพ-เคมีต่อการลดลงของสีและสารประกอบฟีนอลิกของวัสดุทั้ง 2 ชนิด เช่น การดูดซับโดยวัสดุตั้งและการดูดซับของวัสดุตั้งร่วมกับเส้นใยของราไวท์รอก จากนั้นเซลล์ตั้งบนวัสดุที่เหมาะสมจะถูกนำไปใช้ในการทดลองต่อไป จากผลการศึกษาพบว่าเส้นใยปาล์มน้ำมันเป็นวัสดุตั้งที่เหมาะสมและระยะเวลาการตรึงที่ 6 วัน สามารถลดสารสีและสารประกอบฟีนอลิกในน้ำทิ้งได้ดีที่สุด จึงเลือกมาใช้ในการศึกษาต่อไป

## 2.7 การเพิ่มประสิทธิภาพการกำจัดสีและสารประกอบฟีนอลิกในน้ำทิ้งโรงงานสกัดน้ำมันปาล์มของราไวท์รอกที่ตรึงบนเส้นใยปาล์มน้ำมัน

### 2.7.1 การแปรผันความเข้มข้นน้ำทิ้ง

นำราตรึงบนเส้นใยปาล์มน้ำมันตามวิธีการในข้อ 2.6.2 มาเติมในน้ำทิ้งที่มีการเจือจางด้วยน้ำกลั่นให้มีความเข้มข้นเป็น 25%, 50% และ 100% (น้ำทิ้งที่ไม่เจือจาง) ปริมาตร 100 มิลลิลิตร บ่มในอุณหภูมิห้องเขย่า 120 รอบต่อนาที ทำการเก็บตัวอย่างของเหลวทุกๆ 24 ชั่วโมง เพื่อวิเคราะห์สี สารประกอบฟีนอลิกรวม และ pH

### 2.7.2 การเติมแหล่งอาหารร่วม

นำราตรึงบนเส้นใยปาล์มน้ำมันตามวิธีการในข้อ 2.6.2 มาเติมน้ำทิ้งปริมาตร 100 มิลลิลิตร ที่มีการเติมกลูโคส เพื่อใช้เป็นแหล่งคาร์บอนร่วม และแอมโมเนียมคลอไรด์ ( $\text{NH}_4\text{Cl}$ ) เพื่อใช้เป็นแหล่งไนโตรเจนร่วม (Gomathi *et al.*, 2012) โดยแบ่งชุดการทดลองดังนี้ 1) POME+กลูโคส 1% w/v 2) POME+แอมโมเนียมคลอไรด์ 1% w/v 3) POME+กลูโคส 1% w/v+แอมโมเนียมคลอไรด์ 1% w/v บ่มตัวอย่างในอุณหภูมิห้อง เขย่า 120 รอบต่อนาที ทำการเก็บตัวอย่างของเหลวทุกๆ 24 ชั่วโมง เพื่อวิเคราะห์สี สารประกอบฟีนอลิกรวม และ pH เปรียบเทียบกับน้ำทิ้งที่ไม่เติมแหล่งอาหารร่วม

### 2.7.3 การบำบัดแบบสองขั้นตอน

นำราตรีงบนเส้นใยปาล์มน้ำมันตามวิธีการในข้อ 2.6.2 มาเติมน้ำทิ้งปริมาตร 100 มิลลิลิตร ที่ผ่านการบำบัดสารประกอบฟีนอลิกขั้นต้นด้วยแบคทีเรียผสมระหว่าง *Methylobacterium* sp. NP3 และ *Acinetobacter* sp. PK1 ที่ถูกตรึงบนทะเลาะปาล์มเปล่า ตามวิธีการของพินดา โต๊ะสูง (2555) โดยแปรผันระยะเวลาการบำบัดขั้นต้นที่ 4, 8, 24, 48 และ 72 ชั่วโมง บ่มตัวอย่างในอุณหภูมิห้อง เขย่า 120 รอบต่อนาที ทำการเก็บตัวอย่างของเหลวทุกๆ 24 ชั่วโมง เพื่อวิเคราะห์หีส สารประกอบฟีนอลิกรวม และ pH เปรียบเทียบผลการย่อยสลายสารประกอบฟีนอลิกและบำบัดสีกับน้ำทิ้งที่ไม่ผ่านการบำบัดสารประกอบฟีนอลิกขั้นต้น

### 2.7.4 การปรับตัวของเซลล์ตรึงตรึง

เตรียมราตรีงบนเส้นใยปาล์มน้ำมันตามวิธีการในข้อ 2.6.2 จากนั้นเทอาหารเหลวออกและเติมน้ำทิ้งที่ผ่านการเจือจางด้วยน้ำกลั่นจนมีความเข้มข้น 25% ปริมาตร 100 มิลลิลิตร บ่มในอุณหภูมิห้องเขย่า 120 รอบต่อนาที เป็นระยะเวลา 3 วัน เติมน้ำทิ้งออกและทำซ้ำวิธีการเดิมด้วยการเติมน้ำทิ้งที่มีความเข้มข้นเพิ่มขึ้นเป็น 50% และ 100% ตามลำดับ ทำการเก็บตัวอย่างของเหลวทุกๆ 24 ชั่วโมง เพื่อวิเคราะห์หีส สารประกอบฟีนอลิกรวมและ pH เปรียบเทียบกับเซลล์ตรึงที่ไม่ผ่านการปรับตัว

## 2.8 วิธีการวิเคราะห์

### 2.8.1 วิเคราะห์ลักษณะของน้ำทิ้งโรงงานสกัดน้ำมันปาล์ม

ตัวอย่างน้ำทิ้งของโรงงานสกัดน้ำมันปาล์มถูกนำมาวิเคราะห์คุณลักษณะของน้ำทิ้งด้วยวิธีการมาตรฐานสำหรับการวิเคราะห์น้ำและน้ำเสียใน Standard Methods for Examination of Water and Wastewater (APHA, AWWA and WEF, 2005) ตามพารามิเตอร์ ดังตารางที่ 2.2

ตารางที่ 2.2 วิธีวิเคราะห์คุณลักษณะน้ำทิ้งโรงงานสกัดน้ำมันปาล์ม

พารามิเตอร์	วิธีการวิเคราะห์
Temperature (°C)	Thermometer
pH	pH meter
BOD <sub>5</sub> (mg/L)	Azide modification method
COD (mg/L)	Closed reflux titration
DO (mg/L)	Azide modification method
TP (mg/L)	Persulfate digestion/ Ascorbic Acid Method
TKN (mg/L)	Macro Kjeldahl Method
TSS (mg/L)	Dried at 103-105 °C
Oil & Grease (mg/L)	Partition – Gravimetric Method

### 2.8.2 การศึกษาลักษณะพื้นผิววัสดุตรึง และราตรึง โดย SEM

ในการศึกษาลักษณะพื้นผิววัสดุเศษเหลือปาล์มน้ำมัน ทำโดยนำชิ้นส่วนเศษเหลือปาล์มน้ำมันมาติดบนแท่นวางตัวอย่าง (stub) แล้วนำตัวอย่างไปฉาบทองด้วยเครื่อง sputter coater และส่องดูด้วยกล้อง SEM (Scanning Electron Microscope) สำหรับการศึกษาลักษณะราที่ถูตรึง (ก่อน และหลังทดสอบประสิทธิภาพการกำจัดสีและสารประกอบฟีนอลิกในน้ำทิ้งโรงงานสกัดปาล์มน้ำมัน) ต้องเตรียมตัวอย่างก่อนฉาบทองเพื่อรักษาสภาพตัวอย่างด้วย 2.5% glutaraldehyde (C<sub>5</sub>H<sub>8</sub>O<sub>2</sub>) ในฟอสเฟตบัฟเฟอร์ หรือ 4% formaldehyde เป็นเวลา 1-2 ชั่วโมง ล้างด้วยฟอสเฟตบัฟเฟอร์ 2-3 ครั้ง นำตัวอย่างมา Fix ครั้งที่ 2 ด้วย 1% OsO<sub>4</sub> เป็นเวลา 2 ชั่วโมงแล้วล้างด้วยน้ำกลั่น 2-3 ครั้ง ขจัดน้ำออกด้วยเอทานอลเป็นเวลา 10 นาที นำไปทำให้แห้งด้วยวิธี critical point drying (การวิเคราะห์ในขั้นตอนนี้ดำเนินการโดยศูนย์เครื่องมือวิทยาศาสตร์ มหาวิทยาลัยสงขลานครินทร์)

### 2.8.3 การวิเคราะห์กิจกรรมเอนไซม์ในกลุ่มลิกนินโไลติก

เอนไซม์กลุ่มลิกนินโไลติก (ligninolytic enzyme) เป็นเอนไซม์เร่งปฏิกิริยาการย่อยสลายลิกนิน ประกอบด้วยเอนไซม์ประเภทเปอร์ออกซิเดส (peroxidases) และออกซิเดส (oxidases) หลายชนิด เอนไซม์ที่สำคัญได้แก่ เอนไซม์ลิกนินเปอร์ออกซิเดส (lignin peroxidases) แลคเคส (laccases หรือ p-diphenol oxidase) แมงกานีสเปอร์ออกซิเดส (manganese peroxidases) ราไทรออตแต่ละ



สายพันธุ์จะสร้างเอนไซม์แต่ละชนิดที่แตกต่างกัน (Leonowicz *et al.*, 1999) การวิเคราะห์กิจกรรมเอนไซม์สามารถทำได้ดังนี้

1) การวิเคราะห์กิจกรรมเอนไซม์ของ laccase (Lac) หรือ p-diphenol oxidase (ดัดแปลงจาก Rodriguez, 1999) โดยเติมสารเคมีดังต่อไปนี้ลงใน cuvette

- H <sub>2</sub> O	1000 µl
- 0.2 mM ABTS	500 µl (เตรียม 1 mM)
- 20 mM NaOAc buffer pH 5	500 µl (เตรียม 0.1 M)

จากนั้นใช้ Micropipette ดูด crude enzyme 500 µl ใส่ลงใน cuvette ผสมให้เข้ากันโดยกลับ cuvette ไปมา 2-3 ครั้ง นำไปวัดค่าการดูดกลืนแสงที่ความยาวคลื่น 436 nm ทันที โดยวัดค่าการดูดกลืนแสงที่ 0 และ 60 วินาที แล้วจึงนำค่าการดูดกลืนแสงไปคำนวณหาค่ากิจกรรมของเอนไซม์ โดย 1 Unit ของ laccase คือ ปริมาณเอนไซม์ laccase ที่ใช้ในการเปลี่ยนสารตั้งต้น (ABTS) 1 µM ภายในเวลา 1 นาที

2) การวิเคราะห์กิจกรรมเอนไซม์ของ manganese peroxidase (MnP) (ดัดแปลงจาก Heinfling, 1998) โดยเติมสารเคมีดังต่อไปนี้ลงใน cuvette

- H <sub>2</sub> O	750 µl
- 1 mM 2, 6-dimethoxyphenol	500 µl (เตรียม 5 mM)
- 0.1 M NaOAc buffer pH 4.5	250 µl (เตรียม 1 M)
- 0.1 mM H <sub>2</sub> O <sub>2</sub>	250 µl (เตรียมใหม่ทุกครั้ง)
- 1 mM MnSO <sub>4</sub>	250 µl

จากนั้นใช้ micropipette ดูด crude enzyme 500 µl ใส่ลงใน cuvette ผสมให้เข้ากันโดยกลับ cuvette ไปมา 2-3 ครั้ง นำไปวัดค่าการดูดกลืนแสงที่ความยาวคลื่น 469 nm ทันที โดยวัดค่าการดูดกลืนแสงที่ 0 วินาที และ 60 วินาที แล้วจึงนำค่าการดูดกลืนแสงไปคำนวณหาค่ากิจกรรมเอนไซม์ โดย 1 Unit ของ manganese peroxidase คือ ปริมาณเอนไซม์ manganese peroxidase ที่ใช้ในการเปลี่ยนสารตั้งต้น(2,6-dimethoxyphenol) 1 µM ภายในเวลา 1 นาที

3) การวิเคราะห์กิจกรรมเอนไซม์ของ lignin peroxidase (ดัดแปลงจาก Levin *et al.*, 2005) โดยเติมสารเคมีดังต่อไปนี้ลงใน cuvette

- H <sub>2</sub> O	750 µl
- 10 mM veratryl alcohol	500 µl
- 0.25 M d-tartaric acid pH 2.5	500 µl
- 4 mM MnSO <sub>4</sub>	250 µl

จากนั้นใช้ micropipette ดูด crude enzyme 500  $\mu$ l ใส่ลงใน cuvette ผสมให้เข้ากันโดยกลับ cuvette ไปมา 2-3 ครั้ง นำไปวัดค่าการดูดกลืนแสงที่ความยาวคลื่น 310 nm ทันที โดยวัดค่าการดูดกลืนแสงที่ 0 วินาที และ 60 วินาที แล้วจึงนำค่าการดูดกลืนแสงไปคำนวณหาค่ากิจกรรมเอนไซม์ โดย 1 Unit ของ lignin peroxidase คือ ปริมาณเอนไซม์ lignin peroxidase ที่ใช้ในการเปลี่ยนสารตั้งต้น (veratryl alcohol) 1  $\mu$ M ภายในเวลา 1 นาที

การคำนวณหากิจกรรมของเอนไซม์ในกลุ่ม ligninolytic ตามสูตรดังนี้

$$\text{Enzyme activity} = \frac{(\Delta \text{Abs/min}) \times \text{total volume (2.5 ml)} \times 10^6}{\epsilon \times \text{sample volume (0.5 ml)}}$$

เมื่อ  $\Delta$  Abs/min คือ ค่าการดูดกลืนแสงที่เพิ่มขึ้นภายในเวลา 1 นาที

$\epsilon$  คือ Extinction co-efficient

- Lac	=	29,300 $\text{M}^{-1}\text{cm}^{-1}$
- MnP	=	27,500 $\text{M}^{-1}\text{cm}^{-1}$
- LiP	=	9,300 $\text{M}^{-1}\text{cm}^{-1}$

#### 2.8.4 การวิเคราะห์น้ำหนักแห้งของราร่วมกับวัสดุครึ่ง

วิเคราะห์น้ำหนักแห้งของวัสดุครึ่งและรา (ดัดแปลงจาก AOAC, 1995) โดยอบด้วยฟรอยด์ที่อุณหภูมิ 103-105 องศาเซลเซียส ซ้ำมคินจนน้ำหนักคงที่ หลังจากนั้นปล่อยให้เย็นในโถดูดความชื้นแล้วนำมาชั่งน้ำหนักของถ้วยฟรอยด์ นำราที่ครึ่งบนวัสดุครึ่งทั้งสองชนิดใส่ลงในถ้วยฟรอยด์ นำไปอบที่อุณหภูมิ 103-105 องศาเซลเซียส ซ้ำมคินจนน้ำหนักคงที่ หลังจากนั้นปล่อยให้เย็นในโถดูดความชื้นแล้วนำมาชั่งน้ำหนักแห้ง นำน้ำหนักวัสดุครึ่งและราที่ได้มาหาส่วนต่างระหว่างน้ำหนักของวัสดุครึ่งและร่าก่อนอบและหลังอบ ซึ่งจะได้เป็นปริมาณน้ำหนักแห้งของวัสดุครึ่งและราทั้งหมด

#### 2.8.5 การวิเคราะห์ปริมาณสารประกอบฟีนอลโดยรวม

การวิเคราะห์ปริมาณสารประกอบฟีนอลทั้งหมดใช้วิธี Modification of the Folin-Ciocalteu method (Ergul *et al.*, 2011) โดยนำตัวอย่างน้ำทิ้งมาปั่นเหวี่ยงที่ความเร็วรอบ 10,000 รอบต่อนาที เป็นเวลา 7 นาที เพื่อกำจัดตะกอน ทำการเจือจาง 5 เท่าด้วยน้ำกลั่น เติมตัวอย่างน้ำทิ้งที่เจือจางแล้ว 200 ไมโครลิตร ลงใน Folin-Ciocalteu phenol reagents ที่เจือจาง 4 เท่า ปริมาตร 1 มิลลิลิตร ทิ้งไว้ 5 นาที จากนั้นจึงเติมสารละลาย sodium carbonate ความเข้มข้น 200 กรัมต่อลิตร

ปริมาตร 1 มิลลิลิตร ทิ้งไว้ 30 นาที ที่อุณหภูมิห้อง แล้วนำไปวัดค่าการดูดกลืนแสงที่ความยาวคลื่น 725 นาโนเมตร นำค่าการดูดกลืนแสงที่ได้มาเทียบกับกราฟมาตรฐานของ Gallic acid ที่ความเข้มข้น 0- 200 มิลลิกรัมต่อลิตร ตามลำดับ (ภาคผนวก ข) ใช้น้ำกลั่นที่ทำปฏิกิริยา Folin-Ciocalteu phenol reagents และสารละลาย sodium carbonate เช่นเดียวกับตัวอย่างเป็น blank

#### 2.8.6 การวิเคราะห์หีสึ (APHA, AWWA and WEF, 2005)

การวิเคราะห์หีสึของตัวอย่างน้ำทิ้งสามารถทำได้โดยการนำตัวอย่างน้ำทิ้งมาปั่นเหวี่ยงที่ความเร็วรอบ 10,000 รอบต่อนาที เป็นเวลา 7 นาที เพื่อกำจัดตะกอน จากนั้นทำการเจือจางตัวอย่างน้ำทิ้ง 20 เท่าด้วยน้ำกลั่นแล้วนำไปวัดค่าการดูดกลืนแสงที่ความยาวคลื่น 475 นาโนเมตร โดยใช้น้ำกลั่นเป็น Blank และนำค่าการดูดกลืนแสงที่ได้มาเปรียบเทียบกับกราฟมาตรฐานแพลตตินัมโคบอลต์ในช่วง 0-500 หน่วยสี (ภาคผนวก ข) เพื่อกำหนดเป็นหน่วยสีของน้ำทิ้งโรงงานสกัดน้ำมันปาล์ม


### บทที่ 3

#### ผลการทดลองและวิจารณ์ผลการทดลอง







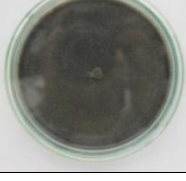
##### 3.1 ลักษณะทางกายภาพของราไวก์รอต

ในงานวิจัยนี้ใช้จุลินทรีย์ในกลุ่มราไวก์รอต 10 สายพันธุ์ ซึ่งมาจากการคัดแยกจากเห็ดตามธรรมชาติในพื้นที่จังหวัดสงขลา โดยผู้วิจัยคัดแยกด้วยตนเองจำนวน 4 สายพันธุ์ ให้รหัสเป็น Unknown 01, Unknown 02, Unknown 03 และ Unknown 04 ส่วนราไวก์รอตอีก 6 สายพันธุ์เป็นราไวก์รอตที่มีรายงานถึงประสิทธิภาพการกำจัดสารประกอบฟีนอลิกและสีของน้ำทิ้งโรงงานน้ำมันมะกอกซึ่งมีคุณลักษณะใกล้เคียงกับน้ำทิ้งโรงงานสกัดน้ำมันปาล์ม ได้แก่ *Coriolus versicolor*, *Trametes* sp., *Pleurotus ostreatus* และ *Pycnoporus sanguineus* ได้รับจากห้องปฏิบัติการเก็บรวบรวมสายพันธุ์จุลินทรีย์ ศูนย์พันธุวิศวกรรมและเทคโนโลยีชีวภาพแห่งชาติ ส่วนราไวก์รอตอีก 2 สายพันธุ์ ได้แก่ *Lentimus edodes* และ *Ganoderma lucidum* ได้รับจากศูนย์เพาะเชื้อเห็ด กรมวิชาการเกษตร โดยราไวก์รอตทั้ง 10 สายพันธุ์ มีลักษณะของโคโลนีและเส้นใยที่แตกต่างกันดังตารางที่ 3.1

ตารางที่ 3.1 ลักษณะโคโลนีและเส้นใยของราไวก์รอตจำนวน 10 สายพันธุ์ที่ใช้ในงานวิจัยนี้

ราไวก์รอต	ลักษณะโคโลนี	ภาพแสดงลักษณะโคโลนี
Unknown 01	โคโลนีมีลักษณะเส้นใยบาง ฟุ สีขาว ได้โคโลนีมีสีส้ม ขอบโคโลนีกลม	
Unknown 02	โคโลนีมีลักษณะเส้นใยหนา ไม่ฟู สีขาว โคโลนีเรียบติด ผิวหน้าอาหารแข็ง	
Unknown 03	โคโลนีมีลักษณะเส้นใยหนา สีขาว ฟุ ขอบโคโลนีกลม	

ตารางที่ 3.1 ลักษณะ โคลนินและเส้นใยของราไทรอทจำนวน 10 สายพันธุ์ที่ใช้ในงานวิจัยนี้ (ต่อ)

ราไทรอท	ลักษณะโคลนิน	ภาพแสดงลักษณะโคลนิน
Unknown 04	โคลนินมีลักษณะเส้นใยหนา สีขาว ฟู ขอบโคลนินกลม	
<i>Lentinus edodes</i>	โคลนินมีลักษณะเส้นใยบาง ฟู สี ขาว ขอบโคลนินกลม	
<i>Ganoderma lucidum</i>	โคลนินมีลักษณะเส้นใยหนา ไม่ ฟู สีขาว โคลนินเรียบติดผิวหน้า อาหารแข็ง	
<i>Pleurotus ostretus</i>	โคลนินมีลักษณะเส้นใยหนา ฟู สีขาว ขอบโคลนินไม่กลม	
<i>Pycnoporus sanguineus</i>	โคลนินมีลักษณะเส้นใยหนา ไม่ ฟู สีขาว ใต้โคลนินมีสีน้ำตาลเข้ม ขอบโคลนินเรียบ	
<i>Trametes</i> sp.	โคลนินมีลักษณะเส้นใยหนา ไม่ฟู สีขาว โคลนินเรียบติด ผิวหน้าอาหารแข็ง	
<i>Coriolus versicolor</i>	โคลนินมีลักษณะเส้นใยหนา ไม่ ฟู สีดำ ขอบโคลนินกลม	

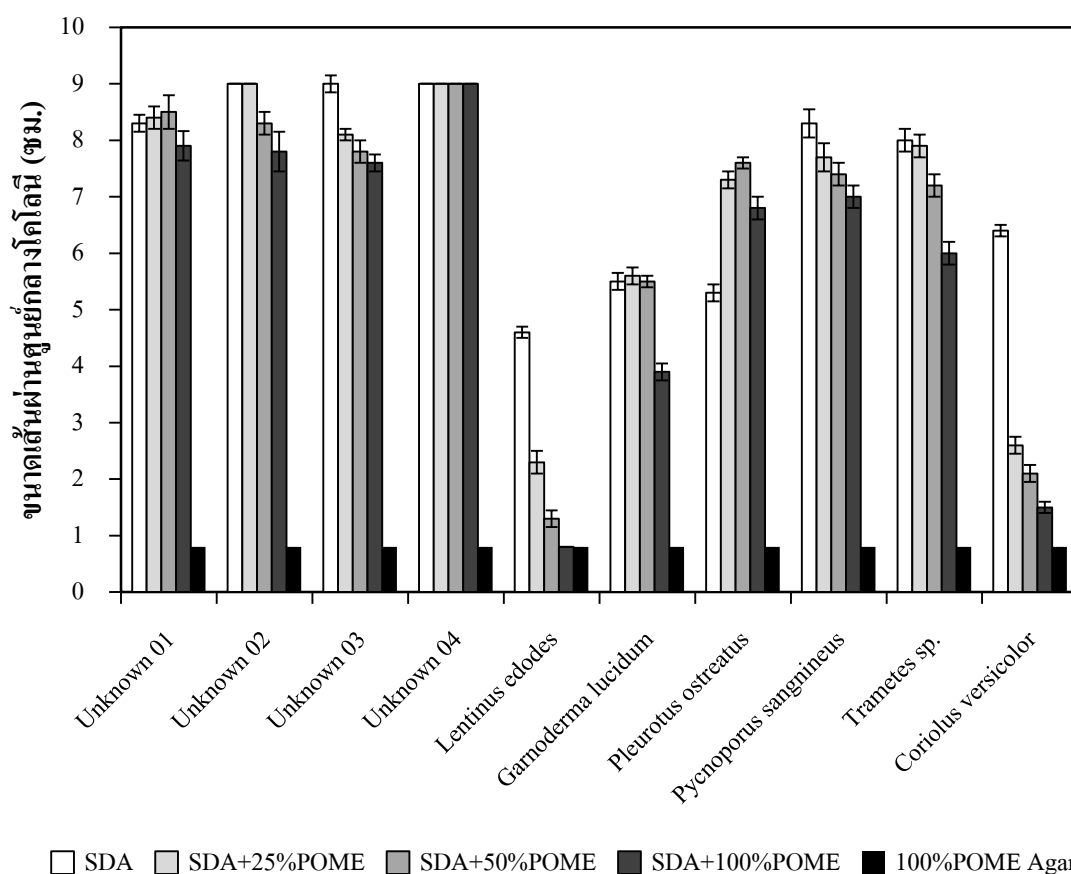
เมื่อนำราไทรอททั้ง 10 สายพันธุ์มาเลี้ยงบนอาหารแข็ง Potato Dextrose Agar (PDA) บ่มที่อุณหภูมิห้อง และวัดอัตราการเจริญจากขนาดของโคโลนีพบว่าราไทรอทสายพันธุ์ Unknown 01, Unknown 03, Unknown 04 และ *Pycnoporus sanguineus* เป็นสายพันธุ์ที่มีอัตราการเจริญสูงสุด โดยใช้เวลา 6 วันในการเจริญเต็มผิวหน้าอาหารแข็งบนจานเพาะเชื้อขนาดเส้นผ่านศูนย์กลาง 8 เซนติเมตร และนอกจากนี้ยังพบว่า ราไทรอทสายพันธุ์ *Ganoderma lucidum* เป็นสายพันธุ์ที่มีอัตราการเจริญต่ำที่สุดเมื่อเทียบกับราไทรอทอีก 9 สายพันธุ์ โดยมีขนาดเส้นผ่านศูนย์กลางโคโลนีเพียง 5 เซนติเมตร เมื่อบ่มไว้เป็นระยะเวลา 9 วัน ราไทรอททั้ง 10 สายพันธุ์ถูกนำไปใช้ในการศึกษาต่อไป

### 3.2 การคัดเลือกราไทรอทที่มีศักยภาพในการผลิตและสารประกอบฟีนอลิกในน้ำทิ้งโรงงานสกัดน้ำมันปาล์ม

#### 3.2.1 ผลความเข้มข้นของน้ำทิ้งที่มีต่อการเจริญของราไทรอทบนอาหารแข็ง

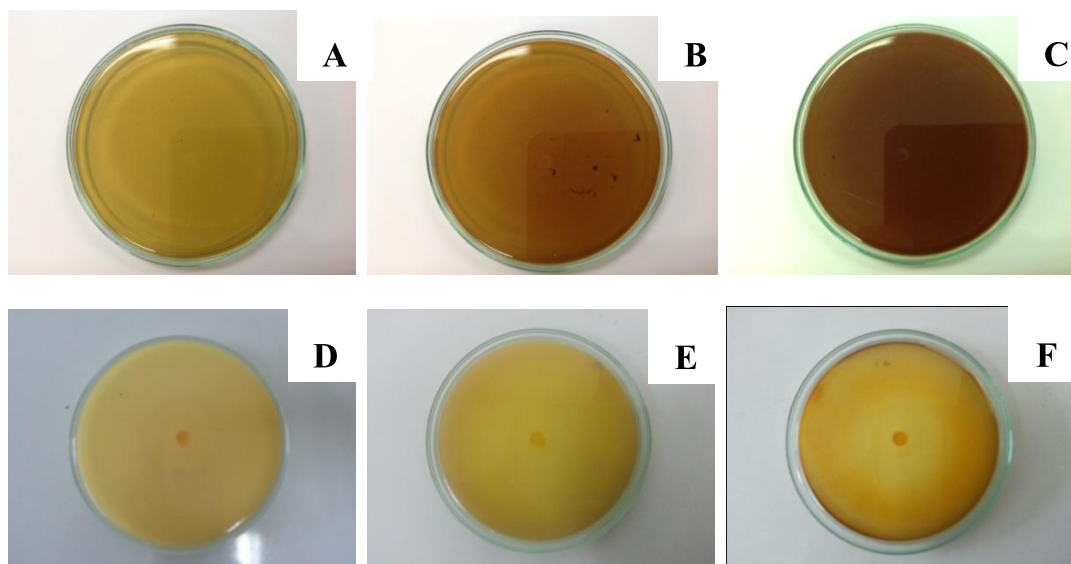
การทดลองนี้มีวัตถุประสงค์เพื่อศึกษาผลของความเข้มข้นของน้ำทิ้งหรือผลของสารประกอบฟีนอลิกในน้ำทิ้งและการเติมสับสเตรทรวมที่มีต่อการเจริญของราไทรอทเซลล์อิสระในรูปแบบของรูก้อนกลม (Fungal pellet) เนื่องจากการใช้เพียงน้ำทิ้งผสมกับวุ้นที่ใช้เตรียมอาหารแข็งไม่สามารถเป็นแหล่งคาร์บอนให้ราไทรอททุกชนิดเจริญได้ การทดลองนี้จึงศึกษาการเจริญของราไทรอทบนอาหาร Sabouraud Dextrose Agar (SDA) ซึ่งเป็นอาหารที่มีองค์ประกอบของ Dextrose, Yeast extract และ Peptone (ภาคผนวก ก) และมีการผสมน้ำทิ้งของโรงงานสกัดน้ำมันปาล์มความเข้มข้นแตกต่างกัน ได้แก่ 25%, 50% และ 100% เพื่อศึกษาความทนทานของราไทรอทต่อสารประกอบฟีนอลิกที่มีอยู่ในน้ำทิ้ง โดยวัดอัตราการเจริญของเส้นใยบนอาหารแข็ง พบว่าระดับความเข้มข้นของน้ำทิ้งโรงงานสกัดน้ำมันปาล์มส่งผลต่ออัตราการเจริญของราไทรอทบางสายพันธุ์ ได้แก่ Unknown 02, Unknown 03, *Lentinus edodes*, *Pycnoporus sanguineus*, *Trametes* sp. และ *Coriolus versicolor* โดยระดับความเข้มข้นของน้ำทิ้งที่สูงขึ้นจะทำให้อัตราการเจริญของราไทรอทสายพันธุ์ดังกล่าวลดลง ดังแสดงในรูปที่ 3.1 และที่ความเข้มข้นสูงสุดพบว่าราไทรอทสายพันธุ์ *Lentinus edodes* ไม่สามารถเจริญบนอาหารแข็งได้ แต่สามารถเจริญได้ในอาหารแข็งที่มีความเข้มข้นของน้ำทิ้ง 25% และ 50% ซึ่งสอดคล้องกับการทดลองของโสภารวรรณ รัตนพันธุ์ (2547) ที่เลี้ยงราไทรอท *Lentinus* sp. บนอาหารแข็งที่เติมน้ำทิ้งคิแคนเตอร์ของโรงงานสกัดน้ำมันปาล์ม พบว่าความเข้มข้นของน้ำทิ้งคิแคนเตอร์ที่สูงขึ้นจะยังยั้งการเจริญของราไทรอท *Lentinus* sp. เนื่องจากปริมาณสารยับยั้งที่มีในน้ำทิ้ง ได้แก่ สารประกอบอะโรมาติกในกลุ่มของโมโนฟีนอล สารประกอบฟีนอลิก ชนิดอื่น ๆ รวมถึงลิกนิน และแทนนิน ซึ่งเป็นองค์ประกอบที่พบในผลปาล์ม

น้ำมัน และยังมีรายงานพบองค์ประกอบเหล่านี้ในน้ำทิ้งของโรงงานสกัดน้ำมันมะกอกซึ่งมีผลในการยับยั้งการเจริญของราไวท์รอตด้วยเช่นกัน ( Annibale *et al.*, 1999; Fadil *et al.*, 2003; Dias *et al.*, 2004) ในขณะที่ราไวท์รอตสายพันธุ์ Unknown 01 *Ganoderma lucidum* และ *Pleurotus ostretus* สามารถเจริญได้ดีบนอาหารแข็งที่เติมน้ำทิ้งความเข้มข้น 25% และ 50% ได้ใกล้เคียงกับอาหารแข็งที่ไม่เติมน้ำทิ้ง (ในกรณี *Pleurotus ostretus* เจริญได้ดีกว่าไม่เติมน้ำทิ้ง) โดยที่ *Ganoderma lucidum* และ *Pleurotus ostretus* มีอัตราการเจริญช้ากว่า Unknown 01 อย่างไรก็ตามเมื่อเพิ่มความเข้มข้นน้ำทิ้งเป็น 100% ส่งผลให้อัตราการเจริญลดลง ทั้งนี้เนื่องมาจากสารอินทรีย์ที่อยู่ในน้ำทิ้งสามารถใช้เป็นแหล่งอาหารร่วมให้ราไวท์รอตเจริญได้ แต่เมื่อความเข้มข้นของน้ำทิ้งสูงขึ้นทำให้สารยับยั้งบางชนิด เช่น สารประกอบฟีนอลิกในน้ำเสียมีความเข้มข้นสูงตามไปด้วย จึงมีผลยับยั้งการเจริญของราไวท์รอตบางสายพันธุ์ได้



รูปที่ 3.1 เส้นผ่านศูนย์กลางโคโลนีของราไวท์รอต 10 สายพันธุ์ บนอาหารแข็ง SDA, SDA+25%POME, SDA+50%POME, SDA+100%POME และ 100%POME agar บ่มที่อุณหภูมิห้อง เป็นเวลา 7 วัน

อย่างไรก็ตามราไวท์รอตสายพันธุ์ Unknown 04 เป็นเพียงสายพันธุ์เดียวที่สามารถเจริญเต็มผิวหน้าของอาหารแข็ง SDA ที่มีการเติมน้ำทิ้งโรงงานสกัดน้ำมันปาล์มทุกความเข้มข้น แสดงให้เห็นว่าราไวท์รอตสายพันธุ์ดังกล่าวมีความทนทานต่อความเข้มข้นของสารประกอบฟีนอลิกที่มีในน้ำทิ้ง และไม่มีผลในการยับยั้งการเจริญของราไวท์รอตสายพันธุ์นี้ และเมื่อสังเกตสีของอาหารแข็งที่เติมน้ำทิ้งโรงงานสกัดน้ำมันปาล์มหลังจากเลี้ยงราไวท์รอตสายพันธุ์ Unknown 04 เป็นเวลา 7 วัน พบว่าราไวท์รอตสายพันธุ์ดังกล่าวเจริญเต็มผิวหน้าของอาหารแข็งและยังพบว่าสีของอาหารแข็งมีความเข้มของสีลดลงโดยเปลี่ยนจากสีน้ำตาลเข้มเป็นสีน้ำตาลอ่อนในทุกความเข้มข้นของน้ำทิ้งเมื่อเปรียบเทียบกับชุดการทดลองควบคุมซึ่งเป็นอาหารแข็งที่เติมน้ำทิ้งทุกระดับความเข้มข้นแต่ไม่เติมหัวเชื้อของราไวท์รอต ดังแสดงในรูปที่ 3.2 การเปลี่ยนแปลงของสีเป็นตัวบ่งชี้ถึงปฏิกิริยาที่เกิดขึ้นโดยเอนไซม์ที่ราไวท์รอตสร้างขึ้นเพื่อย่อยสลายสารสีต่าง ๆ ตลอดจนการเจริญเติบโตของเส้นใยจากการทดลองนี้แสดงให้เห็นถึงผลของสารประกอบฟีนอลิกที่มีต่อการเจริญของราไวท์รอตและการลดลงของสีในน้ำทิ้งที่เติมลงไปในการอาหารแข็ง แต่ไม่สามารถแสดงถึงการลดลงของสารประกอบฟีนอลิกในอาหารแข็งได้ จึงต้องมีการทดสอบศักยภาพในการกำจัดสีและสารประกอบฟีนอลิกในน้ำทิ้ง เพื่อคัดเลือกสายพันธุ์ที่มีศักยภาพสูงสุดในการกำจัดสีและสารประกอบฟีนอลิกเพื่อนำไปใช้ในการตรึงเซลล์ต่อไป

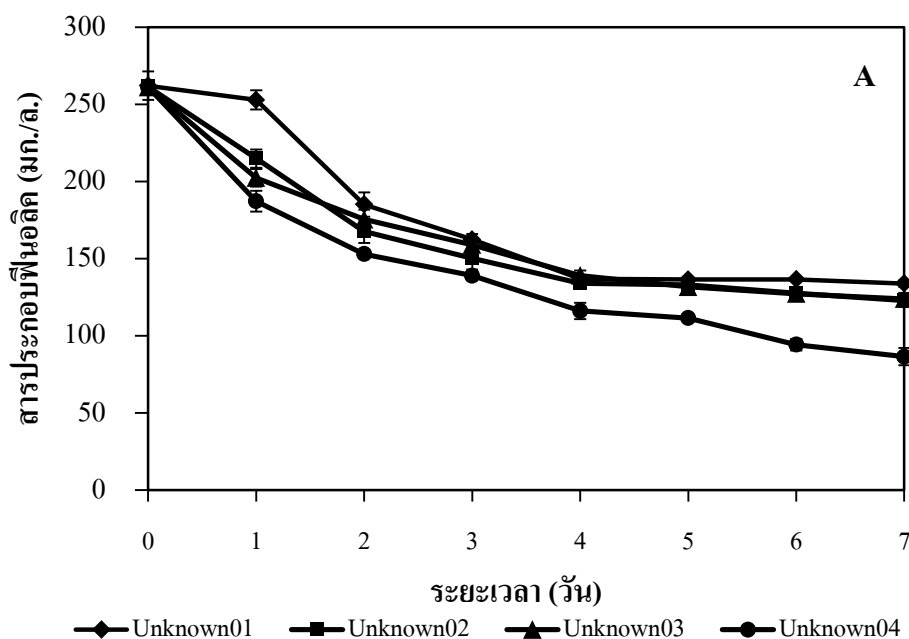


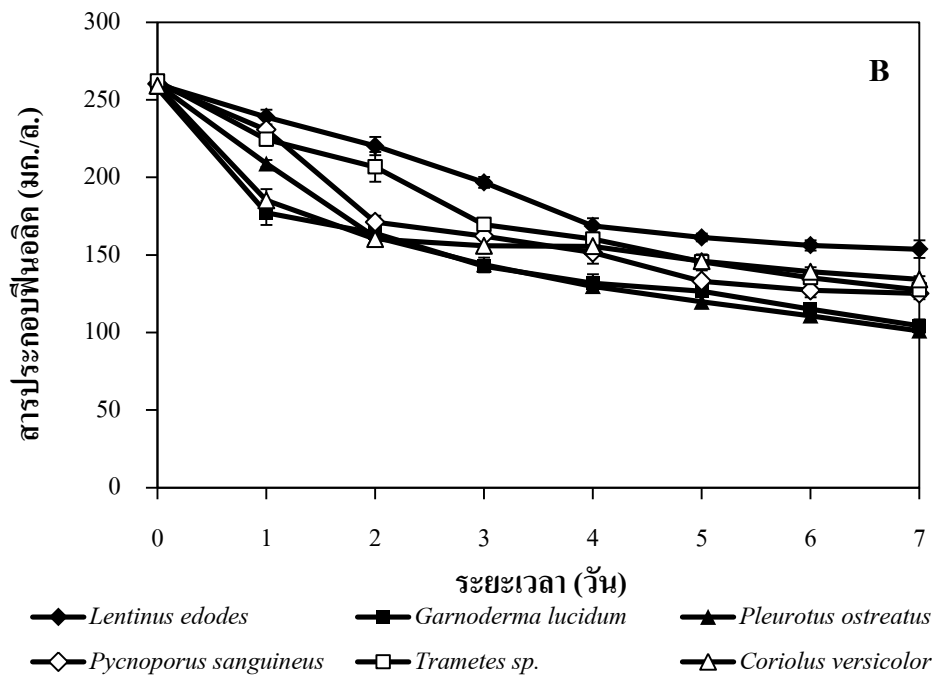
**รูปที่ 3.2** อาหารแข็ง SDA ที่เติมน้ำทิ้งโรงงานสกัดน้ำมันปาล์ม 25% (A), 50% (B) และ 100% (C) และการเจริญของราไวท์รอตสายพันธุ์ Unknown 04 บนอาหารแข็ง SDA ที่เติมน้ำทิ้งโรงงานสกัดน้ำมันปาล์ม 25% (D), 50% (E) และ 100% (F) เมื่อบ่มที่อุณหภูมิห้อง เป็นระยะเวลา 7 วัน



### 3.2.2 ศักยภาพในการลดสีและสารประกอบฟีนอลิกในน้ำทิ้งของราไวท์รอต

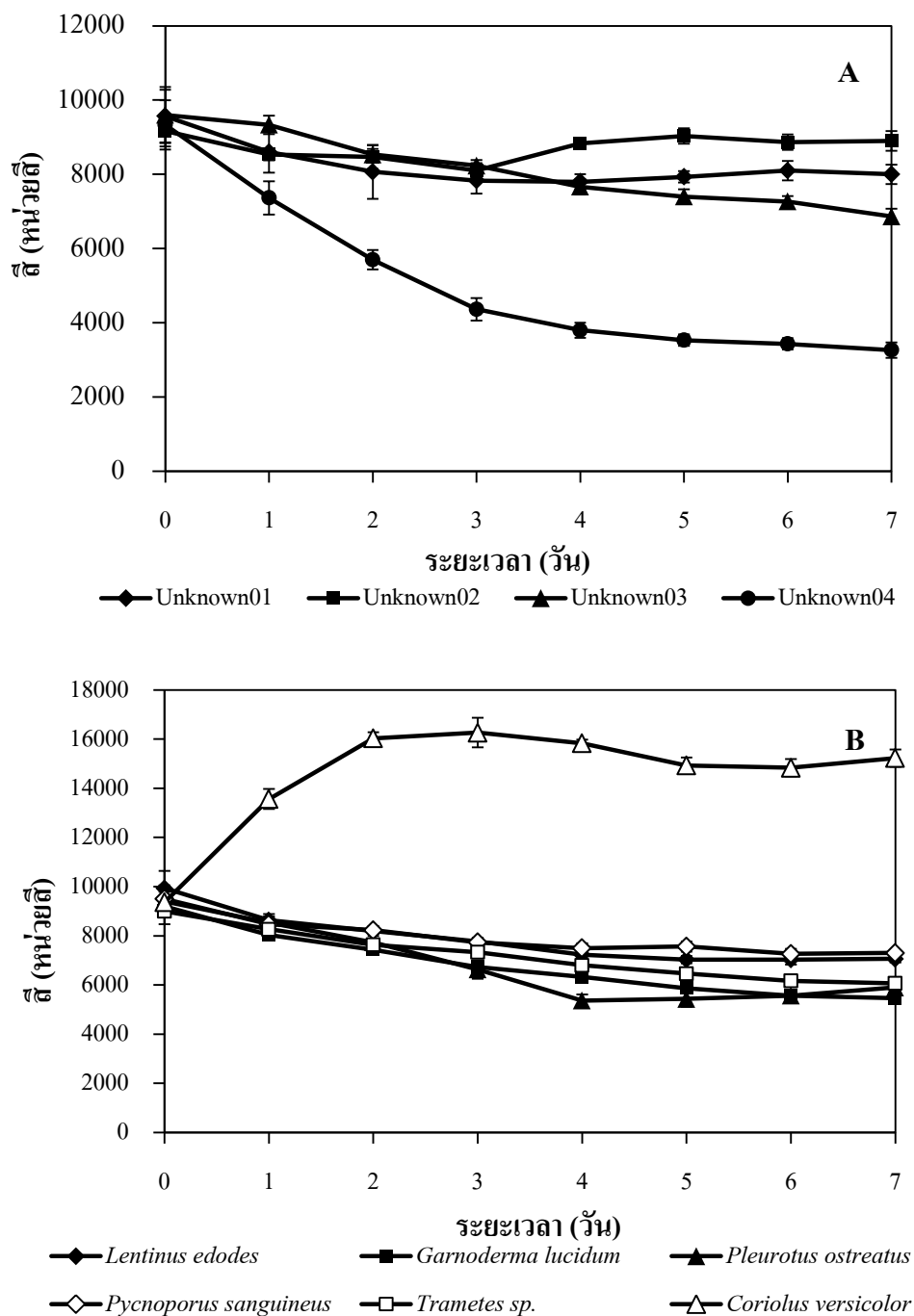
จากการศึกษาในอาหารแข็ง SDA ที่เติมน้ำทิ้งโรงงานสกัดน้ำมันปาล์ม ทำให้ทราบอัตราการเจริญและความความทนทานของราแต่ละสายพันธุ์ภายใต้สภาวะที่มีความเข้มข้นของน้ำทิ้งหรือสารประกอบฟีนอลิกในน้ำทิ้งแตกต่างกัน อย่างไรก็ตามวิธีการข้างต้นยังไม่สามารถใช้คัดเลือกราไวท์รอตที่มีศักยภาพสูงสุดในการลดสีและสารประกอบฟีนอลิกในน้ำทิ้งได้เนื่องจากข้อจำกัดของการวิเคราะห์สีและสารประกอบฟีนอลิกที่ลดลงในตัวกลางที่เป็นของแข็ง จึงมีความจำเป็นต้องศึกษาในน้ำทิ้งเพิ่มเติม เพื่อให้ได้ผลการคัดเลือกที่ถูกต้องแม่นยำที่สุด โดยทำการเลี้ยงราไวท์รอตเซลล์อิสระในรูปแบบร่าก้อนกลม (fungal pellet) ทั้ง 10 สายพันธุ์ในน้ำทิ้งโรงงานสกัดน้ำมันปาล์มที่มีการเจือจาง 2 เท่า (50%POME) เพื่อลดความเป็นพิษของสารประกอบฟีนอลิกที่อาจมีผลยับยั้งการเจริญของราไวท์รอตเซลล์อิสระ (Alaoui *et al.*, 2008) ผลการทดลองพบว่าราไวท์รอตทั้ง 10 สายพันธุ์ มีประสิทธิภาพในการกำจัดสารประกอบฟีนอลิกในน้ำทิ้ง โดยสามารถลดสารประกอบฟีนอลิกได้จากความเข้มข้น 266 มก./ล. เหลือเพียง 86 - 153 มก./ล. คิดเป็น 48.1-66.5% ในระยะเวลา 7 วันของการบ่มในอุณหภูมิห้อง และมีการเขย่า 80 รอบต่อนาที (รูปที่ 3.3A และ B)





**รูปที่ 3.3** การย่อยสลายสารประกอบฟีนอลิกในน้ำทิ้งโรงงานสกัดน้ำมันปาล์มความเข้มข้น 50% ของราไวย์รอต 10 สายพันธุ์ ที่บ่มในอุณหภูมิห้อง เขย่า 80 รอบต่อนาที  
 (A) Unknown 01, Unknown 02, Unknown 03 และ Unknown 04  
 (B) *Lentinus edodes*, *Garnoderma lucidum*, *Pleurotus ostretus*, *Pycnoporus sanguineus*, *Trametes sp.* และ *Coriolus versicolor*

สำหรับประสิทธิภาพในการกำจัดสีของน้ำทิ้งโรงงานสกัดน้ำมันปาล์ม พบว่าราไวย์รอต 9 สายพันธุ์ มีประสิทธิภาพในการกำจัดสีออกจาก 50%POME โดยสามารถลดสีได้จาก 9,333 หน่วยสี เหลือ 3,266-8,900 หน่วยสี คิดเป็น 3.1-64.7% ในระยะเวลา 7 วันของการบ่ม ดังแสดงในรูปที่ 3.4A และ B ยกเว้นราไวย์รอตสายพันธุ์ *Coriolus versicolor* เป็นราไวย์รอตสายพันธุ์เดียวที่ทำให้สีของน้ำทิ้งโรงงานสกัดน้ำมันปาล์มมีสีเข้มขึ้น เนื่องจากลักษณะเส้นใยของราดังกล่าวมีสีดำซึ่งแตกต่างจากราไวย์รอตอีก 9 สายพันธุ์ และเมื่อทำการเลี้ยงราไวย์รอตทั้ง 10 สายพันธุ์ใน 50%POME เป็นระยะเวลามากกว่า 7 วันจะพบว่าไม่สามารถลดสีของน้ำทิ้งโรงงานสกัดน้ำมันปาล์มได้เพิ่มจากเดิม แต่จะเริ่มมีความเข้มของสีเพิ่มขึ้นจากเดิมเล็กน้อย ในขณะที่ร่าก่อนกลมมีลักษณะสีคล้ำขึ้น เนื่องจากเซลล์ของราไวย์รอตมีการดูดซับสีของน้ำทิ้งไว้ (Lakhtar *et al.* , 2010) เมื่อเลี้ยงไว้ระยะหนึ่งแหล่งอาหารในน้ำทิ้งไม่เพียงพอต่อการเจริญ หรืออาจเกิดจากผลกระทบของสารยับยั้งในน้ำทิ้งซึ่งถูกดูดซับสะสมไว้ในเซลล์ทำให้ร่าก่อนกลมแตกออกและตายในที่สุด ดังนั้นสีบางส่วนที่ถูกดูดซับไว้ในเซลล์จึงถูกปลดปล่อยออกมาในน้ำทิ้งทำให้น้ำทิ้งมีสีเข้มขึ้น

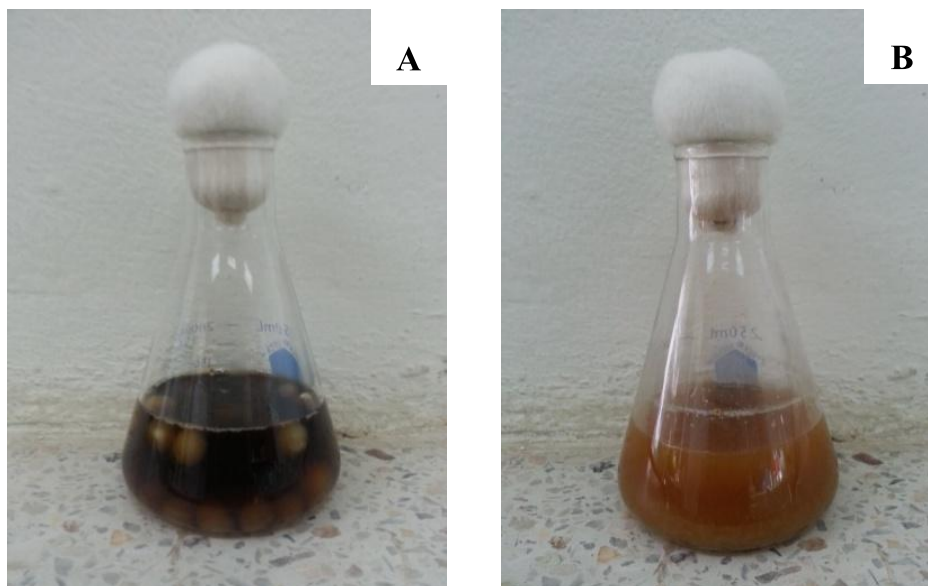


**รูปที่ 3.4** การกำจัดสปีน้ำทิ้งโรงงานสกัดน้ำมันปาล์มความเข้มข้น 50% ของราไวที่รอก 10 สายพันธุ์ที่บ่มในอุณหภูมิห้อง เขย่า 120 รอบต่อนาที

(A) Unknown 01, Unknown 02, Unknown 03 และ Unknown 04

(B) *Lentinus edodes*, *Garnoderma lucidum*, *Pleurotus ostretus*, *Pycnoporus sanguineus*, *Trametes sp.* และ *Coriolus versicolor*

ตัวอย่างลักษณะสีของน้ำทิ้งก่อนและหลังจากการบำบัดด้วยราไวท์รอตสายพันธุ์ Unknown 04 เป็นระยะเวลา 7 วัน ซึ่งสามารถเห็นการเปลี่ยนแปลงของสีในน้ำทิ้งได้อย่างชัดเจน โดยเริ่มต้นการทดลองสีของน้ำทิ้งความเข้มข้น 50% ยังมีสีน้ำตาลคล้ำ แต่เมื่อบำบัดด้วยราไวท์รอตในรูปแบบของร่าก่อนกลม สีของน้ำทิ้งจะเปลี่ยนเป็นสีน้ำตาลอ่อน (รูปที่ 3.5 A และ B) เนื่องจากราไวท์รอตมีการสร้างเอนไซม์ออกมาเพื่อย่อยสลายสารที่ทำให้เกิดสีในน้ำทิ้งเพื่อใช้เป็นแหล่งอาหารในการเจริญเติบโต และสีบางส่วนถูกดูดซับไว้ในเส้นใยของราไวท์รอตจึงทำให้สีของน้ำทิ้งเปลี่ยนแปลงไปจากเดิม อย่างไรก็ตามเนื่องจากร่าก่อนกลมมีการดูดซับสีไว้บางส่วน และเมื่อเลี้ยงร่าก่อนกลมในน้ำทิ้งระยะหนึ่งเซลล์จะมีการแตกตัว ซึ่งส่งผลกระทบต่อประสิทธิภาพในการกำจัดสีน้ำทิ้งจึงเป็นข้อจำกัดของการที่จะนำราไวท์รอตในรูปแบบร่าก่อนกลมไปใช้ในระบบบำบัดน้ำทิ้งของโรงงานสกัดน้ำมันปาล์ม



**รูปที่ 3.5** ลักษณะการเปลี่ยนแปลงสีของน้ำทิ้งเมื่อเติมร่าก่อนกลม สายพันธุ์ Unknown 04 ในน้ำทิ้งความเข้มข้น 50% ในวันที่ 0 (A) และวันที่ 7 (B) ของการบ่มที่อุณหภูมิห้อง เขย่า 80 รอบ ต่อนาที

เมื่อนำค่าการลดลงของสารประกอบฟีนอลิกและสีในน้ำทิ้งโรงงานสกัดน้ำมันปาล์มที่ผ่านการบำบัดด้วยร่าก่อนกลมทั้ง 10 สายพันธุ์ เป็นระยะเวลา 7 วันมาคำนวณประสิทธิภาพการกำจัดสีและสารประกอบฟีนอลิก พบว่าราไวท์รอตสายพันธุ์ Unknown 04 เป็นสายพันธุ์ที่มีประสิทธิภาพสูงสุดในการกำจัดสารประกอบฟีนอลิกและสีในน้ำทิ้งความเข้มข้น 50% ถึง 66.5% และ 64.7% ตามลำดับ เมื่อนำมาเปรียบเทียบกับประสิทธิภาพในการกำจัดสีและสารประกอบฟีนอลิกของร่าอีก

9 สายพันธุ์และวิเคราะห์ทางสถิติพบว่ามีความแตกต่างอย่างมีนัยทางสถิติที่ความเข้มข้นร้อยละ 95 ( $p \leq 0.05$ ) ดังแสดงในตารางที่ 3.2 ซึ่งผลการทดลองการคัดเลือกราไวท์รอตที่มีศักยภาพในการกำจัดสีและสารประกอบฟีนอลิกในน้ำทิ้งโรงงานสกัดน้ำมันปาล์ม ทั้งในแบบอาหารแข็งและในน้ำทิ้ง พบว่าราไวท์รอตสายพันธุ์ Unknown 04 เป็นสายพันธุ์ที่มีอัตราการเจริญอย่างรวดเร็ว มีความทนทานต่อความเข้มข้นฟีนอลิกสูงกว่าสายพันธุ์อื่น และยังมีประสิทธิภาพสูงสุดในการกำจัดสีและสารประกอบฟีนอลิกในน้ำทิ้งโรงงานสกัดน้ำมันปาล์ม จากผลการวิเคราะห์ระบุเอกลักษณ์ของราไวท์รอตสายพันธุ์ Unknown 04 ด้วยวิธีทางด้านชีววิทยาโมเลกุล (ศูนย์พันธุวิศวกรรมและเทคโนโลยีชีวภาพแห่งชาติ) พบว่ามีความคล้ายคลึงกับ *Trametes hirsuta* ถึง 99% (ภาคผนวก ค) จึงระบุสายพันธุ์ของราไวท์รอตสายพันธุ์ Unknown 04 เป็น *Trametes hirsuta* AK4 ราสายพันธุ์ดังกล่าวจึงถูกคัดเลือกไปใช้ในการทดลองต่อไป ซึ่งนำเทคนิคการตรึงเซลล์มาประยุกต์ใช้เพื่อให้ราไวท์รอตมีความทนทานต่อสารประกอบฟีนอลิกในน้ำทิ้งและใช้งานได้นานขึ้น

ตารางที่ 3.2 ประสิทธิภาพการกำจัดสีและสารประกอบฟีนอลิกในน้ำทิ้งโรงงานสกัดน้ำมันปาล์ม ความเข้มข้น 50% โดยราไวท์รอตในรูปแบบก้อนกลม 10 สายพันธุ์ ที่ระยะเวลา 8 วัน

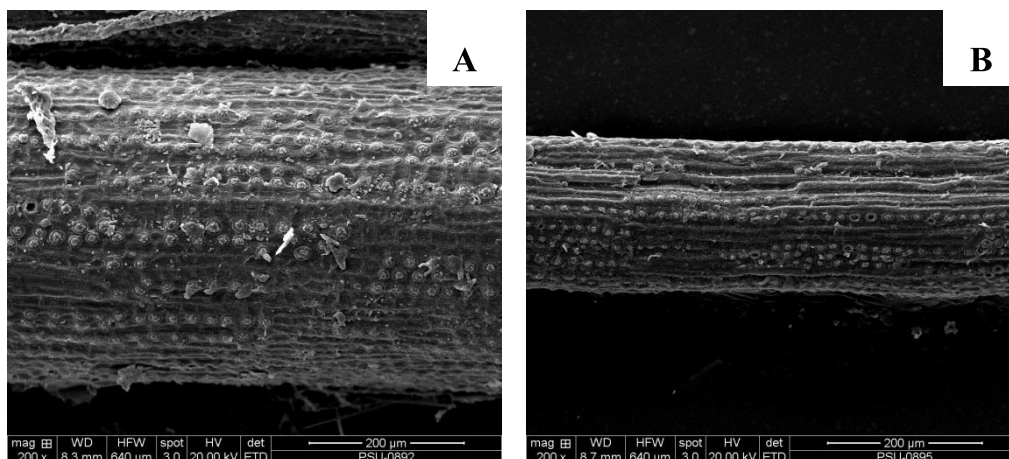
ราไวท์รอต	การลดลงของสารประกอบฟีนอลิก (%)	การลดลงของสี (%)
Unknown 01	48.8±2.4 <sup>d</sup>	16.1±3.5 <sup>d</sup>
Unknown 02	53.2±2.1 <sup>c</sup>	3.1±4.5 <sup>c</sup>
Unknown 03	52.4±1.7 <sup>c</sup>	28.2±4.2 <sup>c</sup>
Unknown 04	66.5±1.5 <sup>a</sup>	64.7±4.7 <sup>a</sup>
<i>Lentinus edodes</i>	40.8±2.2 <sup>c</sup>	28.5±5.5 <sup>c</sup>
<i>Ganoderma lucidum</i>	59.4±1.4 <sup>b</sup>	40.4±3.6 <sup>b</sup>
<i>Pleurotus ostretus</i>	61.6±0.7 <sup>b</sup>	36.9±5.1 <sup>b</sup>
<i>Pycnoporus sanguineus</i>	51.8±1.8 <sup>c</sup>	22.9±5.6 <sup>c, d</sup>
<i>Trametes</i> sp.	51.3±0.5 <sup>c, d</sup>	32.4±3.2 <sup>c</sup>
<i>Coriolus versicolor</i>	48.1±1.1 <sup>d</sup>	0.0±0.0 <sup>c</sup>

หมายเหตุ ตัวอักษรเหมือนกันในสดมภ์เดียวกันแสดงว่าไม่มีความแตกต่างกันทางสถิติที่ความเข้มข้นร้อยละ 95 ( $p \leq 0.05$ )

### 3.3 การเตรียมไรท์รอกบนวัสดุเศษเหลือปาล์มน้ำมัน

#### 3.3.1 คุณสมบัติของวัสดุรีง

การทดลองนี้ใช้วัสดุเศษเหลือปาล์มน้ำมัน 2 ชนิด เป็นวัสดุรีงเซลล์ ได้แก่ ทะลายปาล์มเปล่า (empty fruit bunch: EFB) และเส้นใยปาล์มน้ำมัน (pericarp fiber: PF) ซึ่งเป็นวัสดุเศษเหลือจากกระบวนการสกัดน้ำมันปาล์ม การใช้วัสดุรีงเซลล์ดังกล่าว เป็นทางเลือกหนึ่งในการนำของเสียมาใช้ประโยชน์ และยังเป็นการกำจัดของเสียอีกทางหนึ่งด้วย นอกจากนี้ยังช่วยลดค่าใช้จ่ายในการสั่งซื้อ หรือสังเคราะห์วัสดุรีงเซลล์ที่มีราคาแพง รวมทั้งมีวิธีการเตรียมวัสดุ และขั้นตอนการรีงเซลล์ที่ไม่ยุ่งยาก จากการศึกษาลักษณะพื้นผิวของวัสดุทั้ง 2 ชนิด โดยการส่องด้วยกล้องจุลทรรศน์อิเล็กตรอนแบบส่องกราด (SEM) แสดงให้เห็นดังรูปที่ 3.6 พบว่าลักษณะพื้นผิวของวัสดุทั้งสองชนิดประกอบด้วยโครงสร้างซับซ้อน พื้นผิวก่อนข้างขรุขระ



รูปที่ 3.6 ลักษณะพื้นผิวของวัสดุเศษเหลือปาล์มน้ำมันส่องโดย SEM กำลังขยาย 200x; ทะลายเปล่าปาล์มน้ำมัน (A) และเส้นใยปาล์มน้ำมัน (B)

จากการวิเคราะห์คุณสมบัติทางกายภาพ-เคมีของวัสดุดังกล่าว (ตารางที่ 3.3) พบว่าวัสดุ EFB มีปริมาณสารอาหารไนโตรเจน (0.90%) และฟอสฟอรัส (0.11%) มากกว่า PF เล็กน้อย (0.63% และ 0.04% ตามลำดับ) โดยวัสดุทั้งสองมีปริมาณอินทรีย์คาร์บอนรวมทั้งหมดใกล้เคียงกัน คือ 36.21% ใน EFB และ 39.58% ใน PF และจากการศึกษาของพนิดา ไต้ะสู (2555) พบว่าวัสดุทั้ง 2 ชนิด มีคุณสมบัติทางกายภาพ ได้แก่ เส้นผ่านศูนย์กลางรูพรุนเฉลี่ย (Average pore diameter) และพื้นที่ผิวจำเพาะ (specific surface area) ใกล้เคียงกัน นั่นคือ มีค่าประมาณ 4.24 (EFB) และ 5.01 (PF) nm และ 4.17 (EFB) และ 5.45 (PF)  $m^2 g^{-1}$  ตามลำดับ

ตารางที่ 3.3 องค์ประกอบของวัสดุเศษเหลือปาล์มน้ำมัน

องค์ประกอบ	วัสดุเศษเหลือปาล์มน้ำมัน	
	ทะลายเปล่าปาล์มน้ำมัน (EFB)	เส้นใยปาล์มน้ำมัน (PF)
Nitrogen (%)	0.90	0.63
Phosphorus (%)	0.11	0.04
TOC (%)	36.21	39.58

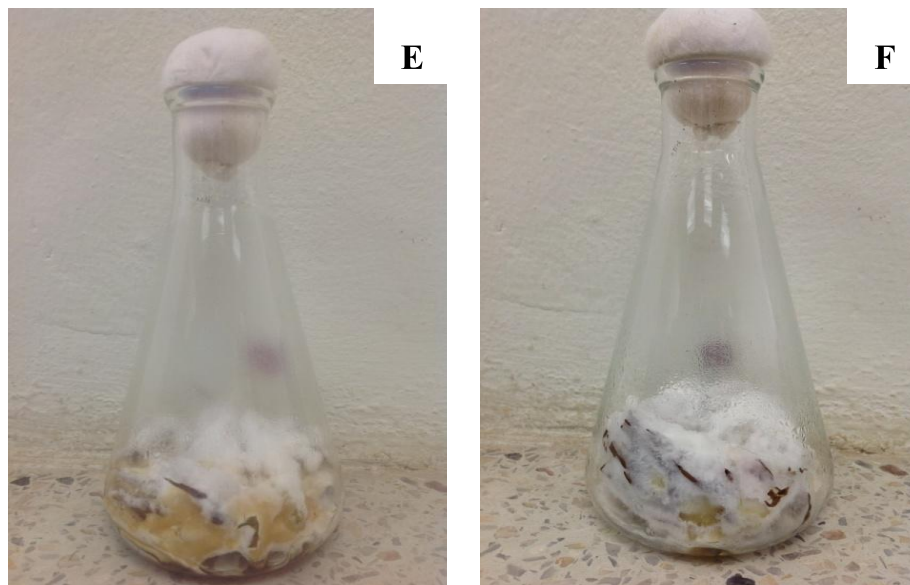
วัสดุเศษเหลือปาล์มน้ำมันทั้ง 2 ชนิด ยังมีสารจำพวกกลีโคโนเซลลูโลส ซึ่งเป็นองค์ประกอบของผนังเซลล์พืชประกอบด้วย เซลลูโลส เฮมิเซลลูโลส และลิกนิน ซึ่งจะมีสัดส่วนที่แตกต่างกันตามชนิดของพืช (Ahmed *et al.*, 2001) จากการศึกษาของ Khalil, *et al.* (2007) พบว่าในทะลายปาล์มเปล่ามีองค์ประกอบของเซลลูโลส 49.6% เฮมิเซลลูโลส 18% และลิกนิน 21.2% และการศึกษาของ วิรุทธิ์ จวนซ้าย (2554) ทำการศึกษาร้อยละขององค์ประกอบของเส้นใยปาล์มน้ำมันพบว่ามีองค์ประกอบของเซลลูโลส 28.91% เฮมิเซลลูโลส 21.56% และลิกนิน 23.63% นอกจากนี้ในการศึกษาของ Han and May (2012) พบว่าในทะลายปาล์มเปล่ามีองค์ประกอบของสารประกอบฟีนอลิกประมาณ 6-7 มิลลิกรัมต่อกรัม โดยที่ทะลายปาล์มเปล่าที่แห้งจะมีสารประกอบฟีนอลิกที่สูงกว่าทะลายปาล์มเปล่าสด ซึ่งองค์ประกอบเหล่านี้จะเป็นแหล่งอาหารให้ราไวท์รอตใช้ในการเจริญเติบโต และยังมีคุณสมบัติเป็นสารเหนียวสำหรับการสร้างเอนไซม์ในกลุ่มลิกนินโอไลติกให้สูงขึ้น (Xavier, 2001)

### 3.3.2 การตรึงราไวท์รอตบนทะลายปาล์มเปล่า

เมื่อนำราไวท์รอตสายพันธุ์ *Trametes hirsuta* AK4 ที่ผ่านการคัดเลือกมาเตรียมเป็นหัวเชื้อโดยการเลี้ยงบนอาหารแข็ง PDA จนเจริญเต็มผิวหน้า แล้วจึงนำมาตรึงกับทะลายปาล์มเปล่าซึ่งเป็นวัสดุเศษเหลือจากกระบวนการสกัดน้ำมันปาล์ม โดยทะลายปาล์มเปล่านี้อาจถูกตัดแต่งเป็นชิ้นเล็กและผ่านการล้างทำความสะอาดรวมถึงการฆ่าเชื้อก่อนที่จะนำมาตรึงเพื่อกำจัดจุลินทรีย์อื่นๆที่อาจตกค้างและปนเปื้อนในวัสดุตรึง โดยมีการแปรผันระยะเวลาในการตรึงเป็น 2, 4, 6, 8 และ 10 วัน เพื่อศึกษาระยะเวลาการตรึงที่เหมาะสม ซึ่งพิจารณาจากประสิทธิภาพการกำจัดสีและสารประกอบฟีนอลิกในน้ำทิ้งโรงงานสกัดน้ำมันปาล์ม จากการทดลองพบว่าราไวท์รอตสายพันธุ์ *Trametes hirsuta* AK4 สามารถเจริญเติบโตบนชิ้นส่วนทะลายปาล์มได้ดี โดยจะเจริญคลุมผิวหน้าของทะลายปาล์มเปล่า ดังแสดงในรูปที่ 3.7

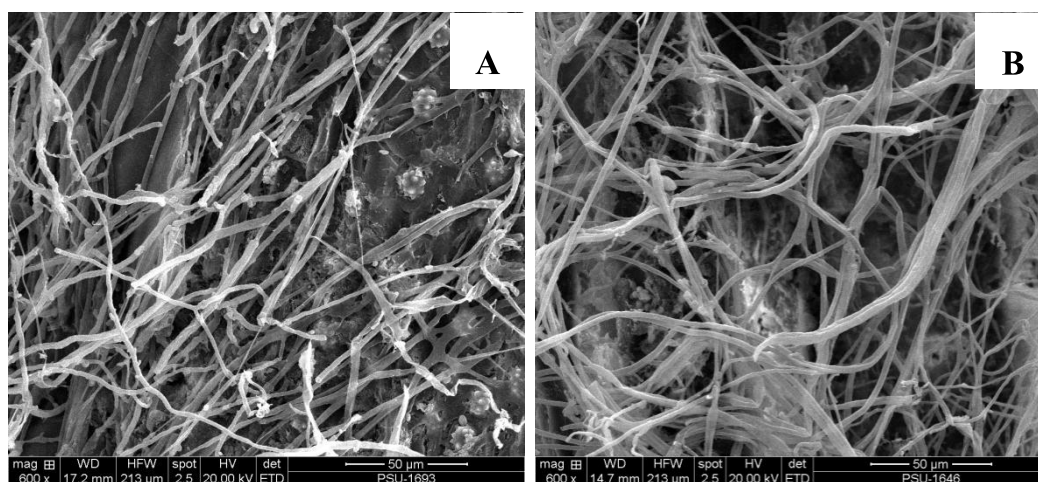


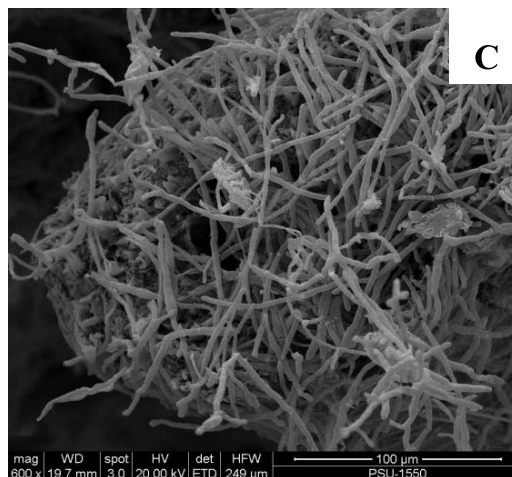




รูปที่ 3.7 ราไวท์รอต *Trametes hirsuta* AK4 ที่ตรึงบนทะเลสาบปลาต้มเปล่าระยะเวลา 0 วัน (A), 2 วัน (B), 4 วัน (C), 6 วัน (D), 8 วัน (E) และ 10 วัน (F) เมื่อบ่มในอุณหภูมิห้อง สภาวะคงที่

เมื่อนำชิ้นส่วนของ *Trametes hirsuta* AK4 ที่ตรึงบนทะเลสาบปลาต้มเปล่ามาส่องด้วย SEM เพื่อดูลักษณะการเกาะติดของเส้นใยราไวท์รอตกับวัสดุตรึง พบว่าเส้นใยของ *Trametes hirsuta* AK4 มีการยึดเกาะบริเวณผิวหน้าของวัสดุตรึงได้ดี และเมื่อใช้ระยะเวลาการตรึงที่มากขึ้นจะทำให้ปริมาณเส้นใยของ *Trametes hirsuta* AK4 มีความหนาแน่นมากยิ่งขึ้น (รูปที่ 3.8A และ B) นอกจากนี้ยังพบว่าราไวท์รอตมีการสร้างเส้นใยเกาะติดวัสดุเข้าไปภายในช่องว่าง ระหว่างรูพรุนของวัสดุตรึงดังแสดงในรูปที่ 3.8C

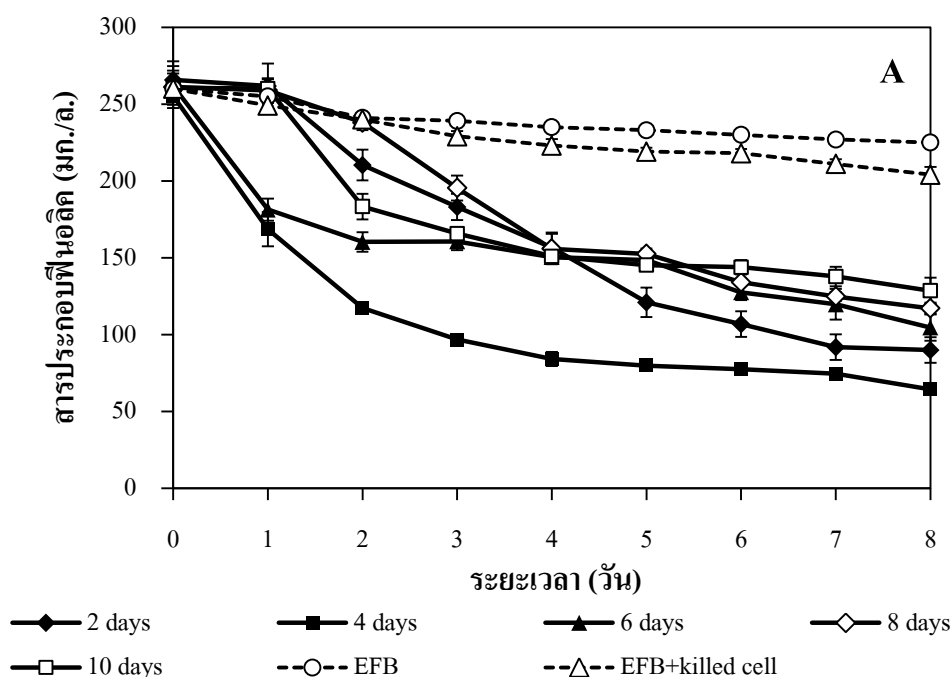


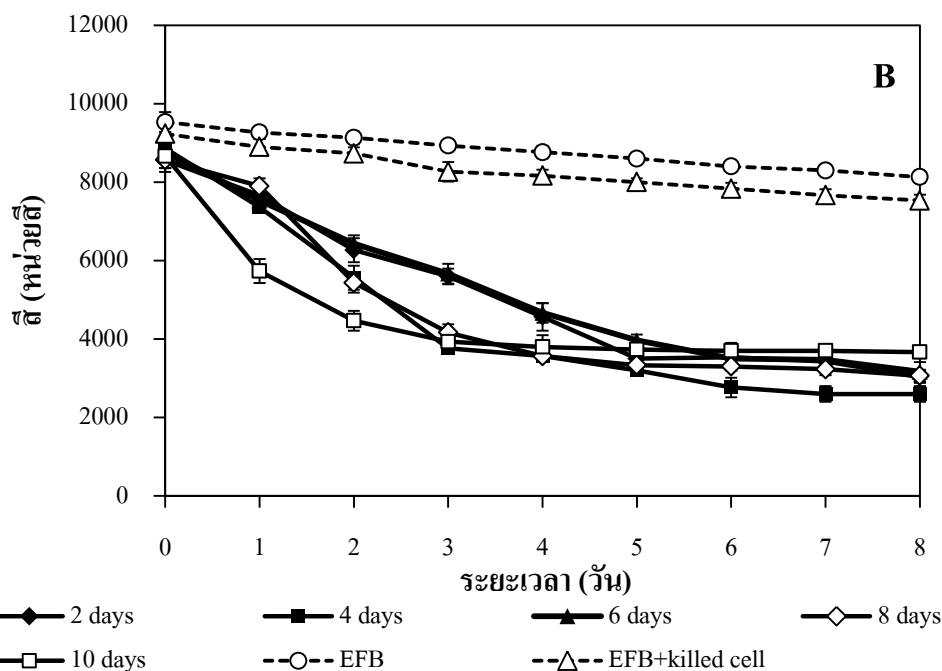


**รูปที่ 3.8** ลักษณะการยึดเกาะของราไทรอท *Trametes hirsuta* AK4 ที่ตรึงบนทะเลสาบเปล่าปาล์ม น้ำมัน หลังจากการตรึงเซลล์ 2 วัน (A), 4 วัน (B) และการเกาะติดของเส้นใยระหว่างช่องว่างรูพรุนของทะเลสาบเปล่าปาล์มเปล่า (C) เมื่อส่องโดยSEM กำลังขยาย 600X

เมื่อนำเซลล์ตรึงของราไทรอทสายพันธุ์ *Trametes hirsuta* AK4 ที่ถูกตรึงเป็นระยะเวลา 2, 4, 6, 8 และ 10 วัน มาทดสอบประสิทธิภาพในการกำจัดสีและสารประกอบฟีนอลิกในน้ำทิ้งโรงงานสกัดน้ำมันปาล์ม โดยการเติม 50%POME ปริมาตร 100 มล. ที่ผ่านการฆ่าเชื้อแล้วลงในขวดรูปชมพู่ที่มีเซลล์ตรึง พบว่ามีอัตราการลดลงของสารประกอบฟีนอลิกและสีอย่างต่อเนื่อง โดยเซลล์ที่ถูกตรึงเป็นระยะเวลา 4 วันสามารถลดสารประกอบฟีนอลิกได้สูงสุด โดยสามารถลดสารประกอบฟีนอลิกจากความเข้มข้น 255 มก./ล. เหลือเพียง 64 มก./ล. คิดเป็น 75% ของการลดลง ในขณะที่ราตรึงอายุ 2, 6, 8 และ 10 วัน สามารถลดสารประกอบฟีนอลิกอยู่ในช่วง 50-66% ในวันที่ 8 ของการบ่มราตรึงและน้ำทิ้งร่วมกัน ดังแสดงในรูปที่ 3.9A โดยเซลล์ที่ถูกตรึงเป็นระยะเวลา 4 วัน และ 6 วัน จะมีอัตราการย่อยสลายสารประกอบฟีนอลิกอย่างรวดเร็วในช่วง 2 วันแรกของการบ่ม เซลล์ตรึงร่วมกับน้ำทิ้ง และอัตราการย่อยสลายลดลงเล็กน้อยจนถึงวันที่ 8 ของการบ่ม ส่วนเซลล์ตรึงที่ระยะเวลา 2, 8 และ 10 วัน เริ่มย่อยสลายสารประกอบฟีนอลิกหลังจากบ่มร่วมกับน้ำทิ้งเป็นระยะ 2 วัน และลดลงอย่างต่อเนื่องจนถึงวันที่ 8 ของการบ่ม ทั้งนี้อาจเป็นผลมาจากความหนาแน่นของเส้นใยราไทรอทที่ตรึงอยู่บนทะเลสาบเปล่าปาล์ม นั่นคือเมื่อระยะเวลาการตรึงน้อยทำให้มีปริมาณเส้นใยน้อย ราจึงใช้เวลาในการบำบัดในช่วงแรกนาน และเมื่อระยะเวลาการตรึงที่มากขึ้นทำให้เส้นใยราไทรอทปกคลุมอย่างหนาแน่นก็ส่งผลต่อพื้นที่ผิวสัมผัสและการถ่ายเทมวลสารระหว่างเซลล์ตรึงกับน้ำทิ้งลดน้อยลง ทำให้ประสิทธิภาพการกำจัดสารประกอบฟีนอลิกลดต่ำลง

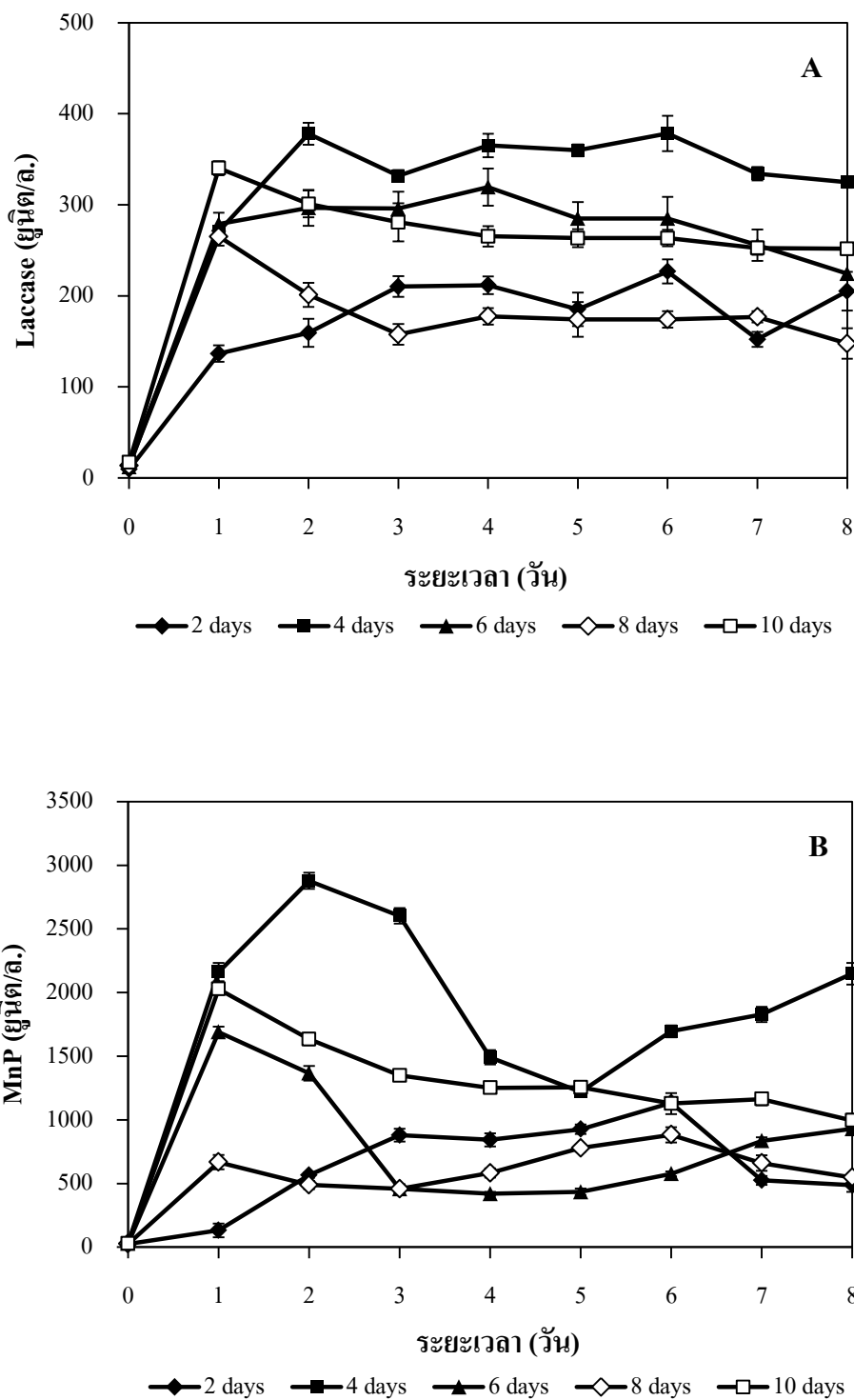
นอกจากนั้นเซลล์ที่อายุ 4 วันยังสามารถลดสีได้สูงสุด โดยสามารถลดสีใน 50%POME จาก 8,866 หน่วยสี เหลือเพียง 2,600 หน่วยสี คิดเป็น 70.5% ของการลดลง ในขณะที่ราที่อายุ 2, 6, 8 และ 10 วัน สามารถลดสีอยู่ในช่วง 57-64% ในวันที่ 8 ของการบ่มเชื้อและน้ำทิ้งร่วมกัน (รูปที่ 3.9B) นอกจากนี้ชุดควบคุมที่ประกอบด้วยทะเลาะปาล์มเปล่าที่ปราศจากราที่จริง ซึ่งแสดงปริมาณการลดลงของสารประกอบฟีนอลิกและสีโดยปัจจัยทางกายภาพและเคมี (abiotic factor) พบว่าทะเลาะปาล์มเปล่ามีการดูดซับสารประกอบฟีนอลิกและสีไว้ 13% และ 14.6% ตามลำดับ ในขณะที่ชุดควบคุมที่ประกอบด้วยทะเลาะปาล์มเปล่าที่มีราที่จริงซึ่งผ่านการฆ่าเชื้อ ซึ่งเป็นตัวแทนปริมาณสารประกอบฟีนอลิกและสีที่ลดลงเป็นผลมาจากการดูดซับโดยทะเลาะปาล์มเปล่า และ/หรือการดูดซับโดยเส้นใยของรา มีการดูดซับสารประกอบฟีนอลิกและสีไว้ 21.5% และ 18.4% ตามลำดับ สอดคล้องกับการทดลองของ Lakhtar *et al.* (2012) ซึ่งใช้เส้นใยของราไวท์รอต *Lentinus edodes* ในการกำจัดสีน้ำทิ้งโรงงานสกัดน้ำมันมะกอก พบว่ามีการสะสมของสารประกอบที่ทำให้เกิดสีในเส้นใยของราไวท์รอตสายพันธุ์ดังกล่าวประมาณ 10% ของสีเริ่มต้น





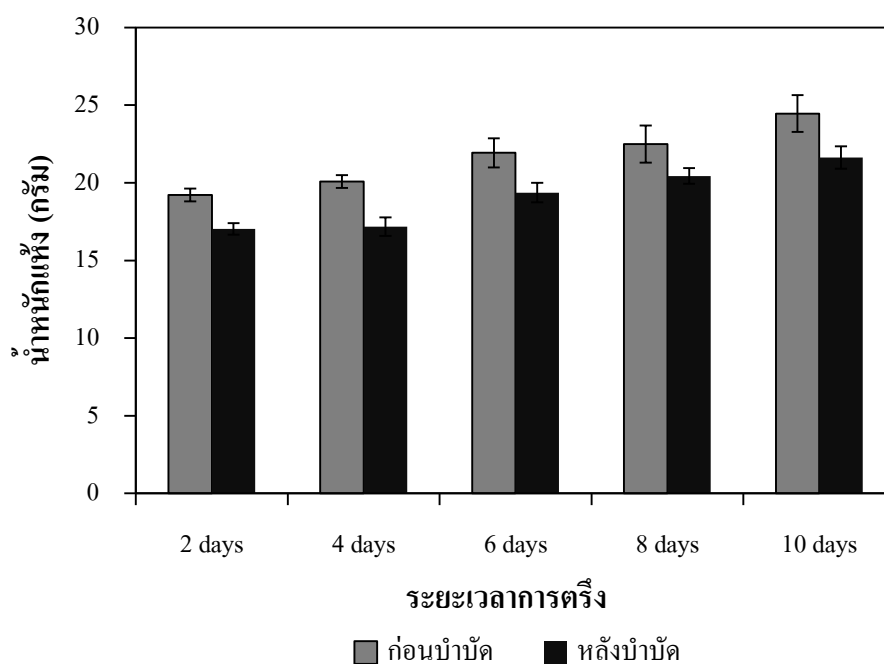
**รูปที่ 3.9** ประสิทธิภาพการย่อยสลายสารประกอบฟีนอลิกและลิกนินน้ำทิ้งโรงงานสกัดน้ำมันปาล์ม ความเข้มข้น 50% ของราไวท์รอตสายพันธุ์ *Trametes hirsuta* AK4 ที่ตรึงบนทะเลสาบ ปาล์มเปล่าระยะเวลา 2-10 วัน บ่มในอุณหภูมิห้อง เช่า 120 รอบต่อนาที

ผลการวิเคราะห์กิจกรรมของเอนไซม์ในกลุ่มลิกนินโอไลติก ได้แก่ Laccase, Manganese Peroxides (MnP) และ Lignin Peroxides (LiP) ซึ่งเป็นกลุ่มเอนไซม์ที่มีบทบาทสำคัญในการย่อยสลายสารประกอบฟีนอลิกและกำจัดลิกนิน (Sadayi and Ellouz, 1995) พบว่าสามารถตรวจพบกิจกรรมเอนไซม์ของ Laccase และ Manganese Peroxides เท่านั้น ส่วน Lignin Peroxides ไม่มีการตรวจพบ ทั้งนี้ราไวท์รอตสายพันธุ์ *Trametes hirsuta* AK4 อาจไม่สามารถสร้างเอนไซม์ LiP ได้หรือสร้างได้ในปริมาณน้อยมากจนไม่สามารถตรวจพบได้เมื่อนำมาบ่มร่วมกับน้ำเสีย ซึ่งกิจกรรมของเอนไซม์ที่ตรวจพบมีลักษณะสอดคล้องกับประสิทธิภาพในการกำจัดสารประกอบฟีนอลิกและลิกนิน โดยพบกิจกรรมของเอนไซม์ Laccase สูงที่สุดเท่ากับ 378 ยูนิต/ล. และ MnP สูงที่สุดเท่ากับ 2,877 ยูนิต/ล. ในราตรีงที่มีอายุ 4 วัน (รูปที่ 3.10A และ B) อีกทั้งกิจกรรมของเอนไซม์ทั้งสองค่อนข้างสูงในช่วง 1-2 วันแรกของการบ่มตัวอย่าง ดังนั้นในช่วงระยะเวลานี้จึงพบอัตราการลดลงของสารประกอบฟีนอลิกและลิกนินสูงเช่นกัน โดยเฉพาะในราที่มีอายุการตรึง 4 วัน



รูปที่ 3.10 กิจกรรมเอนไซม์ Laccase (A), Manganese Peroxidase (B) ในน้ำทิ้งโรงงานสกัดน้ำมันปาล์มความเข้มข้น 50% ของราไวที่รอตสายพันธุ์ *Trametes hirsuta* AK4 ที่ตั้งบนทะเลสาบเปล่าปาล์มน้ำมันระยะเวลา 2-10 วัน บ่มในอุณหภูมิห้อง เขย่า 120 รอบต่อนาที

จากการวิเคราะห์น้ำหนักแห้งของเซลล์ตั้ง *Trametes hirsuta* AK4 บนทะลายปาล์มเปล่า เพื่อวัดการเจริญของราไวท์รอต ซึ่งพิจารณาจากน้ำหนักแห้งของเส้นใยราไวท์รอตร่วมกับทะลายปาล์มน้ำมัน ก่อนนำไปบำบัดน้ำทิ้งโรงงานสกัดน้ำมันปาล์ม พบว่าระยะเวลาการตั้งที่สูงขึ้นจะทำให้เซลล์ตั้งมีน้ำหนักแห้งเพิ่มมากขึ้น โดยเซลล์ตั้งของ *Trametes hirsuta* AK4 บนทะลายปาล์มเปล่าที่ระยะเวลาการตั้ง 2-10 วัน มีน้ำหนักแห้งของเส้นใยรวมกับทะลายปาล์มเพิ่มขึ้นถึง 19.21-24.46 กรัม จากเริ่มต้นที่มีน้ำหนักวัสดุตั้งและหัวเชื้อราประมาณ 15 กรัม เนื่องจากราไวท์รอตใช้อาหารเหลว GYEB เป็นแหล่งคาร์บอน ไนโตรเจน และความชื้นสำหรับการเจริญเติบโต กระทั่งราสร้างเส้นใยที่เพิ่มมากขึ้นจนเจริญเต็มวัสดุตั้ง แต่เมื่อนำเซลล์ตั้งไปบำบัดน้ำทิ้งความเข้มข้น 50% พบว่าเซลล์ตั้งที่ผ่านการบำบัดกลับมีปริมาณน้ำหนักแห้งลดลงจากเดิมเป็น 17.04-21.62 กรัม ดังแสดงในรูปที่ 3.11 ทั้งนี้อาจมาจากทะลายปาล์มมีองค์ประกอบของลิกโนเซลลูโลสซึ่งอาจถูกย่อยสลายไปบางส่วนโดยราไวท์รอตเพื่อเป็นแหล่งอาหารทำให้น้ำหนักแห้งของราไวท์รอตร่วมกับทะลายปาล์มเปล่าลดลง



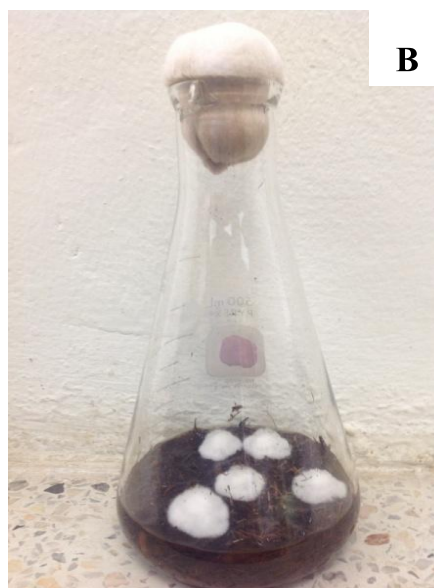
รูปที่ 3.11 น้ำหนักแห้งของราไวท์รอตสายพันธุ์ *Trametes hirsuta* AK4 ที่ถูกตั้งร่วมกับน้ำหนักแห้งของทะลายปาล์มเปล่าที่ระยะเวลาการตั้ง 2-10 วัน ก่อนและหลังนำไปบำบัดน้ำทิ้งโรงงานสกัดน้ำมันปาล์มความเข้มข้น 50%

### 3.3.3 การตรึงราไวท์รอตบนเส้นใยปาล์มน้ำมัน

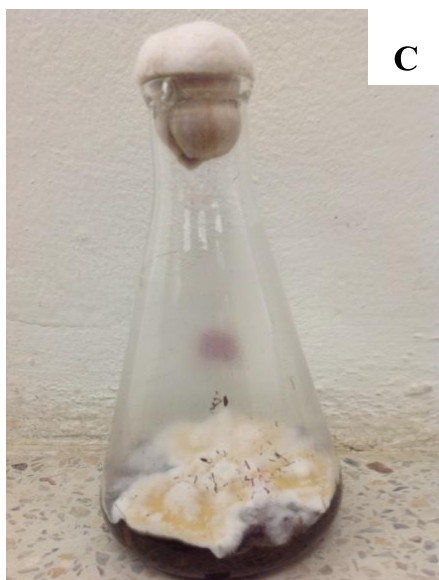
สำหรับการตรึงราไวท์รอตสายพันธุ์ *Trametes hirsuta* AK4 บนเส้นใยปาล์มน้ำมันซึ่งเป็นวัสดุเศษเหลือจากการสกัดน้ำมันปาล์มเช่นเดียวกัน ที่ผ่านการทำความสะอาดและฆ่าเชื้อแล้ว โดยแปรผันระยะเวลาการตรึงที่ 2, 4, 6, 8 และ 10 วัน พบว่า *Trametes hirsuta* AK4 สามารถเจริญเติบโตคลุมผิวหน้าของเส้นใยปาล์ม และการยึดเกาะของเส้นใยกับเส้นใยปาล์มน้ำมันจนเป็นก้อนแน่นเช่นเดียวกับการตรึงบนทะเลสาปาล์มเปล่า ดังแสดงในรูปที่ 3.12



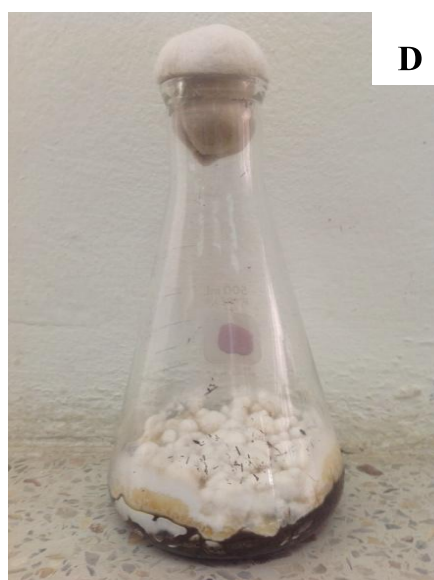
A



B

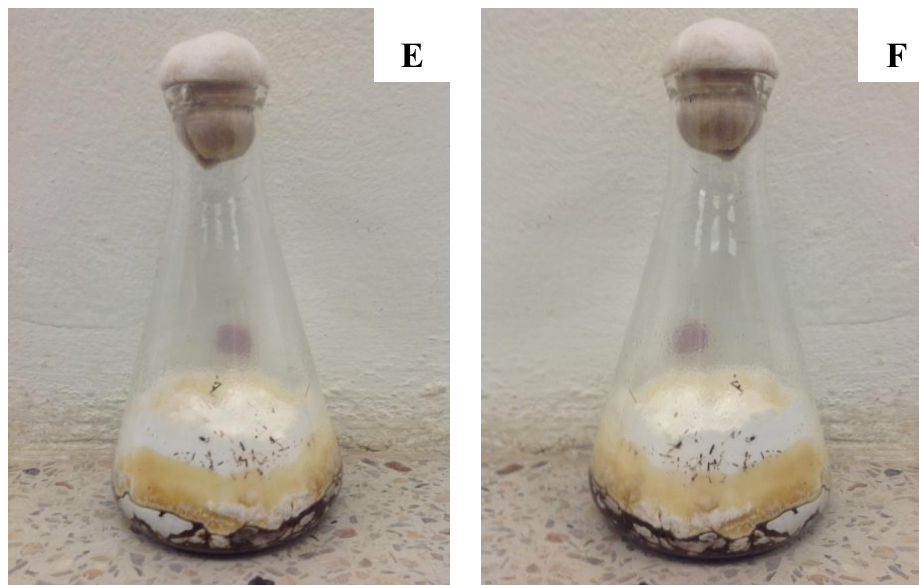


C



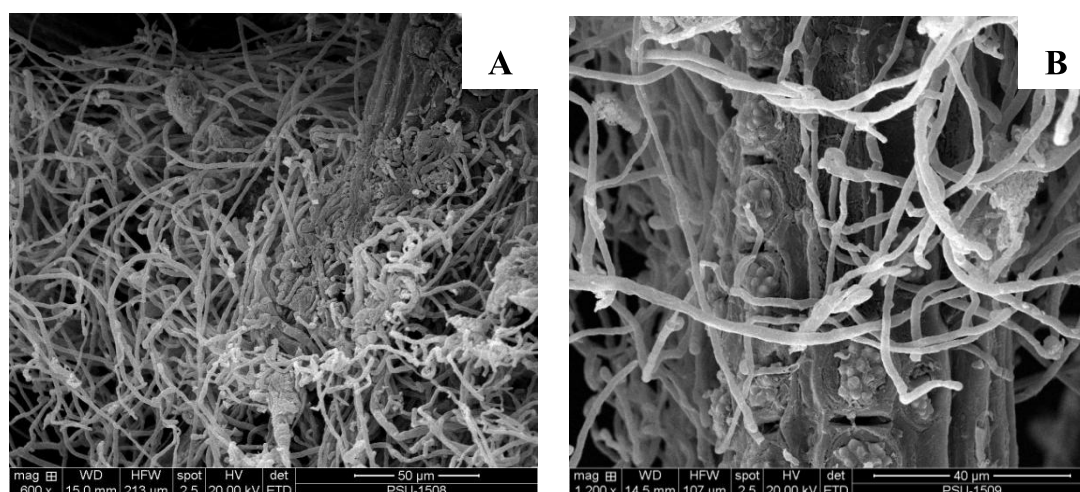
D





รูปที่ 3.12 รูปราไวท์รอต *Trametes hirsuta* AK4 ที่ตรึงบนเส้นใยปาล์มน้ำมันระยะเวลา 0 วัน (A), 2 วัน (B), 4 วัน (C), 6 วัน (D), 8 วัน (E) และ 10 วัน (F) เมื่อบ่มในอุณหภูมิห้อง สภาวะคงที่

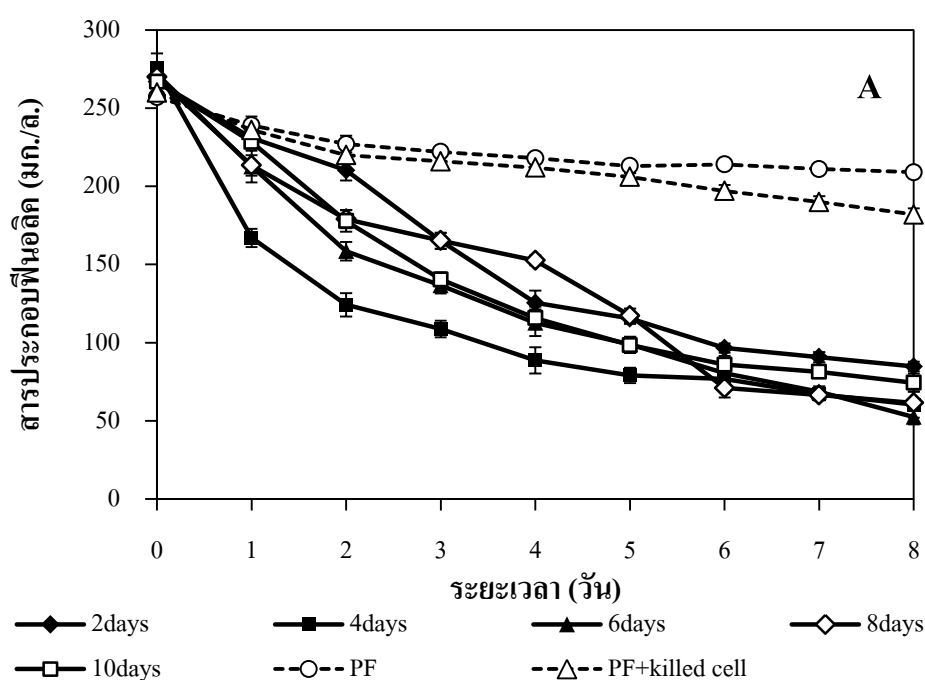
เมื่อนำชิ้นส่วนของเซลล์ตรึงบนเส้นใยปาล์มน้ำมันมาส่องด้วย SEM พบว่า เส้นใยของ *Trametes hirsuta* AK4 มีการเจริญเติบโตกระจายเต็มผิวหน้าของวัสดุตรึง (เส้นใยปาล์มน้ำมัน) (รูปที่ 3.15A) และสามารถสามารถเจริญเข้าไประหว่างช่องว่างของวัสดุตรึงและยึดเกาะกับวัสดุได้ดี (รูปที่ 3.13)

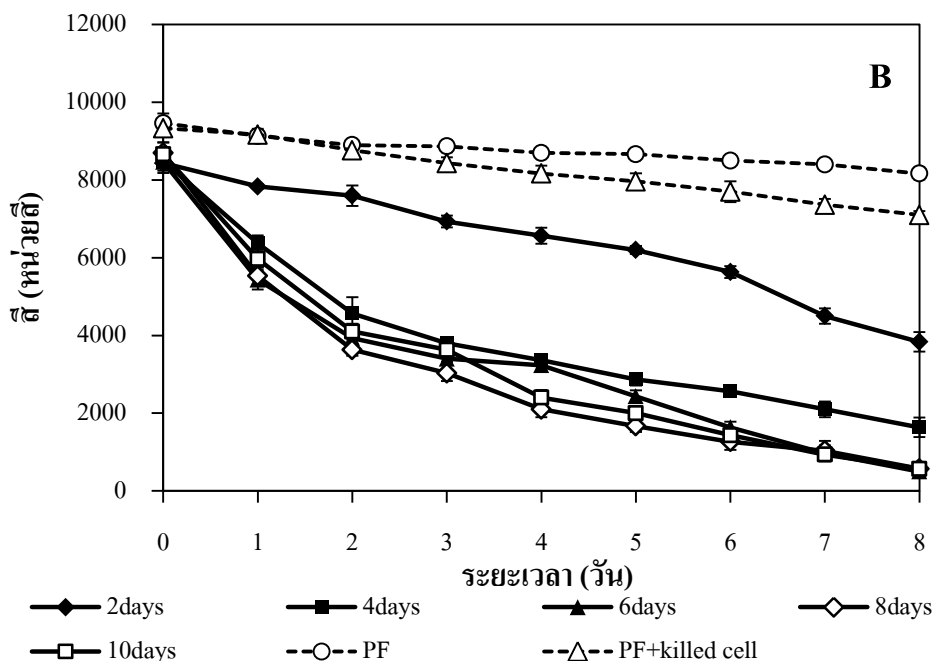


รูปที่ 3.13 ลักษณะการยึดเกาะของราไวท์รอต *Trametes hirsuta* AK4 ที่ตรึงบนเส้นใยปาล์มน้ำมัน หลังจากการตรึงเซลล์ 6 วัน (A) และการยึดเกาะในช่องว่างของวัสดุตรึง (B) เมื่อส่องโดย SEM กำลังขยาย 600X-1,200X



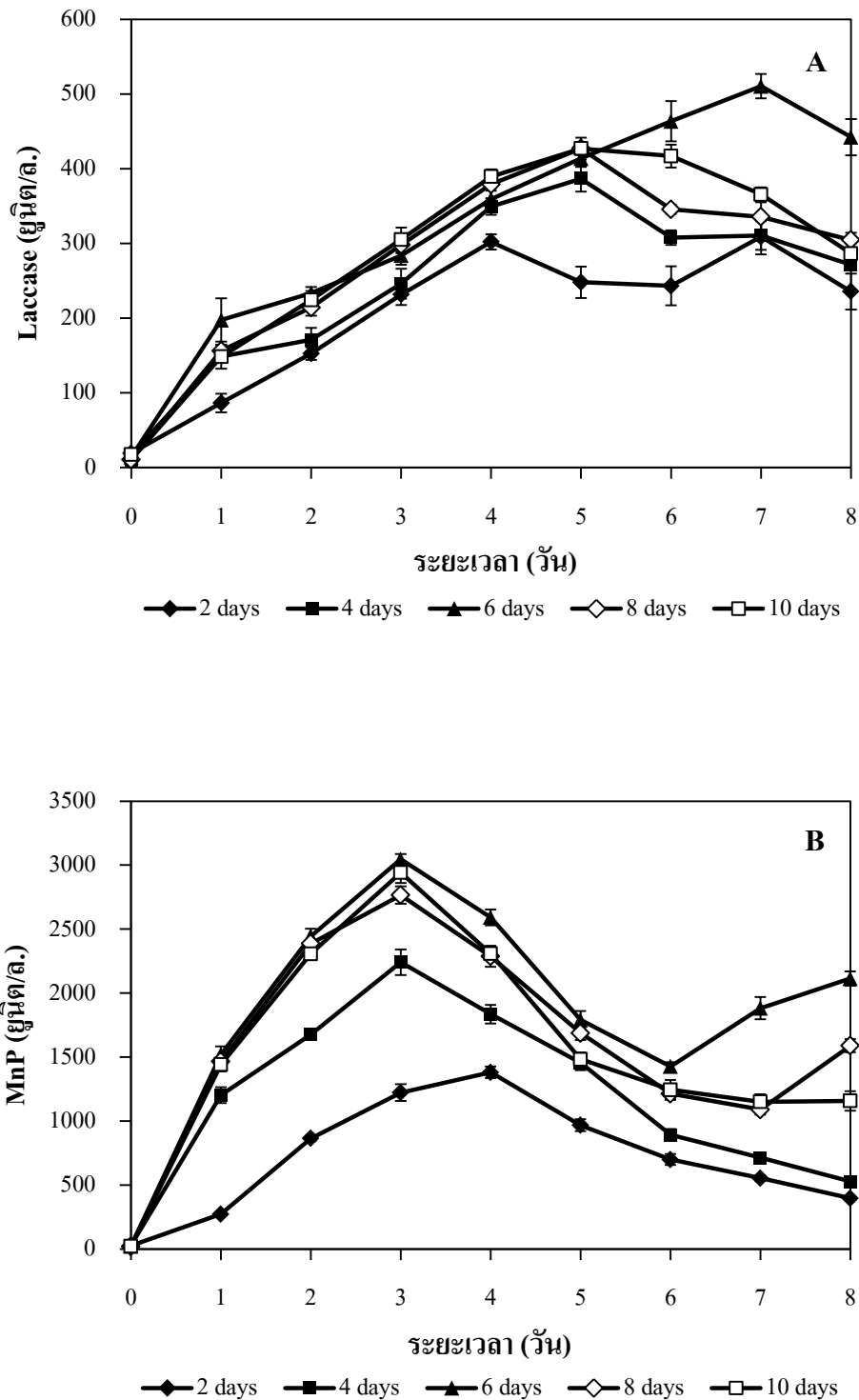
เมื่อนำเซลล์ตรึงของราไวท์รอตสายพันธุ์ *Trametes hirsuta* AK4 ที่ตรึงบนเส้นใยปาล์ม น้ำมันเป็นระยะเวลา 2, 4, 6, 8 และ 10 วัน มาทดสอบประสิทธิภาพในการกำจัดสีและ สารประกอบฟีนอลิกในน้ำทิ้งโรงงานสกัดน้ำมันปาล์ม โดยการเติม 50%POME ปริมาตร 100 มล. ที่ผ่านการฆ่าเชื้อแล้วลงในขวดรูปชมพู่ที่มีเซลล์ตรึง พบว่ามีอัตราการลดลงของสารประกอบฟีนอลิกและสีอย่างต่อเนื่อง โดยเซลล์ตรึงที่ระยะเวลา 4, 6 และ 8 วันสามารถลดสารประกอบฟีนอลิกได้ใกล้เคียงกัน โดยสามารถลดสารประกอบฟีนอลิกจากความเข้มข้น 269-275 มก./ล. เหลือเพียง 52-61 มก./ล. โดยคิดเป็น 77-80% ของการลดลง ในขณะที่ราตรึงอายุ 2 และ 10 วันสามารถลด สารประกอบฟีนอลิกอยู่ในช่วง 68-72% ในวันที่ 8 ของการบ่มเชื้อและน้ำทิ้งร่วมกัน ดังแสดงในรูป ที่ 3.14A สำหรับประสิทธิภาพในการกำจัดสีน้ำทิ้ง พบว่าเซลล์ตรึงที่ระยะเวลาตั้งแต่ 6 วัน เป็นต้น ไป สามารถลดสีได้สูงสุดและไม่แตกต่างกันอย่างมีนัยสำคัญทางสถิติ โดยสามารถลดสีใน 50%POME จาก 8,466-8,700 หน่วยสี เหลือเพียง 500 หน่วยสี คิดเป็น 93-94% ของการลดลง ในขณะที่ราตรึงอายุ 2 และ 4 วันสามารถลดสีอยู่ในช่วง 54% และ 80% ตามลำดับ ในวันที่ 8 ของ การบ่มเชื้อราตรึงกับน้ำทิ้งน้ำทิ้งร่วมกัน (รูปที่ 3.14B) และนอกจากนี้พบว่าชุดควบคุมที่มีเส้นใย ปาล์มน้ำมันเพียงอย่างเดียวมีการดูดซับสารประกอบฟีนอลิกและสีไว้ถึง 18.8% และ 13.7% ตามลำดับ ส่วนชุดควบคุมที่มีเส้นใยปาล์มน้ำมันร่วมกับเส้นใยราที่ผ่านการฆ่าเชื้อแล้วมีการดูดซับ สารประกอบฟีนอลิกและสีไว้สูงกว่าชุดควบคุมที่มีทะเลาะปาล์มเปล่าร่วมกับเส้นใยราถึง 30% และ 23.9% ตามลำดับ ซึ่งราตรึงบนเส้นใยปาล์มน้ำมันสามารถย่อยสลายสารประกอบฟีนอลิกและสี รวมถึงการดูดซับด้วยวัสดุตรึงร่วมกับเส้นใยราได้สูงกว่าราตรึงบนทะเลาะปาล์มเปล่า





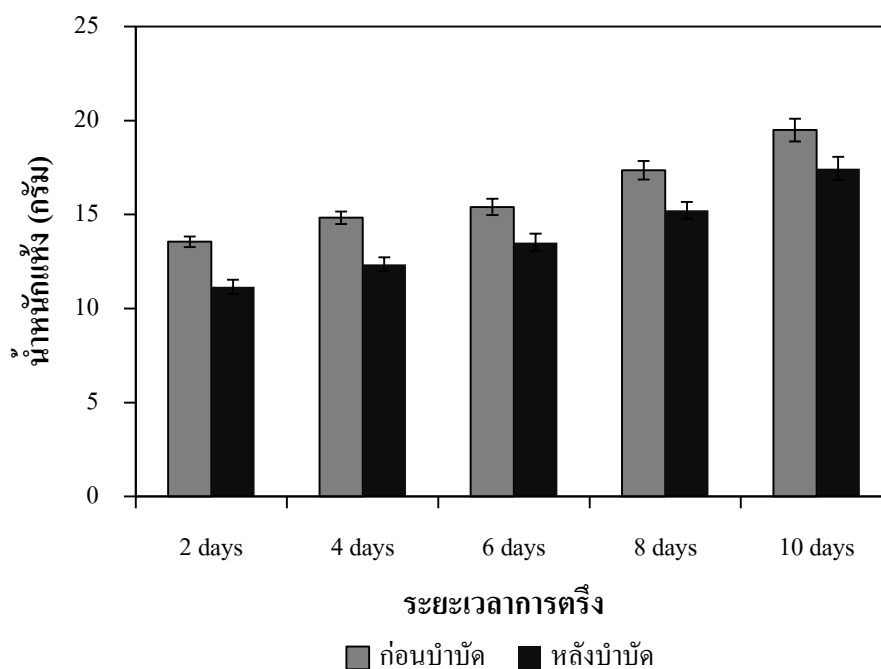
รูปที่ 3.14 ประสิทธิภาพการกำจัดสารประกอบฟีนอลิก (A) และลิกนิน (B) ในน้ำทิ้งโรงงานสกัดน้ำมันปาล์มความเข้มข้น 50% ของราไวท์รอตสายพันธุ์ *Trametes hirsuta* AK4 ที่ตรึงบนเส้นใยปาล์มน้ำมันระยะเวลา 2-10 วัน บ่มในอุณหภูมิห้อง เขย่า 120 รอบต่อนาที

ผลการวิเคราะห์กิจกรรมเอนไซม์ของ *Trametes hirsuta* AK4 ที่ตรึงบนเส้นใยปาล์มน้ำมัน พบว่ามีความสอดคล้องกับเซลล์ตรึง *Trametes hirsuta* AK4 ที่ถูกตรึงบนทะเลลายปาล์มเปล่า คือ ตรวจพบเฉพาะกิจกรรมของเอนไซม์ Laccase และ MnP เท่านั้น โดยพบกิจกรรมของเอนไซม์ Laccase ที่พบสูงที่สุดเท่ากับ 510 ยูนิต/ล. และ MnP สูงที่สุดเท่ากับ 3,046 ยูนิต/ล. ในราไวท์รอตที่มีอายุการตรึง 6 วัน บนเส้นใยปาล์มน้ำมัน (รูปที่ 3.15A และ B) ผลการศึกษาสอดคล้องกับประสิทธิภาพในการกำจัดและและสารประกอบฟีนอลิกที่สูงขึ้น อย่างไรก็ตามกิจกรรมเอนไซม์ Laccase และ MnP ที่ตรวจพบในราไวท์รอตที่ถูกตรึงบนเส้นใยปาล์มน้ำมันมีค่าสูงกว่ากิจกรรมเอนไซม์ที่ตรวจพบในเซลล์ตรึงบนทะเลลายปาล์มเปล่า ทั้งนี้ชนิดและปริมาณของเอนไซม์ที่ถูกสร้างขึ้นมีความแตกต่างกันไปตามสายพันธุ์ของราไวท์รอต โดยผลการศึกษากิจกรรมเอนไซม์ในกลุ่มลิกนินไลดิกที่ตรวจพบจากการศึกษานี้แตกต่างจากการศึกษาของ Ergul *et al.* (2009) ซึ่งใช้ *Trametes versicolor* ในการกำจัดน้ำทิ้งโรงงานสกัดน้ำมันมะกอก ตรวจพบกิจกรรมของเอนไซม์ Laccase ที่สูงกว่ากิจกรรมของเอนไซม์ MnP เท่ากับ 1,550 ยูนิต/ล. และ 128 ยูนิต/ล. ตามลำดับในวันที่ 7 และ 8 ของการบ่มราไวท์รอตที่ไม่ผ่านการปรับตัวในน้ำทิ้งที่เจือจาง 2 เท่า สายพันธุ์ของราไวท์รอตที่แตกต่างกันในแต่ละการศึกษาจะให้ผลกิจกรรมเอนไซม์ที่แตกต่างกัน



รูปที่ 3.15 กิจกรรมเอนไซม์ Laccase (A), Manganese Peroxidase (B) ในน้ำทิ้งโรงงานสกัดน้ำมัน ปาล์มความเข้มข้น 50% ของราไวท์รอตสายพันธุ์ *Trametes hirsuta* AK4 ที่ตรึงบนเส้นใย ปาล์มน้ำมันระยะเวลา 2-10 วัน บ่มในอุณหภูมิห้อง เขย่า 120 รอบต่อนาที

จากการวิเคราะห์น้ำหนักแห้งของเซลล์ตั้ง *Trametes hirsuta* AK4 บนเส้นใยปาล์มน้ำมัน ก่อนนำไปบำบัดน้ำทิ้งโรงงานสกัดน้ำมันปาล์ม เพื่อวัดการเจริญของราไวท์รอต ซึ่งพิจารณาจากน้ำหนักแห้งของเส้นใยราไวท์รอตพร้อมกับเส้นใยปาล์มน้ำมัน พบว่าระยะเวลาการตั้งที่สูงขึ้นจะทำให้เซลล์ตั้งมีน้ำหนักแห้งเพิ่มมากขึ้น สอดคล้องกับการตั้งราไวท์รอตบนทะเลสาปาล์มเปล่า โดยเซลล์ตั้งของ *Trametes hirsuta* AK4 บนเส้นใยปาล์มน้ำมันที่ระยะเวลาการตั้ง 2-10 วัน มีน้ำหนักแห้งของเส้นใยราไวท์รอตและเส้นใยปาล์มเพิ่มขึ้นถึง 13.55 – 19.49 กรัม จากเริ่มต้นที่มีวัสดุตั้งรวมกับหัวเชื้อราประมาณ 10 กรัม แต่เมื่อนำเซลล์ตั้งไปบำบัดน้ำทิ้งความเข้มข้น 50% พบว่าเซลล์ตั้งที่ผ่านการบำบัดกลับมีปริมาณน้ำหนักแห้งลดลงจากเดิมเป็น 11.16 – 17.44 กรัม ดังแสดงในรูปที่ 3.16 ทั้งนี้อาจเนื่องมาจากกลไกโนเซลลูโลสซึ่งเป็นองค์ประกอบในเส้นใยปาล์มน้ำมันถูกย่อยสลายด้วยราไวท์รอตเพื่อเป็นแหล่งอาหารสำหรับการเจริญเติบโต ค่าน้ำหนักแห้งของเส้นใยราไวท์รอตร่วมกับวัสดุตั้งนอกจากจะบอกร้อยการเจริญของราไวท์รอตแล้ว ยังสามารถใช้เป็นพารามิเตอร์เบื้องต้นที่ทดสอบได้ง่าย เพื่อจะใช้เป็นเกณฑ์ในการพิจารณาเดิมวัสดุตั้งหรือเปลี่ยนเซลล์ตั้งใหม่ เพื่อคงประสิทธิภาพในการบำบัดเมื่อนำราไวท์รอตไปใช้ในการบำบัดน้ำเสียด้วยระบบขยายขนาด



รูปที่ 3.16 น้ำหนักแห้งของราไวท์รอตสายพันธุ์ *Trametes hirsuta* AK4 ที่ถูกตั้งบนเส้นใยปาล์มน้ำมันระยะเวลา 2-10 วัน ก่อนและหลังนำไปบำบัดน้ำทิ้งโรงงานสกัดน้ำมันปาล์มความเข้มข้น 50%

จากประสิทธิภาพการกำจัดสีและสารประกอบฟีนอลิกของราไทรอท *Trametes hirsuta* AK4 ที่ตรึงบนทะเลลายปาล์มเปล่าและเส้นใยปาล์มน้ำมันที่มีอายุการตรึงแตกต่างกัน สามารถสรุปประสิทธิภาพสูงสุดในการกำจัดสีและสารประกอบฟีนอลิกในน้ำทิ้งโรงงานสกัดน้ำมันปาล์มความเข้มข้น 50% ดังแสดงในตารางที่ 3.4 จากตารางจะพบว่าราไทรอท *Trametes hirsuta* AK4 ที่ตรึงบนเส้นใยปาล์มน้ำมัน เป็นระยะเวลา 6 วัน ให้ประสิทธิภาพในการกำจัดสีและสารประกอบฟีนอลิกสูงสุดถึง 94% และ 80% ตามลำดับ เนื่องจากเส้นใยปาล์มมีขนาดเล็ก มีช่องว่างระหว่างเส้นใยปาล์มให้ราเจริญเข้าไปได้ง่าย และมีพื้นที่ผิวสัมผัสสูง ทำให้เกิดการถ่ายเทมวลสารระหว่างเซลล์ตรึงกับน้ำทิ้งได้ดี รวมถึงวัสดุดังกล่าวยังสามารถเป็นตัวเหนียวน้ำให้สร้างเอนไซม์ Laccase และ MnP สูง ทำให้ราตรึงกำจัดสารประกอบฟีนอลิกและสีในน้ำทิ้งได้ดี จึงคัดเลือกราไทรอท *Trametes hirsuta* AK4 ที่ตรึงบนเส้นใยปาล์มน้ำมัน เป็นระยะเวลา 6 วัน เพื่อใช้ในการทดลองต่อไป

ตารางที่ 3.4 ประสิทธิภาพการกำจัดสีและสารประกอบฟีนอลิกในน้ำทิ้งโรงงานสกัดน้ำมันปาล์ม โดยราไทรอท *Trametes hirsuta* AK4 ที่ตรึงบนทะเลลายปาล์มเปล่าและเส้นใยปาล์มน้ำมันในระยะเวลาการตรึงต่างๆ

วัสดุตรึง	ระยะเวลาการตรึง (วัน)	การลดลงของ สารประกอบฟีนอลิก (%)	การลดลงของ สี (%)
ทะเลลายปาล์มน้ำมัน	2	65.9±4.6 <sup>c</sup>	64.5±2.5 <sup>d</sup>
	4	74.7±0.9 <sup>b</sup>	70.5±2.9 <sup>c</sup>
	6	59.8±4.8 <sup>d</sup>	63.9±4.3 <sup>d</sup>
	8	55.0±2.2 <sup>d,e</sup>	64.1±1.6 <sup>d</sup>
	10	50.4±5.0 <sup>e</sup>	57.6±2.2 <sup>e</sup>
เส้นใยปาล์มน้ำมัน	2	68.2±1.2 <sup>b,c</sup>	54.5±1.6 <sup>e</sup>
	4	78.0±2.7 <sup>a</sup>	80.7±2.8 <sup>b</sup>
	6	80.6±2.2 <sup>a</sup>	94.0±1.1 <sup>a</sup>
	8	75.1±3.5 <sup>a,b</sup>	93.4±0.4 <sup>a</sup>
	10	72.0±1.6 <sup>b</sup>	93.4±1.0 <sup>a</sup>

หมายเหตุ ตัวอักษรเหมือนกันในสดมภ์เดียวกันแสดงว่าไม่มีความแตกต่างกันทางสถิติที่ความเชื่อมั่นร้อยละ 95 ( $p \leq 0.05$ )

### 3.4 การเพิ่มประสิทธิภาพการกำจัดสีและสารประกอบฟีนอลิกในน้ำทิ้ง

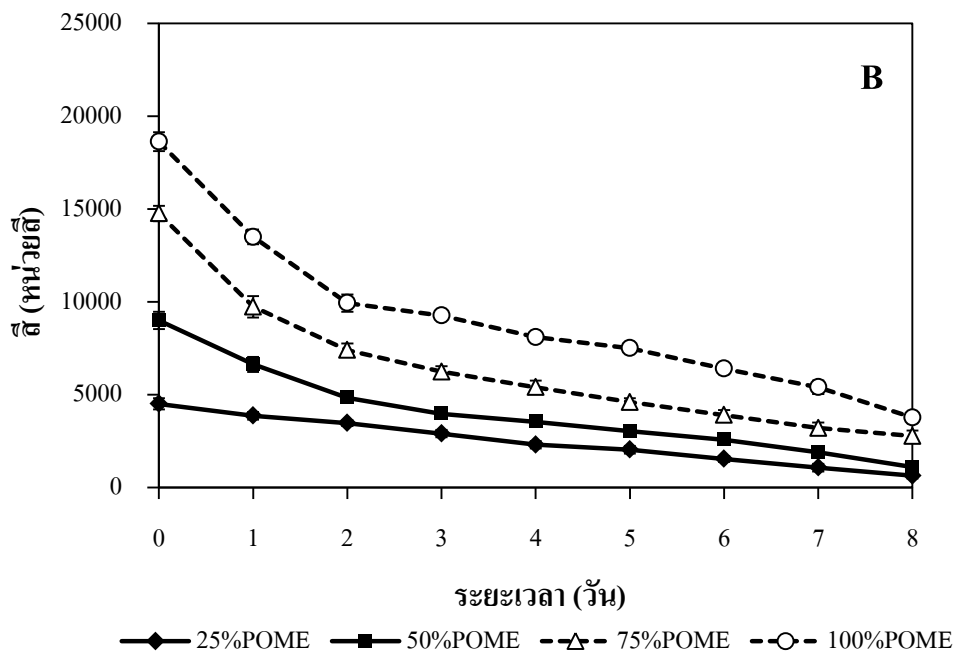
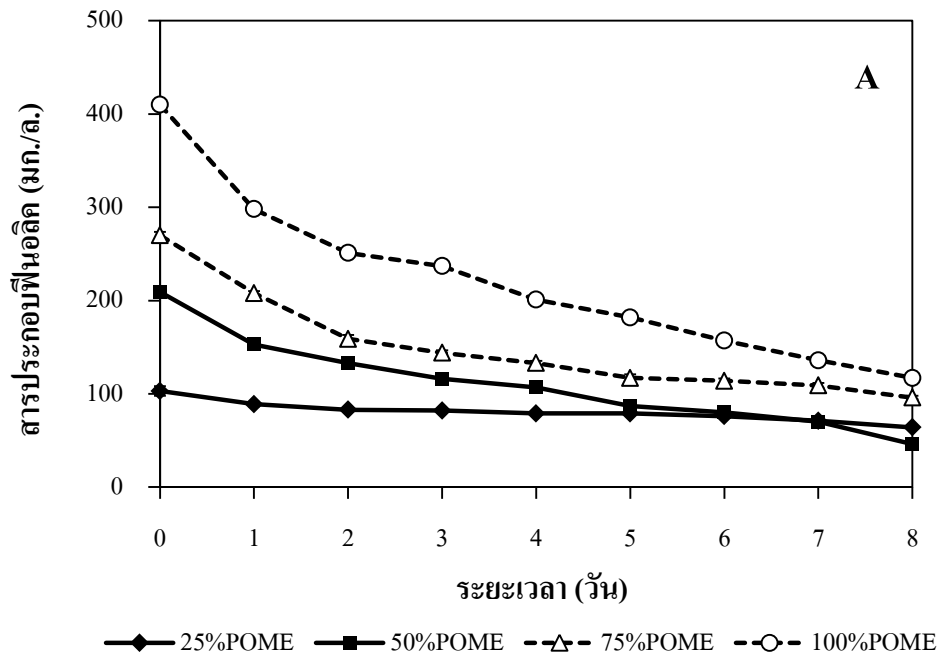
เมื่อได้คัดเลือกวัสดุครึ่งและระยะเวลาการครึ่งที่เหมาะสมซึ่ง ได้แก่ ราที่ถูกครึ่งบนเส้นใยปาล์มน้ำมัน เป็นระยะเวลา 6 วัน จากการทดลองข้างต้น โดยทดสอบกับน้ำทิ้งที่เจือจางความเข้มข้น 50% การศึกษาต่อไปนี้จะสนใจเพิ่มประสิทธิภาพของเซลล์ครึ่งในการกำจัดสีและสารประกอบฟีนอลิกในน้ำทิ้งที่ยังไม่ผ่านการเจือจางด้วยวิธีการต่าง ๆ ได้แก่ 1) การแปรผันความเข้มข้นน้ำทิ้ง 2) การเติมสารอาหารร่วม 3) การบำบัดแบบสองขั้นตอน และ 4) การปรับตัวของเซลล์ครึ่ง เพื่อเป็นแนวทางในการประเมินศักยภาพของราครึ่งเมื่อถูกนำไปใช้ในการบำบัดน้ำทิ้งของโรงงานสกัดน้ำมันปาล์มในระบบบำบัดน้ำเสียจริง

#### 3.4.1 การแปรผันความเข้มข้นน้ำทิ้ง

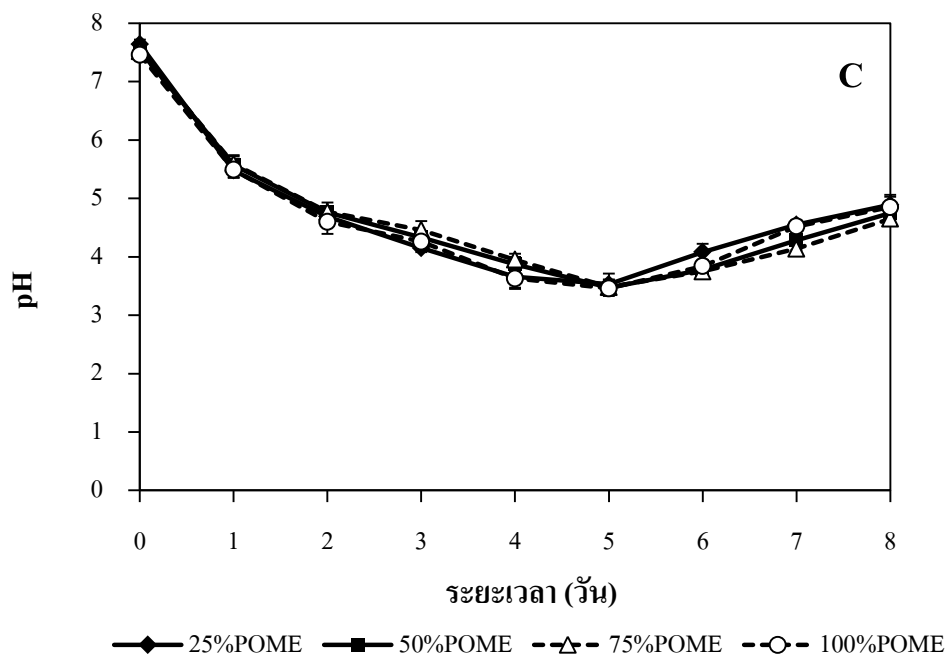
จากการศึกษาที่ผ่านมาพบว่าความเข้มข้นของสารประกอบฟีนอลิกในน้ำทิ้งโรงงานสกัดน้ำมันมะกอกที่ไม่ผ่านการเจือจางมีผลยับยั้งการเจริญของราไวท์รอต (Ahmadi *et al.*, 2006) ผู้วิจัยจึงเปรียบเทียบประสิทธิภาพของเซลล์ครึ่งบนเส้นใยปาล์มน้ำมันในการบำบัดน้ำทิ้งที่มีความเข้มข้นของสารประกอบฟีนอลิกแตกต่างกัน โดยการแปรผันน้ำทิ้งด้วยน้ำกลั่นให้ได้ระดับความเข้มข้น 25%, 50% 75% และ 100% (ไม่เจือจาง) พบว่าราครึ่งสามารถลดสารประกอบฟีนอลิกในน้ำทิ้งได้อย่างต่อเนื่องทุกระดับความเข้มข้นของน้ำทิ้ง ดังแสดงในรูปที่ 3.17A ทั้งนี้การทดสอบด้วยน้ำทิ้งที่มีความเข้มข้นต่ำจะส่งผลให้ประสิทธิภาพในการกำจัดสารประกอบฟีนอลิกลดต่ำลง โดยที่ระดับความเข้มข้นของน้ำทิ้ง 25% ราไวท์รอตครึ่งสามารถกำจัดสารประกอบฟีนอลิกได้เพียง 37% ซึ่งต่ำกว่าน้ำทิ้งที่มีความเข้มข้น 50%, 75% และน้ำทิ้งที่ไม่เจือจาง ซึ่งราครึ่งสามารถกำจัดสารประกอบฟีนอลิกได้ถึง 64% -77% เนื่องจากการลดความเข้มข้นของน้ำทิ้งทำให้สารอาหารและสารอินทรีย์อื่นๆในน้ำทิ้งถูกเจือจางด้วยเช่นกัน ทำให้มีผลต่อการเจริญของราไวท์รอต และส่งผลให้เกิดการย่อยสลายสารประกอบฟีนอลิกต่ำในน้ำทิ้งที่มีความเข้มข้นต่ำ ในงานวิจัยของ Ahmadi *et al.* (2006) ใช้ราไวท์รอตสายพันธุ์ *Phanerochaete chrysosporium* ที่ถูกครึ่งบนใยบวบ เพื่อกำจัดสารประกอบฟีนอลิกในน้ำทิ้งโรงงานสกัดน้ำมันมะกอก พบว่าราไวท์รอตสายพันธุ์ดังกล่าวไม่สามารถเจริญได้ในน้ำทิ้งที่มีความเข้มข้นสูง จึงต้องเติมสารอาหารร่วม เช่น กลูโคส แอมโมเนียมซัลเฟต และ yeast extract ลงในน้ำทิ้งที่มีความเข้มข้น 20 -50% จึงทำให้ราไวท์รอตสายพันธุ์ดังกล่าวย่อยสลายสารประกอบฟีนอลิกในน้ำทิ้งได้ ส่วนประสิทธิภาพในการกำจัดสีของน้ำทิ้งนั้นให้ผลที่ใกล้เคียงกันคือเซลล์ครึ่งสามารถกำจัดสีได้อย่างต่อเนื่อง เมื่อบ่มราครึ่งกับน้ำทิ้งร่วมกัน ดังแสดงในรูปที่ 3.17B จะเห็นได้ว่าเซลล์ครึ่งมีประสิทธิภาพในการกำจัดสีอยู่ในช่วง 79.7% - 87.8% ในวันที่ 8 ของการบ่ม เนื่องจากสารประกอบฟีนอลิกซึ่งเป็นส่วนหนึ่งที่ทำให้เกิดสีในน้ำทิ้งถูกย่อยสลายไป อย่างไรก็ตามในน้ำทิ้งยังมีองค์ประกอบอื่น ๆ ที่ทำให้เกิดสีรวมอยู่ด้วย เช่น สารประกอบ

จำพวกแอนโทไซยานิน แคโรทีน เมลานอยดิน ลิกนิน แทนนิน (Hartley, 1977; Hwang *et al.*, 1978; Barker and Worgan, 1981) ซึ่งเป็นสารที่มีมวลโมเลกุลสูง โครงสร้างซับซ้อน สามารถถูกย่อยสลายด้วยเอนไซม์ในกลุ่มลิกนินโพลิติก เช่น Laccase, MnP และ LiP ที่สร้างจากราไวท์รอตทำให้สีในน้ำทิ้งลดความเข้มลง (Asses *et al.*, 2009)

นอกจากการตรวจวัดสีและสารประกอบฟีนอลิกแล้ว การทดลองนี้ยังศึกษาการเปลี่ยนแปลง pH ของน้ำทิ้งตลอดการบำบัดด้วยราไวท์รอตที่ตรึงบนเส้นใยปาล์มน้ำมัน เนื่องจาก pH มีผลต่อปฏิกิริยา polymerization ของสารประกอบฟีนอลิกในน้ำทิ้งซึ่งจะทำให้สีเข้มขึ้น จากการศึกษาพบว่าเริ่มต้น pH ของน้ำทิ้งทุกอัตราการเจือจางอยู่ในช่วงที่เป็นกลางประมาณ 7.5 แต่เมื่อบ่มราตรึงร่วมกับน้ำทิ้งจะพบว่า pH ของน้ำทิ้งจะลดลงอยู่ในช่วงของกรดประมาณ 3.4-3.5 ในวันที่ 5 ของการบ่มเซลล์ตรึงร่วมกับน้ำทิ้งและหลังจากวันที่ 6 ของการบ่ม pH ของน้ำทิ้งจะเพิ่มขึ้นเล็กน้อย ดังแสดงในรูปที่ 3.17C การลดลงของ pH นี้ อาจมีเป็นผลมาจากการย่อยสลายสารประกอบฟีนอลิกในน้ำทิ้งโดยราไวท์รอต ซึ่งทำให้เกิดกรดอินทรีย์ขึ้นในน้ำทิ้ง สอดคล้องกับการทดลองของ Assas *et al.* (2002) ซึ่งใช้รา *Geotrichum candidum* ในการกำจัดสีของน้ำทิ้งโรงงานสกัดน้ำมันมะกอก ซึ่งมีการรายงานที่ pH ของน้ำทิ้งจะลดลงอยู่ในช่วงที่เป็นกรด เกิดจากการที่ราไวท์รอตใช้น้ำตาลและสารอินทรีย์ในน้ำทิ้ง ทำให้เกิดกรดอินทรีย์ซึ่งเป็นสารตัวกลางก่อนเข้าสู่กระบวนการย่อยสลายผ่านวัฏจักรเครบส์ (Krebs cycle) อย่างไรก็ตามค่า pH ที่สูงขึ้นในช่วงท้ายของการทดลอง อาจมีสาเหตุมาจากการย่อยสลายสารต่อกลางต่อไปเป็นสารชนิดอื่น หรือเกิดการย่อยสลายสารประกอบฟีนอลิกและสารอินทรีย์อื่นๆ อย่างสมบูรณ์ จึงทำให้กรดอินทรีย์เปลี่ยนเป็นก๊าซคาร์บอนไดออกไซด์และน้ำ (Leonowicz *et al.*, 2001) และนอกจากนี้ยังมีการรายงานที่ค่า pH ที่ลดลงช่วยส่งเสริมการทำงานของเอนไซม์ที่เกี่ยวข้องกับการกำจัดสีได้ดี (Kim and Shoda, 1999) เนื่องจากเป็นค่า pH ที่เหมาะสมในการเจริญและสร้างเอนไซม์ของราไวท์รอตซึ่งอยู่ในช่วง 3.5-5.5 (Boyle, 2006)

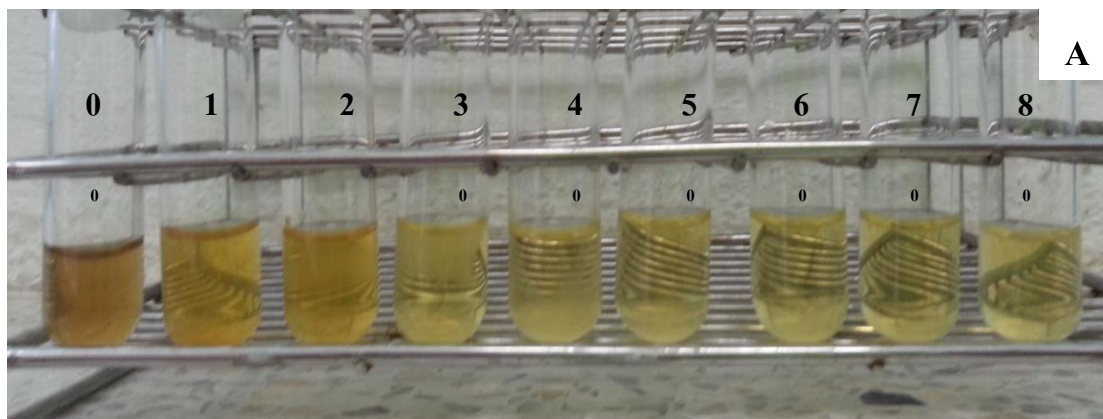


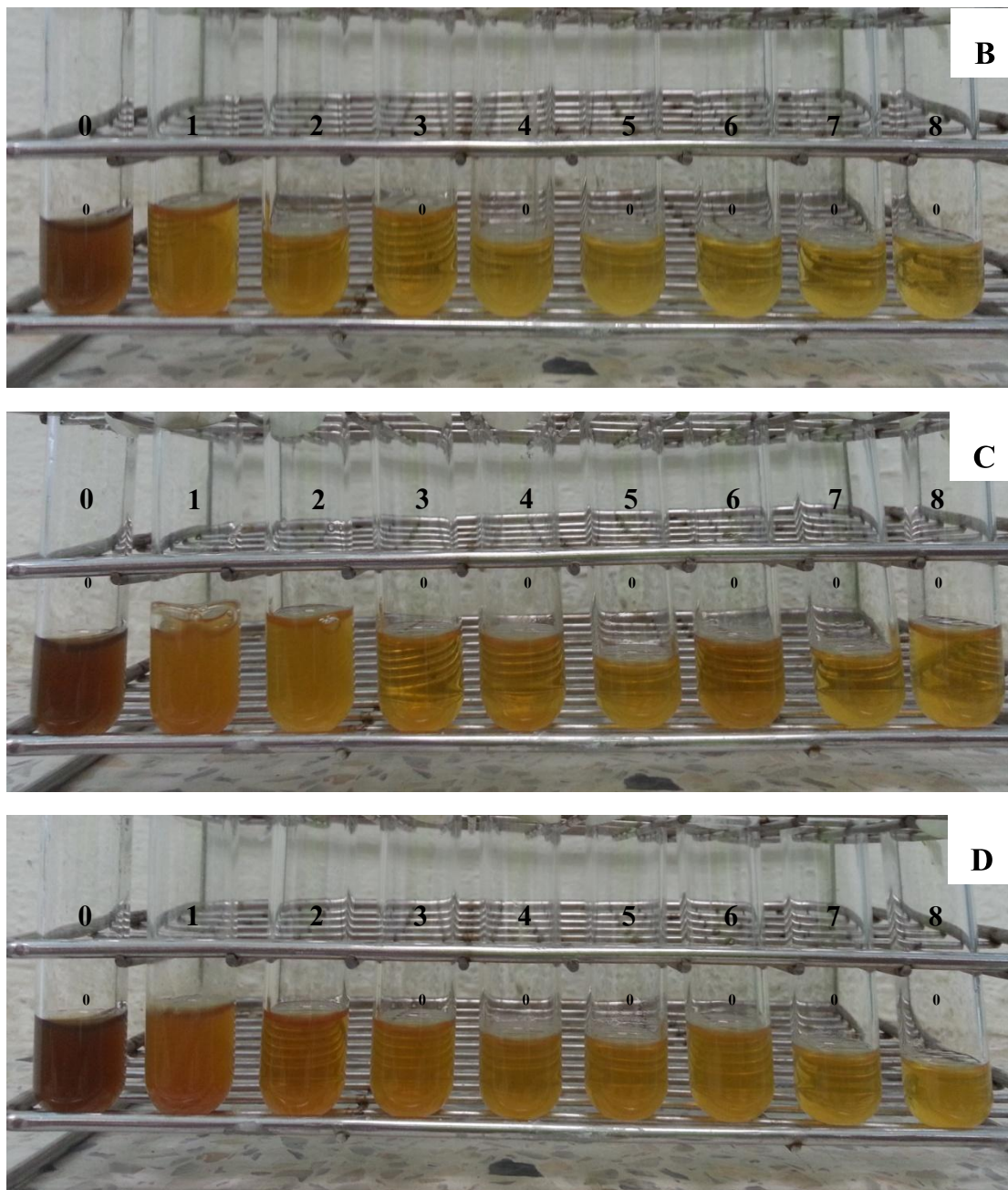




**รูปที่ 3.17** การย่อยสลายสารประกอบฟีนอลิก (A) การกำจัดสี (B) และการเปลี่ยนแปลง pH (C) ในน้ำทิ้งโรงงานสกัดน้ำมันปาล์มความเข้มข้น 25%- 100% ของราไวท์รอตสายพันธุ์ *Trametes hirsuta* AK4 ที่ตรึงบนเส้นใยปาล์มน้ำมัน บ่มในอุณหภูมิห้อง เขย่า 120 รอบต่อ นาที

การลดลงของสีน้ำทิ้งโรงงานสกัดน้ำมันปาล์ม ซึ่งเริ่มต้นมีสีน้ำตาลคล้ำ และเมื่อนำมาเจือจางด้วยน้ำกลั่นทำให้ความเข้มของสีลดลงตามอัตราการเจือจาง หลังจากนั้นนำมาบำบัดด้วยราไวท์รอตสายพันธุ์ *Trametes hirsuta* AK4 ที่ตรึงบนเส้นใยปาล์มน้ำมัน พบว่าสีของน้ำทิ้งจะเปลี่ยนจากสีน้ำตาลคล้ำเป็นสีเหลืองที่มีความเข้มสีแตกต่างกัน ดังแสดงในรูปที่ 3.18A-D





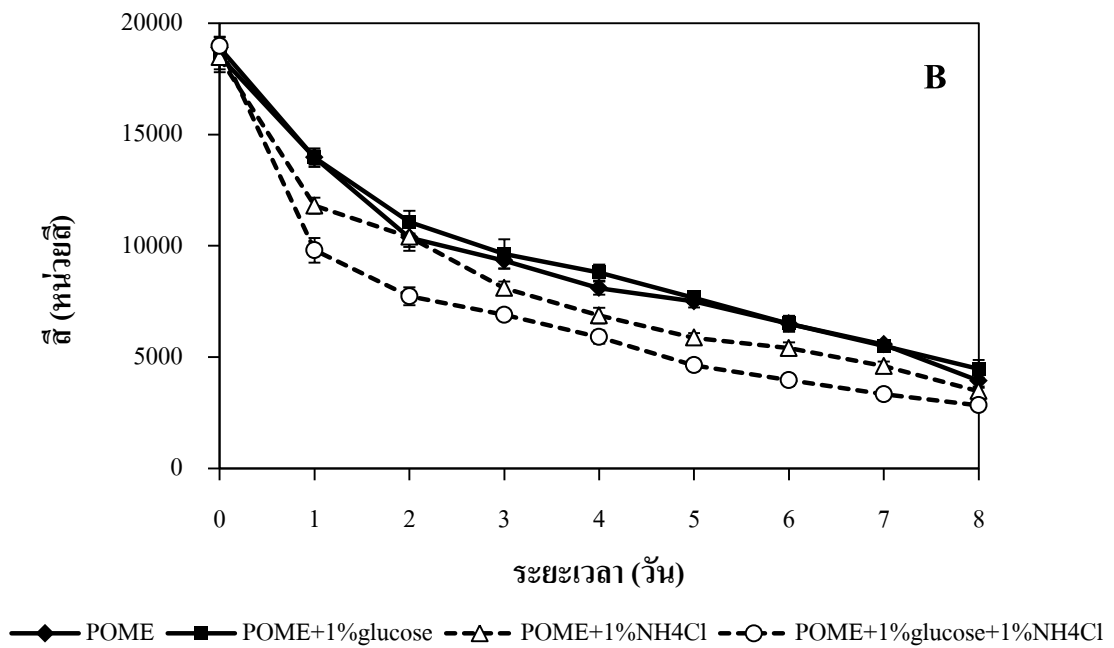
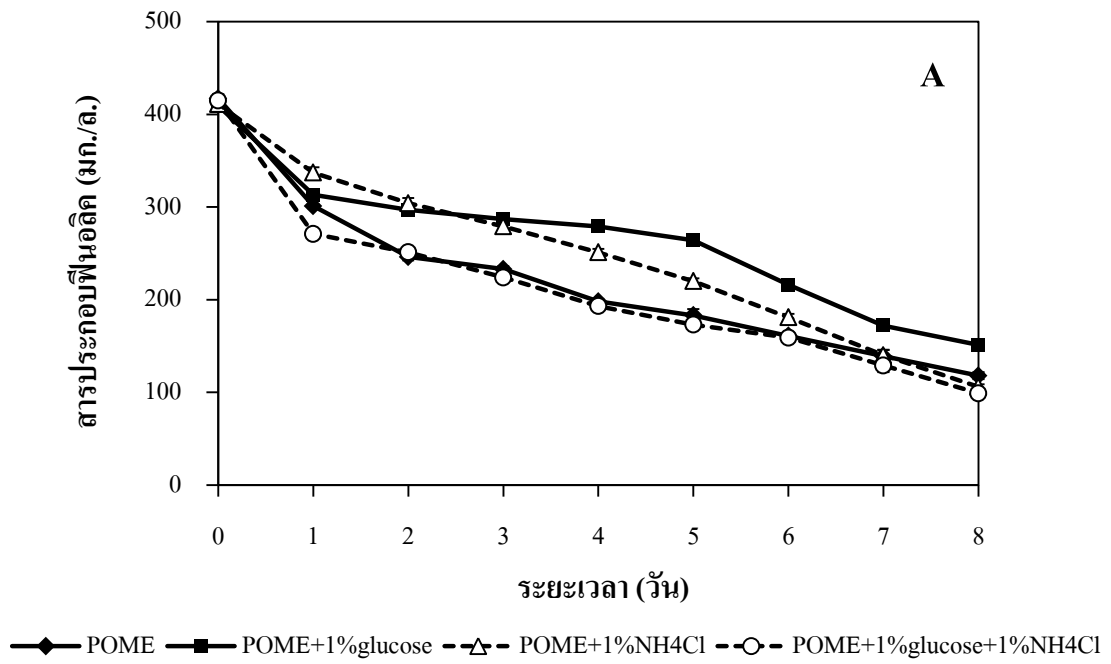
รูปที่ 3.18 การเปลี่ยนแปลงสีของน้ำทิ้งโรงงานสกัดน้ำมันปาล์มความเข้มข้น 25% (A), 50% (B), 75% (C) และ 100% (D) ที่ผ่านการบำบัดด้วยราไวท์รอตสายพันธุ์ *Trametes hirsuta* AK4 ที่ตั้งบนเส้นใยปาล์มน้ำมัน ป่มเป็นระยะเวลา 0-8 วัน

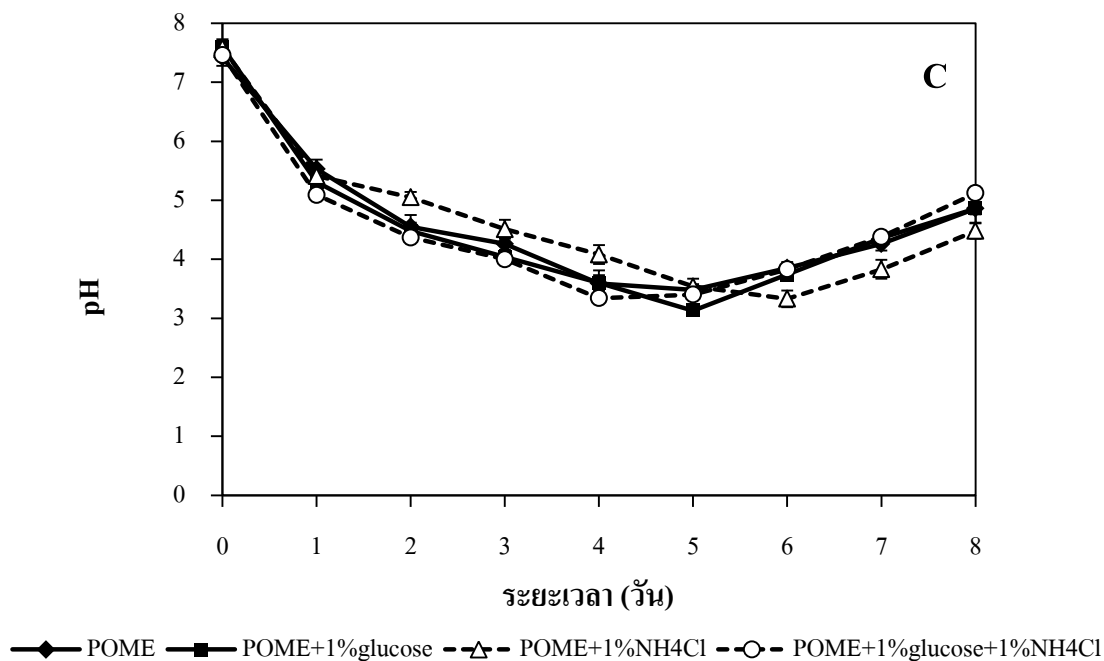
### 3.4.2 การเติมแหล่งอาหารร่วม

เมื่อนำเซลล์แห้งของราไวท์รอตมาศึกษาการเติมแหล่งอาหารร่วมโดยการเติมน้ำตาลกลูโคส (1% w/v) หรือ แอมโมเนียมคลอไรด์ (1% w/v) และน้ำตาลกลูโคส (1% w/v) ร่วมกับแอมโมเนียมคลอไรด์ (1% w/v) ลงไปในน้ำทิ้งที่มีความเข้มข้น 100% (ไม่ผ่านการเจือจาง) เพื่อเป็นการเพิ่มเติมแหล่งคาร์บอนและไนโตรเจนให้กับราไวท์รอต พบว่าการเติมน้ำตาลกลูโคส ทำให้ประสิทธิภาพในการกำจัดสารประกอบฟีนอลลดลงเหลือ 62.9% ต่ำกว่าน้ำทิ้งที่ไม่เติมน้ำตาลกลูโคส ซึ่งสามารถกำจัดสารประกอบฟีนอลได้ 71.4% ในวันที่ 8 ของการบ่มราตรีงร่วมกับน้ำทิ้ง ส่วนการเติมแอมโมเนียมคลอไรด์ เพียงอย่างเดียว และการเติมน้ำตาลกลูโคส ร่วมกับแอมโมเนียมคลอไรด์ ส่งผลให้กำจัดฟีนอลได้เพิ่มขึ้นเป็น 74.0% และ 76.1% ตามลำดับ ดังแสดงในรูปที่ 3.19A ทั้งนี้อาจเป็นผลมาจากปริมาณไนโตรเจนที่เหมาะสมส่งผลให้การสร้างเอนไซม์ในกลุ่มลิกนินโกลติคัส (Swamy and Ramsay, 1999)

ส่วนประสิทธิภาพในการกำจัดสีน้ำทิ้งนั้นให้ผลสอดคล้องกับประสิทธิภาพในการกำจัดสารประกอบฟีนอล โดยที่น้ำทิ้งที่มีการเติมน้ำตาลกลูโคส เซลล์แห้งสามารถกำจัดสีได้ 75% (รูปที่ 3.19B) ซึ่งต่ำกว่าน้ำทิ้งที่ไม่เติมน้ำตาลกลูโคสซึ่งสามารถกำจัดสีได้ถึง 79.2% ส่วนการเติมแอมโมเนียมคลอไรด์ เพียงอย่างเดียวและการเติมน้ำตาลกลูโคสร่วมกับแอมโมเนียมคลอไรด์ ส่งผลให้กำจัดสีได้เพิ่มขึ้นเป็น 81.1% และ 85.0% ตามลำดับ จากผลการทดลองดังกล่าวสอดคล้องกับการศึกษาของ Gomathi, *et al.* (2012) ซึ่งทำการศึกษากำจัดสีของน้ำทิ้งโรงงานกระดาษด้วยราตรีงของ *Phanerochaete chrysosporium* พบว่าการเติมแหล่งคาร์บอนร่วม เช่น น้ำตาลซูโครส จะทำให้ประสิทธิภาพการกำจัดสีต่ำกว่าการไม่เติมแหล่งคาร์บอนร่วม เนื่องจากราไวท์รอตสามารถใช้ น้ำตาลกลูโคสเป็นแหล่งอาหารได้ง่ายกว่าการใช้สารอินทรีย์ในน้ำทิ้ง จึงเลือกที่จะใช้น้ำตาลกลูโคสเพื่อใช้ในการเจริญแทนการย่อยสลายสารอินทรีย์ที่ย่อยสลายยากกว่า เช่น สารประกอบฟีนอลหรือรควัตถุอื่น ๆ ในน้ำทิ้ง ดังนั้นจึงไม่มีความจำเป็นที่จะต้องเติมแหล่งคาร์บอนร่วมในการบำบัดสีของน้ำทิ้ง

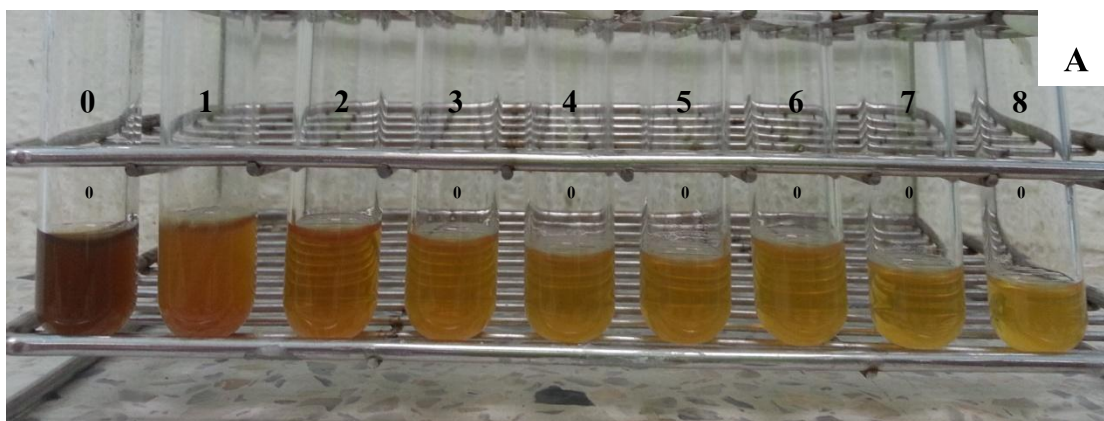
นอกจากนี้ น้ำทิ้งโรงงานสกัดน้ำมันปาล์มที่มีการเติมแหล่งอาหารร่วมและไม่เติมแหล่งอาหารร่วมมีการลดลงของ pH โดยลดลงจากประมาณ 7.5 มาเป็น 3.1-3.5 ในวันที่ 5 ของการบ่มราตรีงร่วมกับน้ำทิ้ง และค่อยๆเพิ่มขึ้นเล็กน้อยในวันที่ 6-8 ของการบ่ม จนอยู่ในช่วง 4.8-5.1 น้ำทิ้งที่เติมแอมโมเนียมคลอไรด์ 1% w/v จะมีการเปลี่ยนแปลงของ pH ที่ช้ากว่าการเติมสารชนิดอื่นดังแสดงในรูปที่ 3.19C การเปลี่ยนแปลง pH ของน้ำทิ้งที่มีการเติมแหล่งอาหารร่วมให้ผลสอดคล้องกับการเจือจางความเข้มข้นน้ำทิ้ง



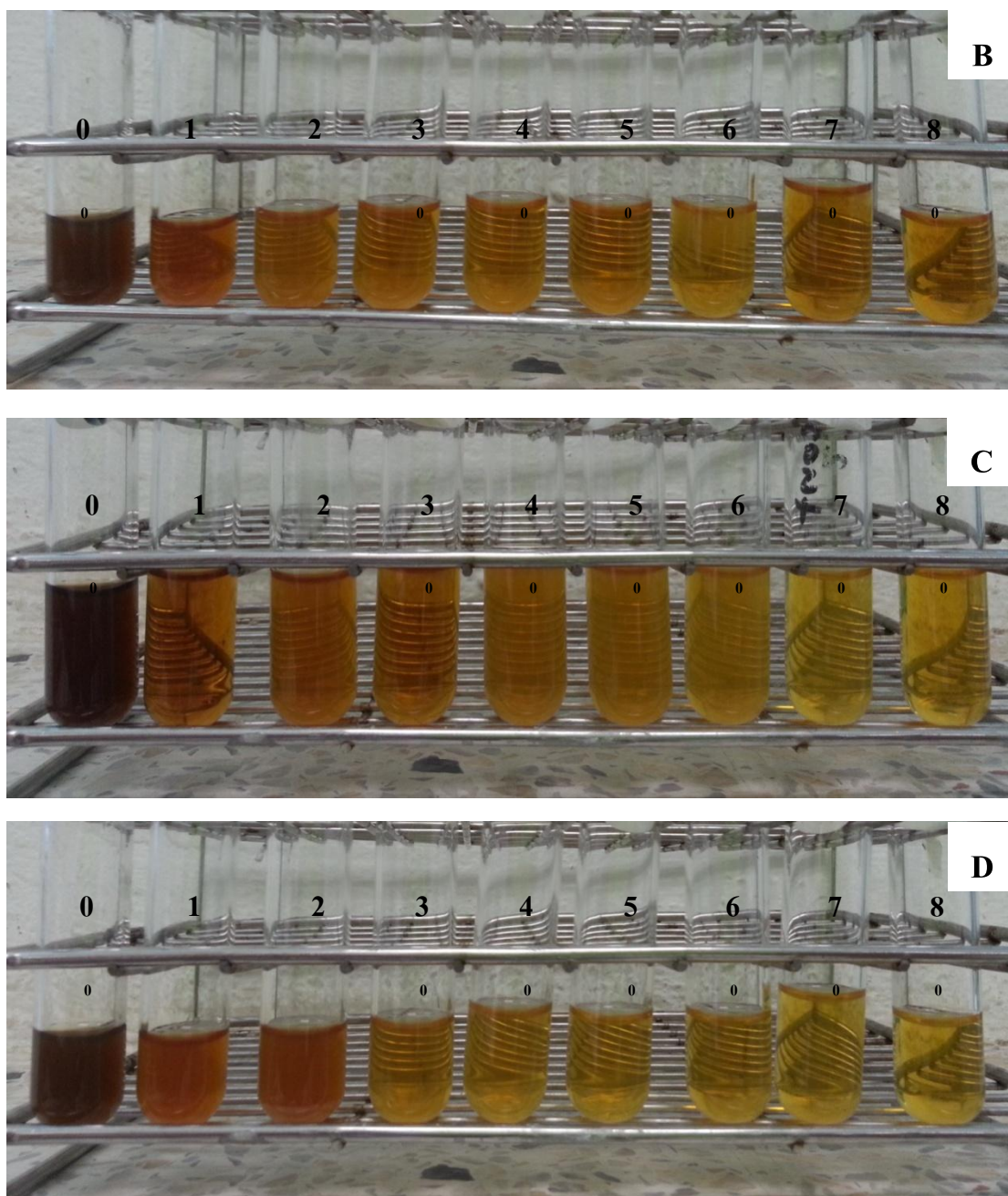


รูปที่ 3.19 การย่อยสลายสารประกอบฟีนอลิก (A) การกำจัดสี (B) และการเปลี่ยนแปลง pH (C) ใน น้ำทิ้งโรงงานสกัดน้ำมันปาล์มที่มีการเติมแหล่งอาหารร่วม C และ N ต่างๆ ของราไวท์ รอท *Trametes hirsuta* AK4 ที่ตรึงบนเส้นใยปาล์มน้ำมัน บ่มในอุณหภูมิห้อง เขย่า 120 รอบต่อนาที

ลักษณะการลดลงของสีน้ำทิ้งโรงงานสกัดน้ำมันปาล์มหลังจากบำบัดด้วยราไวท์รอตสายพันธุ์ *Trametes hirsuta* AK4 ที่ตรึงบนเส้นใยปาล์มน้ำมัน เมื่อนำมาเติมกลูโคสหรือแอมโมเนียมคลอไรด์เพื่อเป็นแหล่งอาหารร่วมของราไวท์รอตลงในน้ำทิ้ง พบว่าสีของน้ำทิ้งจะเปลี่ยนจากสีน้ำตาลคล้ำเป็นสีเหลืองที่มีความเข้มสีแตกต่างกัน และความเข้มสีลดลงตามลำดับ ดังแสดงในรูปที่ 3.20A-D เช่นเดียวกับการเปลี่ยนแปลงสีของน้ำทิ้งที่มีการแปรผันความเข้มข้น







รูปที่ 3.20 การเปลี่ยนแปลงสีของน้ำทิ้งโรงงานสกัดน้ำมันปาล์ม (A), น้ำทิ้งที่เติมน้ำตาลกลูโคส 1% w/v (B), น้ำทิ้งที่เติมแอมโมเนียมคลอไรด์ 1% w/v (C) และน้ำทิ้งที่เติมน้ำตาลกลูโคส 1% w/v ร่วมกับแอมโมเนียมคลอไรด์ 1% w/v (D) ที่ผ่านการบำบัดด้วยราไวท์รอตสายพันธุ์ *Trametes hirsuta* AK4 ที่ตรึงบนเส้นใยปาล์มน้ำมัน

### 3.4.3 การบำบัดน้ำทิ้งแบบสองขั้นตอน

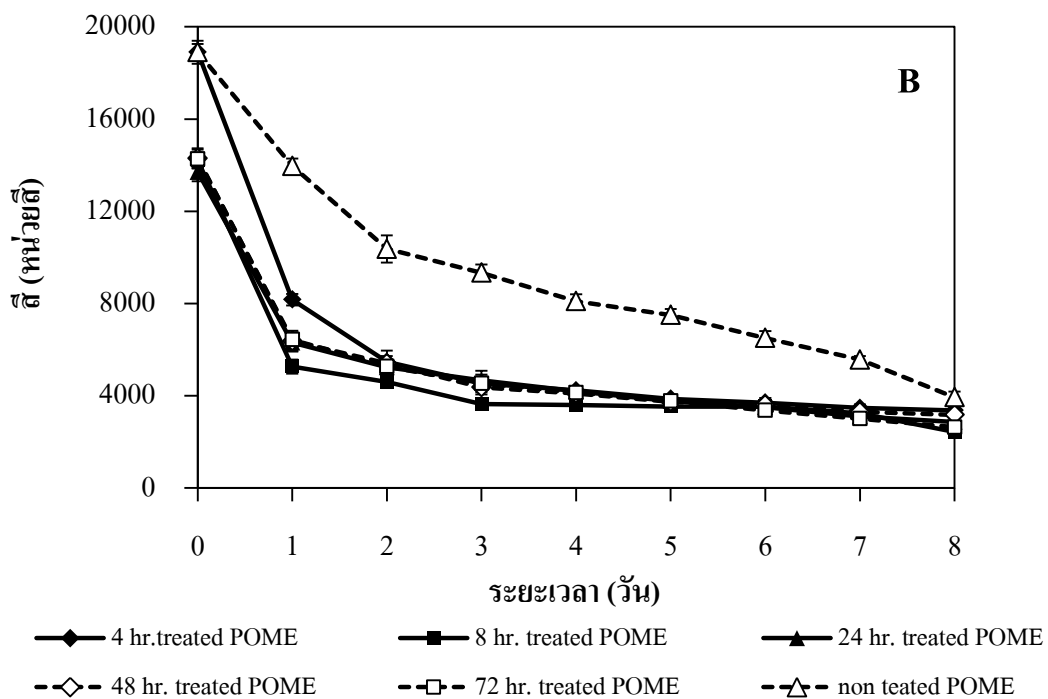
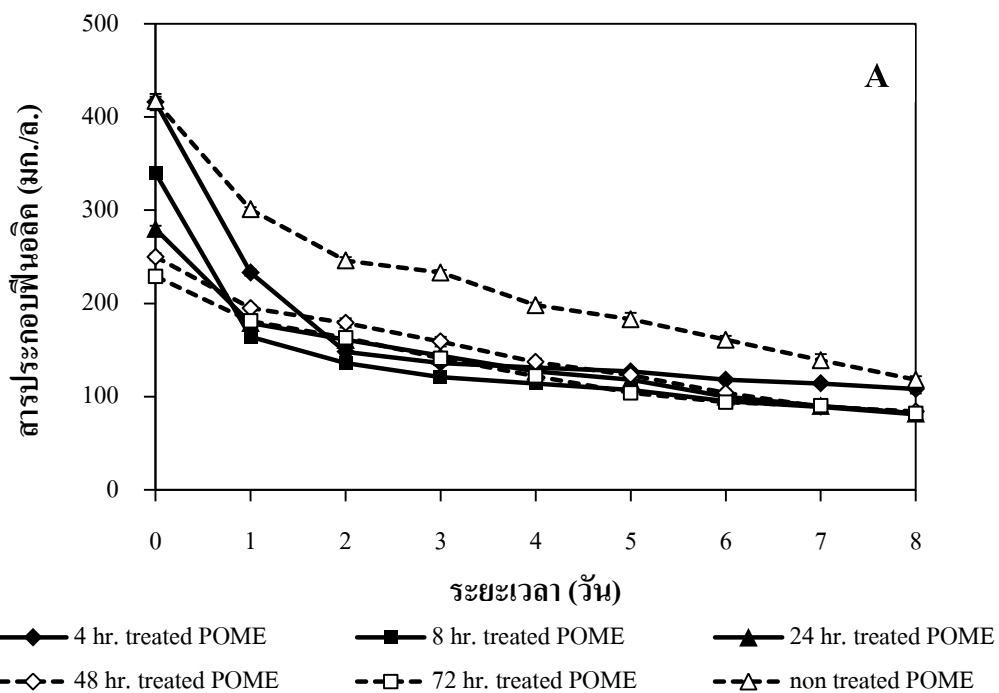
จากการศึกษาของพนิดา โตะสุ (2555) ใช้แบคทีเรียผสม *Methylobacterium* sp. NP3 และ *Acinetobacter* sp. PK1 ซึ่งเป็นแบคทีเรียย่อยสลายฟีนอล (phenol-degrading bacteria) มาตรึงบนวัสดุเศษเหลือปาล์มน้ำมันเพื่อประยุกต์ใช้ในการบำบัดน้ำทิ้งที่มีการปนเปื้อนของฟีนอล ได้แก่ น้ำทิ้งของโรงงานสกัดน้ำมันปาล์ม พบว่าเซลล์ตรึงบนทะเลสาบปาล์มเปล่าที่ผ่านการกระตุ้นโดยการเลี้ยงในอาหาร carbon free mineral medium (CFMM) ที่มีการเติมฟีนอล 10 มก./ล. สามารถลดปริมาณฟีนอลในน้ำทิ้งโรงงานสกัดน้ำมันปาล์มได้ 64 % ภายในเวลา 7 วัน ดังนั้นผู้วิจัยจึงสนใจที่จะนำผลการศึกษาดังกล่าวมาประยุกต์ใช้ร่วมกับการบำบัดด้วยราไวท์รอกที่ตรึงบนเส้นใยปาล์มน้ำมัน ซึ่งเป็นการบำบัดแบบ 2 ขั้นตอน โดยขั้นต้น (Pretreatment) บำบัดน้ำทิ้งโรงงานสกัดน้ำมันปาล์มด้วยแบคทีเรียผสมที่ตรึงบนทะเลสาบปาล์มเปล่าตามวิธีการของพนิดา โตะสุ (2555) โดยต้องการบำบัดสารประกอบฟีนอลิกขั้นต้นให้มีความเข้มข้นลดลง เพื่อลดความเป็นพิษของสารประกอบดังกล่าวที่อาจส่งผลต่อการเจริญและการสร้างเอนไซม์ของราไวท์รอก แล้วจึงนำน้ำทิ้งที่ผ่านการบำบัดขั้นต้นมาบำบัดต่อด้วยราไวท์รอก *Trametes hirsuta* AK4 ที่ตรึงบนเส้นใยปาล์มน้ำมัน

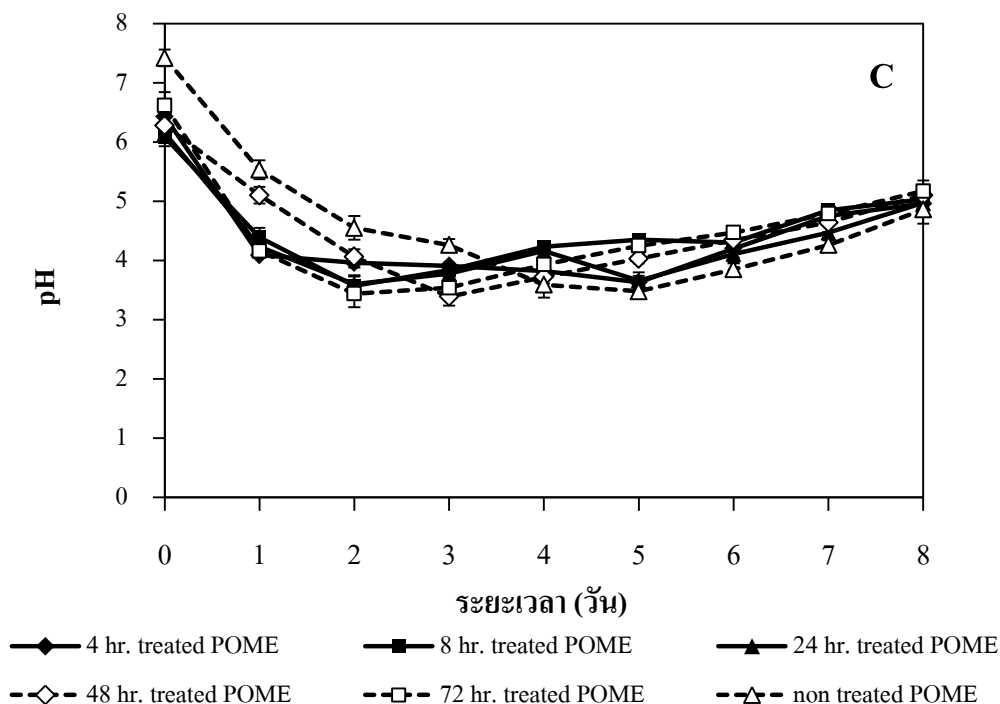
น้ำทิ้งโรงงานสกัดน้ำมันปาล์มที่ผ่านการบำบัดขั้นต้นด้วยแบคทีเรียผสมที่ถูกตรึงบนทะเลสาบปาล์มเปล่า ซึ่งแปรผันระยะเวลาการบำบัดที่ 4, 8, 24, 48 และ 72 ชั่วโมง พบว่าทำให้ปริมาณสารประกอบฟีนอลิกในน้ำทิ้งลดลงเหลือ 90%, 75%, 60% 55% และ 50% ตามลำดับ จากเริ่มต้นที่มีความเข้มข้นของสารประกอบฟีนอลิกในน้ำทิ้งประมาณ 461 มก./ล. และเมื่อนำน้ำที่ผ่านการบำบัดขั้นต้นแล้วมาบำบัดต่อด้วยเซลล์ตรึงของราไวท์รอก *Trametes hirsuta* AK4 ที่ถูกตรึงบนเส้นใยปาล์มน้ำมัน พบว่าราไวท์รอกที่ตรึงบนเส้นใยปาล์มน้ำมันสามารถกำจัดสารประกอบฟีนอลิกที่เหลือได้อย่างรวดเร็วหลังจากการบ่มน้ำทิ้งร่วมกับราตรึงเป็นเวลา 1 วัน และค่อยๆ ลดอย่างต่อเนื่องจนถึงวันที่ 8 ของการบ่ม ซึ่งเหลือสารประกอบฟีนอลิก อยู่ในช่วง 81.6-84.7 มก./ล. คิดเป็น 81.6-82.2% ในน้ำทิ้งที่ผ่านการบำบัดขั้นต้นด้วยแบคทีเรียตรึงเป็นระยะเวลา 8-72 ชั่วโมง ดังแสดงในรูปที่ 3.21A การลดลงของสารประกอบฟีนอลิกของน้ำทิ้งที่ผ่านการบำบัดขั้นต้นจะลดลงอย่างรวดเร็วกว่าน้ำทิ้งที่ไม่ผ่านการบำบัดขั้นต้นในช่วง 4 วันแรกของการบ่มน้ำทิ้งร่วมกับราตรึง ซึ่งน้ำทิ้งที่ผ่านการบำบัดขั้นต้นเพียง 8 ชั่วโมงให้ประสิทธิภาพการกำจัดสารประกอบฟีนอลิกใกล้เคียงกับระยะเวลาการบำบัดขั้นต้นที่นานกว่า ดังนั้นการบำบัดน้ำทิ้งขั้นต้นด้วยแบคทีเรียตรึงเป็นระยะเวลา 8 ชั่วโมงจึงเพียงพอและเหมาะสมสำหรับการบำบัดน้ำทิ้งขั้นต้นก่อนที่จะบำบัดด้วยราไวท์รอกที่ตรึงบนเส้นใยปาล์มน้ำมันต่อไป

สำหรับประสิทธิภาพของราไวท์รอตริงในการกำจัดสีน้ำทิ้งที่ผ่านการบำบัดขั้นต้นแล้ว พบว่าน้ำทิ้งที่ผ่านบำบัดขั้นต้นมีสีเริ่มต้นที่ไม่เท่ากัน เนื่องจากการย่อยสลายสารประกอบฟีนอลิก และสารอินทรีย์อื่น ๆ ไปบางส่วนโดยแบคทีเรียตรึง รวมทั้งการดูดซับสีของทะเลาะปาล์มเปล่าในระหว่างการบำบัดขั้นต้น ทำให้น้ำทิ้งซึ่งมีความเข้มข้นประมาณ 14,000 หน่วยสี ถูกกำจัดให้ลดลงประมาณ 25% ซึ่งสอดคล้องกับการทดลองของพนิดา โตะสุ (2555) และเมื่อผ่านการบำบัดด้วยราตรึงจะพบว่าสีของน้ำทิ้งจะลดลงอย่างรวดเร็วในวันที่ 1-2 ของการบ่มน้ำทิ้งร่วมกับราตรึง ดังแสดงในรูปที่ 3.21B และค่อย ๆ ลดลงเล็กน้อยจนถึงวันที่ 8 ของการบ่ม โดยลดลงเหลือ 2,433-3,366 หน่วยสี คิดเป็น 79.7-87.1% ซึ่งสีของน้ำทิ้งจะเปลี่ยนจากสีน้ำตาลคล้ำเป็นสีเหลืองที่มีความเข้มสีแตกต่างกันดังแสดงในรูปที่ 3.22 และเมื่อเปรียบเทียบประสิทธิภาพการกำจัดสีของราตรึงในน้ำทิ้งที่ผ่านการบำบัดขั้นต้นกับน้ำทิ้งที่ไม่ผ่านการบำบัดขั้นต้นพบว่า ราตรึงสามารถกำจัดสีในน้ำทิ้งที่ผ่านการบำบัดขั้นต้นได้สูงกว่าในช่วงแรกของการบ่มน้ำทิ้งร่วมกับราตรึงและค่อนข้างคงที่ ตั้งแต่วันที่ 3 ของการบ่มจนถึงสิ้นสุดการศึกษา จะเห็นได้ว่าการกำจัดสารประกอบฟีนอลิกออกจากน้ำทิ้งเพียงบางส่วน สามารถส่งเสริมอัตราการย่อยสลายสารสีโดยราไวท์รอตในขั้นตอนต่อมาให้เร็วขึ้น ซึ่งสอดคล้องกับการศึกษาที่ผ่านมาซึ่งรายงานว่าสารประกอบฟีนอลิกมีผลยับยั้งการเจริญและการสร้างเอนไซม์ในราไวท์รอตหลายชนิด ซึ่งเป็นสาเหตุหนึ่งที่ทำให้ราไวท์รอตยังไม่สามารถกำจัดสีในน้ำเสียที่มีสารประกอบฟีนอลิกเป็นองค์ประกอบได้อย่างมีประสิทธิภาพ เช่น น้ำเสียจากโรงงานสกัดน้ำมันมะกอก เป็นต้น

ค่า pH ของน้ำทิ้งที่ผ่านการบำบัดขั้นต้นมีค่าที่ใกล้เคียงกันโดยอยู่ในช่วงที่เป็นกลางแต่เมื่อนำมาบำบัดด้วยราตรึง pH ของน้ำทิ้งจะลดลงอยู่ในช่วงที่เป็นกรดประมาณ 3.5-3.9 ในวันที่ 3 ของการบ่มน้ำทิ้งร่วมกับราตรึง ซึ่งเกิดจากการย่อยสลายสารอินทรีย์ในน้ำทิ้งเกิดเป็นกรดอินทรีย์จึงส่งผลให้น้ำทิ้งมี pH ลดลง แต่เมื่อวันที่ 4 ของการบ่ม pH จะปรับตัวเพิ่มขึ้นเล็กน้อยจนถึงวันที่ 8 ของการบ่ม pH ของน้ำทิ้งจะอยู่ที่ 4.9-5.1 ดังแสดงในรูปที่ 3.22C โดยผลการทดลองมีความสอดคล้องกับการทดลองการแปรผันความเข้มข้นน้ำทิ้งและการเติมอาหารร่วม

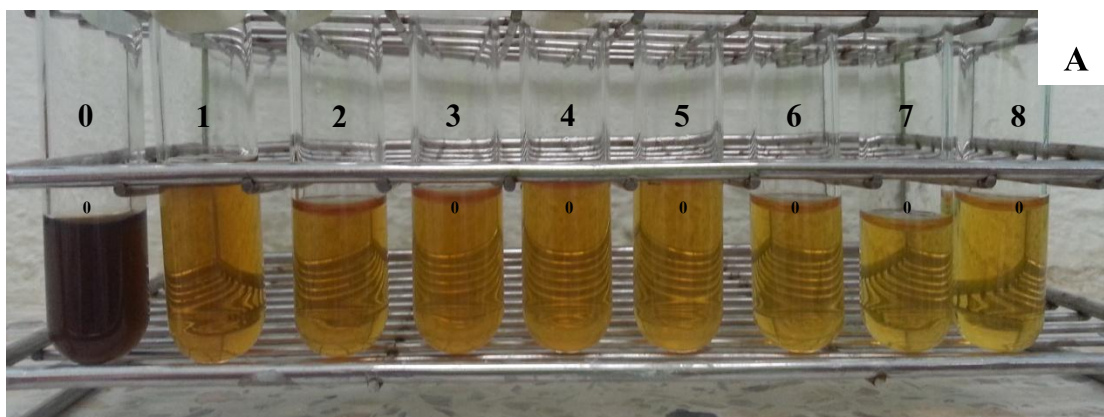


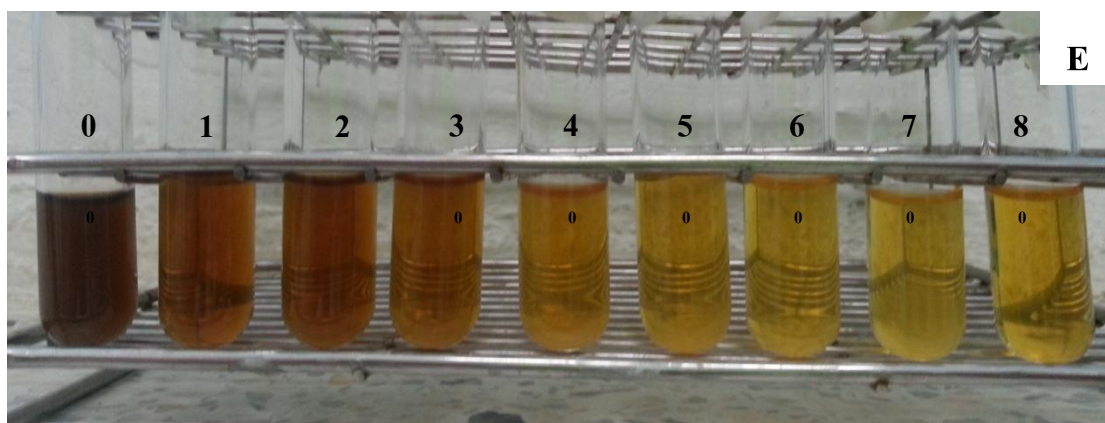
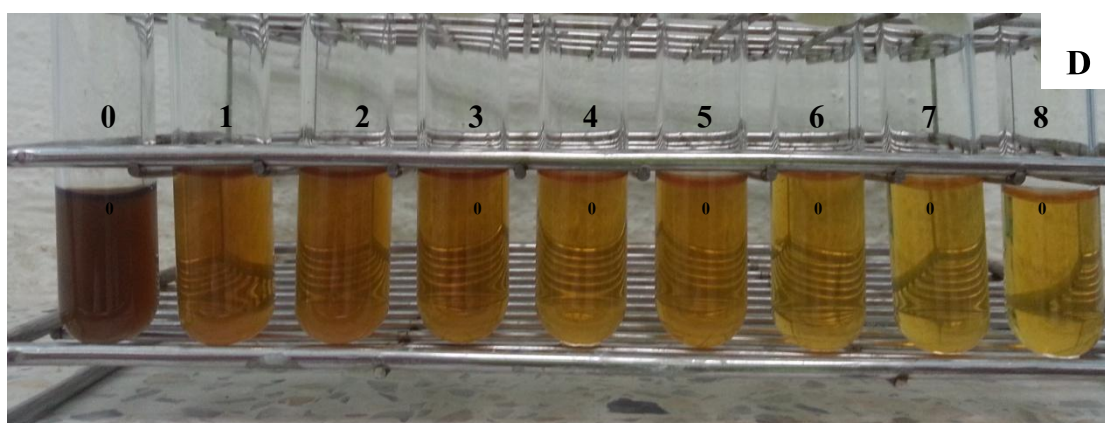
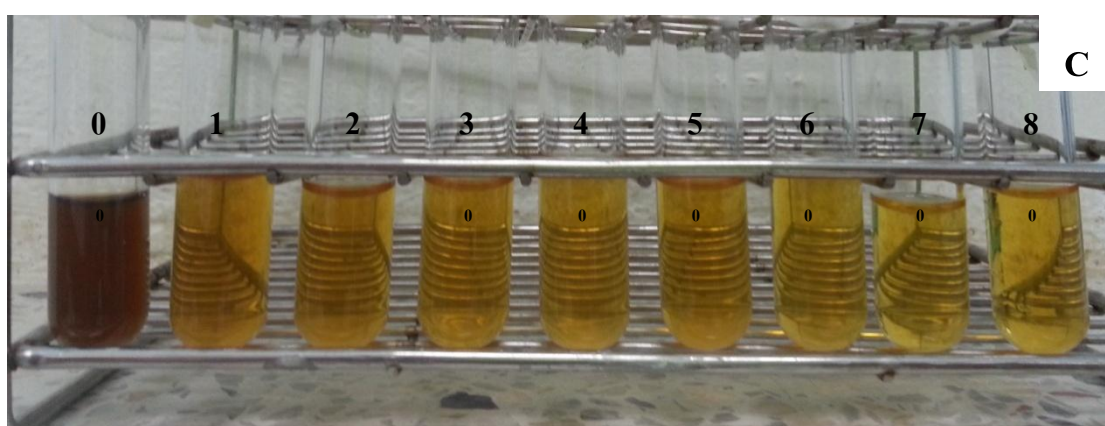
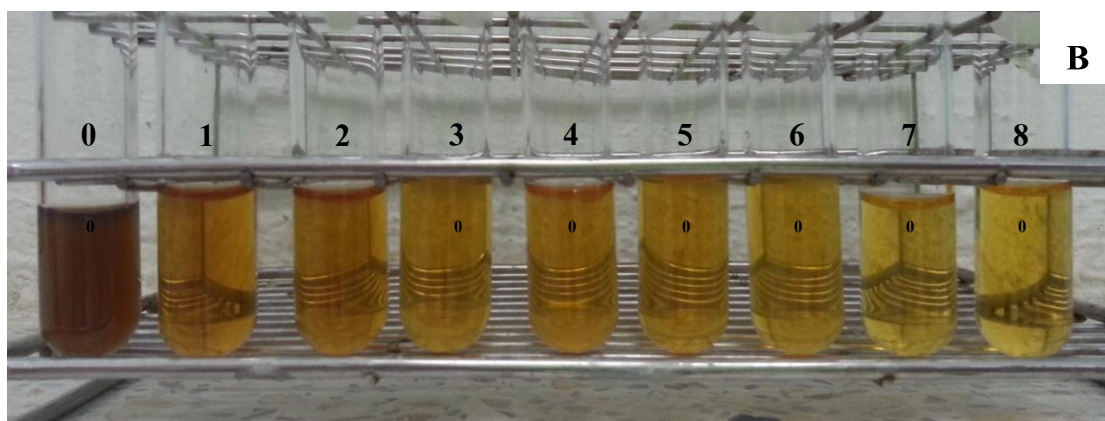


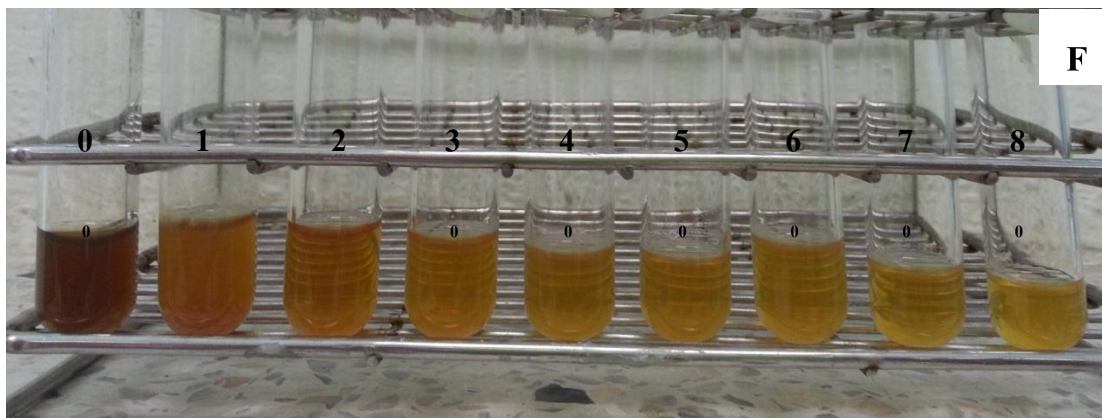


รูปที่ 3.21 การย่อยสลายสารประกอบฟีนอลิก (A) การกำจัดสี (B) และการเปลี่ยนแปลง pH (C) ของโรงงานสกัดน้ำมันปาล์ม ที่ผ่านการบำบัดขั้นต้นด้วยแบคทีเรียย่อยสลายฟีนอลเป็นระยะเวลา 4- 72 ชม. และบำบัดต่อโดยใช้ราไวที่รอตสายพันธุ์ *Trametes hirsuta* AK4 ที่ตรึงบนเส้นใยปาล์มน้ำมัน บ่มในอุณหภูมิห้อง เขย่า 120 รอบต่อนาที

สีของน้ำทิ้งที่ผ่านการบำบัดขั้นต้นด้วยแบคทีเรียผสม *Methylobacterium* sp. NP3 และ *Acinetobacter* sp. PK1 มีความเข้มสีที่ลดลงเล็กน้อย แต่น้ำทิ้งยังคงมีสีน้ำตาลคล้ำ หลังจากบ่มน้ำทิ้งที่ผ่านการบำบัดขั้นต้นร่วมกับราตรึงสีของน้ำทิ้งมีการเปลี่ยนเป็นสีเหลืองอ่อน ดังแสดงในรูปที่ 3.22 ซึ่งการบำบัดแบบสองขั้นตอนนี้ให้ผลของสีที่ลดลงมากกว่าการทดลองการแปรผันความเข้มข้นน้ำทิ้งและการเติมอาหารร่วม







**รูปที่ 3.22** การเปลี่ยนแปลงสีของน้ำทิ้งโรงงานสกัดน้ำมันปาล์มที่ผ่านการบำบัดขั้นต้นด้วยแบคทีเรียย่อยสลายฟีนอลที่ระยะเวลา 4 ชม. (A), 8 ชม. (B), 24 ชม. (C), 48 ชม. (D), 72 ชม. (E) และบำบัดด้วยราไทรอทสายพันธุ์ *Trametes hirsuta* AK4 ที่ตรึงบนเส้นใยปาล์มน้ำมัน เปรียบเทียบกับน้ำทิ้งที่ไม่ผ่านการบำบัด (F) เมื่อบ่มเป็นระยะเวลา 0-8 วัน

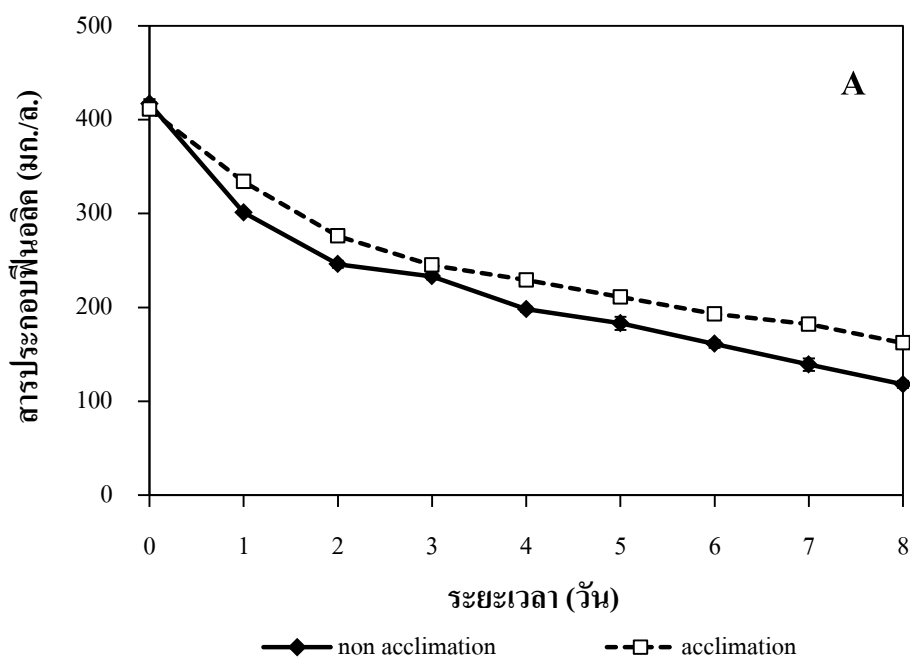
#### 3.4.4 การปรับตัวของเซลล์ตรึง

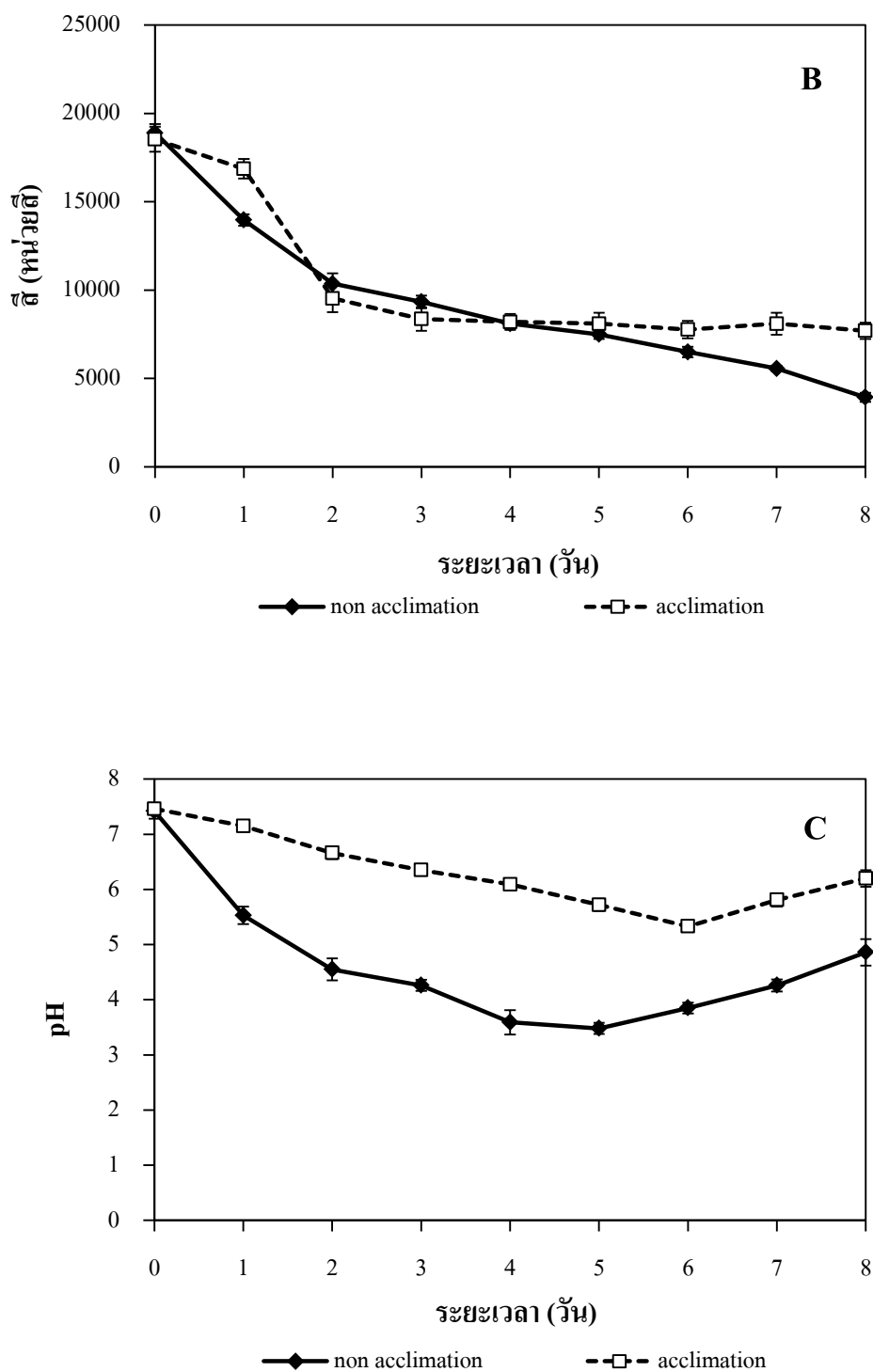
ราไทรอทที่ถูกตรึงบนเส้นใยปาล์มน้ำมันเป็นระยะเวลา 6 วันถูกนำมาศึกษาการปรับตัวของเซลล์ตรึง โดยการเลี้ยงเซลล์ตรึงในน้ำทิ้งจากความเข้มข้นต่ำไปจนความเข้มข้นสูงเป็นระยะเวลา 3 วันในแต่ละความเข้มข้น เพื่อให้ราตรึงมีการปรับสภาพตามความเข้มข้นของสารประกอบฟีนอลิกที่สูงขึ้น โดยศึกษาประสิทธิภาพในการกำจัดสีและสารประกอบฟีนอลิกเปรียบเทียบกับราตรึงที่ไม่ผ่านการปรับตัว พบว่าราตรึงที่มีการปรับตัวให้ประสิทธิภาพในการกำจัดสารประกอบฟีนอลิกเพียง 60.3% เมื่อบ่มราตรึงร่วมกับน้ำทิ้งเป็นเวลา 8 วัน ซึ่งต่ำกว่าราตรึงที่ไม่ผ่านการปรับตัวที่ให้ประสิทธิภาพในการกำจัดสารประกอบฟีนอลิกถึง 71.4% ดังแสดงในรูปที่ 3.23A

ประสิทธิภาพในการกำจัดสีน้ำทิ้งของราไทรอทที่ตรึงบนเส้นใยปาล์มน้ำมันแบบผ่านการปรับตัวจะกำจัดสีได้อย่างต่อเนื่องจนถึงวันที่ 3 ของการบ่มน้ำทิ้งร่วมกับราตรึง และค่อนข้างจะคงที่จนถึงวันที่ 8 ของการบ่ม ซึ่งต่างจากราตรึงแบบไม่ปรับตัวซึ่งมีการกำจัดสีน้ำทิ้งอย่างต่อเนื่องจนถึงวันที่ 8 ของการบ่ม ดังแสดงในรูปที่ 3.23B ทั้งนี้ประสิทธิภาพในการกำจัดสีและสารประกอบฟีนอลิกที่ลดลงของราตรึงที่ผ่านการปรับตัวอาจเกิดจากระยะเวลาของราตรึงที่มากขึ้นในช่วงที่ปรับตัวทำให้เส้นใยราที่เจริญมีความหนาแน่นมากขึ้นจึงส่งผลให้การแพร่ผ่านของสารและออกซิเจนลดน้อยลง สารประกอบฟีนอลิกและสีในน้ำทิ้งจึงถูกกำจัดได้น้อยลง ซึ่งผลการทดลองดังกล่าวแตกต่างกับการทดลองของ Lu *et al.*, (2009) ซึ่งใช้ราไทรอท *Phanerochaete chrysosporium* ตรึง

บนเศษไม้และถูกทำให้แห้งด้วย vacuum freeze desiccators เพื่อการเก็บรักษาราดริงไว้ได้เป็นระยะเวลา 9 เดือนแล้วนำราดริงที่เก็บรักษาไว้มาผ่านการกระตุ้นด้วยสารฟีนอลและปรับตัวในน้ำทิ้งของโรงงานถ่านหินที่เจือจาง 50% ก่อนใช้บำบัดสารประกอบฟีนอลิกในน้ำทิ้งที่ไม่ได้เจือจาง พบว่าสามารถกำจัดสารประกอบฟีนอลิกได้ถึง 87.05% ในระยะเวลาการบ่ม 6 วัน ทั้งนี้ผลการทดลองที่แตกต่างกันอาจเนื่องมาจากชนิดของราไวท์รอต ระยะเวลาในการตรึงเซลล์ และองค์ประกอบของน้ำเสียที่แตกต่างกัน

นอกจากนี้ น้ำทิ้งโรงงานสกัดน้ำมันปาล์มที่บำบัดด้วยราไวท์รอตที่ผ่านการปรับตัว มีการเปลี่ยนแปลง pH เพียงเล็กน้อย โดยลดลงจาก 7.46 เหลือ 5.33 ในวันที่ 6 ของการบ่มร่วมกันของราดริงกับน้ำทิ้ง และ pH เพิ่มขึ้นเล็กน้อยในวันที่ 7 และ 8 ของการบ่ม ดังแสดงในรูปที่ 3.23C ซึ่งแตกต่างจากราดริงแบบไม่ปรับตัวที่มีการลดลงของ pH อย่างต่อเนื่องและปรับสูงขึ้นในวันที่ 6 ถึง 8 ของการบ่ม ซึ่งการเปลี่ยนแปลงของ pH ส่งผลต่อการย่อยสลายทางชีวภาพด้วยราไวท์รอต โดยราไวท์รอตสามารถเจริญและย่อยสลายสารได้ดีในช่วง 3.5-5.5 (Boyle, 2006)

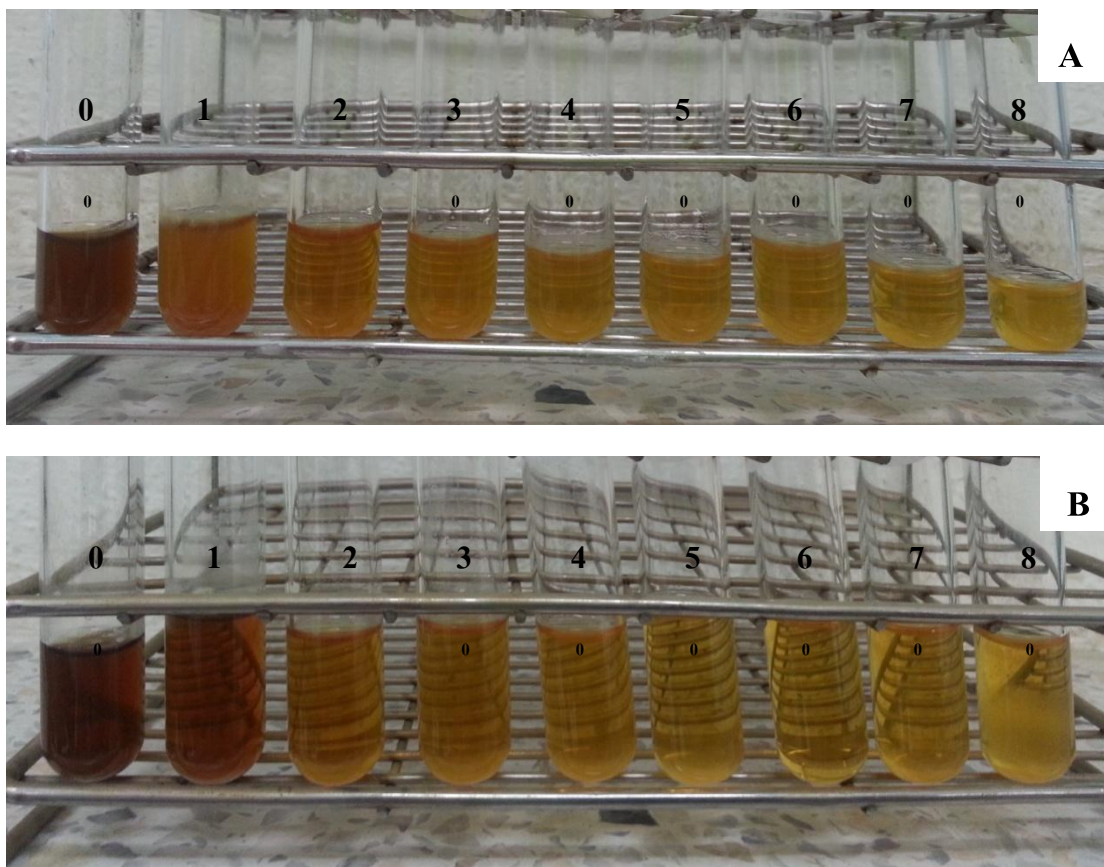




**รูปที่ 3.23** การย่อยสลายสารประกอบฟีนอลิก (A) การกำจัดสี (B) และการเปลี่ยนแปลง pH (C) ใน น้ำที่โรงงานสกัดน้ำมันปาล์มที่บำบัดด้วย *Trametes hirsuta* AK4 ตรึงบนเส้นใยปาล์ม น้ำมันที่ผ่านและไม่ผ่านการปรับตัว บ่มในอุณหภูมิห้อง เขย่า 120 รอบต่อนาที



สำหรับลักษณะการเปลี่ยนแปลงสีของน้ำทิ้งที่ผ่านการบำบัดด้วยราไวท์รอสายพันธุ์ *Trametes hirsute* AK4 ที่ถูกตรึงบนเส้นใยปาล์มน้ำมันแบบที่ผ่านการปรับตัว มีการลดลงของสีที่ต่ำกว่าการทดลองการแปรผันความเข้มข้นน้ำทิ้ง การเติมอาหารร่วม และการบำบัดแบบสองขั้นตอน น้ำทิ้งมีการเปลี่ยนแปลงจากสีน้ำตาลคล้ำเป็นสีเหลืองที่มีระดับความเข้มสีที่แตกต่างกันดังแสดงในรูปที่ 3.24A และ B



รูปที่ 3.24 การเปลี่ยนแปลงสีของน้ำทิ้งโรงงานสกัดน้ำมันปาล์มที่ผ่านการบำบัดด้วยราไวท์รอสายพันธุ์ *Trametes hirsute* AK4 ที่ตรึงบนเส้นใยปาล์มน้ำมัน แบบไม่ปรับตัว (A) และแบบปรับตัว (B)

จากการทดลองในการเพิ่มประสิทธิภาพการกำจัดสีและสารประกอบฟีนอลิกในน้ำทิ้งโรงงานสกัดน้ำมันปาล์มของราไทรอทสายพันธุ์ *Trametes hirsuta* AK4 ที่ตรึงบนเส้นใยปาล์มน้ำมัน ด้วยวิธีต่างๆ พบว่าการบำบัดแบบสองขั้นตอนโดยการบำบัดขั้นต้นด้วยแบคทีเรียผสม *Methylobacterium* sp. NP3 และ *Acinetobacter* sp. PK1 ที่ถูกตรึงบนทะเลสาบปาล์มเปล่าเป็นระยะเวลา 8 ชั่วโมง แล้วบำบัดต่อด้วยราตรึงจะให้ประสิทธิภาพในการกำจัดสารประกอบฟีนอลิกสูงถึง 82.2% และให้ประสิทธิภาพในการกำจัดสีสูงถึง 87% ซึ่งมีความแตกต่างอย่างมีนัยทางสถิติที่ความเชื่อมั่นร้อยละ 95 ( $p \leq 0.05$ ) ดังแสดงในตารางที่ 3.5 เนื่องจากการบำบัดขั้นต้นด้วยแบคทีเรียผสมจะย่อยสลายสารประกอบฟีนอลิกในน้ำทิ้ง ซึ่งช่วยลดความเป็นพิษที่จะเกิดขึ้นต่อราตรึง ทำให้ราตรึงสามารถเจริญและย่อยสลายสารอื่นๆ ที่ก่อให้เกิดสีในน้ำทิ้งได้ดี

ตารางที่ 3.5 ประสิทธิภาพการกำจัดสีและสารประกอบฟีนอลิกในน้ำทิ้งโรงงานสกัดน้ำมันปาล์มด้วยราไทรอท *Trametes hirsuta* AK4 ที่ตรึงบนเส้นใยปาล์มน้ำมันด้วยวิธีต่างๆ

วิธีการศึกษา	การลดลงของสารประกอบฟีนอลิก(%)	การลดลงของสี (%)
การเจือจางความเข้มข้นน้ำทิ้ง		
- 25%POME	37.5±4.4 <sup>g</sup>	85.9±3.2 <sup>a,b</sup>
- 50%POME	77.8±1.3 <sup>b</sup>	87.8±1.6 <sup>a</sup>
- 75%POME	64.3±1.2 <sup>c</sup>	81.2±1.8 <sup>c,d</sup>
- 100%POME	71.4±0.8 <sup>d</sup>	79.7±1.0 <sup>d,c</sup>
การเติมแหล่งอาหารร่วม		
- POME	71.4±0.8 <sup>d</sup>	79.7±1.0 <sup>d,e</sup>
- POME+1%glucose	62.9±0.8 <sup>c</sup>	77.1±1.1 <sup>c</sup>
- POME+1%NH <sub>4</sub> Cl	74.0±0.9 <sup>c</sup>	81.1±0.7 <sup>c,d</sup>
- POME+1%glucose+1%NH <sub>4</sub> Cl	76.1±0.8 <sup>b,c</sup>	85.0±0.9 <sup>b,c</sup>

หมายเหตุ ตัวอักษรเหมือนกันในสคริปต์เดียวกันแสดงว่าไม่มีความแตกต่างกันทางสถิติที่ความเชื่อมั่นร้อยละ 95 ( $p \leq 0.05$ )



ตารางที่ 3.5 ประสิทธิภาพการกำจัดสีและสารประกอบฟีนอลิกในน้ำทิ้งโรงงานสกัดน้ำมันปาล์มด้วยราไทรอท *Trametes hirsuta* AK4 ที่ตรึงบนเส้นใยปาล์มน้ำมันด้วยวิธีต่างๆ (ต่อ)

วิธีการศึกษา	การลดลงของสารประกอบฟีนอลิก(%)	การลดลงของสี (%)
การบำบัดแบบสองขั้นตอน		
- 4 hr. Treated POME	76.4±0.7 <sup>b,c</sup>	82.2±1.4 <sup>c</sup>
- 8 hr. Treated POME	82.2±0.8 <sup>a</sup>	87.1±1.0 <sup>a</sup>
- 24 hr. Treated POME	81.9±0.6 <sup>a</sup>	84.8±0.6 <sup>b,c</sup>
- 48 hr. Treated POME	81.6±0.6 <sup>a</sup>	83.2±1.1 <sup>b,c</sup>
- 72 hr. Treated POME	82.0±1.0 <sup>a</sup>	79.7±1.0 <sup>d,e</sup>
- Non-treated POME	71.4±0.8 <sup>d</sup>	79.7±1.0 <sup>d,e</sup>
การปรับตัวของเซลล์ตรึง		
- Non Acclimation	71.4±0.8 <sup>d</sup>	79.7±1.0 <sup>d,e</sup>
- Acclimation	60.3±0.7 <sup>f</sup>	58.3±3.5 <sup>f</sup>

หมายเหตุ ตัวอักษรเหมือนกันในสดมภ์เดียวกันแสดงว่าไม่มีความแตกต่างกันทางสถิติที่ความเชื่อมั่นร้อยละ 95 ( $p \leq 0.05$ )

น้ำทิ้งที่ผ่านการบำบัดแบบสองขั้นตอนซึ่งให้ประสิทธิภาพสูงสุดในการกำจัดสีและสารประกอบฟีนอลิกถูกนำมาวิเคราะห์คุณลักษณะของน้ำทิ้งเปรียบเทียบกับน้ำทิ้งก่อนการบำบัด พบว่า pH ของน้ำทิ้งหลังบำบัดลดลงจาก 7.56 เหลือเพียง 5.03 ปริมาณ COD ลดลง 54.8% จากความเข้มข้นเริ่มต้น 22,488 มก./ล. ส่วนค่า TKN, TP, Oil & Grease และ TSS มีค่าเท่ากับ 251, 11.7, 17 และ 240 มก./ล. คิดเป็น 79-99% ซึ่งมีค่าใกล้เคียงกับค่ามาตรฐานคุณภาพน้ำทิ้ง เนื่องจากราไทรอทสามารถนำไปใช้เป็นแหล่งอาหารได้และนอกจากนั้นพบว่าหลังการบำบัดสามารถกำจัดสีในน้ำทิ้งได้ 87% และกำจัดสารประกอบฟีนอลิกได้ 82% เมื่อวิเคราะห์ด้วย Folin ciocalteu's และ 88.3% เมื่อวิเคราะห์ด้วย 4-aminoantipyrine ซึ่งเป็นวิธีวิเคราะห์ปริมาณสารประกอบฟีนอลิกตามมาตรฐานน้ำทิ้ง (APHA, AWWA and WEF, 2005) ดังแสดงในตารางที่ 3.6

ตารางที่ 3.6 คุณลักษณะของน้ำทิ้งโรงงานสกัดน้ำมันปาล์มก่อนและหลังบำบัดแบบสองขั้นตอน ด้วยแบคทีเรียครึ่งและราไทรอท *Trametes hirsuta* AK4 ที่ครึ่งบนเส้นใยปาล์มน้ำมัน

พารามิเตอร์	*ค่ามาตรฐานคุณภาพน้ำทิ้ง	**ก่อนบำบัด	***หลังบำบัด
pH	5.5-9.0	7.56	5.03
COD (มก./ล.)	400	22,488	10,144
TKN (มก./ล.)	200	1,212	251
TP (มก./ล.)	-	221	11.7
Oil & Grease (มก./ล.)	15	620	17
TSS (มก./ล.)	-	24,900	240
Total phenolics (มก./ล.)			
- 4-aminoantipyrine****	1	74.3	8.6
- Folin ciocalteu*****	-	475	81
Color (หน่วยสี)	ไม่พึงรังเกียจ	18,600	2,400

ที่มา: \*ประกาศกระทรวงอุตสาหกรรม ฉบับที่ 2 (พ.ศ. 2539) ลงวันที่ 14 มิถุนายน 2539 เรื่อง กำหนดคุณลักษณะของน้ำทิ้งที่ระบายออกจากโรงงาน ตีพิมพ์ในราชกิจจานุเบกษา เล่มที่ 113 ตอนที่ 52 ง ลงวันที่ 27 มิถุนายน 2539

\*\* น้ำทิ้งจากโรงงานสกัดน้ำมันปาล์ม จังหวัดสตูลเก็บตัวอย่างวันที่ 30 ตุลาคม 2555

\*\*\*น้ำทิ้งโรงงานสกัดน้ำมันปาล์มที่ผ่านการบำบัดขั้นต้นด้วยแบคทีเรียย่อยสลายฟีนอลเป็นเวลา 8 ชั่วโมง และบำบัดต่อด้วยราไทรอทที่ครึ่งบนเส้นใยปาล์มน้ำมัน

\*\*\*\*4-aminoantipyrine ไม่สามารถวัดสารประกอบฟีนอลิกที่มีหมู่ไฮดรอกซิลในตำแหน่งพาราได้

\*\*\*\*\*วิเคราะห์ด้วย Modification of the Folin-Ciocalteu method (Ergul *et al.*, 2011)

น้ำเสียของโรงงานสกัดน้ำมันปาล์มเริ่มต้นมีความเข้มข้นของสารประกอบฟีนอลิก 1,206 มิลลิกรัมต่อลิตร (Chantho *et al.*, 2013) และเมื่อผ่านระบบบำบัดน้ำเสียด้วยระบบแบบบ่อปรับเสถียร (บ่อดิน) ซึ่งมีจำนวน 4 บ่อ สามารถบำบัดสารอินทรีย์ในรูปของ BOD และ COD ได้ส่วนหนึ่ง รวมถึงสารประกอบฟีนอลิกให้เหลือ 475 มิลลิกรัมต่อลิตร ในน้ำทิ้งบ่อสุดท้าย ซึ่งยังมีค่าสูงกว่ามาตรฐาน และยังคงมีสีน้ำตาลคล้ำ เมื่อนำตัวอย่างน้ำทิ้งจากบ่อบำบัดน้ำเสียบ่อสุดท้ายมาทดสอบในการศึกษานี้แสดงให้เห็นว่าน้ำทิ้งถูกบำบัดต่อการบำบัดน้ำทิ้งแบบสองขั้นตอนโดย

บำบัดน้ำทิ้งขึ้นต้นด้วยแบคทีเรียผสม *Methylobacterium* sp. NP3 และ *Acinetobacter* sp. PK1 ที่ถูกตรึงบนทะเลสาบปล้ำมน้ำมัน เป็นระยะเวลา 8 ชั่วโมง แล้วบำบัดต่อด้วยราไทรอท *Trametes hirsuta* AK4 ที่ถูกตรึงบนเส้นใยปล้ำมน้ำมัน เป็นวิธีการที่มีศักยภาพสูงที่สุดในการกำจัดสีและสารประกอบฟีนอลิกในน้ำทิ้งโรงงานสกัดน้ำมันปล้ำมน้ำมัน โดยกระบวนการบำบัดที่เกิดขึ้นมีสาเหตุจากการย่อยสลายทางชีวภาพจากเอนไซม์ที่แบคทีเรียและราไทรอทสร้างขึ้นร่วมกับกลไกในการดูดซับร่วมกันของวัสดุตรึงและเส้นใยที่นำมาใช้ ทำให้สารอินทรีย์และองค์ประกอบอื่นๆ ในน้ำทิ้งมีค่าลดลง แม้ว่าจะยังไม่สามารถทำให้คุณลักษณะน้ำทิ้งบางพารามิเตอร์บรรลุตามค่ามาตรฐานที่กำหนด อย่างไรก็ตามความรู้ที่ได้จากผลการทดลองนี้ มีความจำเป็นในการนำไปพัฒนาต่อยอดในระบบขยายขนาดด้วยถังปฏิกรณ์ชีวภาพซึ่งมีขนาดใหญ่ขึ้นและสามารถบำบัดน้ำทิ้งได้อย่างต่อเนื่อง รวมทั้งการศึกษาสภาวะที่เหมาะสมในระบบขยายขนาดก็เป็นแนวทางหนึ่งที่สามารถเพิ่มประสิทธิภาพของการบำบัดสารประกอบฟีนอลิกและสีด้วยวิธีการที่นำเสนอในรายงานฉบับนี้ได้ เพื่อเป้าหมายที่สำคัญนั่นคือคุณลักษณะน้ำทิ้งบรรลุตามค่ามาตรฐานที่กำหนด

## บทที่ 4

### สรุปผลการทดลองและข้อเสนอแนะ

#### 4.1 สรุปผลการทดลอง

##### 4.1.1 การคัดเลือกราไวท์รอตที่มีศักยภาพในการลดสีและสารประกอบฟีนอลิกในน้ำทิ้งโรงงานสกัดน้ำมันปาล์ม

จากการคัดเลือกราไวท์รอต 10 สายพันธุ์ที่มีศักยภาพในการลดสีและสารประกอบฟีนอลิกในน้ำทิ้งโรงงานสกัดน้ำมันปาล์ม โดยทดสอบบนอาหารแข็ง Sabouraud Dextrose Agar (SDA) ที่มีการเติมน้ำทิ้งและในน้ำทิ้งที่มีการเจือจาง 2 เท่า พบว่าราไวท์รอตสายพันธุ์ Unknown 04 ซึ่งถูกระบุสายพันธุ์คือ *Trametes hirsuta* AK4 เป็นราที่มีอัตราการเจริญสูง มีความทนทานต่อสารประกอบฟีนอลิกในน้ำทิ้ง และยังสามารถกำจัดสีและสารประกอบฟีนอลิกในน้ำทิ้งที่มีความเข้มข้น 50% ได้ถึง 64.7% และ 66.5% ตามลำดับ จากเดิมที่มีความเข้มข้นประมาณ 9,333 หน่วยสีและสารประกอบฟีนอลิก 261 มิลลิกรัมต่อลิตร จึงคัดเลือกสายพันธุ์ดังกล่าวเพื่อใช้ในการทดลองต่อไป

##### 4.1.2 การตรึงราไวท์รอตบนวัสดุเศษเหลือปาล์มน้ำมัน

ราไวท์รอต *Trametes hirsuta* AK4 ที่ถูกตรึงบนวัสดุเศษเหลือปาล์มน้ำมัน ได้แก่ ทะลายปาล์มเปล่าและเส้นใยปาล์มน้ำมัน สามารถเจริญยึดเกาะบริเวณผิวหน้าและภายในช่องว่างของวัสดุตรึงได้ดีและเมื่อนำราตรึงไปบำบัดน้ำทิ้งโรงงานสกัดน้ำมันปาล์มความเข้มข้น 50% พบว่าการแปรผันระยะเวลาการตรึงมีผลต่อการกำจัดสีและสารประกอบฟีนอลิก โดยราไวท์รอตที่ตรึงบนเส้นใยปาล์มน้ำมันเป็นระยะเวลา 6 วันให้ประสิทธิภาพในการกำจัดสีและสารประกอบฟีนอลิกในน้ำทิ้งที่มีความเข้มข้น 50% สูงที่สุดคือ 94% และ 80.6% ตามลำดับ และมีความแตกต่างกับชุดการทดลองอื่นอย่างมีนัยทางสถิติที่ความเชื่อมั่นร้อยละ 95 ( $p \leq 0.05$ ) ซึ่งการลดลงของสีและสารประกอบฟีนอลิกในน้ำทิ้งเกิดจากการย่อยสลายทางชีวภาพและการดูดซับของวัสดุตรึงร่วมกับเส้นใยรา โดยตรวจพบกิจกรรมของเอนไซม์กลุ่มลิกนินโพลิติกที่เกี่ยวข้องต่อการย่อยสลายของสีและสารประกอบฟีนอลิก ได้แก่เอนไซม์ Laccase และ Manganese peroxidase สูงสุดเท่ากับ 510 และ 3,046 ยูนิตต่อลิตร จึงคัดเลือกราตรึงบนเส้นใยปาล์มน้ำมันเป็นระยะเวลา 6 วัน เพื่อใช้ในการทดลองถัดไป

#### 4.1.3 การเพิ่มประสิทธิภาพการกำจัดดีและสารประกอบฟีนอลิกในน้ำทิ้ง

ศึกษาการเพิ่มประสิทธิภาพในการกำจัดดีและสารประกอบฟีนอลิกในน้ำทิ้งโรงงานสกัดน้ำมันปาล์มที่ไม่ผ่านการเจือจาง (ความเข้มข้น 100%) ด้วยวิธีการ 1) การแปรผันความเข้มข้นของน้ำทิ้งที่ระดับต่างๆ 2) การเติมแหล่งอาหารร่วม 3) การบำบัดแบบสองขั้นตอน และ 4) การปรับตัวของเซลล์ตรึง พบว่าการบำบัดแบบสองขั้นตอนโดยขั้นต้นจะใช้แบคทีเรียผสม *Methylobacterium* sp. NP3 และ *Acinetobacter* sp. PK1 ที่ตรึงบนทะเลสาบปาล์มเปล่ามาบำบัดน้ำทิ้งที่ไม่เจือจางเป็นระยะเวลา 8 ชั่วโมง และบำบัดต่อด้วยราตรึงบนเส้นใยปาล์มอีก 8 วัน ให้ประสิทธิภาพในการกำจัดดีและสารประกอบฟีนอลิกสูงสุดคือ 87.1% และ 82.2% ตามลำดับ จากเดิมที่น้ำทิ้งมีความเข้มข้น 19,000 หน่วยดี และมีสารประกอบฟีนอลิก 461 มิลลิกรัมต่อลิตร และนอกจากนี้ น้ำทิ้งที่ผ่านการบำบัดสามารถลด COD ได้ 54.8% จากความเข้มข้นเริ่มต้น 22,488 มิลลิกรัมต่อลิตร และทำให้ค่า TKN, TP, Oil & Grease และ TSS มีค่าใกล้เคียงค่ามาตรฐานคุณภาพน้ำทิ้ง

#### 4.2 ข้อเสนอแนะ

1. ควรศึกษาปัจจัยอื่นๆที่ช่วยเพิ่มประสิทธิภาพของราตรึง เช่น อัตราการให้อากาศ เป็นต้น
2. ควรศึกษาหรือคัดเลือกวัสดุเศษเหลือปาล์มน้ำมันชนิดอื่นๆ เช่น ทะเลสาบปาล์มที่ผ่านการบีบอัด มาใช้เป็นวัสดุตรึงเซลล์เพิ่มเติม เพราะโรงงานสกัดน้ำมันปาล์มบางแห่งจะนำทะเลสาบปาล์มเปล่าไปบีบอัดเพื่อสกัดน้ำมันออกมา ทำให้ลักษณะทางกายภาพของทะเลสาบปาล์มเปล่าเปลี่ยนแปลงไปจากเดิม
3. จากการศึกษานี้ได้ทำการทดลองในระบบกะ (batch system) เพื่อศึกษาประสิทธิภาพการกำจัดดีและสารประกอบฟีนอลิกเบื้องต้น ดังนั้นควรมีการศึกษาเพิ่มเติม โดยระบบที่มีความต่อเนื่อง (continuous system) เพื่อประโยชน์ในการนำไปใช้จริงในระบบบำบัดน้ำเสียของโรงงานสกัดน้ำมันปาล์ม
4. ควรศึกษาแนวทางการนำเซลล์ตรึงไปประยุกต์ใช้บำบัดน้ำทิ้ง เช่น การเตรียมราตรึงในภาชนะอื่นๆ และพัฒนาไปใช้ในระบบถังปฏิกรณ์ชีวภาพเพื่อเป็นหน่วยบำบัดหนึ่งในระบบบำบัดน้ำทิ้ง โดยออกแบบเป็นถังปฏิกรณ์ชีวภาพที่สามารถทำให้เซลล์ตรึงสัมผัสกับน้ำทิ้งได้ในสภาวะที่เหมาะสมและเกิดประสิทธิภาพในการบำบัด นอกจากนี้ชีวมวลที่เกิดขึ้นในระบบดังกล่าวสามารถนำไปใช้ประโยชน์โดยการสกัดสารที่มีมูลค่า เช่น โปรตีน เอนไซม์และสารต้านอนุมูลอิสระ หรือนำเซลล์ตรึงที่หมดประสิทธิภาพในการบำบัดไปทำปุ๋ยหมัก ซึ่งเป็นทางเลือกหนึ่งในการกำจัดของเสีย และนำวัสดุเศษเหลือจากกระบวนการสกัดน้ำมันปาล์มมาใช้ให้เกิดประโยชน์

## บรรณานุกรม

- กรมควบคุมมลพิษ. 2555. มาตรฐานคุณภาพน้ำทิ้งจากโรงงานอุตสาหกรรมและนิคมอุตสาหกรรม (ออนไลน์). (15 กรกฎาคม 2555). Available from: <http://www.pcd.go.th>
- จินตนา แก้วบริสุทธิ์. 2541. การปรับปรุงคุณภาพน้ำทิ้งจากโรงงานสกัดน้ำมันปาล์มโดยกระบวนการดูดซับในชั้นตริง. วิทยานิพนธ์วิทยาศาสตรมหาบัณฑิต สาขาการจัดการสิ่งแวดล้อม คณะการจัดการสิ่งแวดล้อม มหาวิทยาลัยสงขลานครินทร์.
- ธรรมศักดิ์ ศรีสุขใส. 2547. การกำจัดสารประกอบฟีนอลในน้ำทิ้งโรงงานน้ำมันปาล์มโดยการใช้เอนไซม์เปอร์ออกซิเดสจากไบบาฟารา, วิทยานิพนธ์วิทยาศาสตรมหาบัณฑิต สาขาการจัดการสิ่งแวดล้อม คณะการจัดการสิ่งแวดล้อม มหาวิทยาลัยสงขลานครินทร์.
- พนิดา ไต้ะสุ. 2555. การย่อยสลายฟีนอลโดยเชื้อผสม *Methylobacterium* sp. NP3 และ *Acinetobacter* sp. PK1 ที่ตรึงบนวัสดุเศษเหลือปาล์มน้ำมัน, วิทยานิพนธ์วิทยาศาสตรมหาบัณฑิต สาขาการจัดการสิ่งแวดล้อม คณะการจัดการสิ่งแวดล้อม มหาวิทยาลัยสงขลานครินทร์.
- พูนสุข ประเสริฐสรรพ, เสาวลักษณ์ จิตรบรรเจิดกุล และอริญ หันพงศ์กิตติกุล. 2533. กระบวนการผลิต การใช้ประโยชน์วัสดุเศษเหลือทิ้ง และคุณลักษณะของน้ำทิ้งจากโรงงานสกัดน้ำมันปาล์ม. วารสารสงขลานครินทร์. 12: 169-176.
- พูนสุข ประเสริฐสรรพ, อริญ หันพงศ์กิตติกุลและโสภา จันทโสภา. 2544. เปรียบเทียบน้ำทิ้งโรงงานสกัดน้ำมันปาล์มด้วยวิธีการทางชีวภาพ ทางเคมี และทางกายภาพ. วารสารสงขลานครินทร์. 23: 807-819.
- วิรุทธิ์ จวนซ้าย. 2554. การผลิตและการเพิ่มมูลค่าของปุ๋ยหมักจากวัสดุเศษเหลือโรงงานสกัดน้ำมันปาล์ม, วิทยานิพนธ์วิทยาศาสตรมหาบัณฑิต สาขาเทคโนโลยีชีวภาพ คณะอุตสาหกรรมเกษตร มหาวิทยาลัยสงขลานครินทร์.
- สำนักเทคโนโลยีสิ่งแวดล้อมโรงงาน. 2540. คู่มือการจัดการสิ่งแวดล้อมอุตสาหกรรมสกัดน้ำมันปาล์ม. กรมโรงงานอุตสาหกรรม กระทรวงอุตสาหกรรม. 80 น.
- โสภารวรรณ รัตนพันธุ์. 2547. การบำบัดและการกำจัดสีของน้ำทิ้งจากโรงงานสกัดน้ำมันปาล์มโดยเส้นใยเห็ด *Lentinus spp.*, วิทยานิพนธ์วิทยาศาสตรมหาบัณฑิต สาขาเทคโนโลยีชีวภาพ คณะอุตสาหกรรมเกษตร มหาวิทยาลัยสงขลานครินทร์.

- Aggelis, G., Iconomou, D., Christou, M., Bokas, D., Kotzailias, S., Christou, G., Tsagou, V. and Papanikolaou, S. 2003. Phenolic removal in a model olive oil mill wastewater using *Pleurotus ostreatus* in bioreactor cultures and biological evaluation of the process. *Water Research*. 37: 3,897–3,904.
- Ahmad, A.L., Chong, M.F., Bhatia, S. and Ismail, S. 2006. Drinking water from palm oil mill effluent (POME) using membrane technology. *Desalination*. 191: 35-44.
- Ahmad, A.L., Ismail, S., and Bhatia, S. 2003. Water recycling from palm oil mill effluent (POME) using membrane technology. *Desalination*. 157:87-95.
- Ahmaadi, M. Vahabzadeh, F., Bonakdarpour, B., Mehranian, M. and Mofarrah, E. 2006. Phenolic removal in olive mill wastewater using loof-immobilized *Phanerochaete chrysosporium*. *World Journal of Microbiology and Biotechnology*. 22: 119-127.
- Aken, B.V., Hofrichter, M., Scheibner, K., Hatakka, A.I., Naveau, H. and Agathos, S.N. 1999. Transformation and mineralization of 2,4,6-trinitrotoluene (TNT) by manganese peroxidase from the white-rot basidiomycete *Phlebia radiata*. *Biodegradation*. 10: 83–91.
- Akhtar, M., Kirk, T.K. and Blanchette R.A., 1999. Advances in Applied and Fundamental Research, Proceedings of the 6<sup>th</sup> International Conference on Biotechnology in the Pulp and Paper Industry, pp.187-192. USA.
- Alam, Md. Z., Ameem, E.S., Muyibi, S.A. and Kabbashi, N.A. 2009. The factors affecting the performance of activated carbon prepared from oil palm empty fruit bunches for adsorption of phenol. *Chemical Engineering Journal*. 155: 191–198.
- Alam, Md. Z., Muyibi, S. A., Mansor, M. F. and Wahid, R. 2007. Activated carbons derived from oil palm empty fruit bunches: Application to environmental problems. *Journal of Environmental Sciences*. 19: 103-108.
- Alaoui, S.M. Merzouki, M., Penninckx, M.J. and Benlemlih, M. 2008. Relationship between cultivation mode of white rot fungi and their efficiency for olive oil mill wastewater treatment. *Electronic Journal of Biotechnology*. 11: 1-8.
- Annibale, A.D., Crestini, C., Vinciguerra, V. and sermanni, G.G. 1998. The biodegradation of recalcitrant effluent from an olive mill by a white-rot fungus. *Journal of Biotechnology*. 61: 209-218.

- Annibale, A.D., Stazi, S.R. Vinciguerra, V., Mattia, E.D. and Sermanni, G.G. 1999. Characterization of immobilized laccase from *Lentinus edodes* and its use in olive mill wastewater treatment. *Process Biochemistry*. 34: 697-706.
- Annibale, A.D., Ricci, M., Quarantino, D., Federici, and Fenice, M. 2004. *Panus tigrinus* efficiently removes phenols, color and organic load from olive-mill wastewater. *Research in Microbiology*. 155: 596–603.
- APHA, AWWA and WEF. 2005. *Standard Methods for the Examination of Water and Wastewater*, 21<sup>th</sup> edition. American Public Health Association. Washington DC.
- Association of Official Analytical Chemists (AOAC), 1995, Official Methods of Virginia, USA
- Assas, N., Ayed, L., Marouani, L. and Hamdi, M. 2002. Decolorization of fresh and stored-blank olive mill wastewater by *Geotrichum candidum*. *Process Biochemistry*. 38: 361-365.
- Attanun, T. and Chanchroensuk, J. 1999. Soil and plant analysis. Department of geology, Faculty of agriculture, Kasetsart University, Bangkok, Thailand.
- Aurora, D.S., and Gill, P.K., 2001, Effects of various media and supplements on laccase production by some white rot fungi. *Bioresource Technology*. 77: 89-91.
- Baborova, P., Moder, M., Baldrian, P., Cajthamlova, K. and Cajthaml, T. 2006. Purification of a new manganese peroxidase of the white-rot fungus *Irpex lacteus*, and degradation of polycyclic aromatic hydrocarbons by the enzyme. *Research in Microbiology*. 157: 248–253.
- Baciocchi, E., Bietti, M., Francesca Gerini, M. and Lanzalunga O., 2002, The mediation of veratryl alcohol in oxidations promoted by lignin peroxidase: the lifetime of veratryl alcohol radical cation. *Biochemical and biophysical research communications*. 293: 832-835.
- Bajpai, P., Mehna, A. and Bajpai, P.K. 1993. Decolorization of kraft bleach plant effluent with the white rot fungus *Trametes versicolor*. *Process Biochemistry*. 28: 387-384.
- Baker, T.W. and Worgan, J.T. 1981. The utilization of palm oil processing effect as substrate of microbial protein by fungus *Aspergillus oryzae*. *European Journal of Applied Microbiology*. 11: 234-240.



- Bhatia, S., Othman, Z., and Ahmad, A.L. 2007. Coagulation-flocculation process for POME treatment using *Moringa oleifera* seeds extract: Optimization studies. *Chemical Engineering Journal*. 133: 205-212.
- Boyle, D. 2006. Effects of pH and cyclodextrins on pentachlorophenol degradation (mineralization) by white-rot fungus, *Journal of Environmental Management*. 80: 380–386.
- Cassidy, M.B., Lee, H. and Trevors, J.T. 1996. Packed-bed reactor for the integrated biodegradation of cyanide and formamide by immobilized *Fusarium oxysporum* CCM1 876 and *Methylobacterium* sp. RXM CCM1 908. *Enzyme and Microbial Technology*. 38: 848–854.
- Chantho, P., Musikavong, C. and Suttinun, O. 2013. Pretreatment of phenolic compounds in palm oil mill wastewater by the thermophilic *Bacillus thermoleovorans* strain A2 for enhancement of biogas production. Proceeding of the 2<sup>nd</sup> International Conference on Environmental Engineering, Science and Management. March 27-29. Pullman Khon Kaen Raja Orchid Hotel, Thailand.
- Chavalparit, O., Rulkens, W.H., Mol, A.P.J. and Khaodhair, S. 2006. Options for environmental sustainability of the crude palm oil industry in Thailand through enhancement of industrial ecosystems. *Environment, Development and Sustainability*. 8: 281-287.
- Cohen, Y. 2001. Biofiltration-the treatment of fluids by microorganisms immobilized into the filter bedding material: a review. *Bioresource Technology*. 77: 257–274.
- Crecchio, C., Ruggiero, P. and Pizzigallo, M.D. 1995. Polyphenoloxidases Immobilized in Organic Gel: Properties and Application in the Detoxification of Aromatic Compounds. *Biotechnology and Bioengineering*. 48: 585-591.
- Dias, A.A., Bezerra, R.M. and Pereira, A.N. 2004. Activity and elution profile of laccase during biological decolorization and de phenolization of olive mill wastewater. *Bioresource Technology*. 92: 7-13
- Eilers, A., Rungeling, E., Stundl, U.M. and Gottschalk, G. 1999. Metabolism of 2,4,6-trinitrotoluene by the white-rot fungus *Bjerkandera adusta* DSM 3375 depends on cytochrome P-450. *Applied Microbiology and Biotechnology*. 53: 75–80.

- Enayatzamir, K., Alikhani, H.A. and Rodríguez Couto S. 2008. Simultaneous production of laccase and decolouration of the diazo dye Reactive Black 5 in a fixed-bed bioreactor. *Journal of Hazardous Materials*. 164(1): 296-300.
- Ergul, F.E., Sagin, S., Ongen, G. and Sukan F.V. 2009. Dephenolisation of olive mill wastewater using adapted *Trametes versicolor*. *International Biodeterioration and Biodegradation*. 63: 1-6.
- Ergul, F.E., Sagin, S., Ongen, G. and Sukan F.V. 2011. Dephenolization and decolorization of olive mill wastewater through sequential batch and co-culture application. *World Journal of Microbiology and Biotechnology*. 27: 107-114.
- Fadil, K. Chahlaoui, A. Ouahbi, A. Zaid, A. and Borja, R. 2003. Aerobic biodegradation and detoxification of wastewater from the olive oil industry. *International Biodeterioration and Biodegradation*. 51: 37-41
- Fountoulakis, M.S., Dokianakis, S.N. and Kornaros, M.E. 2002. Removal of phenolics in olive mill wastewaters using the white-rot fungus *Pleurotus ostreatus*. *Water Research*. 36: 4,735-4,744.
- Gao, D., Du, L., Yang, J., Wu, W.N. and Liang, H. 2010. A critical review of the application of white rot fungus to environmental pollution control. *Critical Reviews in Biotechnology*. 30(1): 70-77.
- Gavril, M. and Hodson, P.V. 2007. Chemical evidence for the mechanism of the biodecoloration of Amaranth by *Trametes versicolor*. *World Journal of Microbiology and Biotechnology*. 23: 103–124.
- Gomaa, O.M., Linz, J.E. and Reddy, C.A. 2008. Decolorization of Victoria blue by the white rot fungus, *Phanerochaete chrysosporium*. *World Journal of Microbiology and Biotechnology*. 24: 2,349–2,356.
- Gomathi, V., Cibichakravarthy, B., Ramanathan, A., Nallapeta, S., Ramanjaneya, V., Mula, R. and Jayasimha Rayalu, D. Decolourization of paper mill effluent by immobilized cell of *Phanerochaete chrysosporium*. *International Journal of Plant Animal and Environmental Sciences*. 2: 141-146.
- Hartley, C.W.S. 1977. **Oil palm selection and breeding In The Oil Palm**. Longman. Inc., New York. pp. 195-310.

- Hatakka, A. 2001. Biodegradation of lignin. In: Hofrichter M, Steinbüchel A, editors. Biopolymers. Weinheim, Germany: Wiley-VCH; pp. 129–180.
- Heinfling, A., Martinez, M.J., Martinez, A.T., Bergbaure, M. and Szewzyk, U., 1998, Transformation of industrial dyes by manganese peroxidase from *Bjerkandera adusta* and *Pleurotus eryngii* in a manganese-independent reaction. *Applied and Environmental Microbiology*. 64(8): 2,788-2,793.
- Hofrichter, M. 2002. Review: lignin conversion by manganese peroxidase (MnP). *Enzyme and Microbial Technology*. 30: 454-466.
- Hwang, T.K. Ong, S.M., Scow, C.C. and Tan, H.K. 1978. Chemical composition of palm mill effluent. *Planter*. 54: 749-756.
- Katzbauer, B., Narodoslawsky, B. and Moser, A. 1995. Classification system for immobilization techniques. *Bioprocess Engineering*. 12: 173–179.
- Khalil, H.P.S.A., Mohamad, H, Kang, C.W., Fuaad, N.A. 2007. Agro-hybrid composite: the effects on mechanical and physical properties of oil palm fiber (EFB)/glass hybrid reinforced polyester composites. *Journal of Reinforced Plastic Composites*. 26(2): 203-218
- Kim, S., Park, C., Kim, T-H., Lee, J. and Kim, S-W. 2003. COD Reduction and decolorization of textile effluent using a combined process. *Journal of Bioscience and Bioengineering*. 95: 120-105.
- Kim, S.J. and Shoda, M. 1999. Batch decolorization of molasses by suspended and immobilized fungus *Geotrichum candidum* Dec 1. *Journal of Bioscience and Bioengineering*. 88: 586-589.
- Kongjan, P., O-Thong , S., Kotay, M., Min, B. and Angelidaki, I. 2010. Biohydrogen production from wheat straw hydrolysate by dark fermentation using extreme thermophilic mixed culture. *Biotechnology and Bioengineering* 105: 899–908.
- Kornilowicz-Kowalska, T., Ginalska, G., Belcarz, A. and Iglík, H. 2006. Microbial conversion of daunomycin wastes in unsteril soil inoculated with *Bjerkandera adusta* R59. *Applied Microbiology and Biotechnology*. 70: 497–504.

- Kourkoutas, Y., Bekatorou, A., Banat, M.I., Marchant, R. and Koutinas, A.A. 2004. Immobilization technologies and support materials suitable in alcohol beverages production: a review. *Food Microbiology*. 21: 377–397.
- Lakhtar, H., Ismaili-Alaoui, M., Philippoussis, A., Perraud-Gaime, I. and Roussos, S. 2010. Screening of strains of *Lentinula edodes* grown on model olive mill wastewater in solid and liquid state culture for polyphenol biodegradation. . *International Biodeterioration and Biodegradation*. 64: 167-172.
- Lam, M.K. and Lee, K.T. 2011. Renewable and sustainable bioenergies production from palm oil mill effluent (POME): Win-win strategies toward better environmental protection. *Biotechnology Advances*. 29: 124–141.
- Lee, G.M. and Palsson, B.O. 1994. Monoclonal antibody production using free-suspended and entrapped hybridoma cells. *Biotechnology and Genetic Engineering Reviews*. 12: 509-533.
- Leonowicz, A., Matuszewska, A., Luterek, J., Ziegenhagen, D., Wojtas-Wasilewska, M., Cho, N-S., Hofrichter, M., and Rogalski J. 1999. Biodegradation of lignin by white rot fungi. *Fungal Genetics and Biology*. 21: 175–185.
- Levin, L., Papinutti, L. and Forchiassin, F., 2004. Evaluation of argentinean white rot fungi for their ability to produce lignin-modifying enzyme and decolorize industrial dyes. *Bioresource Technology*. 94: 169-176.
- Li, K., Xu, F., and Eriksson, K.E. 1998. Comparison of fungal laccase and redox mediators in oxidation of non-phenolic lignin model compound. *Applied Environmental Microbiology*. 65: 2,654-2,660.
- Li, X. and Jia, R. 2008. Decolorization and biosorption for Congo red by system rice hull *Schizophyllum* sp. F17 under solid-state condition in a continuous flow packed-bed bioreactor. *Bioresource Technology*. 99: 85–92.
- Limkhuansuwan, V. and Chaiprasert, P. 2010. Decolorization of molasses melanoidins and palm oil mill effluent phenolic compounds by fermentative lactic acid bacteria. *Journal of Environmental Sciences*. 22: 1,209–1,217.

- Lu, Y., Yan, L., Wang, Y., Zhou, S., Fu, J. and Zhang, J. 2009. Biodegradation of phenolic compounds from coking wastewater by immobilized white rot fungus *Phanerochaete chrysosporium*. *Journal of Hazardous Materials* 165: 1091–1097.
- Ma, A. N., 2000. Environmental Management for the Oil Palm Industry. *Palm Oil Development* 30: 1-10.
- Marco-Urrea, E., Parella, T., Gabarrell, X., Caminal, G., Vicent, T. and Adinarayana Reddy, C. 2008. Mechanistics of trichloroethylene mineralization by the white-rot fungus *Trametes versicolor*. *Chemosphere*. 70: 404–410.
- Mohammadi, A. and Nasernejad, B. 2009. Enzymatic degradation of anthracene by the white rot fungus *Phanerochaete chrysosporium* immobilized on sugarcane bagasse. *Journal of Hazardous Materials*. 161: 534–537.
- Ng Mei Han and Choo Yuen May. 2012. Determination of Antioxidants in Oil Palm Empty Fruit Bunches. *American Journal of Applied Sciences*. 9(11): 1,862-1,867.
- Obuekwe, C. O. and Al-Muttawa, E. M., 2001. Self-immobilized bacterial cultures with potential for application as ready-to-use seeds for petroleum bioremediation. *Biotechnology Letters*. 23: 1,025–1,032.
- Park, C., Lee, B., Han, E.J., Lee, J. and Kim, S. 2006. Decolorization of Acid Black 52 by fungal immobilization. *Enzyme and Microbial Technology*. 39: 371–374.
- Park, C., Lee, M., Lee, B., Kim, S., Chase, H., Lee, J. and Kim, S. 2007. Biodegradation and biosorption for decolorization of synthetic dyes by *Funalia trogii*. *Biochemical Engineering Journal*. 36:59-65.
- Radha, K.V., Regupathi, I., Arunagiri, A. and Murugesan, T. 2005. Decolorization studies of synthetic dyes using *Phanerochaete chrysosporium* and their kinetics. *Process Biochemistry*. 40: 3,337–3,345.
- Rakamthong, C. and Prasertsan, P. 2011. Decolorization and phenol removal of anaerobic palm oil mill effluent by *Phanerochaete chrysosporium* ATTC 24725. TIChE International conference 2011, November 10-11, Songklha, Thailand.
- Rodrigues, Y., Clarissa, F.S., Dasio, R.M. and Vazquez-Duhalt, R., 1999, Industrial dye decolorization by laccase from ligninolytic fungi. *Current Microbiology*. 38: 27-32.

- Rodriguez Couto, S. 2009. Dye removal by immobilised fungi: a review. *Biotechnology Advance*. 64: 167–172.
- Rodriguez Couto, S., Osma J.F., and Toca Herrera, J.L. 2008. Effective-cost production of laccase: reutilisation of a natural adsorbent. 4th European Meeting on Oxizymes, Helsinki. Finland.
- Rodriguez Couto, S., Sanroman, M.A., Hofer, D. and Gübitz, G.M. 2004. Production of laccase by *Trametes hirsuta* grown in an immersion bioreactor and its application in the decolorisation of dyes from a leather factory. *Engineering in Life Sciences*. 4: 233–237.
- Ruttimann-Johnson, C. and Lamar, R.T. 1997. Binding of pentachlorophenol to humic substances in soil by the action of white rot fungi. *Soil Biology and Biochemistry*. 29: 1143–1148.
- Santhy, K. and Selvapathy. P. 2005. Removal of reactive dyes from wastewater by adsorption on coir pith activated carbon. *Bioresource Technology*. 97(11): 1,329-1,336.
- Sapers, G.M. and Miller, R.L. 1993. Control of enzymatic browning in pre-peeled potatoes by surface digestion. *Journal of Food Science*. 58: 1,076-1,078.
- Schliephaje, K. and Lonergan, G.T. 1996. Laccase variation during dye decolorisation in a 200 L packed-bed bioreactor. *Biotechnology Letters*. 18: 881–886.
- Shin, M., Nguyen, T. and Ramsay, J. 2002. Evaluation of support materials for the surface immobilization and decoloration of amaranth by *Trametes versicolor*. *Applied Microbiology and Biotechnology*. 60:218–223.
- Sundram, K., Sambanthamurthi R. and Tan, Y.A. 2003. Palm fruit chemistry and nutrition. *Asia Pacific Journal of Clinical Nutrition*. 12: 355-362.
- Svobodov, K., Majcherczyk, A., Novotn, C. and Kues, U. 2008. Implication of mycelium associated Laccase from *Irpex lacteus* in the decolorization of synthetic dyes. *Bioresource Technology*. 99: 463–471.
- Tekre, M., Mswaka, A.Y., Vauya, R.Z. and Read, J.S. 2001. Growth, dye degradation and ligninolytic activity studies on zimbabwean white rot fungi. *Enzyme and Microbial Technology*. 28: 420-426.
- Tieng, YP. and Sun, G. 2000. Use of polyvinyl alcohol as a cell entrapment matrix for copper biosorption by yeast cells. *Journal of Chemical Technology and Biotechnology*. 75: 541–546.

- Torrecilla, J.S. 2010. Phenolic compounds in olive mill wastewater, olive and olive oil .in health and disease prevention. Amsterdam.
- Tychanowicz, G.K., Zilly, A., Marques de Souza, C.G. and Peralta, RM. 2004. Decolourisation of industrial dyes by solid-state cultures of *Pleurotus pulmonarius*. *Process Biochemistry*. 39:855–859.
- Vahabzadeh, F., Mehranian, M. and Saatari, A.R. 2004. Color removal ability of *Phanerochaete chrysosporium* in relation to lignin peroxidase and manganese peroxidase produced in molasses wastewater. *World Journal of Microbiology and Biotechnology*. 20: 859–864.
- Valentin, L., Feijoo, G., Moreira, M.T. and Lema, J.M. 2006. Biodegradation of polycyclic aromatic hydrocarbons in forest and salt marsh soils by white-rot fungi. *International Biodeterioration and Biodegradation*. 58: 15–21.
- Valentin, L., Lu-Chau T.A., Lopez, C., Feijoo, G., Moreira, M.T. and Lema, J.M. 2007. Biodegradation of dibenzothiophene, fluoranthene, pyrene and chrysene in a soil slurry reactor by the white-rot fungus *Bjerkandera* sp. BOS55. *Process Biochemistry*. 42: 641–648.
- Wang, S. 2008. A comparative study of Fenton and Fenton-like reaction kinetics in decolourisation of wastewater. *Dyes Pigments*. 76: 714-720
- Wesenberg, D., 2003, White-rot fungi and their enzymes for the treatment of industrial dye effluents. *Biotechnology Advances*. 22: 161-187.
- Wong, W.S. 2008. Structure and Action Mechanism of Lignolytic Enzyme. *Applied Biochemistry and Biotechnology*. 157(2): 174-209.
- Wu, Y. T., Mohammad, W. A., Jahim, Md. J. and Anuar, N. 2009. A holistic approach to managing palm oil mill effluent (POME): Biotechnological advances in the sustainable reuse of POME. *Biotechnology Advances*. 27: 40–52.
- Xavier, A.M.R.B., Evtuguin, D.V., Ferreira, R.M.P. and Amado, F.L. 2001. Laccase production for lignin oxidative activity. Proceeding of 8<sup>th</sup> International Conference on Biotechnology in the Pulp and Paper Industry, 4-8 June, Helsinki, Finland.
- Zhu, Y.X., Sun, H.Y. and Cao, G.L. 2005. The comparative study on decoloration efficiency of polysaccharide from wildness *Pleurotus ostreatus*. *Chinese Journal of Spectroscopy Laboratory*. 22: 1,070–1,073

**ภาคผนวก**



ภาคผนวก ก  
สูตร และวิธีการเตรียมอาหารเลี้ยงเชื้อ

## ภาคผนวก ก

## สูตร และวิธีการเตรียมอาหารเลี้ยงเชื้อ

## ก.1 Potato Dextrose Agar (PDA)

Potato infusion	4.0	กรัมต่อลิตร
Dextrose	20.0	กรัมต่อลิตร
Bacteriological agar	15.0	กรัมต่อลิตร

ชั่งอาหารเลี้ยงเชื้อ PDA (Difco) 39 กรัม ละลายในน้ำกลั่น 1,000 มิลลิลิตร บรรจุขวด ปิดจุกด้วยสำลี ครอบด้วยกระดาษ แล้วนำไปนึ่งฆ่าเชื้อ ด้วยเครื่อง autoclave ที่อุณหภูมิ 121 องศาเซลเซียส ภายใต้ความดัน 15 ปอนด์/ตารางนิ้ว เป็นเวลา 15 นาที ทิ้งไว้ให้เย็น จากนั้นเทลงใส่จานอาหารเลี้ยงเชื้อที่ผ่านการฆ่าเชื้อแล้ว

## ก.2 Sabouraud Dextrose Agar (SDA)

Yeast extract	2.0	กรัมต่อลิตร
Peptone	10.0	กรัมต่อลิตร
Dextrose	40.0	กรัมต่อลิตร
Agar	15.0	กรัมต่อลิตร

นำ Yeast extract 2 กรัม Peptone 10 กรัม และ Agar 15 กรัม เติมน้ำกลั่น 1,000 มิลลิลิตร บน hot plate คนจนละลายเป็นเนื้อเดียวกัน แล้วจึงเติม dextrose 40 กรัม ปรับ pH ให้ได้เท่ากับ 5.0-5.5 ถ้า pH ต่ำเกินไปให้ปรับด้วย 1N NaOH แต่ถ้า pH สูงเกินไปให้ปรับด้วย 1 N HCl บรรจุขวด ปิดจุกด้วยสำลี ครอบด้วยกระดาษ นำไปนึ่งด้วยเครื่อง autoclave ที่อุณหภูมิ 121 องศาเซลเซียส ภายใต้ความดัน 15 ปอนด์/ตารางนิ้ว เป็นเวลา 15 นาที ทิ้งไว้ให้เย็น จากนั้นเทลงใส่จานอาหารเลี้ยงเชื้อที่ผ่านการฆ่าเชื้อแล้ว

### ก.3 Glucose Yeast Extract Broth (GYEB)

Yeast extract	10.0	กรัมต่อลิตร
Glucose	100.0	กรัมต่อลิตร

นำ Yeast extract 10 กรัม และ Glucose 100 กรัม เติมลงในน้ำกลั่น 1,000 มิลลิลิตร บน hot plate คนจนละลายเป็นเนื้อเดียวกัน บรรจุขวด ปิดจุกด้วยสำลี ครอบด้วยกระดาษ นำไปนึ่งด้วยเครื่อง autoclave ที่อุณหภูมิ 121 องศาเซลเซียส ภายใต้อัตราความดัน 15 ปอนด์/ตารางนิ้ว เป็นเวลา 15 นาที ตั้งทิ้งไว้ให้เย็นก่อนนำไปใช้

### ภาคผนวก ข

กราฟมาตรฐานเพื่อการวิเคราะห์สารประกอบฟีนอลิกทั้งหมดและสี่

## ภาคผนวก ข

## กราฟมาตรฐานเพื่อการวิเคราะห์สารประกอบฟีนอลิกทั้งหมดและดี

## ข.1 กราฟมาตรฐานเพื่อการวิเคราะห์สารประกอบฟีนอลิกทั้งหมด

## การเตรียมสารละลายมาตรฐาน

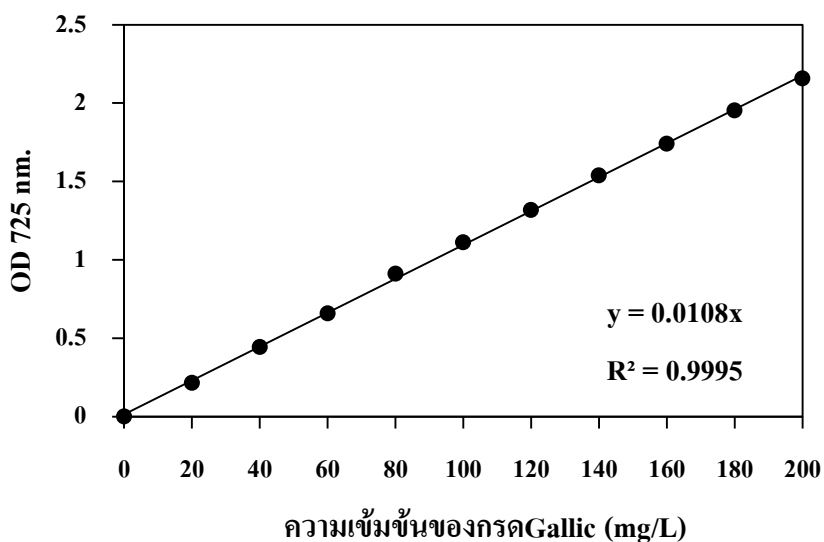
เตรียมสารละลายมาตรฐานของกรดGallic ความเข้มข้น 500 mg/L โดยชั่งGallic acid monohydrate (Sigma) 0.55 กรัม ละลายในน้ำกลั่นแล้วปรับปริมาตรให้ได้ 1 ลิตร ด้วยน้ำกลั่นในขวดปรับปริมาตร จากนั้นนำสารละลายมาตรฐานของกรดGallic มาเจือจางให้ได้ความเข้มข้น 20 - 200 mg/L โดยการปิเปตสารละลายมาตรฐานของกรดGallic ความเข้มข้น 500 mg/L และเติมน้ำกลั่นตามปริมาตรดังแสดงในตารางภาคผนวกที่ ข.1

## ตารางภาคผนวกที่ ข.1 การเตรียมสารละลายมาตรฐานกรดGallic ความเข้มข้น 20-200 mg/L

ความเข้มข้น (mg/L)	ปริมาตรสารละลายมาตรฐาน (mL)	ปริมาตรน้ำกลั่น (mL)
20	0.2	4.8
40	0.4	4.6
60	0.6	4.4
80	0.8	4.2
100	1.0	4.0
120	1.2	3.8
140	1.4	3.6
160	1.6	3.4
180	1.8	3.2
200	2.0	3.0

### การสร้างกราฟมาตรฐาน

ปีเปตสารละลายกรดGallic ความเข้มข้น 20-200 mg/L ปริมาตร 200 ไมโครลิตร ลงใน Folin–Ciocalteu phenol reagents ที่เจือจาง 4 เท่า ปริมาตร 1 มิลลิลิตร ทิ้งไว้ 5 นาที จากนั้นจึงเติม 1 มิลลิลิตร ของสารละลาย sodium carbonate ความเข้มข้น 200 g/L ทิ้งไว้ 30 นาที ที่อุณหภูมิห้อง แล้วนำไปวัดค่าการดูดกลืนแสงที่ความยาวคลื่น 725 nm ใช้น้ำกลั่นที่ทำปฏิกิริยาเช่นเดียวกับตัวอย่างเป็น blank นำค่าการดูดกลืนแสงที่ได้มาสร้างกราฟมาตรฐานของกรดGallic (รูปภาคผนวกที่ ข.1)



รูปภาคผนวกที่ ข.1 กราฟมาตรฐานของกรดGallic

### ข.2 กราฟมาตรฐานเพื่อการวิเคราะห์หีส

#### การเตรียมสารละลายมาตรฐาน

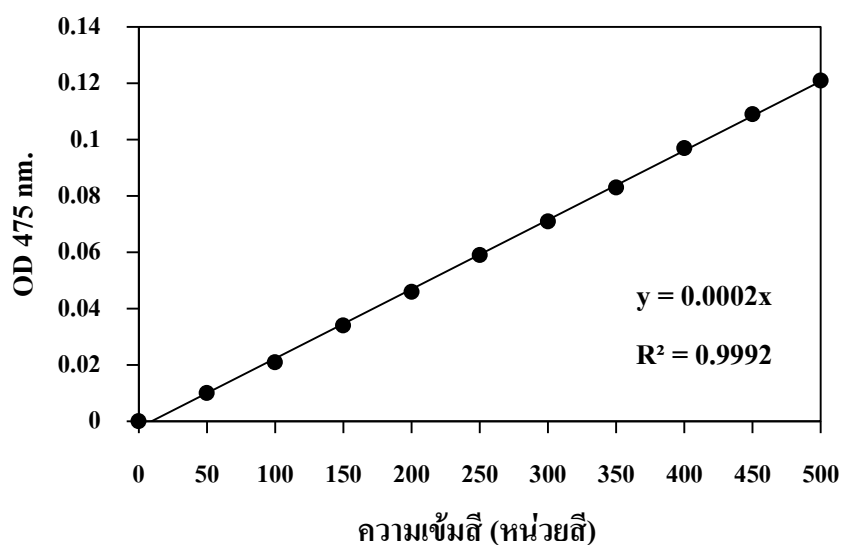
เตรียมสารละลายมาตรฐานแพลตตินัมโคบอลต์ความเข้มข้น 500 หน่วยสี โดยชั่ง potassium chloroplatinate 0.1246 กรัม และ cobalt (II) chloride 0.1 กรัม ละลายในน้ำกลั่นที่มีกรดไฮโดรคลอริก 10 มิลลิลิตร ปรับปริมาตรด้วยน้ำกลั่นให้ได้ 100 มิลลิลิตร ในขวดปรับปริมาตร จะได้สารละลายมาตรฐานแพลตตินัมโคบอลต์ความเข้มข้น 500 หน่วยสี จากนั้นนำสารละลายมาตรฐานที่ได้มาเจือจางให้ได้ความเข้มข้น 50-500 หน่วยสี โดยการปีเปตสารละลายมาตรฐาน และเติมน้ำกลั่นตามปริมาตรดังแสดงในตารางภาคผนวกที่ ข.2

ตารางภาคผนวกที่ ข.2 การเตรียมสารละลายมาตรฐานแพลทตินัมโคบอลต์ความเข้มข้น 50-500 หน่วยสี

ความเข้มข้น (หน่วยสี)	ปริมาตรสารละลายมาตรฐาน (mL)	ปริมาตรน้ำกลั่น (mL)
50	0.5	4.5
100	1.0	4.0
150	1.5	3.5
200	2.0	3.0
250	2.5	2.5
300	3.0	2.0
350	3.5	1.5
400	4.0	1.0
450	4.5	0.5
500	5.0	0.0

#### การสร้างกราฟมาตรฐาน

นำสารละลายมาตรฐานแพลทตินัมโคบอลต์ความเข้มข้น 50-500 หน่วยสีนำไปวัดค่าการดูดกลืนแสงที่ความยาวคลื่น 475 nm โดยใช้ น้ำกลั่นเป็น blank นำค่าการดูดกลืนคลื่นแสงที่ได้มาสร้างกราฟมาตรฐานของสารละลายมาตรฐานแพลทตินัมโคบอลต์ (รูปภาคผนวกที่ ข.2)



รูปภาคผนวกที่ ข.2 กราฟมาตรฐานของสารละลายมาตรฐานแพลทตินัมโคบอลต์

**ภาคผนวก ก****การวิเคราะห์ทางด้านชีววิทยาโมเลกุลเพื่อจำแนกสายพันธุ์ราไวท์รอต Unknown04**



## ภาคผนวก ก

### การวิเคราะห์ทางด้านชีววิทยาโมเลกุลเพื่อจำแนกสายพันธุ์ราไวท์รอต Unknown04

#### ง.1 วิธีการวิเคราะห์

##### การเพาะเลี้ยงและเก็บตัวอย่างเชื้อรา

เลี้ยงราไวท์รอต Unknown04 บนอาหาร Potato Dextrose Agar (PDA) ที่อุณหภูมิ 25 องศาเซลเซียส เป็นระยะเวลา 4-16 สัปดาห์ ทำการเก็บเส้นใยของราไวท์รอตบริเวณผิวหน้าของอาหารแห้งในหลอดปั่นเหวี่ยงขนาด 2 มิลลิลิตร จากนั้นเก็บตัวอย่างไว้ที่อุณหภูมิ -80 องศาเซลเซียส เป็นระยะเวลา 24 ชั่วโมง

##### วิธีการสกัดDNA

เติม Extraction buffer (1% CTAB, 0.7 M NaCl, 50 mM Tris-HCl, 10 mM EDTA, pH 8) ลงในตัวอย่าง บดตัวอย่างในหลอดปั่นเหวี่ยงขนาด 2 มิลลิลิตร ปรับปริมาตรโดยการเติม Extraction buffer 700 ไมโครลิตร ผสมให้เข้ากันโดยการเขย่า และบ่มที่อุณหภูมิ 65 องศาเซลเซียส เป็นเวลา 1 ชั่วโมง จากนั้นนำตัวอย่างไปปั่นเหวี่ยงที่ 12,000xg เป็นเวลา 10 นาที ที่อุณหภูมิ 25 องศาเซลเซียส เก็บตัวอย่างส่วนใสในหลอดหลอดใหม่ที่มี phenol-chloroform-isoamyl alcohol เขย่าให้เข้ากันแล้วปั่นเหวี่ยงที่ 12,000xg เป็นเวลา 10 นาที ที่อุณหภูมิ 25 องศาเซลเซียส เก็บตัวส่วนบนไปยังหลอดใหม่ที่มี 7.5 M ammonium acetate จากนั้น DNA จะถูกตกตะกอนด้วยEthanol ที่อุณหภูมิ -20 องศาเซลเซียส ทิ้งไว้ข้ามคืน จากนั้นนำมาปั่นเหวี่ยงที่ 12,000xg เป็นเวลา 10 นาที ที่อุณหภูมิ 15 องศาเซลเซียส ตกอนDNA จะถูกล้างด้วย 70%Ethanol ที่เย็น และถูกทำให้แห้งที่อุณหภูมิ 25 องศาเซลเซียส ตกอนDNA จะถูกละลายด้วย TE buffer (10 mM Tris-HCl, pH 8.0; 1 mM EDTA pH 8.0)

##### การเพิ่มปริมาณ DNA ด้วยปฏิกิริยา Polymerase Chain Reaction (PCR)

ในการเพิ่มปริมาณ DNA ด้วย PCR และการทำ DNA sequencing จะใช้ primer ของ the internal transcribed spacer region (ITS) โดยเฉพาะ ITS4 และ ITS5 (White et al., 1990; Bunyard et al., 1994; Landvik 1996) การเพิ่มปริมาณDNA ถูกทำใน 50  $\mu$ l ของส่วนผสมในการทำปฏิกิริยา ซึ่งประกอบด้วย 10 mM ของ dNTP (1  $\mu$  l), 10  $\mu$ M ของไพรเมอร์แต่ละตัว (1  $\mu$  l), 10% ของ dilution buffer (5  $\mu$  l), 25 mM ของ Mg (5  $\mu$  l), 4 M ของ enhancer (5  $\mu$  l) และ 60-62% ของ น้ำ

กลั่นที่ผ่านการฆ่าเชื้อ(30.8  $\mu$ l), 0.2 $\mu$ l ของ Taq DNA polymerase kit จาก FERMENTAS และ 10-50 ng ของ genomic DNA template (1  $\mu$  l) ทำปฏิกิริยาโดยใช้ PCR Model MJ Research DYAD ALD ในหลอดขนาด 200  $\mu$ l (95°C, 0.5 min; 52°C, 1 min; 72°C, 1.5 min; 35 cycles). PCR products (7  $\mu$  l aliquots) ถูกทดสอบโดยวิธี electrophoresis ใน 1% agarose gels กับ 0.003% ethidium bromide ใน 0.5×TBE buffer (0.044 M Boric acid, 1.1 mM EDTA, 0.045 M Tris, pH 8) เพื่อการทำให้บริสุทธิ์

### การทำบริสุทธิ์ DNA และการทำ DNA sequencing

ผลิตภัณฑ์ที่ได้จากการทำปฏิกิริยา PCR ถูกทำให้บริสุทธิ์โดยใช้ NucleoSpin® Extract Kit (Macherey-Nagel, Germany) และศึกษาลำดับเบสโดยบริษัท Macrogen โดยใช้ไพรเมอร์ตัวเดียวกับการเพิ่มปริมาณ DNA ด้วยปฏิกิริยา PCR

### การวิเคราะห์ Phylogenetic

ลำดับเบสจะถูกตรวจสอบด้วยโปรแกรม BioEdit 7.0.9.1 (Hall 1999) ลำดับเบสที่สอดคล้องกันของDNA แต่ละส่วนจะถูกจัดตำแหน่งโดย Clustal W 1.6 (Thompson et al., 1994) จากนั้นตรวจสอบกับฐานข้อมูล Genbank หา accession number เพื่อประกอบกันใน Phylogenetic tree และ BLAST ข้อมูลหาความคล้ายกันมากที่สุด

### ง.2 ผลการวิเคราะห์

จากการวิเคราะห์ทางด้านชีววิทยาโมเลกุลเพื่อจำแนกสายพันธุ์ของราไทรอท Unknown04 พบว่าเมื่อนำตัวอย่างเชื้อรามาสกัดDNA และเพิ่มจำนวนDNA ด้วยปฏิกิริยา Polymerase chain reaction (PCR) และทำDNA sequencing เพื่อศึกษาลำดับนิวคลีโอไทด์บริเวณ ITS1-4 บน 18S rDNA พบว่าบริเวณดังกล่าวมี 605 นิวคลีโอไทด์ ดังแสดงในรูปภาคผนวก ค. 1 และเมื่อนำลำดับนิวคลีโอไทด์มาเปรียบเทียบกับฐานข้อมูล Genbank พบว่าลำดับนิวคลีโอไทด์ ITS1-4 บน 18S rDNA ของราไทรอท Unknown04 มีความใกล้เคียงกับราไทรอทสายพันธุ์ *Trametes hirsuta* ถึง 99% จึงสามารถระบุสายพันธุ์ของราไทรอท Unknown04 ว่าเป็น *Trametes hirsuta* AK4

TTCCGGGGGGGGGGCTCGGAAGGATCATTAACGAGTTTTGAAATGGGTTGT  
TGCTGGCCTTCCGAGGCATGTGCACGCCCTGCTCATCCACTCTACACCTGTGCACTTA  
CTGTAGGTTGGCGTGGGTTTCTAGCCTCCGGGCTGGGAGCATTCTGCCGGCCTATGTA  
CACTACAAACTCTAAAGTATCAGAATGTAAACGCGTCTAACGCATCTTAATACA  
TTCAGCAACGGATCTCTTGGCTCTCGCATCGATGAAGAACGCAGCGAAATGCGATAA  
GTAATGTGAATTGCAGAATTCAGTGAATCATCGAATCTTTGAACGCACCTTGCGCTCC  
TTGGTATTCCGAGGAGCATGCCTGTTTGAGTGTGCATGAAATTCTCAACCCATAAGTCC  
TTGTGATCTATGGGCTTGGATTTGGAGGCTTGCTGGCCCTAGCGGTCCGGCTCCTCTTG  
AATGCATTAGCTTGATTCCGTGCGGATCGGCTCTCAGTGTGATAATTGTCTACGCTGT  
GACCGTGAAGCGTTTTGGCAAGCTTCTAACCGTCCATTAGGACAATCTTCAACATCTG  
ACCTCAAATCAGGTAGGACTACCCGCTGAACTT

รูปภาคผนวกที่ ง.1 ลำดับนิวคลีโอไทด์ ITS1-4 บน 18S rDNA ของราไวท์รอต Unknown04

## ประวัติผู้เขียน

ชื่อ สกุล	นายอนุกุล เกษรติขวัณบุตร	
รหัสประจำตัวนักศึกษา	5410920019	
วุฒิการศึกษา		
วุฒิ	ชื่อสถาบัน	ปีที่สำเร็จการศึกษา
วิทยาศาสตรบัณฑิต (จุฬาลงกรณ์มหาวิทยาลัย)	มหาวิทยาลัยเทคโนโลยี พระจอมเกล้าธนบุรี	2554

## การตีพิมพ์เผยแพร่ผลงาน

Anukool Kietkwanboot, Tran Thi My Hanh and Oramas Suttinun. Decolorization and Biodegradation of Phenolic Compounds in Palm Oil Mill Effluent by White Rot Fungi Immobilized on Oil Palm Residues. Proceeding of The 2<sup>nd</sup> International Conference on Environmental Engineering, Science and Management, March 27-29, 2013, Pullman Khon Kaen Raja Orchid Hotel, Khon Kaen, Thailand.